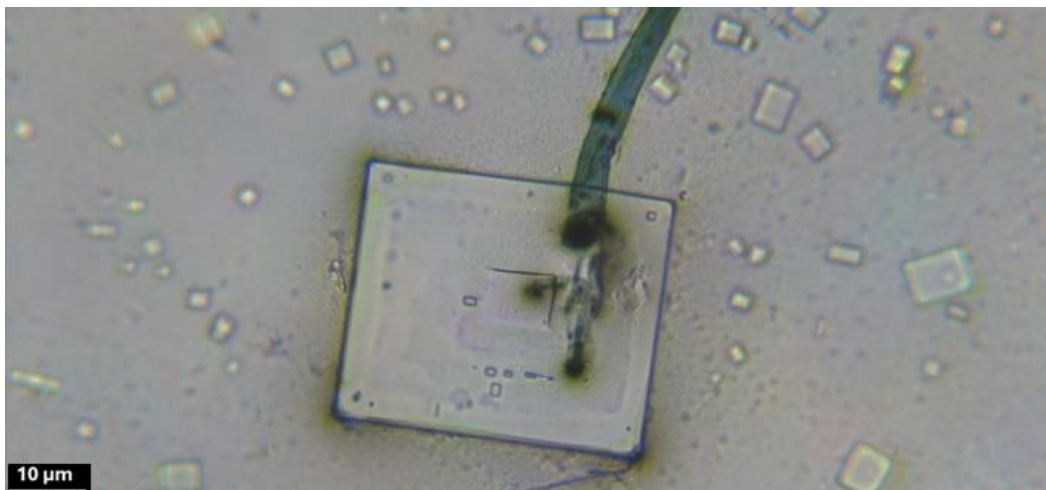

Aktive mikroskalige Konstruktion in der Pfizer Comirnaty: Erforschung komplexer selbstorganisierender Strukturen

David Nixon, M.B., Ch.B.

Unabhängige Wissenschaftlerin und Ärztin Brisbane,
Australien

E-Mail: david@drdavidnixon.com | Website: www.drdavidnixon.com | ORCID: 0009-0007-9817-5421



Das "Plugged-In-Phänomen". Hellfeldvergrößerung 200x.

April 2025

"In unserer Zeit ist es das Wichtigste, die Wahrheiten weiterzugeben - im Klartext, Vorträge über Wahrheiten zu halten. Was die Menschen dann daraus machen, bleibt ihrer Freiheit überlassen. Man sollte nicht weiter gehen, als über Wahrheiten zu dozieren, sie zu vermitteln..."

-Rudolf Steiner:

- Geheime Bruderschaften und das Geheimnis des menschlichen Doppelgängers, 7 Vorlesungen in St. Gallen, Zürich und Dornoch, 1917

Alle diese Bilder wurden zwischen August 2022 und Januar 2023 von Dr. David Nixon in Brisbane, Australien, aufgenommen. ©David Nixon 2025

Keines dieser Fotos wurde mit Photoshop bearbeitet oder anderweitig manipuliert, und ich hoffe, dass dieses Dokument als Aufzeichnung meiner bisherigen Beobachtungen und meiner aktuellen Gedanken zu dieser höchst ungewöhnlichen Erfahrung dienen wird. Wenn Sie die Lektüre dieses Dokuments als nützlich empfinden, dann

erwägen Sie, ein bezahlter Abonnent meines [Substacks](#) zu werden oder [mir einen Kaffee zu spendieren](#)

Aktive mikroskalige Konstruktion in der Pfizer Comirnaty: Erforschung komplexer selbstorganisierender Strukturen

David Nixon, M.B., Ch.B. Unabhängiger

Gelehrter und Arzt Brisbane, Australien

E-Mail: david@drdavidnixon.com | Website: www.drdavidnixon.com | ORCID: [0009-0007-9817-5421](https://orcid.org/0009-0007-9817-5421)

Abstrakt

Die Verabreichung eines Covid-19-Impfstoffs war untrennbar mit einer ungeheuerlichen Aushöhlung der Patientenautonomie und der Einwilligung nach Aufklärung verbunden. Professionelle Institutionen verkündeten einstimmig, dass die Impfstoffe sicher und wirksam seien, und ließen keinen Raum für das Vorsorgeprinzip oder alternative Perspektiven, während sie pflichtbewusst die vorgeschriebene Darstellung propagierten. Erschwerend kam hinzu, dass sich dieselben Institutionen weigerten, sinnvolle Untersuchungen zu den Impfstoffen zu unterstützen, selbst als sich die Beweise für Todesfälle, Verletzungen und Unwirksamkeit immer mehr häuften.

In dieser Beobachtungsstudie wurde die Dunkelfeldmikroskopie in Kombination mit der Verdampfung von sessilen Tröpfchen eingesetzt, um den Impfstoff Pfizer Comirnaty zu untersuchen. Die Verdampfung von sessilen Tröpfchen erleichtert die schnelle Selbstorganisation, während die Dunkelfeldmikroskopie wohl die optimale Methode zur Bewertung kolloidaler Materialien ist. Unerwartet wurde festgestellt, dass Comirnaty dichtes kolloidales Material enthält, das sich innerhalb des flüssigen Impfstoffs zu komplizierten Strukturen zusammensetzt und kristalline Matrizen bildet, die Mikroschaltkreise ähneln, ohne dass eine vollständige Verdampfung erforderlich ist.

Es wurden vier verschiedene Phänomene beobachtet, die auf eine fortgeschrittene Technologie hinweisen, die über die öffentlich zugängliche Wissenschaft hinausgeht. Dazu gehören die "Daisy-Chain-Formation", das "Plugged-In-Phänomen" und Videobeweise für den aktiven Auf- und Abbau durch mikroskalige Baugruppen - dynamische Systeme, die aus "Mikro-Motoren" und "Mikro-Meccano" bestehen. Diese Erkenntnisse unterstreichen die außergewöhnliche Raffinesse selbstorganisierender Nanomaterialien und werfen kritische Fragen zu deren Ursprung und Zweck auf

Diese Erkenntnisse widersprechen dem konventionellen wissenschaftlichen Verständnis und erfordern eine ernsthafte und dringende Prüfung. Sie zu ignorieren ist keine Option mehr; eine solide, transparente Debatte ist unerlässlich, um die tiefgreifenden Fragen zu beantworten, die sie aufwerfen. Die internationale Öffentlichkeit muss sich sofort damit befassen: Was bedeuten diese Beweise? Warum sind sie vorhanden? Wer ist dafür verantwortlich? Was sind die Risiken? Die Zeit der Zensur ist vorbei - jetzt ist es an der Zeit, sich mit den Folgen auseinanderzusetzen und diese offen zu diskutieren.

Schlüsselwörter: BNT162b2, Komirnatie, Dunkelfeldmikroskopie (DFM), Sessile Tröpfchenverdampfung (SDE), Lanthanoide, Selbstorganisationsmechanismen, "Circle-Rectangle Motifs" (CRMs), "Crystal-Fibre Assemblies" (CFAs), "Micro-Engines", "Micro-Meccano", Micro-Assemblies, Programmierbare Materialien, Nicht deklarierte chemische Elemente, Dual-Use-Technologien, Toxizität.

Zusammenfassung für das allgemeine Publikum

Die Einführung eines Covid-19-Impfstoffs hat zu erheblichen Bedenken hinsichtlich der Patientenautonomie und der Einwilligung nach Aufklärung geführt. Professionelle Institutionen verkündeten allgemein, dass die Impfstoffe sicher und wirksam seien, und ließen nur wenig Raum für das Vorsorgeprinzip oder alternative Perspektiven, da sie an der vorherrschenden Darstellung festhielten. Diese Probleme wurden noch dadurch verschärft, dass es keine aussagekräftigen Untersuchungen zu den Impfstoffen gab, selbst als Fragen zu Berichten über unerwünschte Ereignisse und zur Wirksamkeit aufkamen.

In dieser Beobachtungsstudie wurde die Dunkelfeldmikroskopie mit der Verdampfung von sessilen Tröpfchen kombiniert, um den Impfstoff Pfizer Comirnaty zu untersuchen. Die sessile Tröpfchenverdampfung, eine Methode, die natürliche Trocknungsprozesse nachahmt, erleichtert die Untersuchung der Selbstorganisation von Materialien, während die Dunkelfeldmikroskopie die Sichtbarkeit feiner Partikel und Strukturen verbessert. In dem Impfstoff wurde beobachtet, dass sich dichtes kolloidales Material selbst zu komplizierten Strukturen zusammenfügt und kristalline Matrizen mit hochgradig organisierten Merkmalen bildet.

Es wurden vier verschiedene Phänomene beobachtet, die strukturelle Formationen mit einem Organisationsgrad hervorheben, der auf eine hochentwickelte Selbstorganisation schließen lässt. Dazu gehören die "Daisy Chain Formation", das "Plugged-In-Phänomen" und Videobeweise für den aktiven Auf- und Abbau durch mikroskalige Baugruppen - dynamische Formationen, die koordinierte Bewegungen und strukturelle Anpassungen zeigen. Diese Ergebnisse deuten auf eine bemerkenswerte Komplexität der beobachteten Materialien hin, die eine dringende Untersuchung ihres Ursprungs, ihres Verhaltens und ihrer potenziellen Bedeutung rechtfertigt.

Die Beobachtungen in dieser Studie zeigen einen strukturierten Verlauf von der anfänglichen Kristallbildung bis hin zu immer komplexeren Verhaltensweisen der Selbstorganisation und aktiven Konstruktion. Abbildung 80 zeigt das "Plugged-In-Phänomen", ein eindrucksvolles Beispiel für diese Entwicklung. Dieses Bild zeigt ein fortgeschrittenes Stadium der strukturellen Organisation, in dem eine kristalline Matrix eine präzise Konnektivität mit externen Komponenten aufweist. Solche Formationen sind eine wichtige Referenz für das Verständnis, wie Materialien im Nanomaßstab sich selbst zu größeren, komplizierten Systemen organisieren können. Die Leser werden ermutigt, Abbildung 80 erneut zu betrachten, nachdem sie den gesamten Umfang der Studie erforscht haben, da sie die außerordentliche Raffinesse dieser Prozesse veranschaulicht und tiefgreifende Fragen über die ihnen zugrunde liegenden Mechanismen aufwirft.

Einführung

Im Jahr 2022 verstärkte sich die Besorgnis über die Pfizer Comirnaty durch das Schweigen der professionellen Institutionen, das Transparenz, Autonomie und informierte Zustimmung untergrub. Dieser Mangel an Engagement ließ die Öffentlichkeit ohne kritische Fürsprache oder Gegenargumente zurück, selbst als Beweise aus der Analyse von Lebendblut und der Mikroskopie der Impfstoffe Anomalien offenbarten, die die ablehnende der Institutionen in Frage stellten. [Benzi Cipelli et al. \(2022\)](#) analysierten frisches peripheres Blut von über 1.000 Personen, die mRNA-Impfstoffe erhalten hatten, darunter Pfizer Comirnaty und Moderna Spikevax. Ihre Studie dokumentierte signifikante Anomalien wie die Aggregation von Erythrozyten und das Vorhandensein von Fremdpartikeln und Strukturen unklarer Herkunft.

Trotz dieser Ergebnisse taten die professionellen Institutionen die Lebendblutanalyse rundheraus als Pseudowissenschaft ab und versäumten es, ihre Beobachtungen inhaltlich zu bewerten oder weitere Untersuchungen anzuregen. Diese Reaktion spiegelte eine systematische Unwilligkeit wider, sich mit potenziellen Beweisen für Schäden auseinanderzusetzen, was das Vertrauen der Öffentlichkeit weiter untergrub. Auch die Regulierungsbehörden und die Organisationen des öffentlichen Gesundheitswesens versäumten es, der Transparenz oder der Rechenschaftspflicht Priorität einzuräumen, so dass wichtige Fragen unbeantwortet blieben. Bestätigende Berichte von unabhängigen Fachleuten aus der ganzen Welt machten deutlich, wie dringend notwendig es ist, sich mit diesen Erkenntnissen auseinanderzusetzen, doch das Schweigen der Institutionen verstärkte das wachsende Misstrauen.

In Australien dokumentierten erfahrene Lebendblutanalytiker ähnliche Anomalien sowohl bei geimpften als auch bei ungeimpften Personen. Diese wahllose Verteilung stimmte mit Hypothesen überein, die auf eine Verbreitung in der Umwelt oder eine Ausscheidung des Impfstoffs hindeuten. Diese Befunde warfen kritische Fragen zu Ursprung, Zusammensetzung und systemischen Auswirkungen dieser Materialien auf. Darüber hinaus unterstrichen die Ähnlichkeiten zwischen den in Blutproben beobachteten Fremdpartikeln und dem in mRNA-Impfstoffen identifizierten kolloidalen Material den Bedarf an fortschrittlichen Methoden zur Erforschung des Verhaltens und der Eigenschaften dieser Materialien.

Fortgeschrittene Mikroskopietechniken wurden zum Schlüssel für die Lösung dieser Anomalien. Die Dunkelfeldmikroskopie, für die der Nobelpreisträger Richard Zsigmondy Pionierarbeit geleistet hat, erhöht den Kontrast, indem sie die Proben mit schrägem Licht beleuchtet und so feine Strukturen vor einem dunklen Hintergrund sichtbar macht. Ihre Anwendung bei Pfizer Comirnaty ergab dichtes kolloidales Material, das mit Hydrogelen und kolloidalen Partikeln übereinstimmt und eine inhärente Organisation oder emergente Eigenschaften aufweist. Diese Strukturen wiesen oft ein unerwartetes Maß an Symmetrie und Komplexität auf, was zu einer genaueren Untersuchung führte. Während die Dunkelfeldmikroskopie statische Strukturen effektiv sichtbar machte, konnte sie dynamische Verhaltensweisen nicht erfassen, so dass ergänzende Techniken wie die Verdampfung von sessilen Tröpfchen erforderlich waren.

Die Verdampfung von sessilen Tröpfchen beleuchtet diese dynamischen Materialeigenschaften, indem sie verdampfungsbedingte Phasenübergänge und die Bildung komplizierter Muster ausnutzt. [Zang et al. \(2019\)](#) zeigten, wie diese Technik Wechselwirkungen im Nanobereich aufdeckt, die die Entstehung komplexer, organisierter Muster vorantreiben. Bei der Anwendung auf Pfizer Comirnaty zeigte sich, dass sich kolloidale Materialien ausrichten und zu sichtbaren Mikrostrukturen aggregieren, die von Umweltfaktoren wie Substrateigenschaften und Trocknungsbedingungen beeinflusst werden. Gemeinsam boten diese Techniken einen ergänzenden Rahmen für die Untersuchung sowohl statischer als auch dynamischer Aspekte des Materialverhaltens und füllten damit die Lücke, die durch die Untätigkeit der Institutionen entstanden war.

Unter Ergebnissen sticht die Entdeckung von Mikrobaugruppen hervor - dynamische Systeme, die aus "Mikro-Motoren" für die Mobilität und "Mikro-Mekkanen" für die strukturelle Komplexität bestehen. Diese Baugruppen zeigten ein bewusstes und koordiniertes Verhalten, indem sie sowohl die Auf- als auch die Abbauphase der Kristallbildung orchestrierten. Eine solche Aktivität widerspricht konventionellen Modellen der Selbstorganisation, die in der Regel auf passiven Interaktionen beruhen, die durch physikalische und chemische Kräfte gesteuert werden.

Stattdessen deuten die beobachteten Phänomene auf absichtliche Gestaltungsprinzipien und Mechanismen hin, die in den etablierten Paradigmen nicht berücksichtigt werden.

Während Wechselwirkungen im Nanomaßstab und die Bildung von Mustern in Bereichen wie der Nanotechnologie und der Biophysik ausführlich dokumentiert wurden, übertreffen die hier beobachteten Phänomene herkömmliche Modelle der Selbstorganisation. **Ke et al. (2012)** zeigten, wie nanoskalige Komponenten so programmiert werden können, dass sie durch DNA-Origami komplexe Muster bilden, während **Zhan et al. (2023)** untersuchten, wie Umweltfaktoren wie Temperatur und Ionenkonzentration das Entstehen komplizierter Muster beeinflussen. Diese Erkenntnisse liefern wertvolle Teilaspekte für das Verständnis der Phänomene. Sie erklären jedoch nicht die bewusste Koordination und offensichtliche Intentionalität, die bei der Pfizer Comirnaty beobachtet werden.

Darüber hinaus weisen die komplizierten geometrischen Strukturen, wie die "Daisy Chain Formation" und die "Circle-Rectangle Motifs" (CRMs), Merkmale fortschrittlicher Technik auf, die Fragen nach ihrer Herkunft und ihrem funktionalen Zweck aufwerfen **Diblasi et al. (2024)** identifizierten 55 nicht deklarierte Elemente, darunter Lanthanide wie Gadolinium und Yttrium, in COVID-19-Impfstoffen. Diese Materialien werden häufig mit fortschrittlichen elektronischen und optogenetischen Systemen in Verbindung gebracht, was darauf hindeutet, dass sie möglicherweise die in Pfizer Comirnaty beobachtete Selbstorganisationsdynamik beeinflussen. **(Taylor, 2023)** zeigte außerdem, wie elektromagnetische Felder (EMF) das Kristallwachstum auslösen und steuern können, was darauf hindeutet, dass externe Stimuli das Verhalten und die Organisation von Bio-Nano-Systemen erheblich beeinflussen können.

Diese Ergebnisse stehen im Einklang mit Studien wie **Lee & Broudy (2024)**, die die Entwicklung von nanoskaligen Komponenten zu hierarchischen Formationen wie Bändern, Ketten und nanoröhrenähnlichen Strukturen in mRNA-Impfstoffen dokumentierten. Die in dieser Studie erfassten dynamischen Verhaltensweisen übertreffen jedoch diese Präzedenzfälle, indem sie eine offensichtliche Programmierbarkeit und Reaktionsfähigkeit offenbaren, die über die derzeit in der Materialwissenschaft und Biophysik verstandenen Mechanismen hinausgehen. **Johnson et al. (2024)** kontextualisieren Anstieg von Innovationen mit doppeltem Verwendungszweck und technokratischer Geheimhaltung innerhalb transhumanistischer Ideologien, bei denen fortschrittliche Technologien unter dem Deckmantel des biomedizinischen Fortschritts entwickelt werden. Die in dieser Studie beobachteten programmierbaren Systeme werfen ähnliche Bedenken hinsichtlich Transparenz, Autonomie und Missbrauchspotenzial auf.

Diese Beobachtungen stellen nicht nur bestehende wissenschaftliche Modelle in Frage, sondern auch allgemeinere Annahmen über die Transparenz und Verantwortlichkeit technologischer Innovationen. Wenn die in Pfizer Comirnaty enthaltenen Materialien programmierbare Systeme oder hierarchische Selbstorganisation beinhalten, erfordert ihr nicht deklariertes Vorhandensein eine dringende Neubewertung der behördlichen Aufsicht und der öffentlichen Wahrnehmung. Diese Ergebnisse machen deutlich, wie wichtig unabhängige, interdisziplinäre Untersuchungen sind, um die Mechanismen und Auswirkungen dieser Systeme aufzudecken.

Der Harvard-Wissenschaftshistoriker Peter Galison schätzt, dass die als geheim eingestufte Forschung die öffentlich zugängliche Wissenschaft bei weitem übersteigt, und schreibt: "Wir in der offenen Welt [...] leben in einer bescheidenen, nach außen gerichteten Informationskabine, mit dem Rücken zu einem riesigen, geheimen Reich, das wir kaum kennen." **(Galison, 2004)**. Die beobachteten Phänomene sind wahrscheinlich auf geheime Technologien zurückzuführen, die dem Verständnis der Öffentlichkeit um Jahrzehnte voraus sind, was die dringende Notwendigkeit von Transparenz und unabhängiger Kontrolle unterstreicht. Ohne strenge Aufsicht besteht die Gefahr, dass solche Innovationen missverstanden, nicht reguliert oder missbraucht werden.

An der Schnittstelle von Geheimhaltung und Innovation liegt ein tieferes Anliegen: die bewusste und verdeckte Integration fortschrittlicher Technologien in biologische Systeme. **Akyildiz et al. (2015)** beschreiben Bio-Nano-Netzwerke als Systeme, die biologische und nanotechnologische Komponenten in nahtlose Kommunikationsstrukturen integrieren. Solche Netzwerke sind zwar vielversprechend für die menschliche Gesundheit, aber auch

verdeutlichen die Gefahren unkontrollierter Innovation. Die Ergebnisse der Pfizer Comirnaty veranschaulichen diese zweischneidige Natur der Technologie und werfen dringende Fragen zur Verantwortlichkeit und ethischen Aufsicht auf.

Diese Konvergenz der Ergebnisse unterstreicht die Notwendigkeit einer unabhängigen Untersuchung der Materialien und Konstruktionsprinzipien, die diesen Phänomenen zugrunde liegen. Transparenz, ethische Prüfung und interdisziplinäre Zusammenarbeit sind unabdingbar, um mit den Auswirkungen dieser neuen Wissenschaft verantwortungsvoll umzugehen. Ohne entschlossenes Handeln besteht die Gefahr, dass diese Entdeckungen die Vertrauenskrise zwischen den Institutionen und den Gesellschaften, denen sie zu dienen vorgeben, noch verschärfen.

Materialien und Methoden

Mikroskop-Spezifikationen

Neogenesis System 9W LED mit austauschbaren Hellfeld- und Dunkelfeldkondensoren, ausgestattet mit einer HDMI HD USB Kamera (maximale Auflösung: 3264 x 1836).

- **Hellfeld-Kondensator:** Abbe-Kondensator mit mattiertem Filter (NA=1,25)
- **Dunkelfeld-Kondensator:** Ölimmersions-Dunkelfeldkondensator mit

Nierencharakteristik Dia-Vorbereitung

Die Objektträger wurden von Livingstone International PTY Ltd. hergestellt. (Dicke: 0,8-1,0 mm; Abmessungen: 76,2 x 25,4 mm). Die Objektträger wurden mit einem sterilen Tupfer aus 70 %igem Isopropylalkohol gereinigt, um etwaige Verunreinigungen zu entfernen. Anschließend wurden sie mit einem Kimwipes Kimtech Wischtuch für empfindliche Aufgaben getrocknet, um sicherzustellen, dass keine Fussel oder Partikel zurückblieben.

Pfizer-BioNTech-Impfstoff-Proben

Die Proben von Pfizer Comirnaty wurden aus Mehrwegfläschchen nach der Standardvorbereitung mit Verdünnungsmitteln (siehe Anhang 1) entnommen. Nach den Routineverfahren blieben ein oder zwei Spritzen pro Tag als Überschuss übrig. Diese überschüssigen Proben wurden gekühlt in einem Behandlungsraum gelagert, isoliert von anderen Medikamenten, um Kreuzkontaminationen zu vermeiden.

Pfizer Unternehmen

Das Los PCB0020, Verfallsdatum: 08/2022, wurde untersucht (Abbildung 1).



Abbildung 1. Mehrwegfläschchen der Charge PCB0020 mit einem Verfallsdatum von August 2022 des Pfizer Comirnaty-Produkts des für diese Studie verwendeten Typs.

Kontrollproben

1. Es wurden Kontrollproben hergestellt, um die Spezifität der im Impfstoff von Pfizer Comirnaty beobachteten Strukturen zu bewerten. Jede Probe diente dazu, Artefakte, Kontaminationen oder natürlich vorkommende Strukturen auszuschließen:
2. Normale Objektträger ohne Probe: Baseline zur Ermittlung von Artefakten oder Hintergrundstrukturen, die durch die Präparation des Objektträgers oder die Mikroskopeinstellungen entstehen.
3. Wasser aus Umkehrosiose (RO): Neutrale Basislinie zur Erkennung von lösungsmittelbedingten Strukturen.

4. Hartes Wasser (Leitungswasser): Enthält natürlich vorkommende Mineralien (z. B. Kalzium, Magnesium), um die vom Ionengehalt beeinflussten Kristallisationsmuster zu bewerten.
5. Kochsalzlösung zur Injektion (Pfizer, Lot FP2922, Exp Jan-24): Isotonische Lösung, um Salzkristallisationsmuster von impfstoffspezifischen Strukturen zu unterscheiden.
6. Dreifach destilliertes Rosenwasser: Organische Kontrolle zur Bewertung natürlicher kolloidaler Materialien und Ablagerungsmuster aus organischen Verbindungen.
7. Saccharose-Lösung (10%): Einfache Kohlenhydratlösung zur Beobachtung des zuckerermittelten Strukturverhaltens beim Verdampfen.
8. Cholesterinlösung (10% in 2% Ethanol und Kochsalzlösung): Kontrolle auf Lipidbasis zur Erforschung der Auswirkungen amphiphiler Moleküle auf die strukturelle Organisation.
9. Polyethylenglykol 400 (10%ige Lösung): Polymerkontrolle zur Bewertung des Einflusses von makromolekularer Verdrängung und Viskosität auf Selbstorganisationsprozesse.
10. Moderna Spikevax (Los 2100714, Exp 01/2023): Vergleichende mRNA-basierte COVID-19 Impfstoffs, um die einzigartigen Unterschiede der Formulierung von Pfizer hervorzuheben.

Verfahren

Pfizer Comirnaty wurde mit der Dunkelfeldmikroskopie und gelegentlich mit der Hellfeldmikroskopie unter Verwendung von 4-fach, 10-fach oder 20-fach Objektiven untersucht. Die Beobachtungen begannen unmittelbar nach der Platzierung der Probe auf dem Objektträger und wurden in regelmäßigen Abständen über sechs Monate fortgesetzt, um Veränderungen zu beobachten.

Auf Deckgläser wurde verzichtet, um eine natürliche Trocknung und die direkte Beobachtung der Strukturentwicklung während des zu ermöglichen. Die präparierten Objektträger wurden bei Raumtemperatur in Einzel- oder 10er-Boxen aufbewahrt. Das Mikroskop und die Proben wurden vor Verunreinigungen geschützt, wenn sie nicht in Gebrauch waren.

Vorbereitung der Probe

Alle Objektträger wurden nach einer einheitlichen Methode vorbereitet. Eine lineare Probe von Pfizer Comirnaty (~2 cm x 0,5 cm) wurde direkt aus einer 1-ml-Spritze mit einer 25-g-Nadel, die verdünnten, vorbereiteten Impfstoff enthielt, auf den Objektträger aufgetragen (gemäß den Anweisungen von Pfizer; [Anhang 1](#)). Nach einer teilweisen Trocknungszeit von 5 Minuten wurde eine weitere Schicht aufgetragen. Dieser Schichtungsprozess wurde wiederholt, so dass insgesamt vier Schichten entstanden, um die Sichtbarkeit der strukturellen Formationen zu verbessern, ohne die Oberfläche zu . Die Proben wurden in verschiedenen Abständen beobachtet: unmittelbar nach der Präparation, innerhalb von 12-24 Stunden und über mehrere Monate hinweg. Während dieser Zeit gingen die Proben von einer flüssigen in eine Gelphase über, trockneten aber bei Raumtemperatur nicht vollständig. Diese einzigartige Eigenschaft erleichterte die Untersuchung der sich entwickelnden selbstorganisierenden Formationen. Die Kontrollproben wurden nach demselben Verfahren hergestellt wie die von Pfizer Comirnaty. Einzelne Tropfen jedes Kontrollmaterials wurden aufgetragen und bis zu viermal geschichtet, wobei die Beobachtungen bis zum vollständigen Trocknen der Proben fortgesetzt wurden. Die Proben wurden nach 12-24 Stunden erneut untersucht, wobei keine weiteren Überprüfungen stattfanden.

Bildgebung und Ergebnispräsentation

Die folgenden Bilder (Abbildungen 2-161) wurden, sofern nicht anders angegeben, mit der Dunkelfeldmikroskopie aufgenommen. Diese Bilder dokumentieren einzigartige selbstorganisierende Strukturen, die in Pfizer Comirnaty beobachtet wurden und in den Kontrollproben nicht vorhanden waren. Ausführliche Bildunterschriften begleiten jedes Bild und liefern zusätzlichen Kontext. Eine Zusammenfassung der Kontrollergebnisse finden Sie in Tabelle 1, die sich unmittelbar nach Bildern befindet es.

Inhalt - Hyperlinks zu den wichtigsten Abschnitten (Anklickbare Links - Klicken Sie, um zu jedem Abschnitt zu springen)

Jeder Titel unten ist ein Hyperlink. Klicken Sie auf einen Abschnitt, um direkt zu diesem Teil des Dokuments zu navigieren. Jeder Titel eines Abschnitts enthält auch einen Hyperlink, der zur einfachen Navigation zu dieser Inhaltsseite zurückführt.

1. [Prozess der Verdampfung sessiler Tropfen und erste Beobachtungen](#)
Abdeckung der grundlegenden Beobachtungen der Selbstorganisation bei der Verdampfung von sessilen Tröpfchen.
2. [Fortgeschrittene Kristallbaugruppen](#)
Erörterung komplizierter Kristallformationen, ihrer Symmetrie und geometrischen Organisation.
3. [Manipulation der Verdunstung sessiler Tröpfchen](#)
Erforschung externer Faktoren, die den Verdampfungsprozess von sessilen Tröpfchen beeinflussen.
4. [Zeitliche Dynamik in Proben von Pfizer Comirnaty](#)
Untersuchung von Veränderungen der kristallinen Strukturen im Laufe der Zeit
5. [Die "Daisy-Chain-Formation"](#)
Beweise für fortgeschrittene Selbstassemblierung
6. [Kristallvielfalt, Struktur und Klassifizierung](#)
Einführung von verschiedenen Untergruppen unter den beobachteten Kristallen.
7. ["Plugged-In-Phänomen"](#)
Detaillierte Darstellung der am meisten beobachteten "Kristall-Faser-Anordnung".
8. ["Kristall-Faser-Baugruppen"](#)
Hervorhebung der Verbindungen zwischen Fasern und Kristallen.
9. ["Kreis-Rechteck-Motive" \(CRMs\)](#)
Erforschung der verschiedenen geometrischen Motive in Kristallen
10. [Beweise für programmierte Gestaltung](#)
Untersuchung bemerkenswerten Ähnlichkeiten zwischen kristallinen Strukturen
11. [Aktive Rückbauphase](#)
Erfassen des dramatischen Rückbauprozesses in Echtzeit
12. [Aktive Bauphase](#)
Erfassen des dramatischen Bauprozesses in Echtzeit
13. [Zusammenfassung der Ergebnisse](#)
14. [Zusammenfassung der Kontrollen](#)
15. [Diskussion](#)
16. [Schlussfolgerung](#)
17. [Anhänge](#)
18. [Glossar](#)
19. [Referenzen](#)

Prozess der Verdampfung sessiler Tropfen und erste Beobachtungen

Die Sesseltropfenverdampfung (SDE) bietet eine leistungsstarke Methode zur Erforschung von Selbstorganisationsprozessen in pharmazeutischen Formulierungen und ermöglicht die direkte Beobachtung von Partikelumverteilung, Kapillarfluss und Materialablagerung in Echtzeit. Im Fall der Impfstoffproben von Pfizer Comirnaty offenbart die SDE dynamische Wechselwirkungen auf der Mikroskala, die eine zentrale Rolle bei der Bildung komplexer Strukturen spielen. Dieser Prozess ermöglicht einen detaillierten Blick auf den Übergang von der Umverteilung in der Flüssigphase zur Festkörperbildung und gibt Aufschluss über die Mechanismen, die die strukturelle Entwicklung vorantreiben.

Die ersten Phasen der Verdampfung, wie in Abbildung 2 zu sehen, zeigen eine gleichmäßige, kreisförmige Tröpfchenbegrenzung - ein charakteristisches Merkmal der aktiven Materialbewegung, die durch Kapillarkräfte beeinflusst wird. Durch diesen Prozess werden kolloidale Partikel an der Peripherie konzentriert, wodurch frühe Muster der Selbstorganisation entstehen, die die Grundlage für fortgeschrittenere Formationen bilden. Bei näherer Betrachtung des Tröpfchenrandes (Abbildung 3) sind komplizierte blasenartige Strukturen und ein spitzenartiges Netzwerk umverteilter Materialien zu erkennen, was darauf hindeutet, dass die dynamische Umverteilung eine Vorstufe zur strukturellen Organisation ist. Mit fortschreitender Verdampfung werden neue geometrische Formationen sichtbar (Abbildungen 4-6), die die zunehmende Komplexität der Selbstorganisation während dieses Prozesses veranschaulichen.

Die SDE-Methode ermöglicht nicht nur ein detailliertes Verständnis des Partikelverhaltens während der Verdampfung, sondern unterstreicht auch die Bedeutung von Umweltfaktoren, einschließlich der Verdampfungsdynamik und der Kapillarkräfte, für den hierarchischen Aufbau. Diese Technik bietet eine Grundlage für die Interpretation späterer Beobachtungen fortgeschrittener Strukturen und ihrer komplizierten Morphologien.

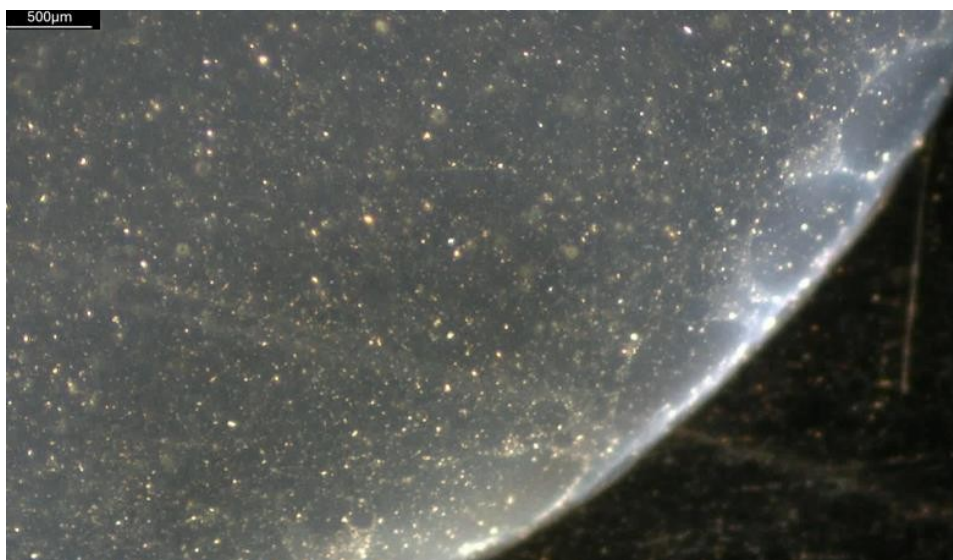


Abbildung 2. Sessiles Tröpfchen kurz nach Beginn der Verdampfung, das eine glatte kreisförmige Grenze zeigt, die durch Kapillarströmung angetrieben wird. Reflektierende Partikel, die im gesamten Tropfen verteilt sind, weisen auf kolloidales Material mit hoher Dichte hin, das die Kristallisation und frühe Selbstorganisation einleitet. Vergrößerung 25x.

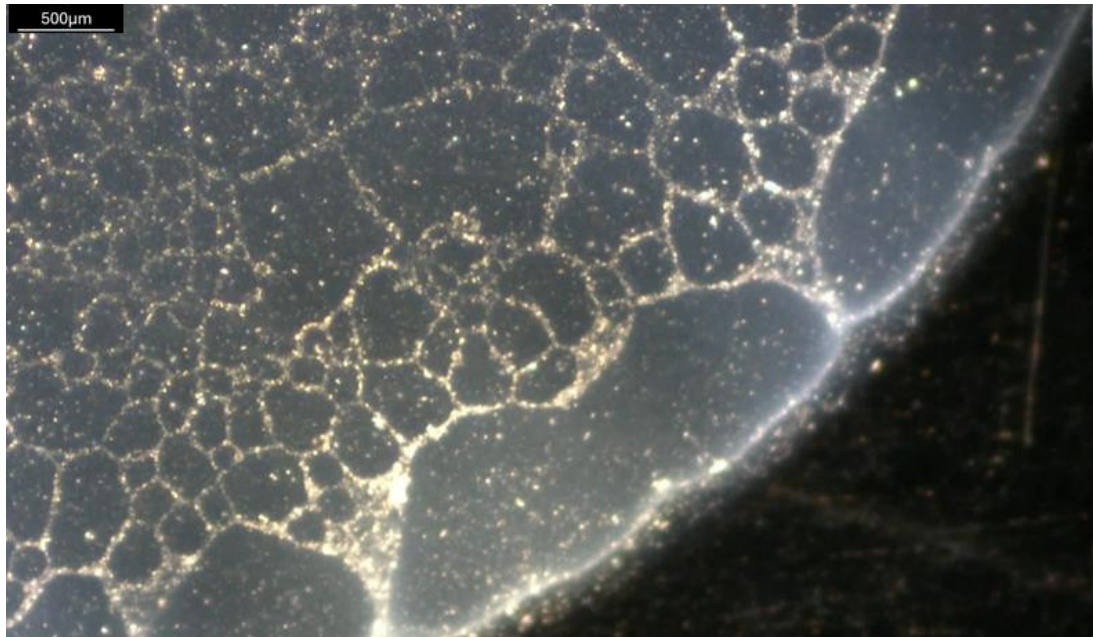


Abbildung 3. Ungefähr fünf Minuten nach der Verdampfung ist ein sessiler Tropfen zu sehen, der komplizierte blasenähnliche Strukturen, die sich an der Grenze bilden, und ein spitzenartiges Netz aus umverteiltem Material aufweist. Diese Merkmale deuten auf eine dynamische Materialumverteilung und das Fortschreiten von Selbstorganisationsprozessen hin, die durch Verdampfungsdynamik und Kapillarkräfte angetrieben werden. Vergrößerung 25x.

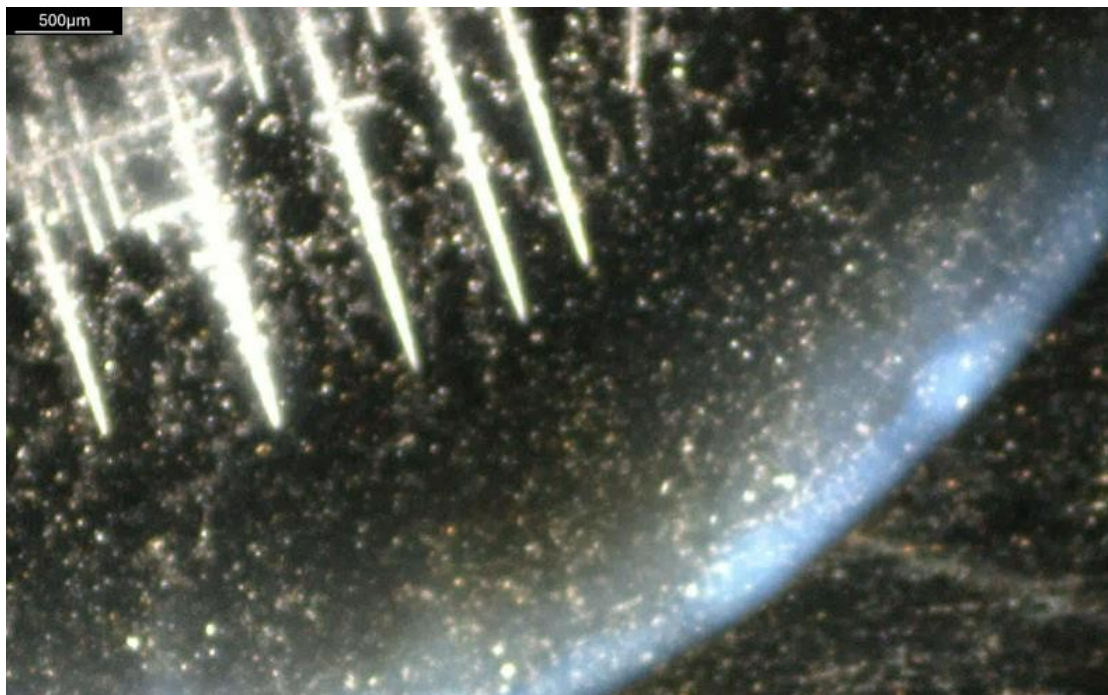


Abbildung 4. Nahaufnahme von nadelförmigen Kristallbildungen in einem sessilen Tropfen einer dichten kolloidalen Lösung, wobei die Natriumchloridkonzentration für das Kristallwachstum optimiert ist. Diese Formationen beginnen durchweg in der Mitte des Tropfens und dehnen sich nach außen aus, wenn das Lösungsmittel verdampft. Vergrößerung 25x.

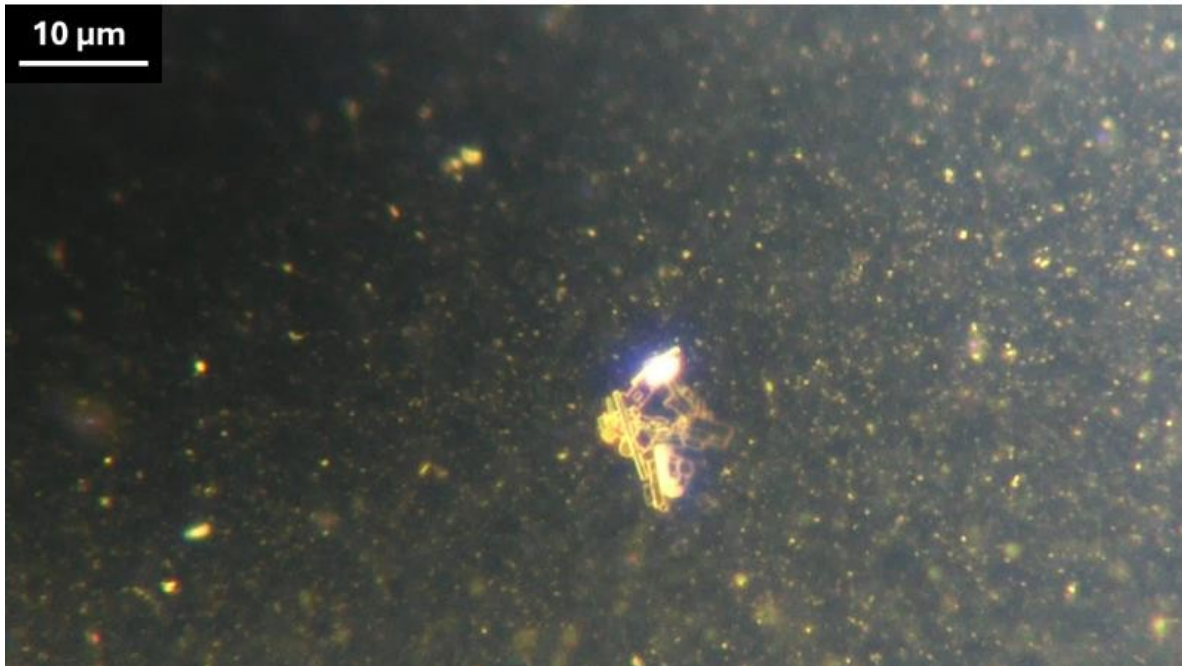


Abbildung 5. Nahaufnahme einer selbstorganisierenden Struktur in der flüssigen Phase des festsitzenden Tröpfchens. Vergrößerung 200x.

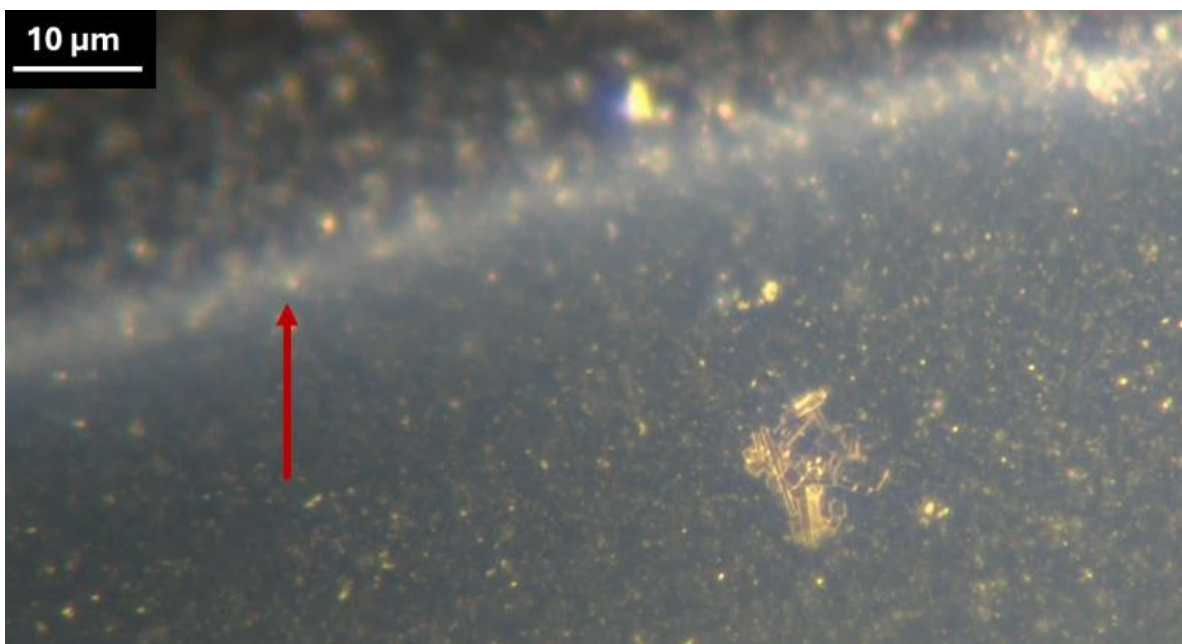


Abbildung 6. Die gleiche selbstorganisierte Struktur wie in Abbildung 5, beobachtet in der Nähe der Flüssigkeits-Gel-Grenzfläche. Der rote Pfeil hebt die Flüssigkeits-Gel-Grenzfläche hervor. Vergrößerung 200x.

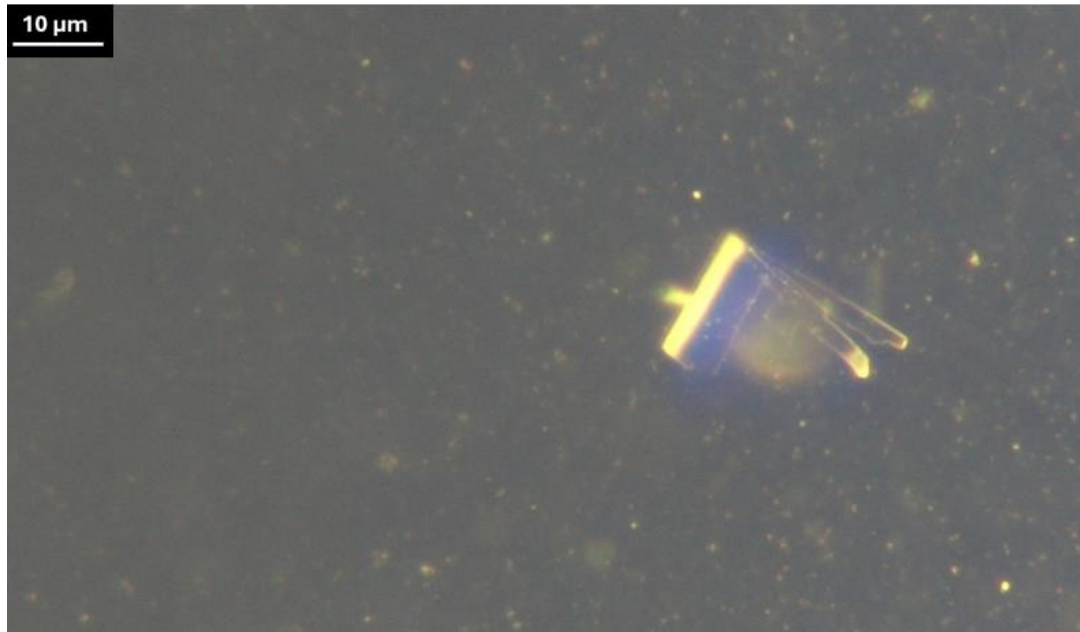


Abbildung 7. Große geometrische Struktur mit scharfen Kanten, die den Übergang von der Partikelaggregation zu einer definierten geometrischen Form zeigt. Dieses fortgeschrittene Stadium der Selbstorganisation unterstreicht die zunehmende Organisation und Komplexität. Vergrößerung 200x.

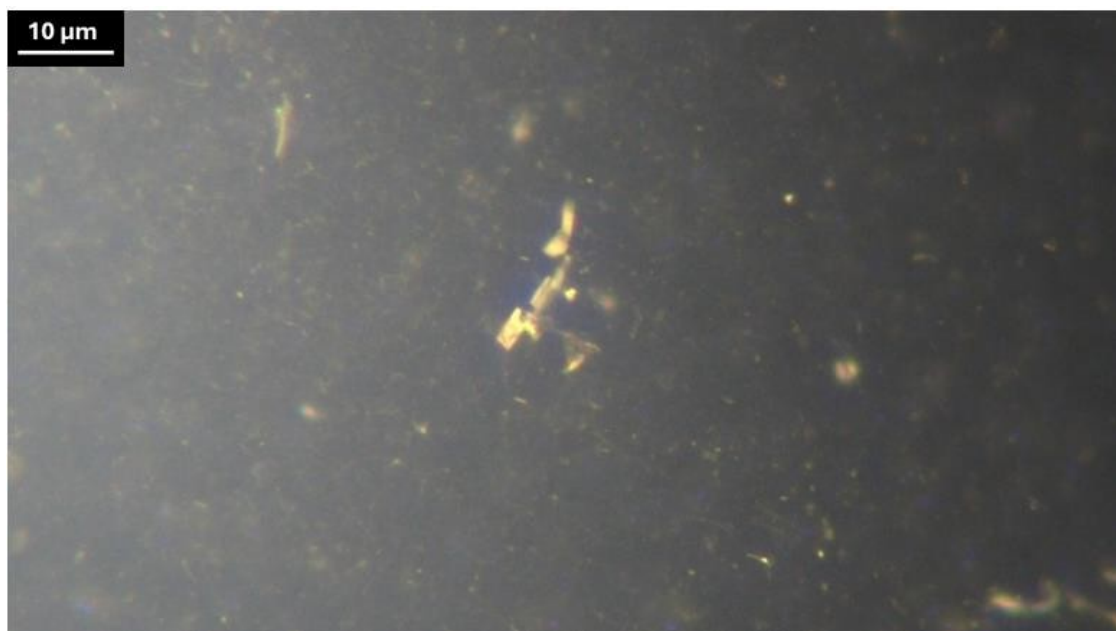


Abbildung 8. Selbstorganisierte Struktur mit ausgeprägter dreidimensionaler Form inmitten von kolloidalem Material, die das Fortschreiten der Selbstorganisationsdynamik und das Entstehen komplexer Geometrien verdeutlicht. Vergrößerung 200x.

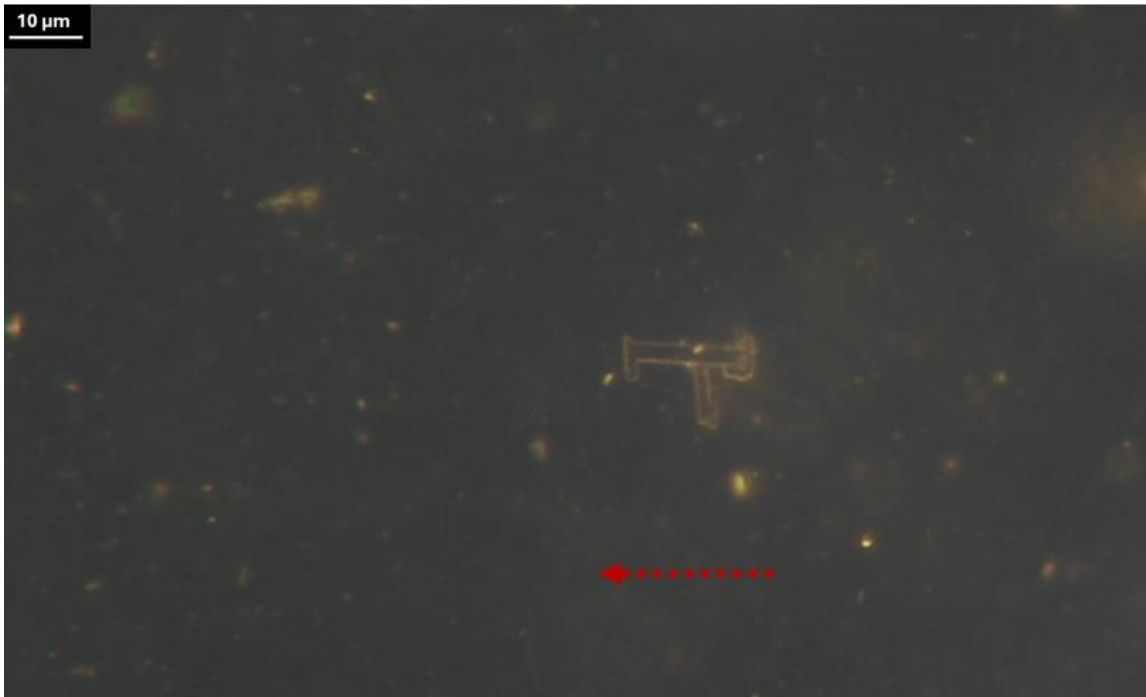


Abbildung 9 Dynamische selbstorganisierte Struktur in der flüssigen Phase, die eine Bewegung zeigt, die auf eine Umverteilung des aktiven Materials hindeutet. Der gestrichelte rote Pfeil hebt die Richtung des Flüssigkeitsstroms hervor und unterstreicht die dynamischen Wechselwirkungen, die die Selbstorganisation antreiben. Vergrößerung 200x.



Abbildung 10. Dieselbe Struktur wie in Abbildung 9, aufgenommen in einem anderen Stadium der Bewegung im flüssigen Medium. Der gestrichelte rote Pfeil zeigt die Richtung des Flüssigkeitsstroms an und verdeutlicht das Fortbestehen des dynamischen Verhaltens während der Selbstassemblierung. Vergrößerung 200x.

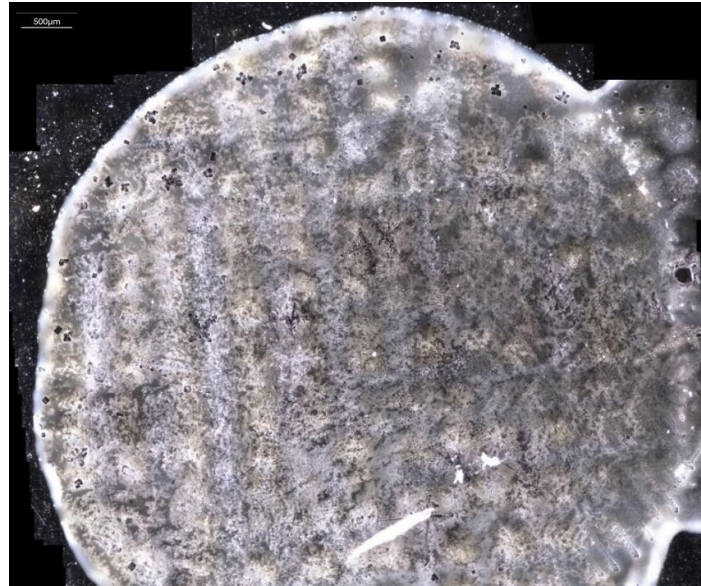


Abbildung 11. Getrockneter Tropfen nach 12 Stunden Verdampfung, der das Fortschreiten der Kristallisation zeigt. Während das Lösungsmittel verdampft, entstehen an der Peripherie körnige Kristallisationsmuster, die kleine, deutliche kristalline Strukturen bilden. Diese peripheren Muster kontrastieren mit dem dichteren, besser organisierten zentralen Bereich und unterstreichen die Heterogenität Kristallisationsdynamik. Vergrößerung 20x.

Fortgeschrittene Kristallbaugruppen

Das Fortschreiten der Selbstorganisationsprozesse in den Proben von Pfizer Comirnaty zeigt eine bemerkenswerte Entwicklung von der anfänglichen Umverteilung der Partikel bis hin zum Entstehen hochentwickelter kristalliner Strukturen. Diese Formationen weisen eine bemerkenswerte geometrische Präzision, Modularität und gerichtete Organisation auf, die alle auf einen zugrundeliegenden Mechanismus der kontrollierten Montage hindeuten.

Die Abbildungen 12 bis 19 dokumentieren diese kristallinen Anordnungen im Detail und verdeutlichen die modulare, ineinandergreifende Natur der rechteckigen Geometrien, die 12 Stunden nach der Präparation beobachtet wurden. Die scharfen Kanten und einheitlichen Merkmale dieser Kristalle deuten auf einen organisierten, gerichteten Montageprozess hin. Darüber hinaus untermauern die spiegelnden Oberflächen der Strukturen die Hypothese, dass ihre Bildung durch synthetische Prinzipien beeinflusst wird, möglicherweise durch eine Programmierung im Nanomaßstab oder durch gesteuerte Zusammensetzungsmechanismen.

Die nähere Betrachtung einzelner Formationen, wie z. B. der scharfkantigen rechteckigen Strukturen in den Abbildungen 14 und 15, unterstreicht die schichtweise Komplexität und innere Organisation der Kristalle. Diese Beobachtungen stellen herkömmliche Kristallisationsmodelle, die auf stochastischen Prozessen beruhen, in Frage, da sie strukturelle Regelmäßigkeiten offenbaren, die auf eine bewusste Gestaltung oder fortschrittliche technische Prinzipien hinweisen.

Die Wechselwirkung zwischen Umweltbedingungen und strukturellen Ergebnissen wird in diesem Zusammenhang besonders deutlich. Die zunehmende Komplexität dieser Strukturen deutet darauf hin, dass das Verhalten der Materialien während des Verdunstungsprozesses nicht nur passiv ist, sondern aktiv von bestimmten physikalischen und chemischen Faktoren beeinflusst wird.

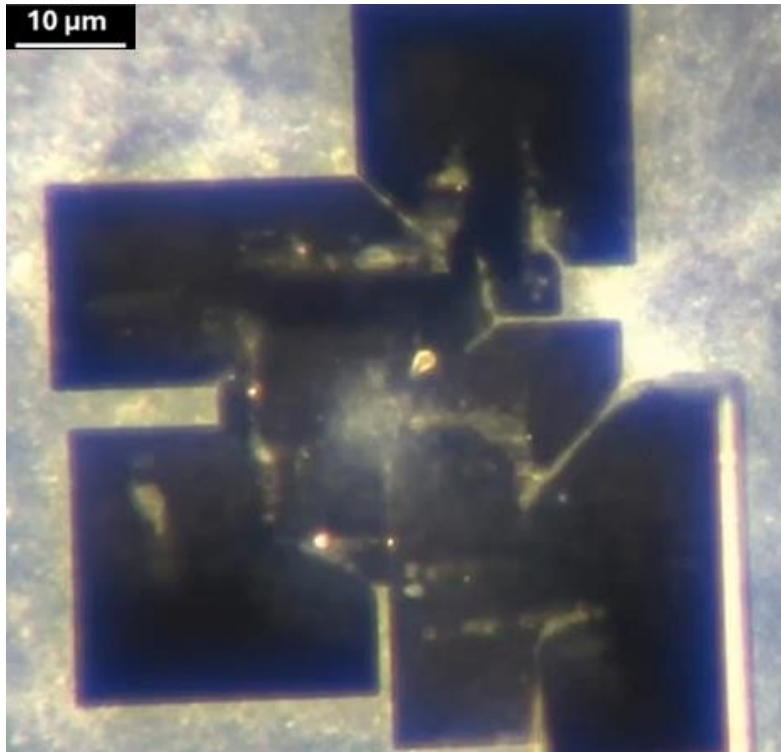


Abbildung 12. Selbstorganisierte kristalline Struktur nach 12 Stunden, die eine modulare, ineinandergreifende Anordnung von rechteckigen Geometrien zeigt. Die scharfen Kanten und gleichmäßigen Merkmale lassen auf einen organisierten und gerichteten Montageprozess schließen, der durch die zugrunde liegenden synthetischen Prinzipien beeinflusst wurde. Vergrößerung 100x.

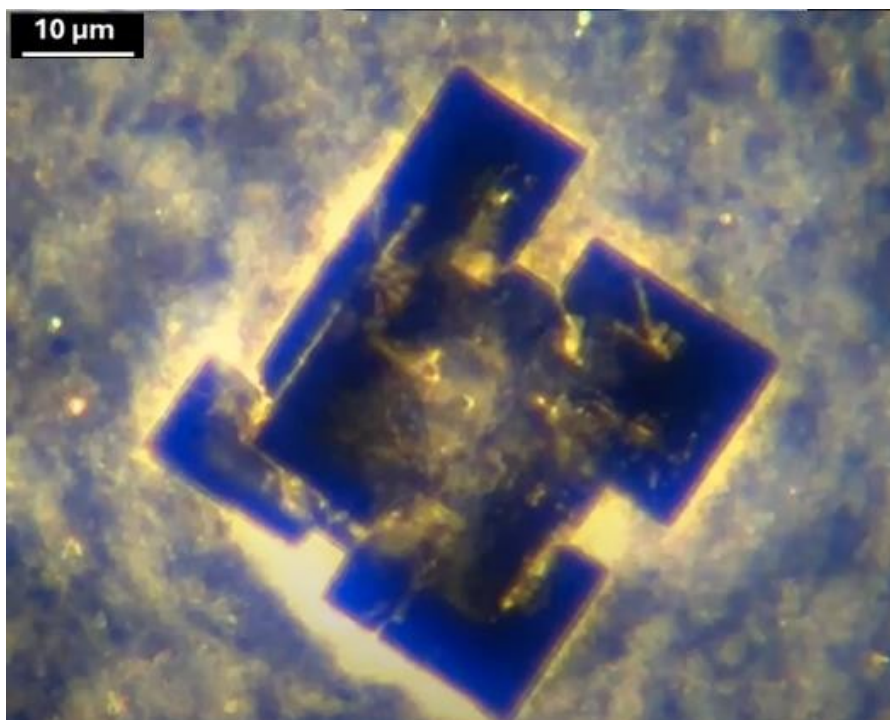


Abbildung 13. Nahaufnahme einer ähnlichen kristallinen Formation nach 12 Stunden, die eine komplexe Schichtung und reflektierende Oberflächen zeigt. Die komplizierten Details und präzisen Ausrichtungen untermauern die Hypothese eines kontrollierten Selbstorganisationsmechanismus. Vergrößerung 100x.

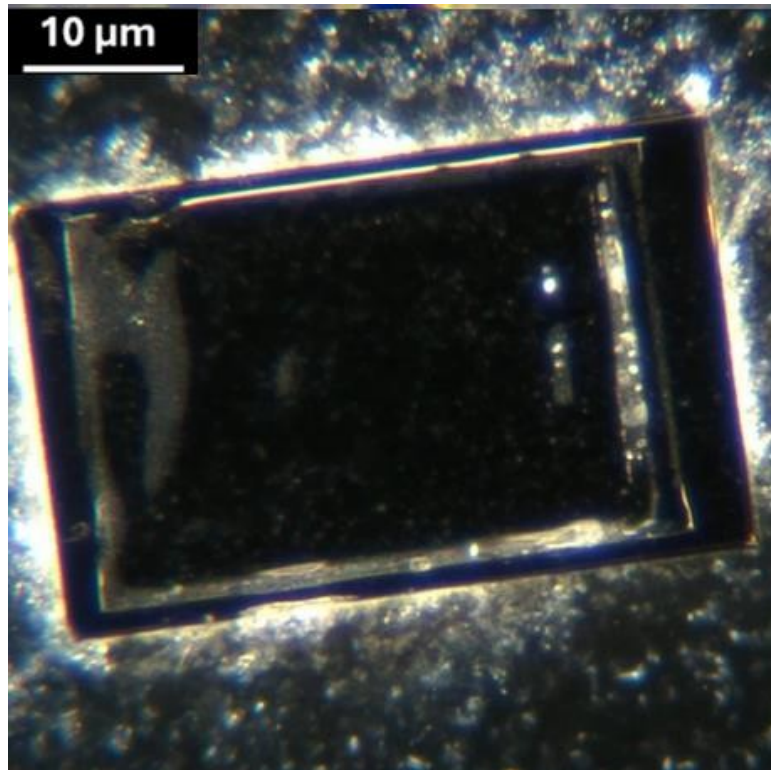


Abbildung 14. Rechteckige kristalline Struktur, beobachtet nach 12 Stunden, mit scharfen Kanten und einer stark reflektierenden Oberfläche. Die Gleichmäßigkeit und Klarheit des Rechtecks lassen auf einen kontrollierten Selbstorganisationsprozess schließen, der auf ein synthetisches Design hindeutet. Vergrößerung 200x

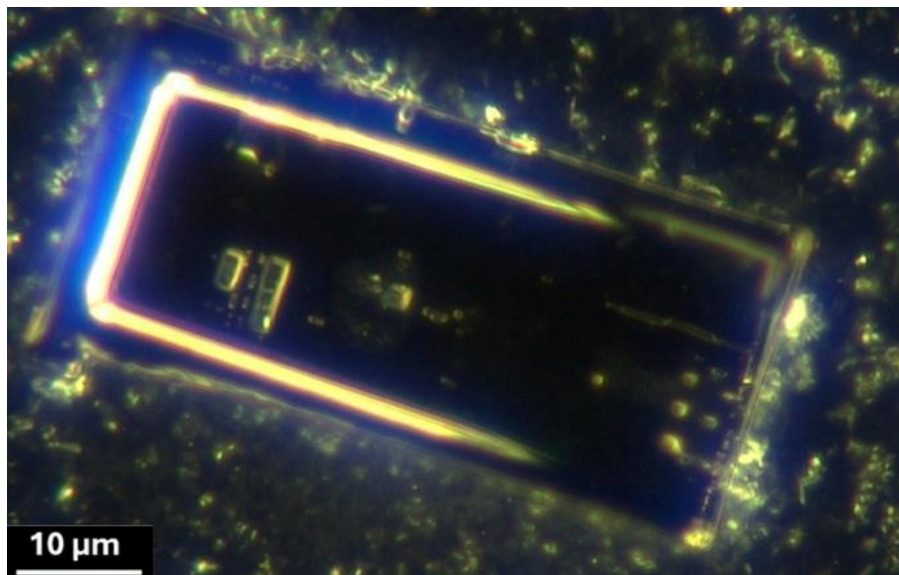


Abbildung 15. eines ähnlichen rechteckigen Kristalls nach 12 Stunden, der einen leuchtenden Rand und innere Merkmale aufweist, die auf eine schichtweise oder modulare Organisation hindeuten. Die komplizierten Details im Inneren des Kristalls bekräftigen die Hypothese eines gerichteten und komplexen Selbstorganisationsmechanismus. Vergrößerung 200x.

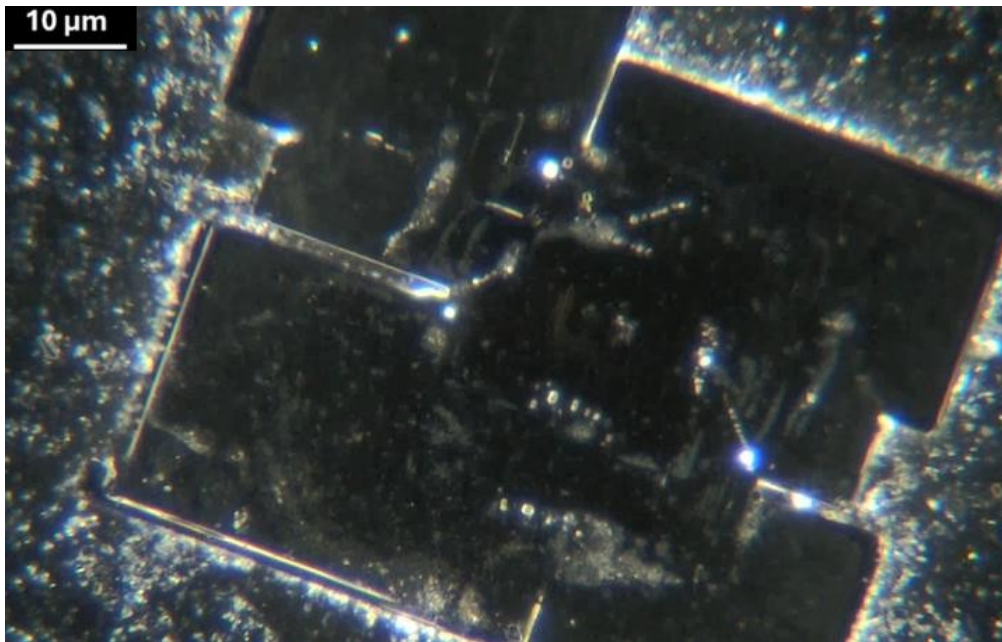


Abbildung 16. Rechteckige kristalline Struktur, die ihre scharfen Kanten und modulare, ineinandergreifende Geometrie hervorhebt. Die spiegelnden Oberflächen und die innere Komplexität lassen auf einen ausgeklügelten Selbstorganisationsprozess schließen, bei dem verschiedene Schichten zur strukturellen Organisation beitragen. Vergrößerung 100x.

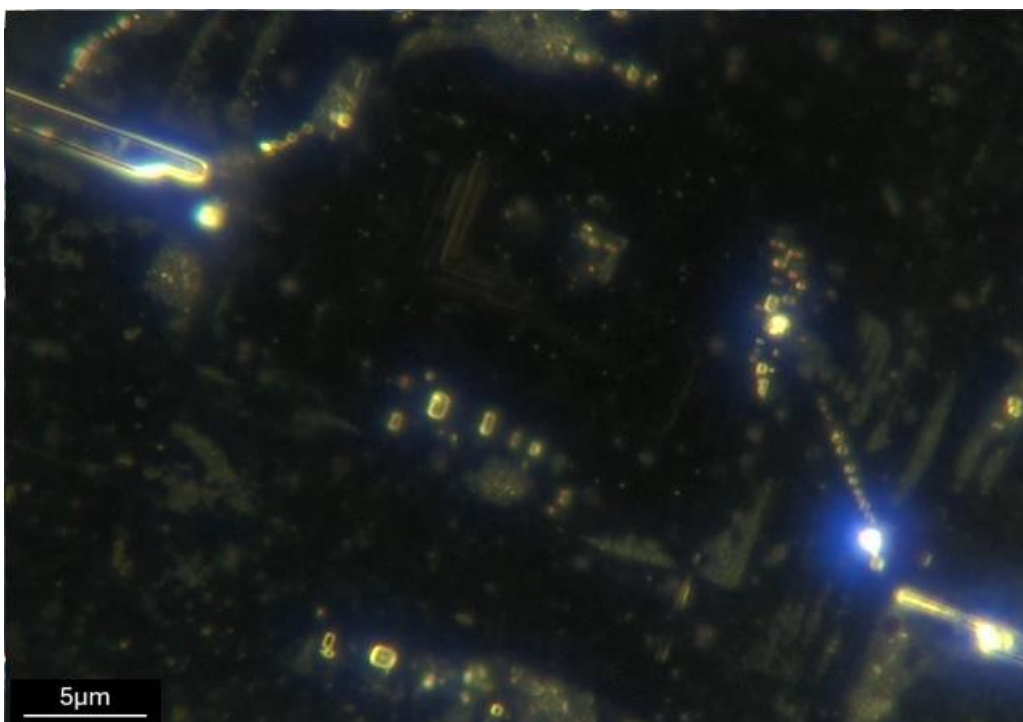


Abbildung 17. Ansicht desselben rechteckigen Kristalls bei 200-facher Vergrößerung, die feinere Details seiner inneren Merkmale und seines schichtweisen Aufbaus erkennen lässt. Die beleuchteten Kanten und komplizierten Muster sind ein weiterer Beweis für einen kontrollierten und dynamischen Selbstorganisationsmechanismus. Vergrößerung 200x.

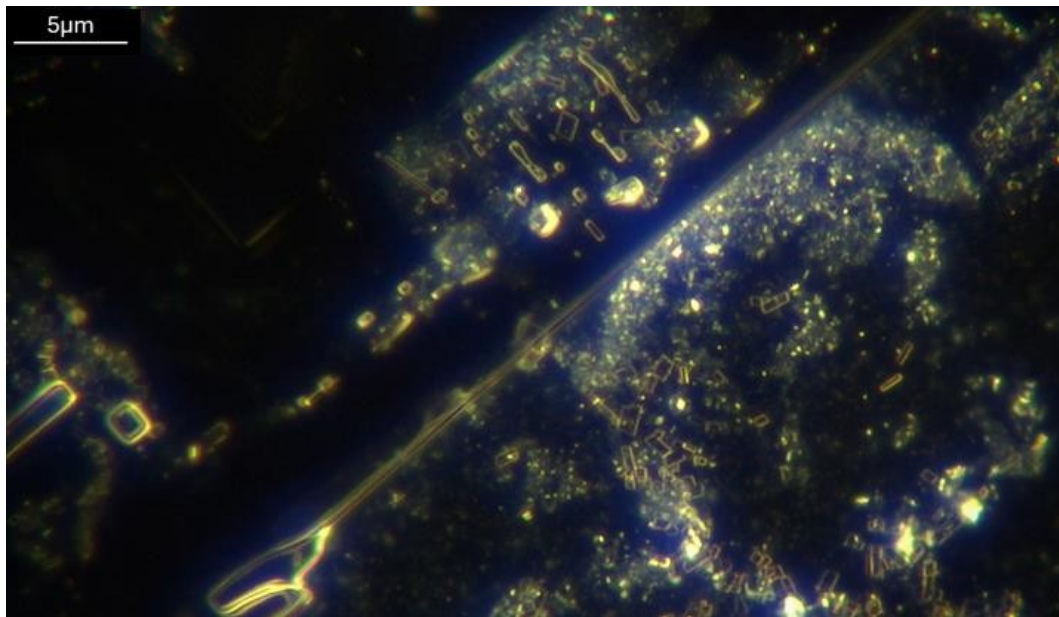


Abbildung 18. Nahaufnahme einer kristallinen Struktur bei 200-facher Vergrößerung, die körnige Details und komplizierte Muster innerhalb der Kristallmatrix hervorhebt. Das Zusammenspiel von Licht und Materialorganisation verdeutlicht die Komplexität des Selbstorganisationsprozesses. Vergrößerung 200x.

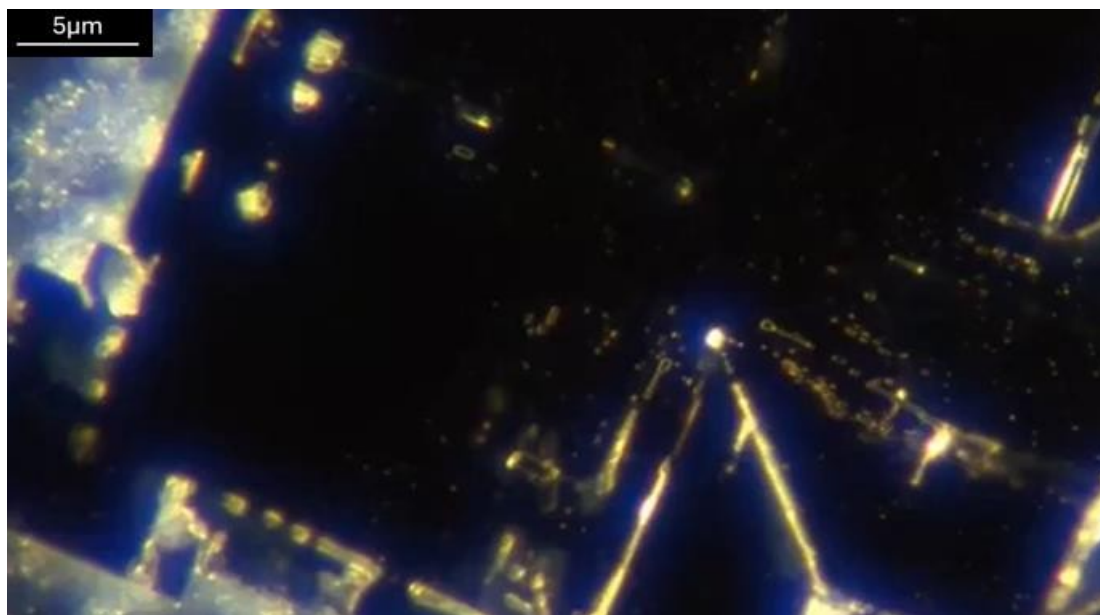


Abbildung 19. Detailaufnahme desselben Kristalls bei 200-facher Vergrößerung mit Schwerpunkt auf den beleuchteten Kanten und den dichten inneren Strukturen. Die präzisen Ausrichtungen und Schichtbildungen lassen auf einen hochgradig kontrollierten und dynamischen Zusammensetzungsmechanismus schließen. Vergrößerung 200x.

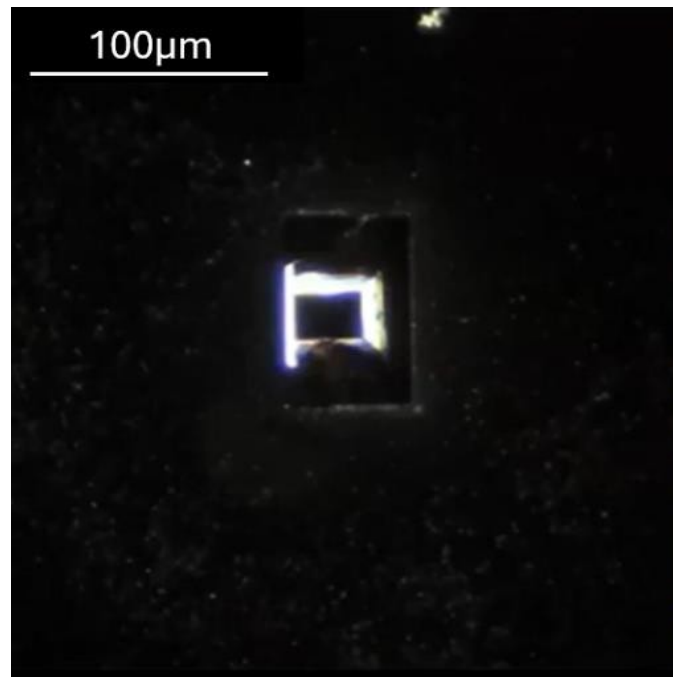


Abbildung 20. Das Bild, das mit 40-facher Vergrößerung aufgenommen wurde, bietet eine breitere Perspektive auf den Kontext des Kristalls in seiner Umgebung. Diese Ansicht hebt die Einzigartigkeit der Formation im Vergleich zu anderen beobachteten Strukturen hervor. Vergrößerung 40x.

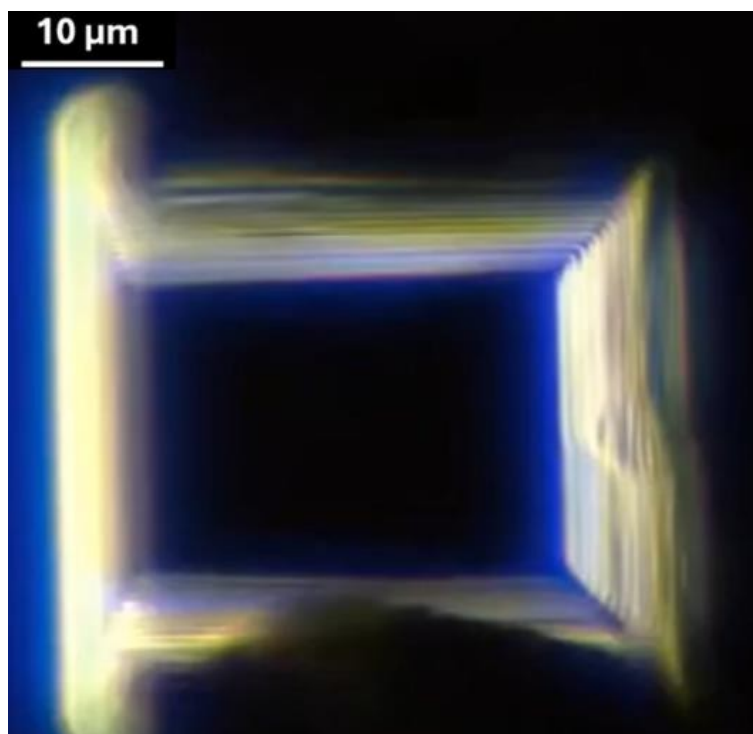


Abbildung 21. Ein detailliertes Bild des Kristalls, aufgenommen bei 200-facher Vergrößerung, hebt die geometrische Präzision und die Reflexionseigenschaften hervor und unterstreicht das komplizierte Design und die strukturellen Merkmale. Vergrößerung 200x.

Manipulation der Verdunstung sessiler Tröpfchen

Die Manipulation des SDE-Prozesses ermöglicht eine tiefere Untersuchung der Faktoren, die die Selbstorganisation in den Proben von Pfizer Comirnaty bestimmen. Durch die systematische Veränderung von Variablen wie der Konzentration der gelösten Stoffe, des Probenvolumens und der Verdampfungsbedingungen ist es möglich, signifikante Veränderungen der strukturellen Ergebnisse zu beobachten, die von subtilen Variationen bis hin zum Auftreten völlig neuer Formationen reichen.

Erste Experimente führten zu komplizierten geometrischen Strukturen und hierarchischen Anordnungen, die die Empfindlichkeit der Selbstorganisation gegenüber Umweltgradienten und der Dynamik des Materialflusses deutlich machten. Nachfolgende Anpassungen, einschließlich des Einsatzes von Zentrifugation zur Konzentration gelöster Stoffe, ergaben fortgeschrittene kristalline Anordnungen mit erhöhter Präzision und Komplexität. Die Abbildungen 22 bis 36 veranschaulichen diese Ergebnisse und dokumentieren, wie gezielte Manipulationen zu verfeinerten strukturellen Anordnungen führen, die die Kontrollierbarkeit von Selbstorganisationsprozessen unterstreichen.

Dieser systematische Ansatz verdeutlicht den tiefgreifenden Einfluss externer Faktoren auf das Materialverhalten. Durch die Nutzung der Dynamik gelöster Stoffe und die Optimierung der Verdampfungsparameter zeigen die Experimente, wie Umweltgradienten genutzt werden können, um die hierarchische Organisation hochentwickelter kristalliner Formationen zu steuern. Diese Ergebnisse bekräftigen das Konzept, dass die Selbstorganisation in diesem System nicht nur äußerst anpassungsfähig ist, sondern auch auf gezielte Eingriffe reagiert.

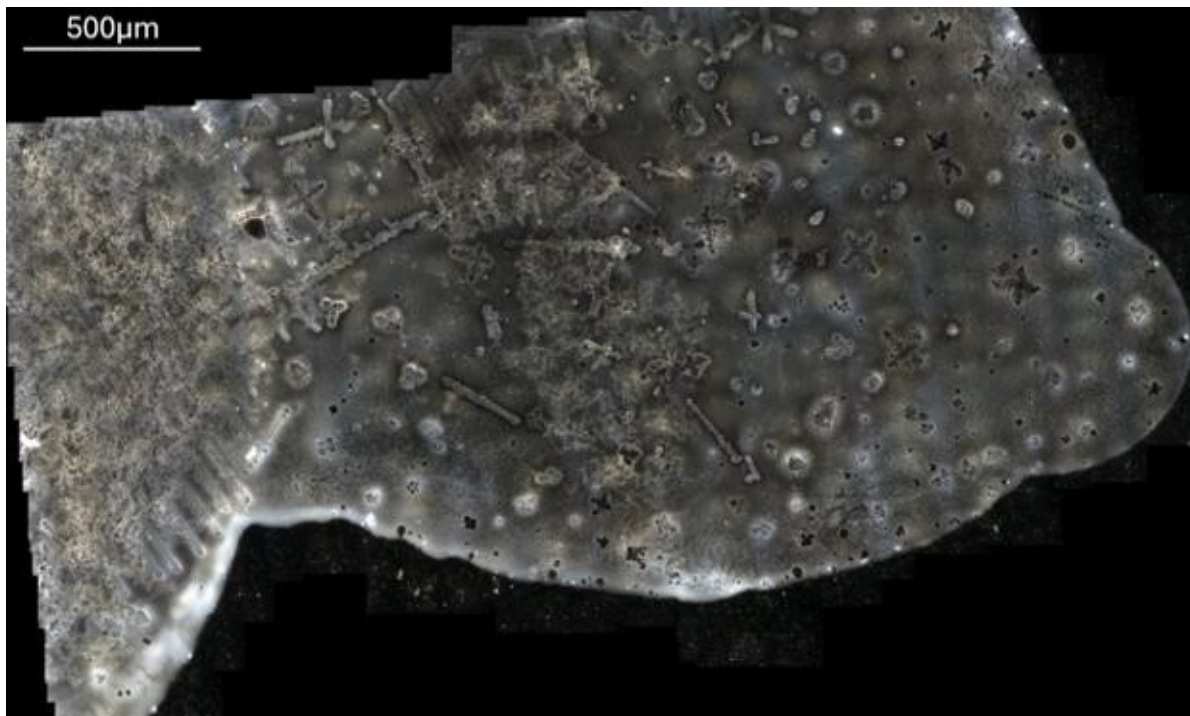


Abbildung 22. Zusammengesetztes Bild der (SDE), das die verschiedenen Kristallformationen zeigt, die von der Konzentration der gelösten Stoffe und der Verdampfungsdynamik beeinflusst werden. Dieses Bild verdeutlicht die Empfindlichkeit der Selbstorganisation gegenüber Umweltfaktoren. Vergrößerung 20x.

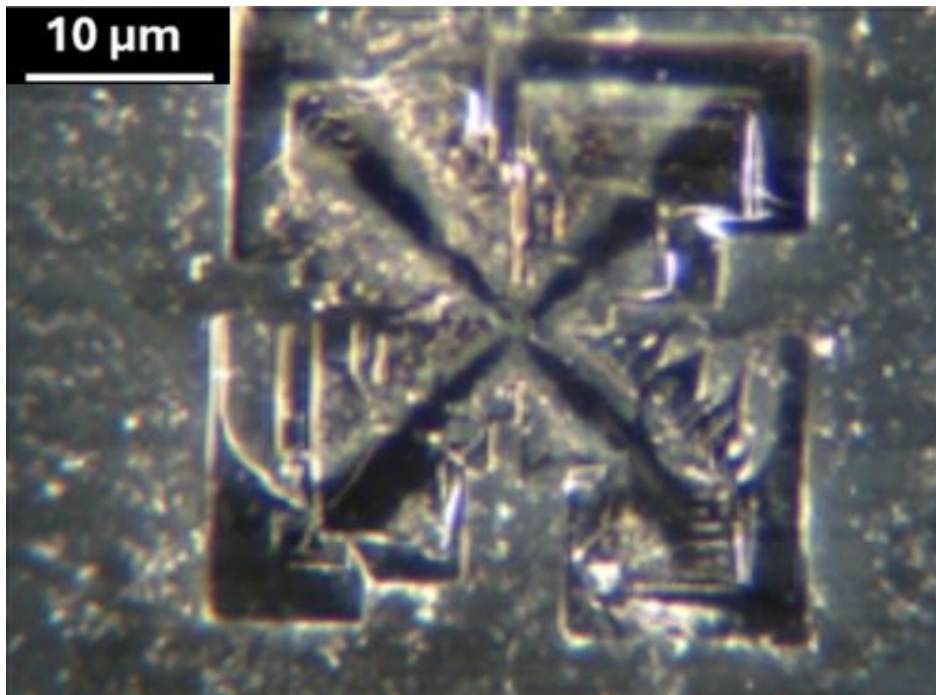


Abbildung 23. Durch SDE-Manipulation gebildeter Kristall, der symmetrische Merkmale und komplizierte innere Strukturen aufweist, die auf eine kontrollierte Selbstorganisation hindeuten. Vergrößerung 200x.

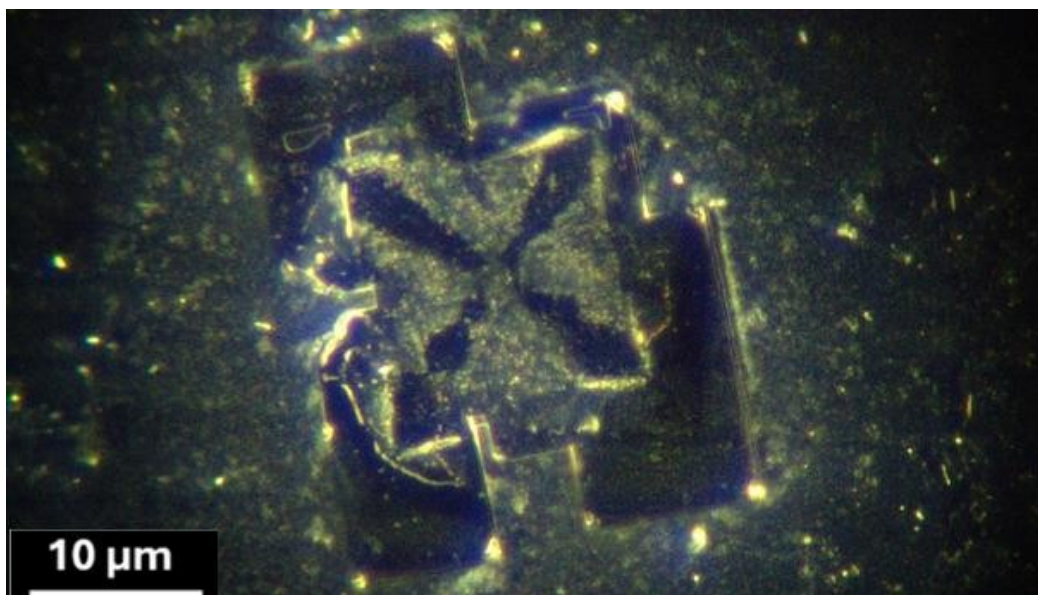


Abbildung 24. Durch SDE-Manipulation gebildeter Kristall. Diese Struktur weist eine erhöhte geometrische Komplexität und eine komplizierte innere Organisation auf, was die Variabilität der Ergebnisse widerspiegelt, die durch kontrollierte SDE-Prozesse erzielt werden können. Vergrößerung 200x.

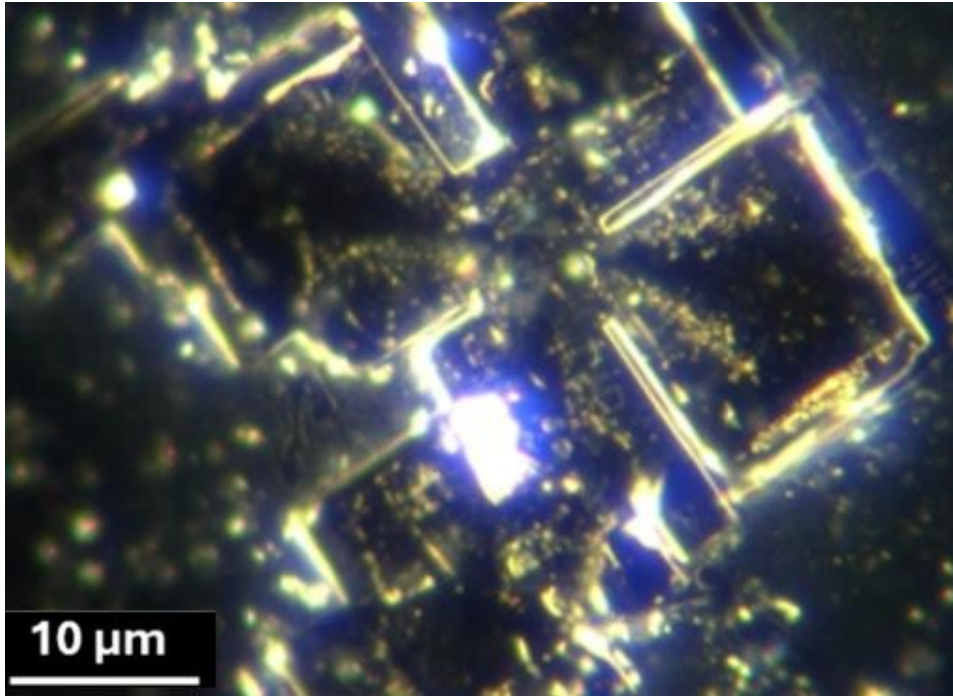


Abbildung 25. Fortgeschrittene Kristallstruktur mit scharfer, modularer Geometrie. Die reflektierenden Kanten unterstreichen die Präzision des Selbstorganisationsmechanismus. Vergrößerung 200x.

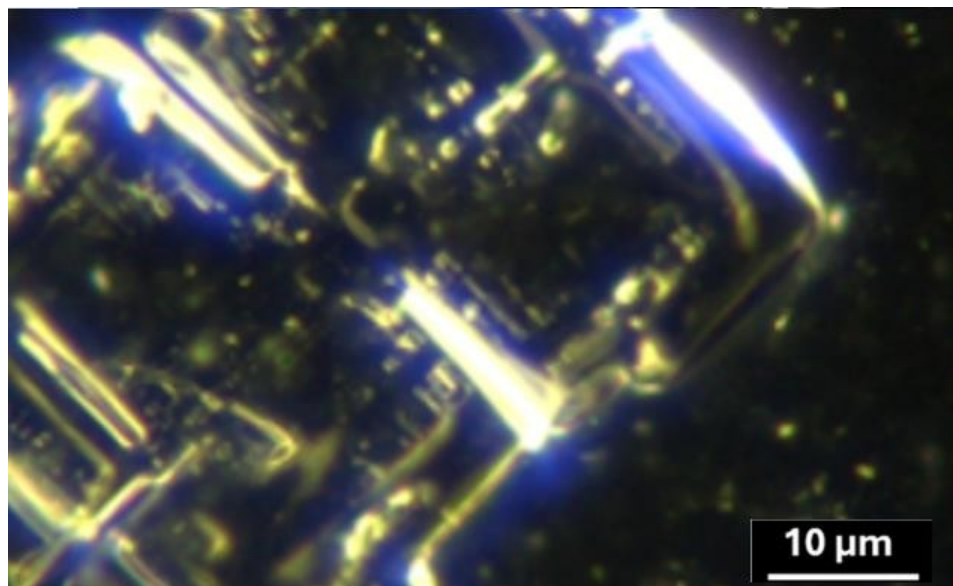


Abbildung 26. Detaillierte Ansicht der miteinander verbundenen kristallinen Merkmale, die die schichtweise Organisation und die dynamischen Zusammensetzungsprozesse während der SDE-Manipulation verdeutlichen. Vergrößerung 200x.

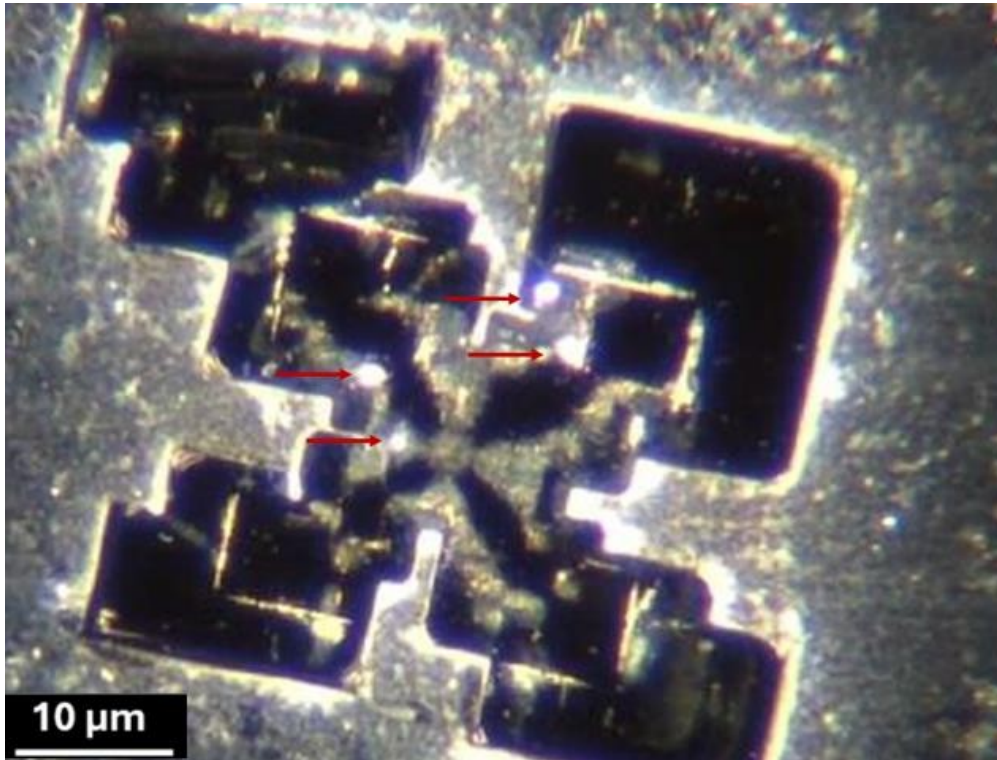


Abbildung 27. Dieser Kristall weist "Kreis-Rechteck-Motive" (CRMs) auf, die mit roten Pfeilen markiert sind und eine hoch organisierte Selbstorganisation zeigen. Vergrößerung 200x.

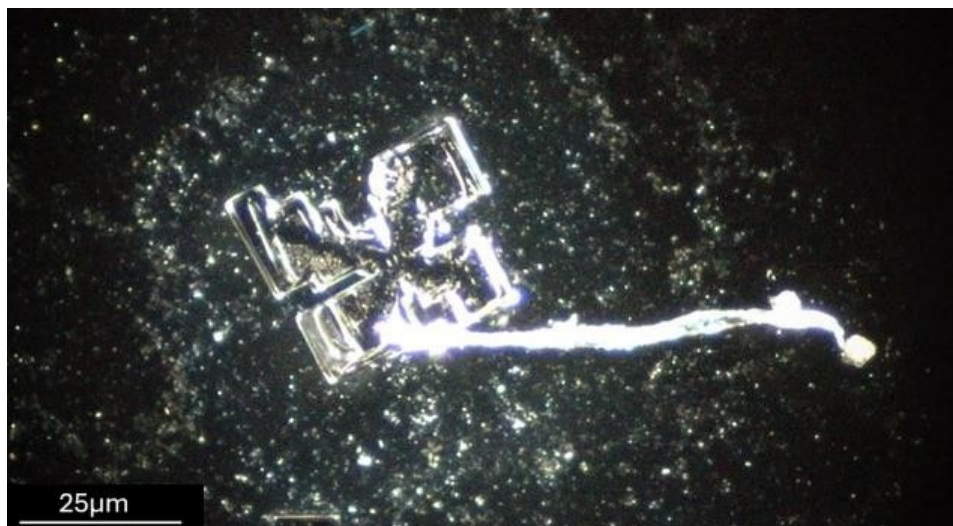


Abbildung 28. Eine "Kristall-Faser-Anordnung". Vergrößerung 100x.



Abbildung 29. Nadelartige Kristalle, die sich bei der Sessile Droplet Evaporation (SDE) durch die Zugabe von mehr Probe in der flüssigen Phase bilden. Die markanten schwarzen Spitzen heben ein einzigartiges Kristallisationsmerkmal hervor, das sich aus dieser Manipulation ergibt. Vergrößerung 100x.



Abbildung 30. Nahaufnahme der nadelartigen Kristalle, wobei die schwarzen Spitzen an den Verzweigungsenden hervorgehoben werden. Dieses Detail zeigt die lokale Dynamik der gelösten Stoffe und Materialvariationen innerhalb der manipulierten Kristallisationsumgebung. Vergrößerung 200x.



Abbildung 31. Komplexe geometrische Kristallformationen, die durch SDE-Manipulation entstanden sind. Die Strukturen weisen einen hierarchischen Aufbau und eine präzise modulare Organisation auf, was die Auswirkungen von Umgebungsgradienten und der Dynamik gelöster Stoffe auf Selbstorganisationsprozesse verdeutlicht. Vergrößerung 100x.



Abbildung 32. Fortgeschrittene kristalline Formation als Ergebnis der iterativen Manipulation des SDE-Prozesses. Vergrößerung 100x.

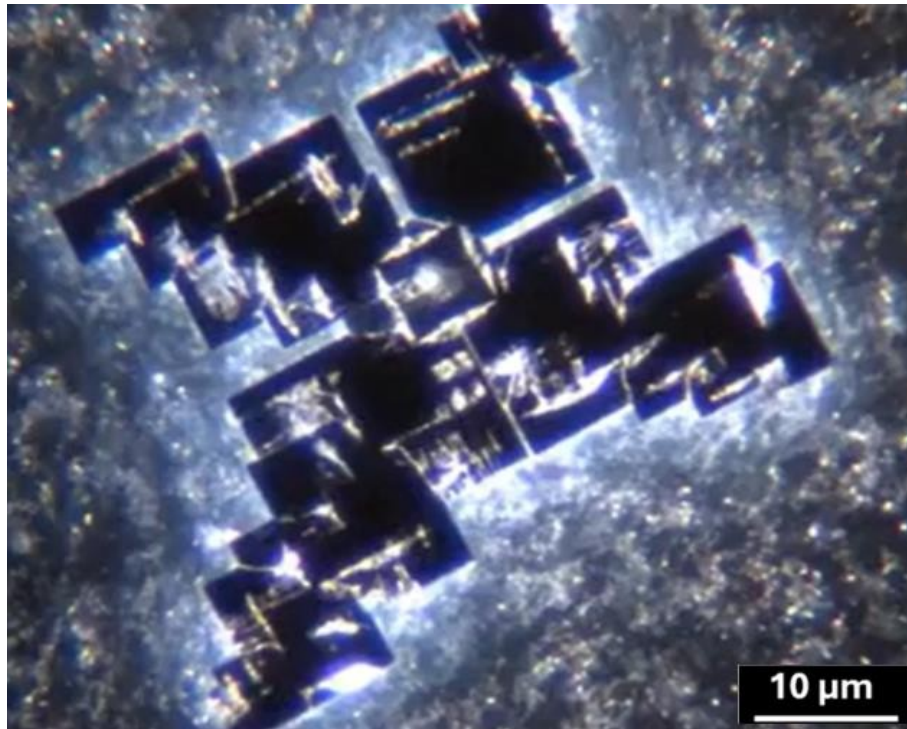


Abbildung 33. Geometrische Kristallformationen, die nach einem modifizierten Verfahren zur Verdampfung von sessilen Tröpfchen beobachtet wurden, bei dem die Probe durch Zentrifugation konzentriert wurde. Vergrößerung 200x.

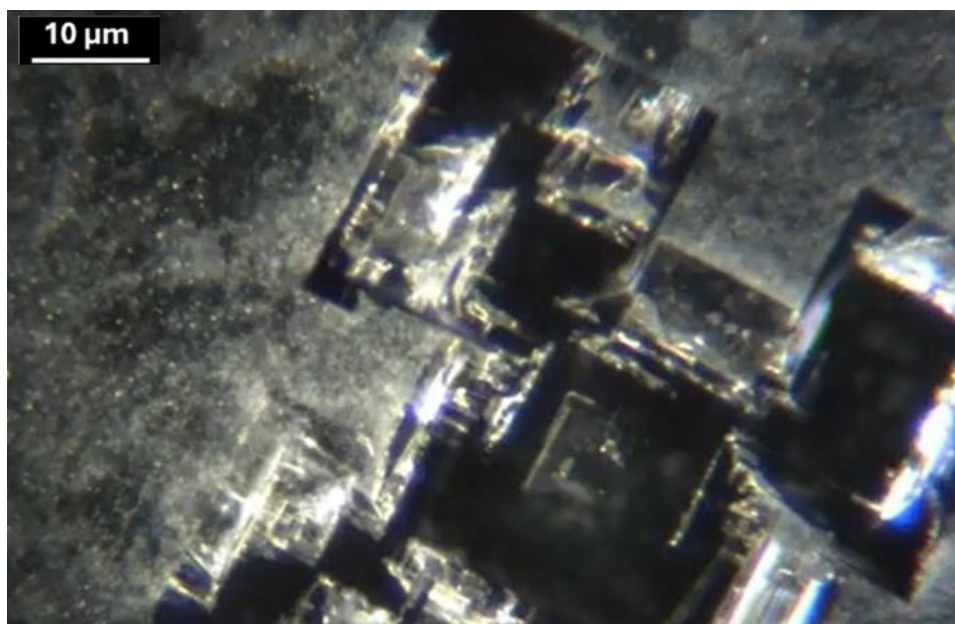


Abbildung 34. Geometrischer Kristall mit komplexer Schichtung. Aus einem modifizierten Sesseltropfen-Verdampfungsprozess mit Konzentration durch Zentrifugation. Vergrößerung 200x.

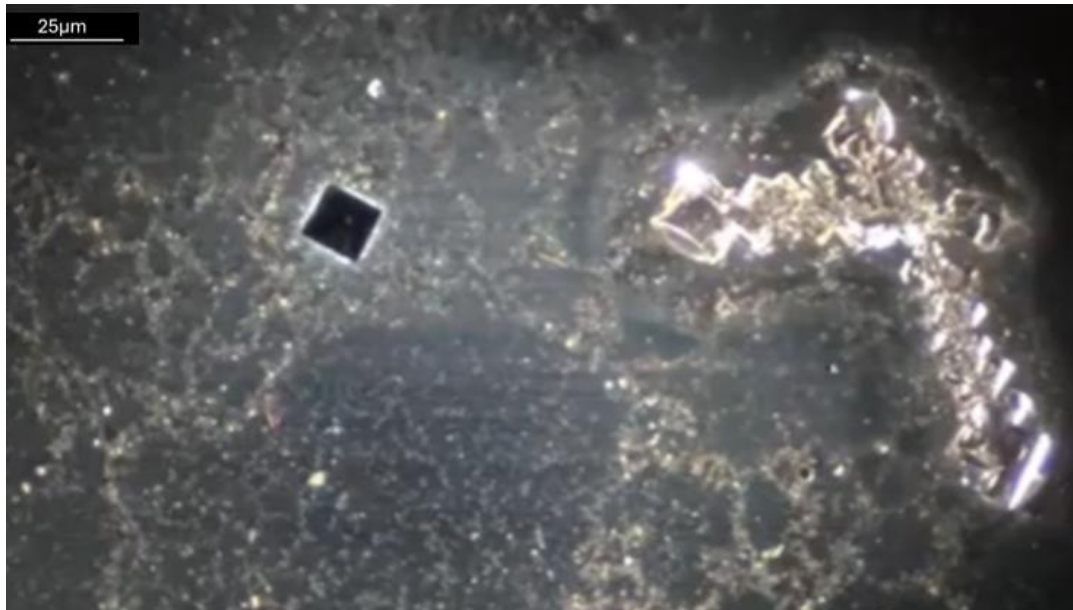


Abbildung 35. Kristallbildung in der Nähe des Tröpfchenrandes während des iterativen SDE-Prozesses. Das Bild verdeutlicht den Einfluss gezielter Manipulationen auf die Umverteilung der gelösten Stoffe und die kolloidale Strömungsdynamik. Vergrößerung 100x.



Abbildung 36. Eine breitere Ansicht in der Nähe des Tröpfchenrandes zeigt deutliche Kristallbildungen, die durch die Kolloidverteilung in diesem Bereich beeinflusst werden. Dieses Bild verdeutlicht die Beziehung zwischen Umweltgradienten und der Variabilität der Ergebnisse der Selbstorganisation. Vergrößerung 100x.

Zeitliche Dynamik in Pfizer Comirnaty Stichproben

Die zeitliche Entwicklung der kristallinen Strukturen in den Proben von Pfizer Comirnaty gibt wichtige Einblicke in die dynamische Natur der Selbstorganisationsprozesse. Die Beobachtungen über einen Zeitraum von zwei Monaten zeigen den allmählichen Übergang von anfänglichen geometrischen Formationen zu zunehmend verfeinerten und komplexen Architekturen.

Formationen im Frühstadium, wie die in den Abbildungen 37 und 38 dokumentierten, weisen scharfe Kanten und geschichtete Geometrien auf, die auf ein fortgeschrittenes Kristallisationsverhalten hinweisen. Im Laufe der Zeit entwickeln sich diese Strukturen weiter, wie in Abbildung 40 zu sehen ist, wo anfängliche Konfigurationen in stabilere und geordnetere Formationen übergehen. Diese Entwicklung unterstreicht die Rolle der Zeit als Schlüsselfaktor bei der Selbstorganisation, die eine ständige Wechselwirkung zwischen den Materialeigenschaften und den Umweltbedingungen ermöglicht.

Diese zeitlichen Veränderungen unterstreichen auch den adaptiven Charakter des kristallinen Systems. Merkmale wie die Entstehung neuer Motive, verstärkte Schichtung und Wechselwirkungen zwischen zuvor diskreten Anordnungen lassen auf einen dynamischen Prozess schließen, der durch kontinuierliche Umwelteinflüsse beeinflusst wird. Die Beobachtungen liefern überzeugende Beweise dafür, dass die Selbstorganisation in diesen Proben über die statische Kristallisation hinausgeht und eine kontinuierliche Entwicklung und Verfeinerung im Laufe der beinhaltet.

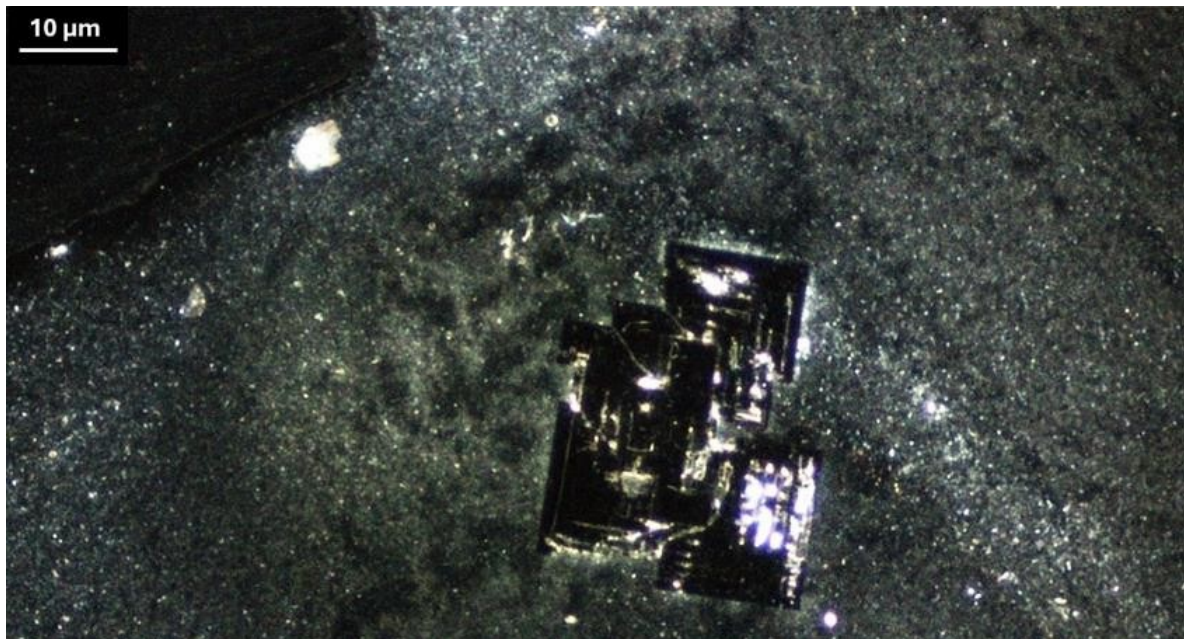


Abbildung 37. Kristallbildung in der Nähe des Probenrandes, mit scharfen Kanten und einer Schichtstruktur. Diese Morphologie spiegelt ein fortgeschrittenes Kristallisationsverhalten wider, das durch die Trocknungsdynamik beeinflusst wird. Vergrößerung 40x.

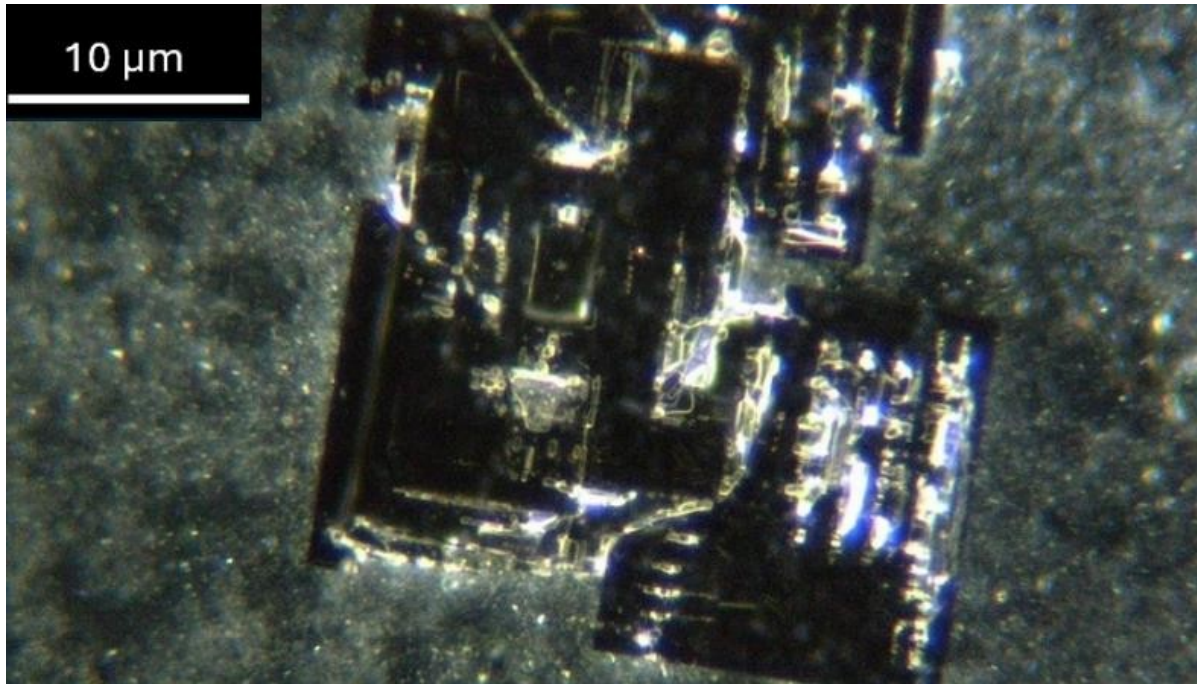


Abbildung 38. Näherer Blick auf den Kristall aus Abbildung 12, der seine komplizierte Schichtstruktur und die Präzision seiner geometrischen Anordnung hervorhebt. Vergrößerung 100x.

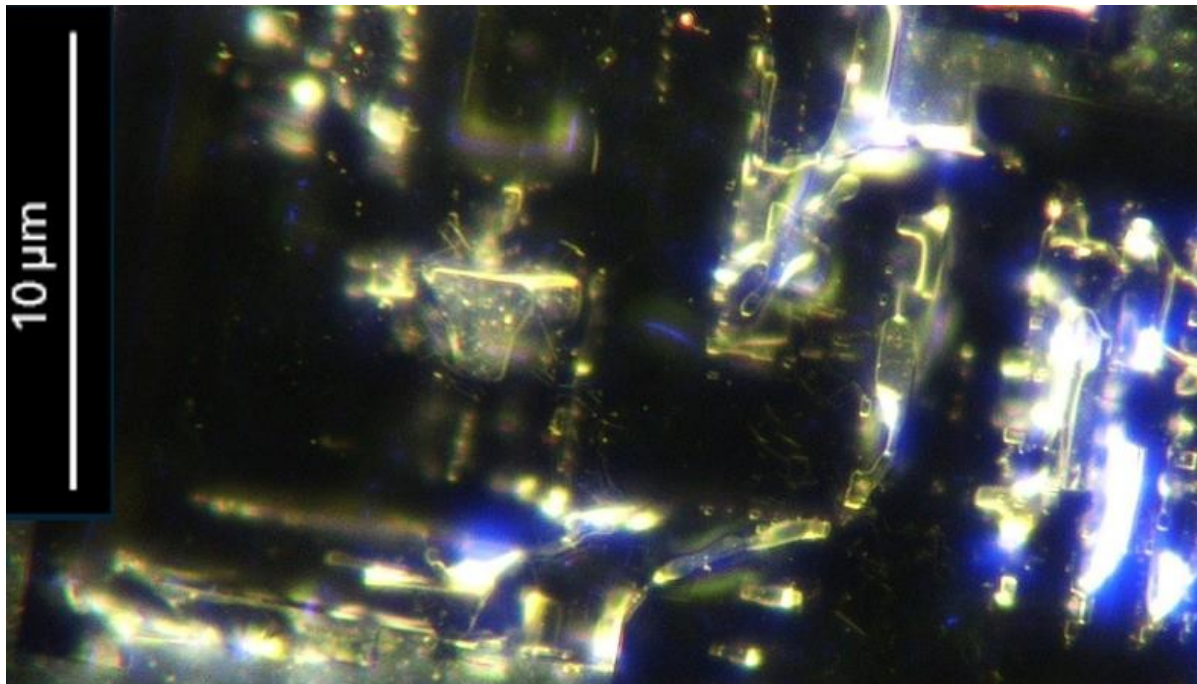


Abbildung 39. Hochvergrößerungsansicht einer Kristallstruktur mit komplizierter Schichtgeometrie und einer zentralen polygonalen Formation. Diese Merkmale unterstreichen die komplexe Organisation und hierarchische Anordnung, die für fortgeschrittene Selbstorganisationsprozesse charakteristisch sind. Vergrößerung 200x.

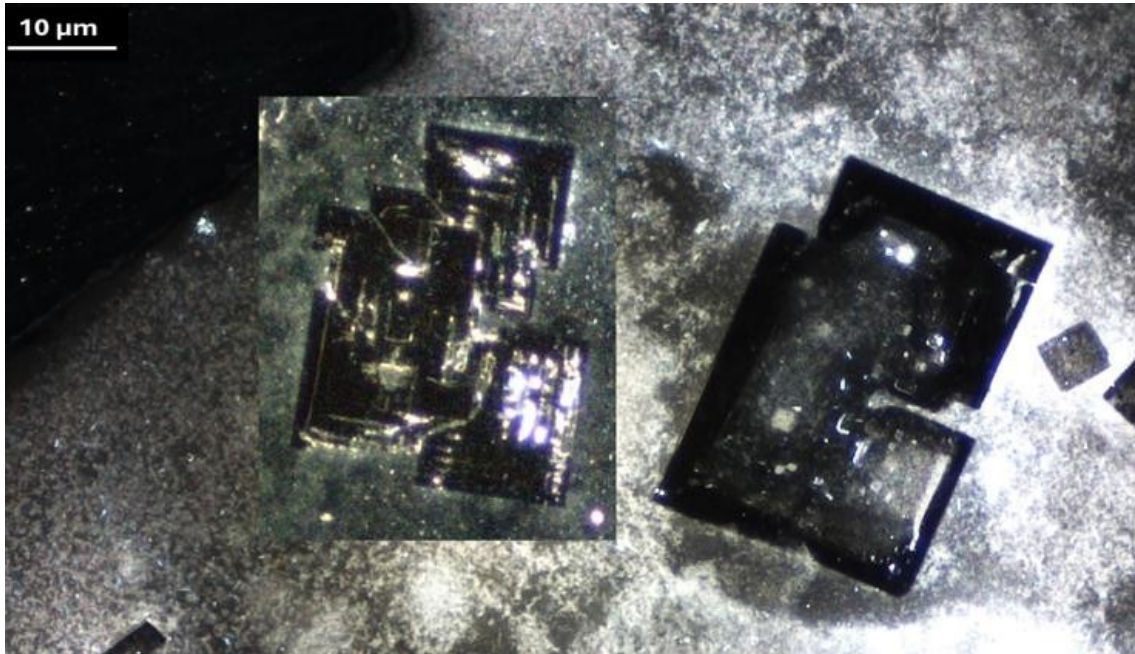


Abbildung 40. Vergleich der Kristallmorphologie nach 12 Stunden (Inset) und zwei Monaten, wobei der Übergang von anfänglichen geometrischen Strukturen zu verfeinerten und stabileren Gebilden deutlich wird. Diese Entwicklung veranschaulicht den dynamischen Charakter des Kristallisationsprozesses im Laufe der Zeit. Vergrößerung 40x.

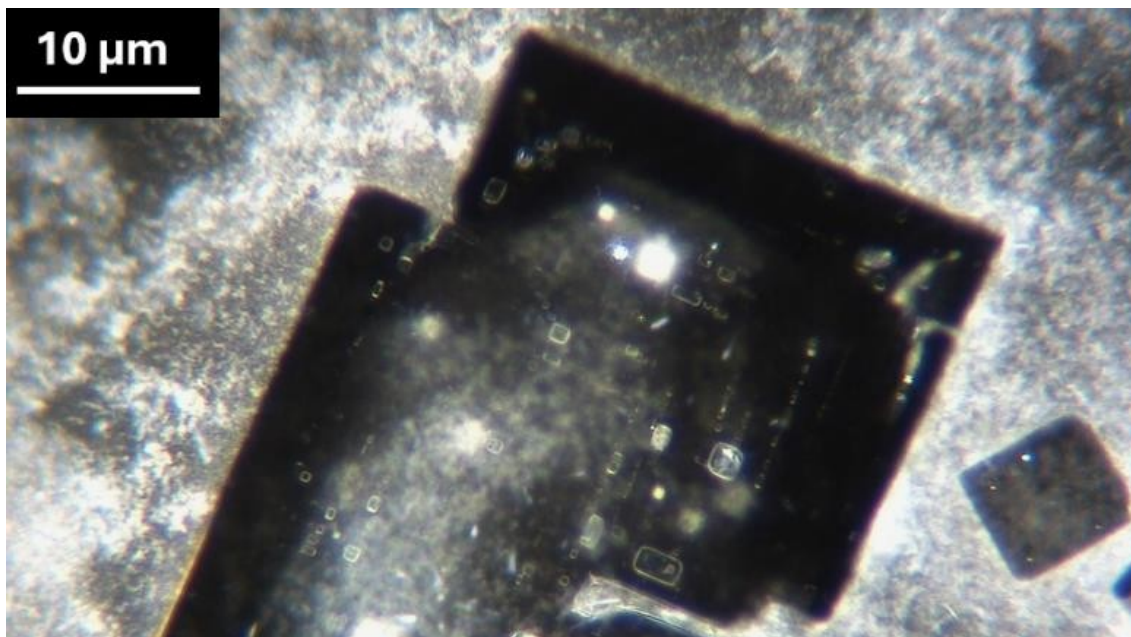


Abbildung 41. Nahaufnahme einer Kristallstruktur nach zwei Monaten, die eine verstärkte Schichtung, eine verbesserte geometrischer Merkmale und das Auftreten von reflektierenden Einschlüssen zeigt. Diese Veränderungen verdeutlichen die langwierige Entwicklung und Stabilisierung des Kristalls. Vergrößerung: 200x.

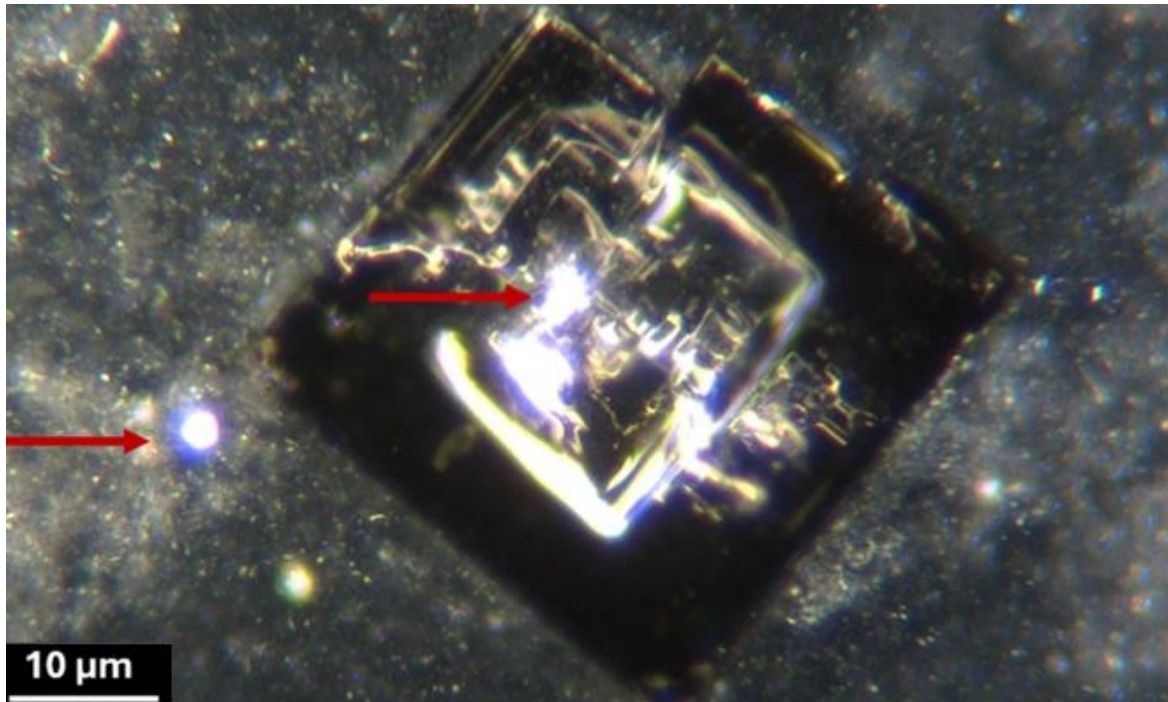


Abbildung 42. Diese 12-Stunden-Aufnahme eines dunklen Kristalls in der Probe von Pfizer Comirnaty hebt ein potenzielles Kreis-Rechteck-Motiv (CRM) (oberer roter Pfeil) und eine helle scheibenförmige Struktur (unterer roter Pfeil) hervor, was auf eine sich entwickelnde Dynamik während der Verdunstung hindeutet. Vergrößerung 200x.

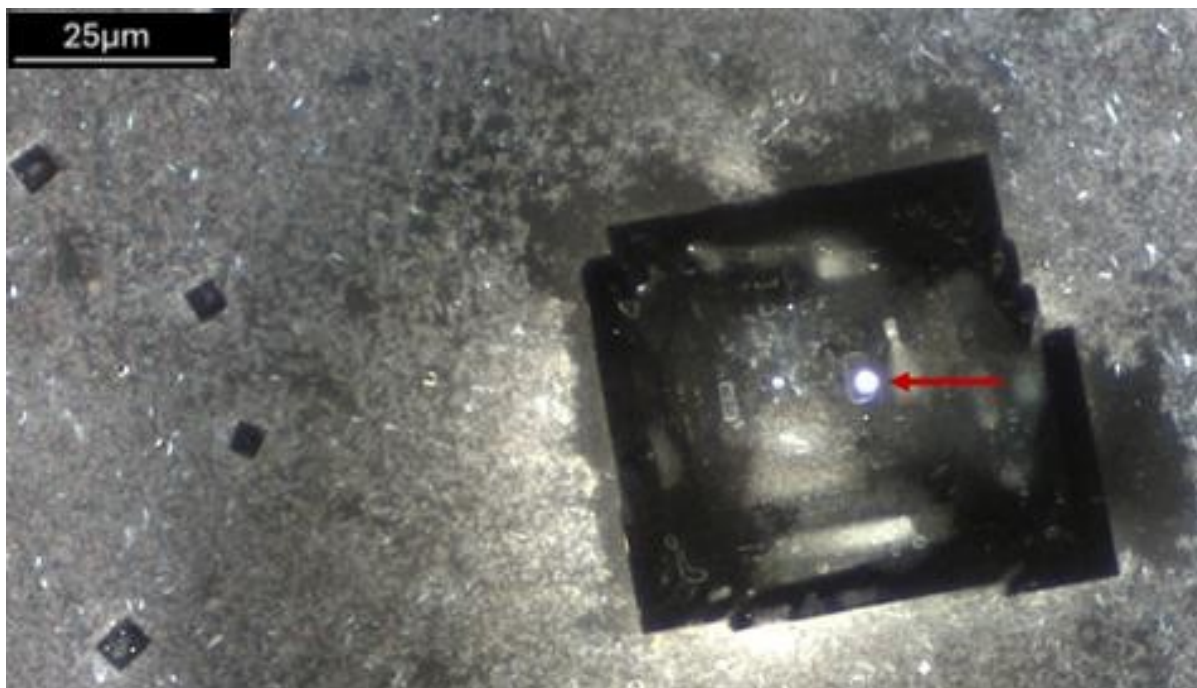


Abbildung 43. Derselbe Kristall wie in Abbildung 42 nach 2 Monaten mit einer Drehung von etwa 45 Grad im Uhrzeigersinn und einem deutlich entwickelten "Kreis-Rechteck-Motiv" (roter Pfeil). Vergrößerung 150x.

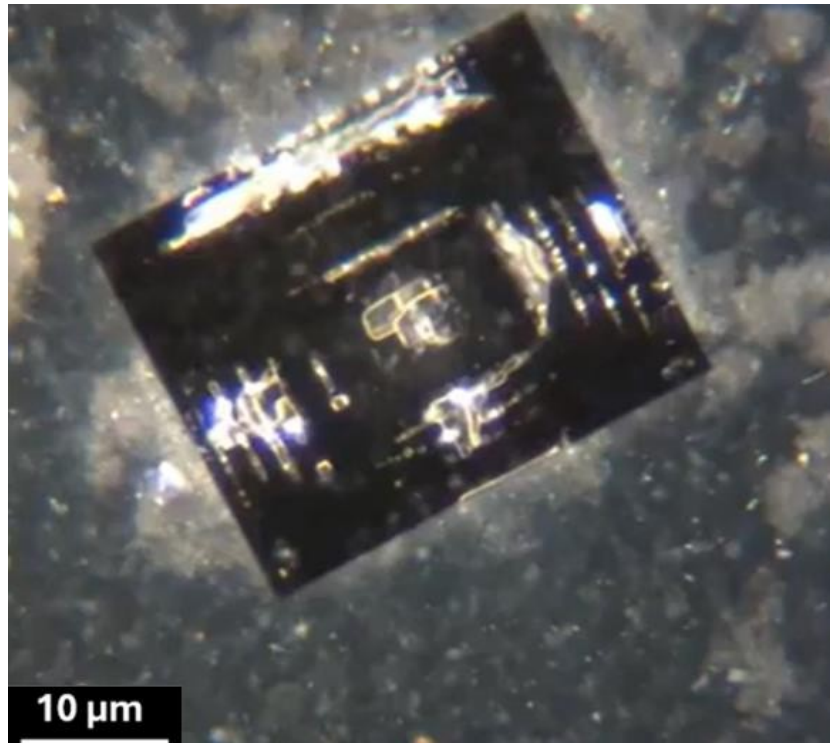


Abbildung 44. Dieser Kristall weist eine beeindruckende geometrische Präzision und schichtweise Komplexität auf, die die für Selbstorganisationsprozesse charakteristische fortgeschrittene Organisation verdeutlicht. Vergrößerung 200x.

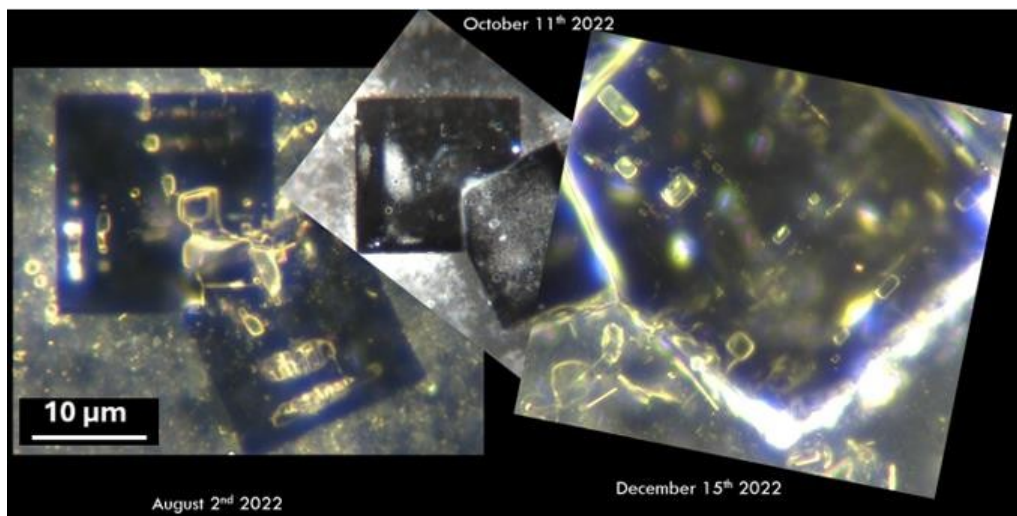


Abbildung 45. Zeitrafferaufnahmen der Kristallmorphologie zu drei verschiedenen Zeitpunkten (2. August, 11. Oktober und 1. Dezember 2022), die die dynamische Entwicklung der kristallinen Struktur verdeutlichen. Die Bilder veranschaulichen die fortschreitende Schichtung, die zunehmende Komplexität und das Fortbestehen von reflektierenden Elementen, was Einblicke in die langfristige Stabilität und Umwandlung von selbstorganisierten Formationen gewährt. Vergrößerung 200x.

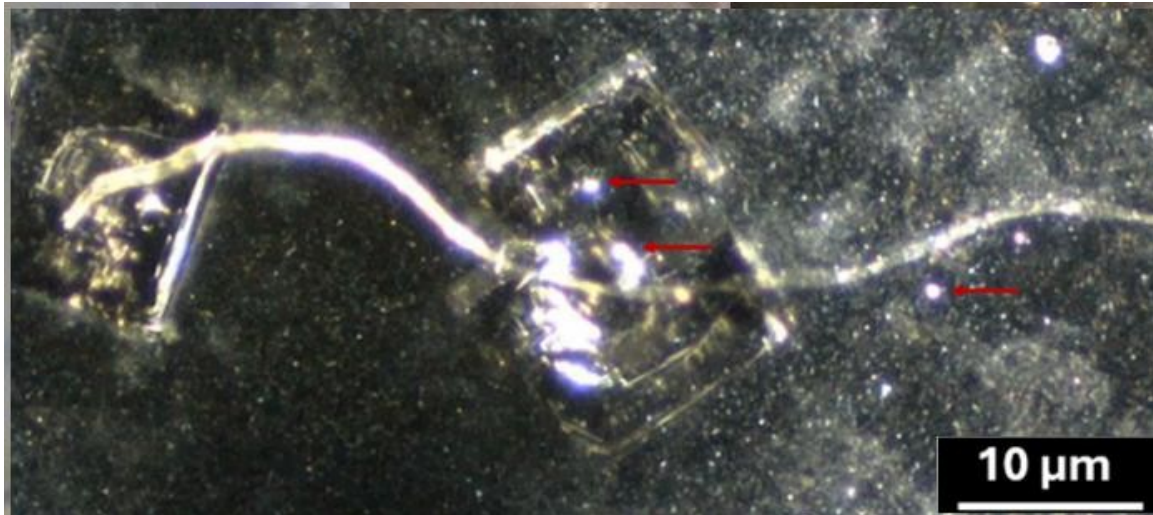


Abbildung 46. Zwei unterschiedliche Kristallformationen, die durch ein Filament verbunden sind, mit auffälligen Kreis-Rechteck-Motiven (CRMs), die innerhalb der Strukturen sichtbar sind. Diese Konfiguration deutet auf eine potenzielle Interaktion oder einen Materialtransfer zwischen den Anordnungen hin und verdeutlicht das ungewöhnliche und fortschrittliche Verhalten der Selbstorganisation. Vergrößerung 200x.

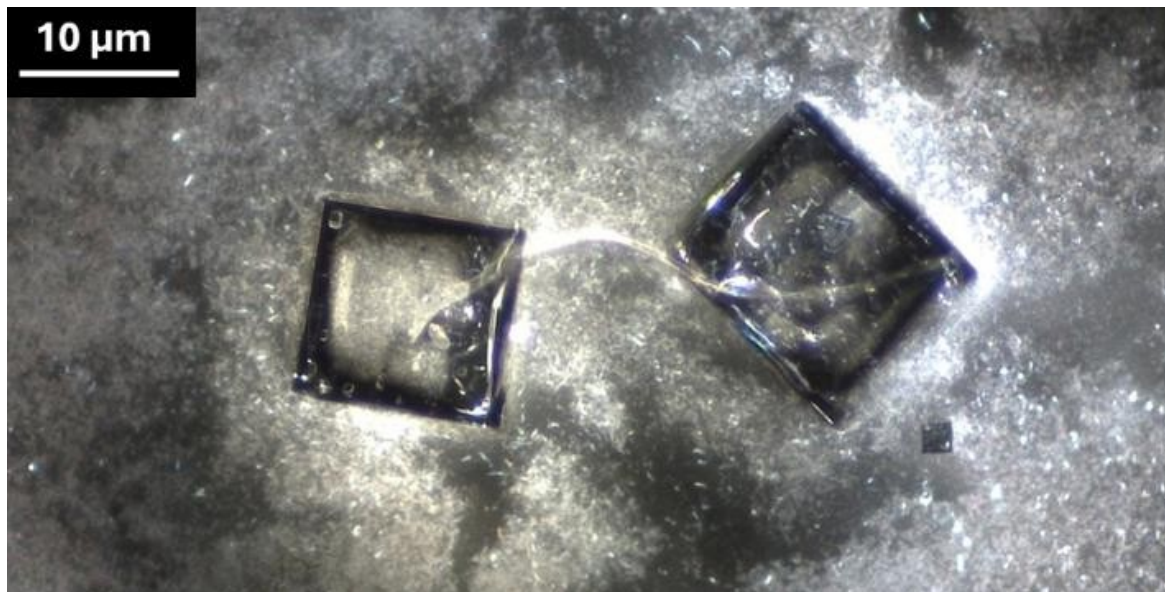


Abbildung 47. Die gleichen Kristalle wie in Abbildung 46, beobachtet nach zwei Monaten, mit bemerkenswerten Formveränderungen und struktureller Komplexität. Das Fortbestehen von Kreis-Rechteck-Motiven (CRMs) und ihre sich entwickelnden Konfigurationen verdeutlichen dynamische und atypische Selbstorganisationsprozesse im Laufe der Zeit. Vergrößerung 200x.

Diese Beobachtungen zeigen insgesamt die bemerkenswerte Komplexität und Anpassungsfähigkeit, die der zeitlichen Dynamik der Selbstorganisation in den Proben von Pfizer Comirnaty innewohnt. Die fortschreitende Entwicklung der kristallinen Strukturen - von neu entstehenden Formationen bis hin zu komplizierten Geometrien mit miteinander verbundenen Motiven - zeigt ein System, das dynamisch auf Umweltreize reagiert. Diese Anpassungsfähigkeit deutet auf ein hohes Maß an Raffinesse hin, das auf einen programmierten Aufbau oder fortgeschrittene Bio-Nano-Interaktionen hindeutet, bei denen nanoskalige Komponenten mikroskalige Architekturen orchestrieren.

Die Bedeutung zeitlicher Faktoren liegt im Nachweis laufender Umwandlungen, die eher auf aktive Prozesse als auf statische Materialeigenschaften hindeuten. Die Beobachtung dieser dynamischen Veränderungen im Laufe der Zeit bietet entscheidende Einblicke in das Zusammenspiel zwischen nanoskaliger Organisation und hierarchischem Aufbau und legt nahe, dass selbstorganisierende Systeme sehr empfindlich auf Umwelt- und Zeitfaktoren reagieren.

Diese Ergebnisse unterstreichen die Bedeutung einer gezielten Forschung zur Aufklärung der Mechanismen, die diese Verhaltensweisen steuern. Die Untersuchung der Rolle externer Stimuli wie elektromagnetische Felder oder Kapillarkräfte könnte zusammen mit hochauflösenden Bildgebungsverfahren und computergestützter Modellierung zu einem umfassenderen Verständnis dieser fortschrittlichen selbstorganisierenden Systeme führen. Diese Bemühungen haben das Potenzial, die umfassenderen Auswirkungen dieser Phänomene in pharmazeutischen und Bio-Nano-Kontexten aufzudecken, insbesondere im Hinblick auf ihr beabsichtigtes Design und ihre funktionellen Fähigkeiten.

Die "Daisy-Chain-Formation": Ein Beweis für fortgeschrittene Selbstassemblierung

Zu den auffälligsten Konfigurationen, die in dieser Studie beobachtet wurden, gehört die "Daisy Chain Formation", die in Abbildung 48 dargestellt ist. Diese Anordnung besteht aus fünf miteinander verbundenen Kristallen, die durch ein Filament verbunden sind. Sie zeigt eine sequentielle Organisation, die die dynamische und modulare Natur von Selbstorganisationsprozessen unterstreicht.

Das Filament scheint als strukturelles Gerüst zu fungieren, das die räumliche Ausrichtung der Kristalle steuert und möglicherweise den Materialaustausch zwischen ermöglicht. Diese Interaktion spiegelt das komplizierte Zusammenspiel zwischen nanoskaligen Komponenten und ihren mikroskaligen Erscheinungsformen wider und deutet auf ein Maß an Koordination und Komplexität hin, das herkömmliche Verdampfungskristallisationsmechanismen übertrifft.

Die Modularität und Anpassungsfähigkeit der "Daisy Chain Formation" lässt auf einen ausgeklügelten hierarchischen Mechanismus des Zusammenbaus schließen, bei dem Wechselwirkungen im Nanomaßstab die Bildung kohäsiver mikroskaliger Architekturen orchestrieren. Diese Konfiguration deutet stark auf ein absichtliches Design oder ein emergentes Verhalten hin, das möglicherweise durch nicht deklarierte Materialien oder eine externe Programmierung innerhalb des Systems gesteuert wird.

Solche Formationen stellen traditionelle Kristallisationsmodelle in Frage und unterstreichen die Bedeutung interdisziplinärer Forschung, um die Mechanismen zu verstehen, die diesen fortgeschrittenen Prozessen zugrunde liegen.

Die Daisy-Chain-Struktur veranschaulicht das bemerkenswerte Potenzial für hierarchische Organisation und adaptive Funktionalität in Bio-Nano-Schnittstellen. Indem diese Beobachtung in den breiteren Kontext dieser Studie gestellt wird, unterstreichen diese Ergebnisse die Notwendigkeit weiterer Untersuchungen zu ihren Ursprüngen und Auswirkungen.

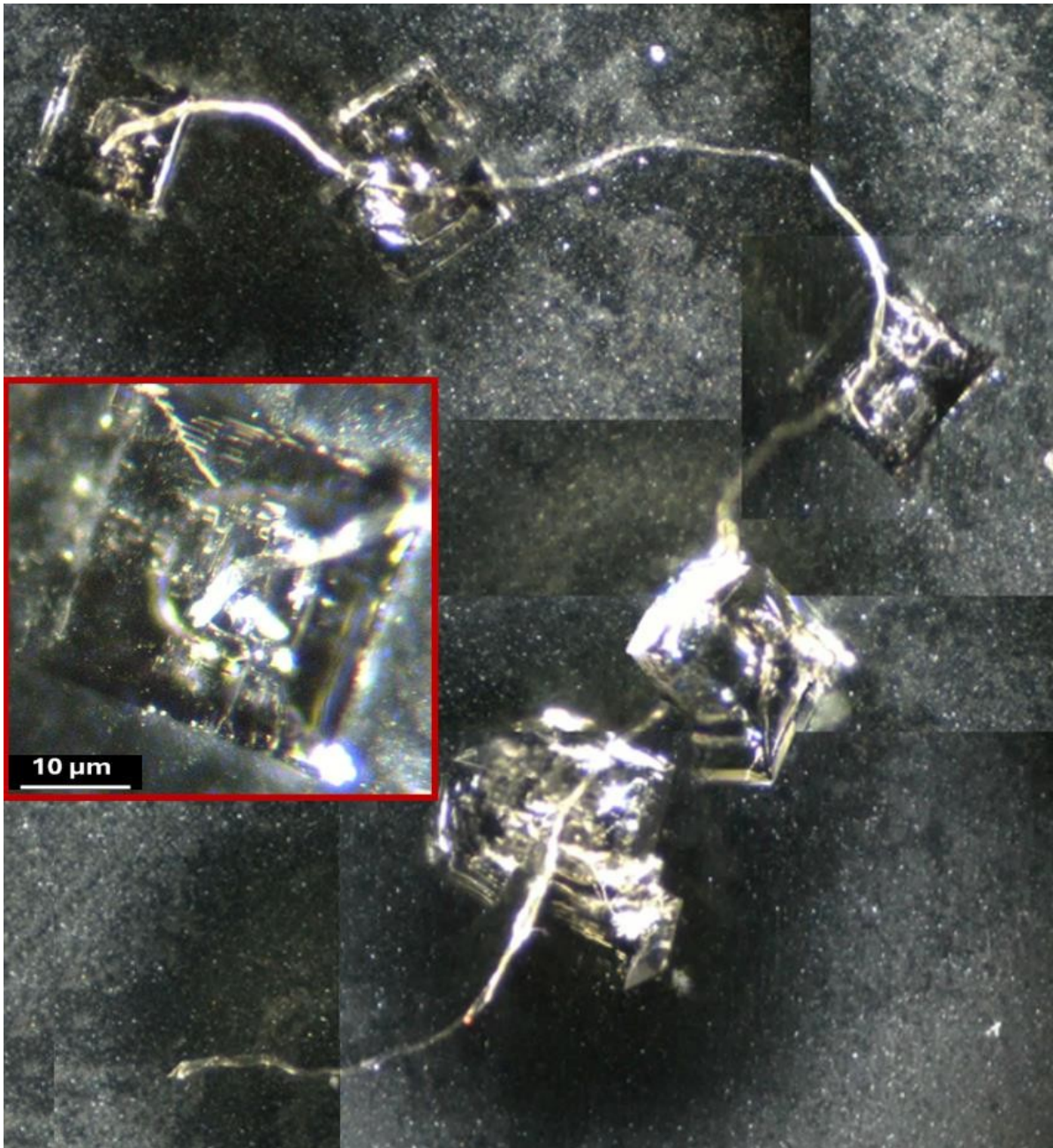


Abbildung 48. Anfangsstadien "Daisy Chain Formation" mit fünf miteinander verbundenen Kristallen, die durch ein Filament verbunden sind. Der Einschub hebt die detaillierte Struktur des ersten Kristalls hervor und veranschaulicht die innere Komplexität. Das Filament steuert die räumliche Organisation und die materielle Interaktion zwischen den Kristallen und unterstreicht die modulare und dynamische Natur beobachteten Strukturen. Vergrößerung 200x.

Kristallvielfalt, Struktur und Klassifizierung

Die beobachteten kristallinen Strukturen in den Proben von Pfizer Comirnaty weisen eine bemerkenswerte Vielfalt auf, die sich anhand ihrer Morphologie, ihrer Wechselwirkungen und ihrer strukturellen Komplexität in drei verschiedene Typen einteilen lassen. Diese Klassifizierung bietet einen Rahmen für das Verständnis der Rollen und Mechanismen, die diesen Formationen zugrunde liegen:

1. **Typ-1-Kristalle:** Diese Strukturen zeichnen sich durch glatte, gut definierte Geometrien und ausgeprägte Faseranhänge aus und ermöglichen durch bandartige Fasern Interaktionen mit ihrer Umgebung. Diese Fasern tragen wahrscheinlich zum Materialtransport und zur strukturellen Verstärkung bei und unterstreichen das dynamische Zusammenspiel zwischen dem Kristall und seiner Umgebung.
2. **Typ-2-Kristalle:** Typ-2-Kristalle zeichnen sich durch ausgeprägte zentrale Blasen und häufige Faserverbindungen aus und zeigen ein organisiertes Zusammenspiel zwischen ihren internen Merkmalen und externen Wechselwirkungen. Die Ausrichtung der Fasern auf bestimmte strukturelle Punkte, wie z. B. Ecken, lässt auf einen koordinierten Zusammensetzungsmechanismus schließen, der durch Umwelt- oder Molekularfaktoren beeinflusst wird.
3. **Typ-3-Kristalle:** Diese Kristalle zeichnen sich durch ihre dichte innere Organisation und das Fehlen äußerer Fasern aus und sind für ihre Stabilität und Interaktion auf die Eigendynamik angewiesen. Ihre reflektierenden Einschlüsse und ihre symmetrische Geometrie deuten auf ein hohes Maß an innerer Komplexität hin und machen sie zu eigenständigen Elementen im .

Diese Klassifizierung hebt die strukturelle Vielfalt innerhalb des Systems hervor und unterstreicht gleichzeitig den adaptiven und hierarchischen Charakter dieser kristallinen Formationen.

Typ-1-Kristalle: An den Ecken befestigte Faserstrukturen

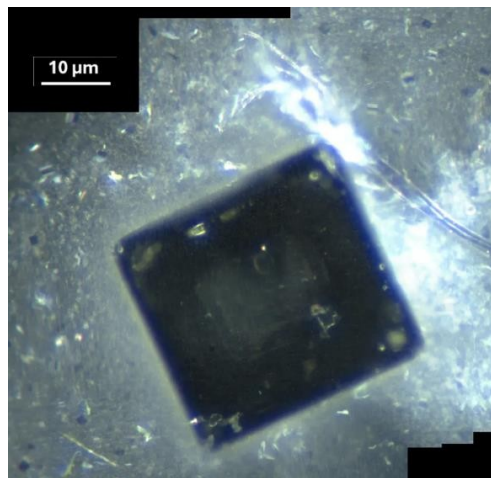


Abbildung 49. Kompositfoto eines Typ-1-Kristalls, das eine glatte rechteckige Morphologie zeigt. In der Nähe der Ecke ist eine Faser zu erkennen, die mit dem Kristall interagiert. Die reflektierende Oberfläche und die interne Organisation des Kristalls verdeutlichen seine potenzielle Rolle bei Selbstorganisationsprozessen, was seine Klassifizierung als Typ-1-Kristall untermauert. Vergrößerung 200x.

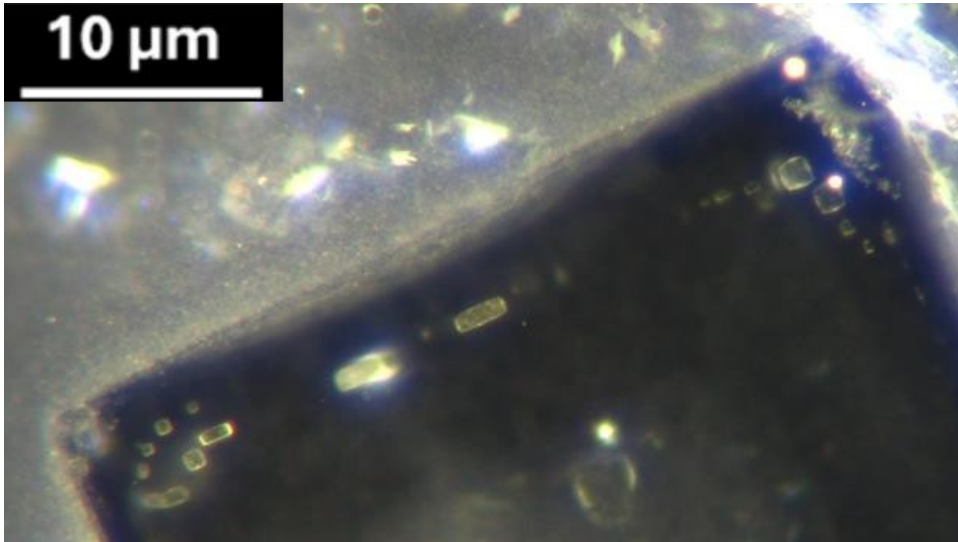


Abbildung 50 Vergrößerte Ansicht in Abbildung 49 gezeigten Kristalls. Vergrößerung 200x.

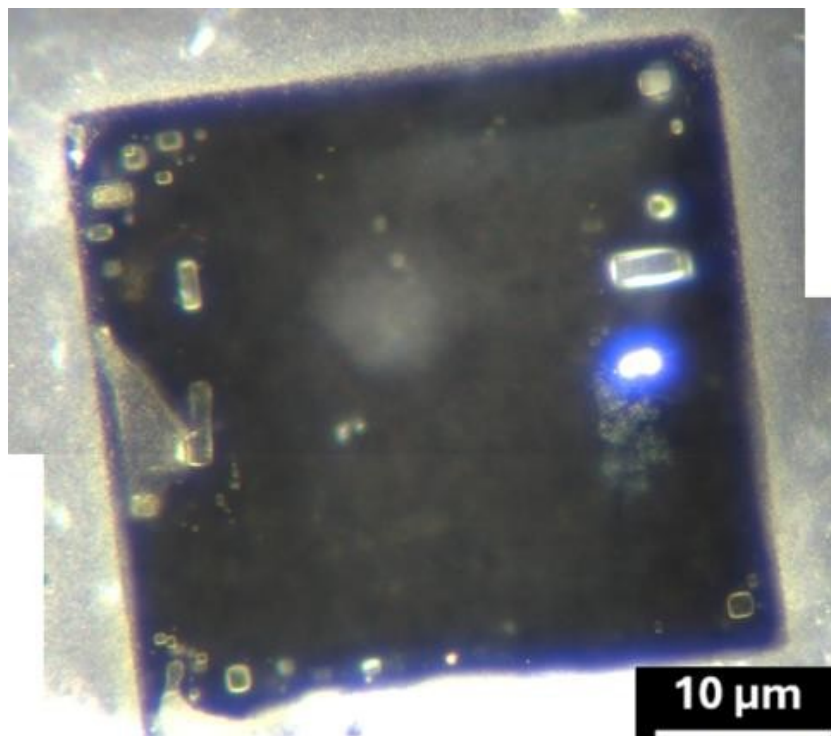


Abbildung 51. Detailaufnahme des in Abbildung 52 gezeigten Typ-1-Kristalls mit gut definierten Ecken und inneren Einschlüssen. Vergrößerung 200x.

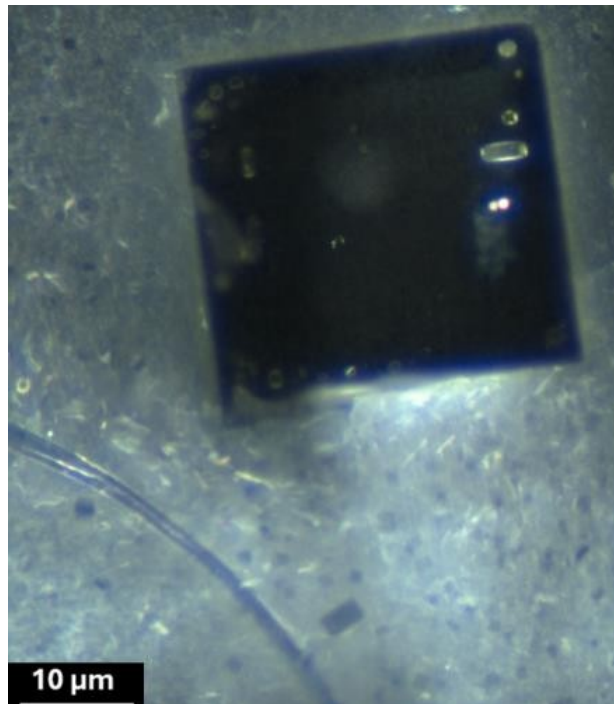


Abbildung 52. Kompositfoto eines Typ-1-Kristalls, der eine scharfe, gut definierte quadratische Geometrie mit glatten Kanten und einer gleichmäßigen Oberfläche aufweist. Vergrößerung 200x.

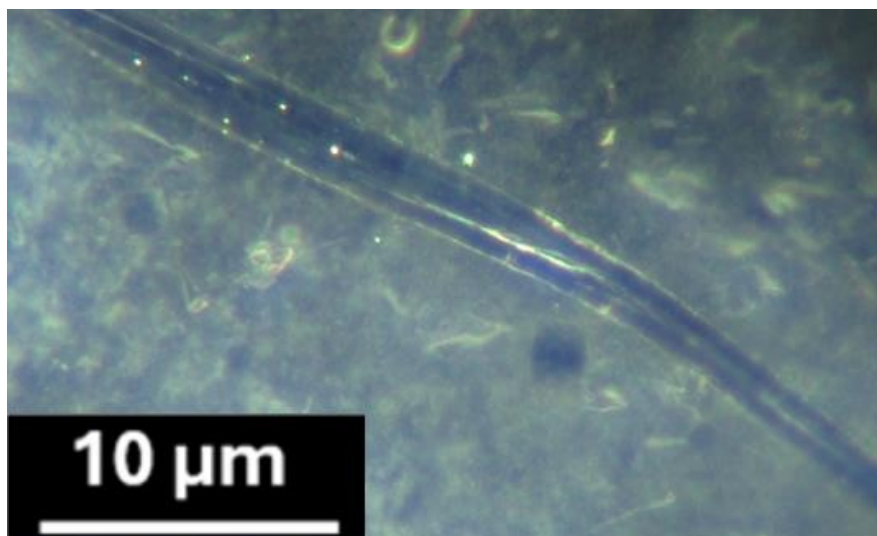


Abbildung 53. Nahaufnahme der Faser in Abbildung 49, die ihre glatte Morphologie und zeigt. Die Nähe und Ausrichtung der Fasern lassen auf eine funktionelle Interaktion schließen, die möglicherweise den Materialtransport oder den strukturellen Zusammenhalt innerhalb der Anordnung erleichtert. Vergrößerung 200x.

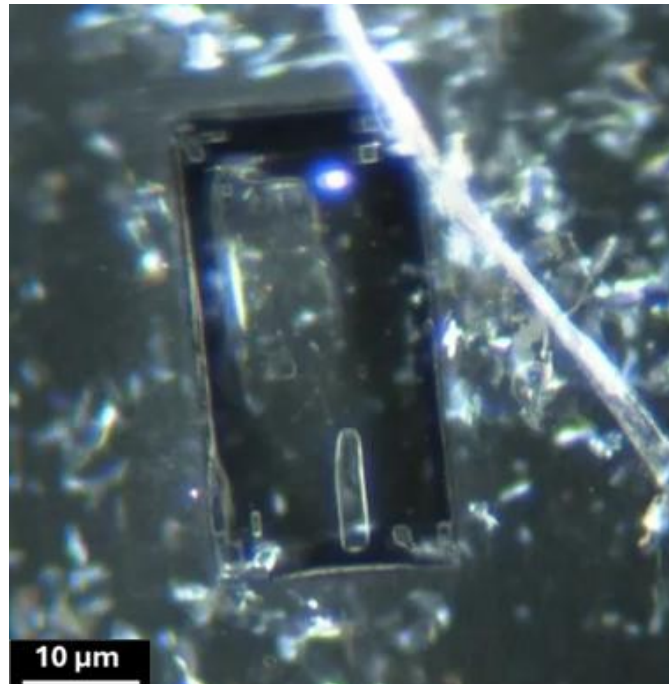


Abbildung 54: Ein Typ-1-Kristall mit rechteckiger Morphologie, der innere Einschlüsse und Wechselwirkungen mit benachbarten Fasern aufweist. Vergrößerung 200x.

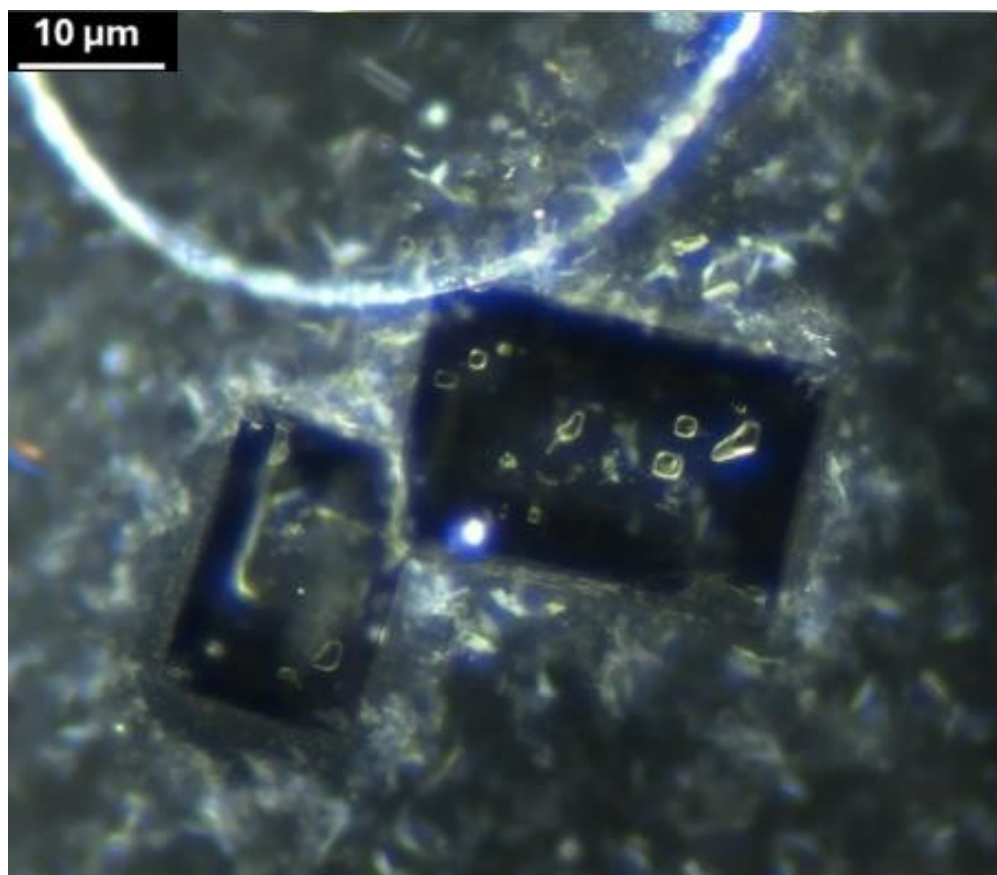


Abbildung 55: Zwei Typ-1-Kristalle in unmittelbarer Nähe, die ihre ausgeprägten rechteckigen Formen und inneren Einschlüsse zur Geltung bringen. Vergrößerung 200x.

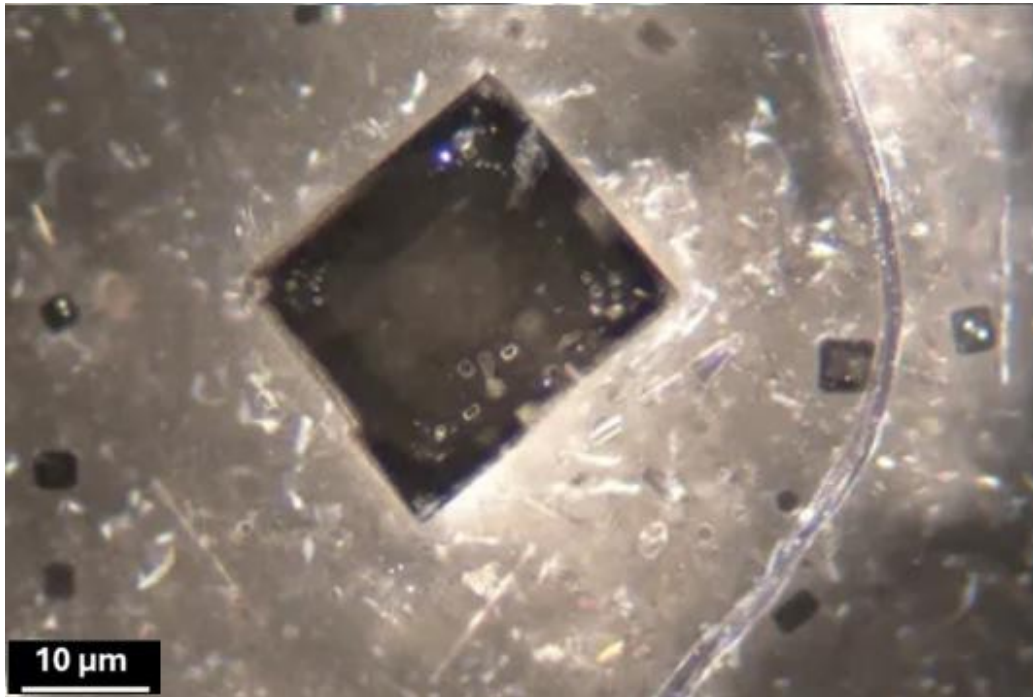


Abbildung 56. Ein Typ-1-Kristall mit einer gut definierten quadratischen Form, der deutliche innere Einschlüsse und eine benachbarte Faser aufweist. Die Anordnung lässt auf mögliche strukturelle oder interaktive Funktionen schließen, die durch die Nähe der Faser erleichtert werden. Vergrößerung 200x.

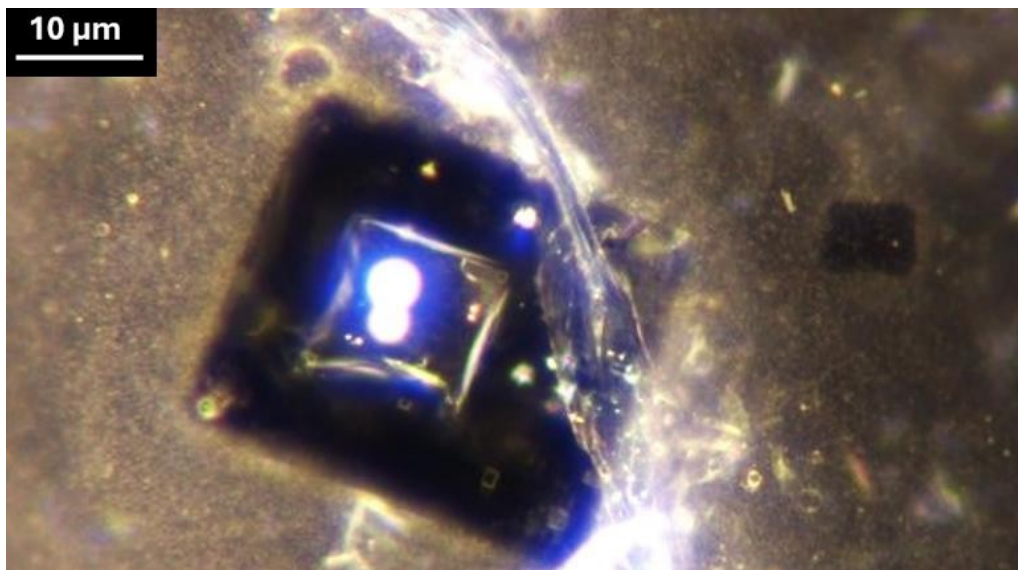


Abbildung 57. Ein Typ-1-Kristall mit hellen Einschlüssen und einer ausgeprägten, bandförmigen Faser. Vergrößerung 200x.

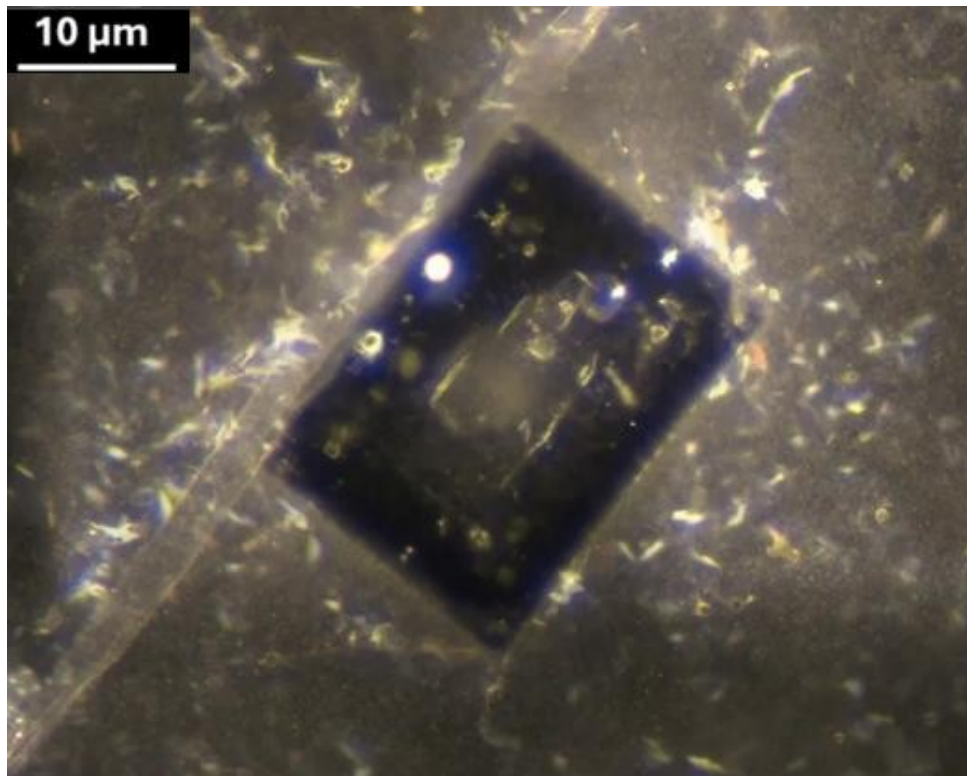


Abbildung 58. Ein Typ-1-Kristall mit einer angrenzenden Faser, die entlang seiner Länge verläuft. Vergrößerung 200x.

Besonders auffällig ist die Einbindung von Fasern in Typ-1-Kristalle, die durch ihre glatte, bandartige Morphologie und ihre offensichtliche Interaktion mit der kristallinen Struktur gekennzeichnet sind. Diese Fasern scheinen aufgrund ihrer konsequenten Ausrichtung und Interaktion mit den Kristallkanten strategisch positioniert zu sein, was auf eine Rolle beim gezielten Materialtransport, bei der strukturellen Verstärkung oder bei der Reaktion auf Umweltreize schließen lässt. Das dynamische Zusammenspiel zwischen den Fasern und den Kristallen unterstreicht ihre integrale Funktion in Selbstorganisationsprozessen, bei denen sie als Kanäle für die Organisation im Nanomaßstab oder als stabilisierende Komponenten innerhalb des breiteren kristallinen Gerüsts dienen können. Diese Beobachtungen zeigen, wie wichtig es ist, die Rolle der Fasern bei der Erleichterung und Gestaltung der hierarchischen Organisation kristalliner Systeme weiter zu untersuchen.

Typ-2-Kristalle: Zentrale Blase und Wechselwirkungen von Blase zu Blase

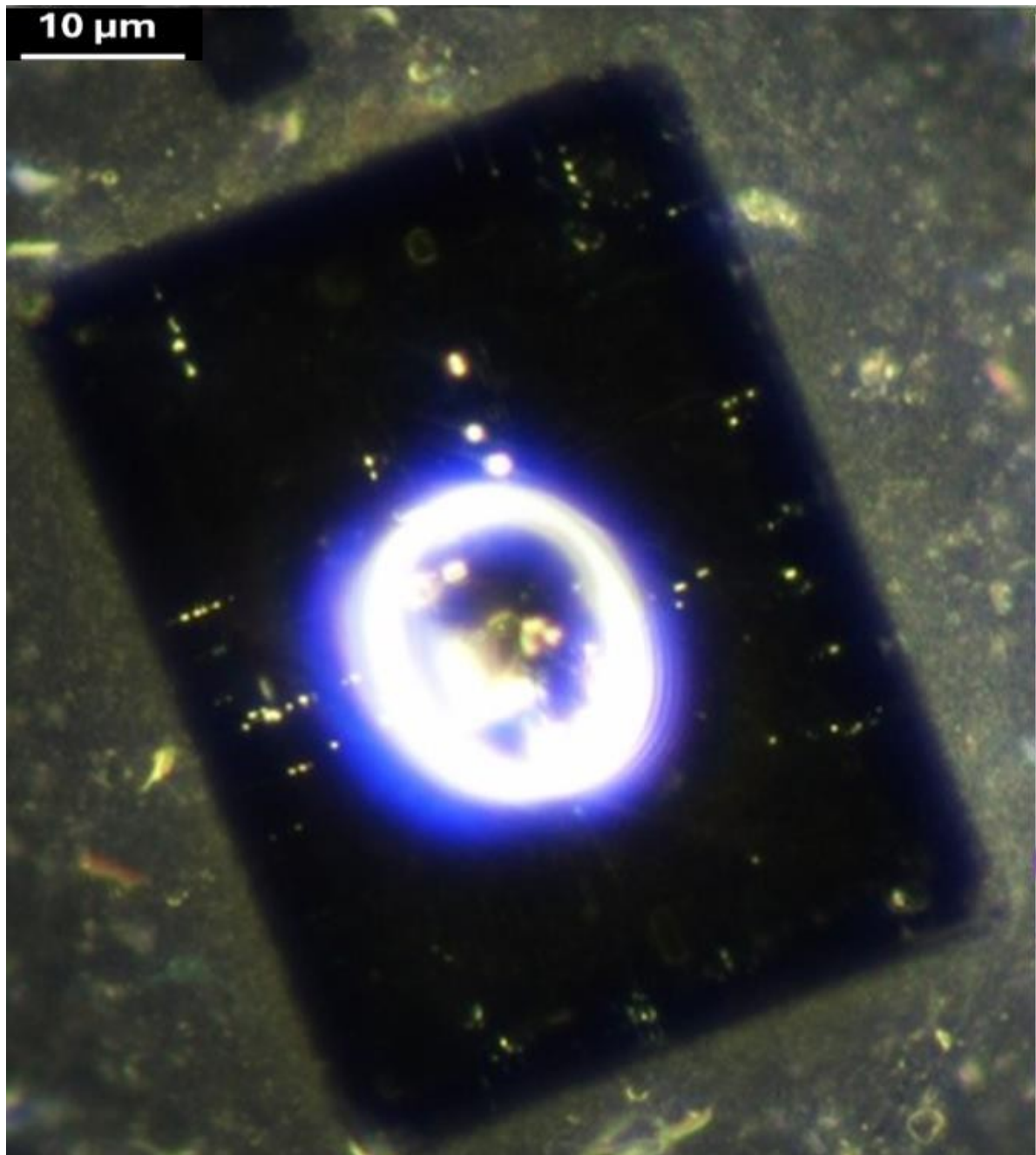


Abbildung 59. Typ-2-Kristall mit einer ausgeprägten zentralen Blase, umgeben von reflektierenden Einschlüssen, beobachtet zwei Monate nach der Präparation. Die Ausrichtung der Blase mit symmetrischen Merkmalen unterstreicht die Einheitlichkeit des Kristalls. Vergrößerung 200x.

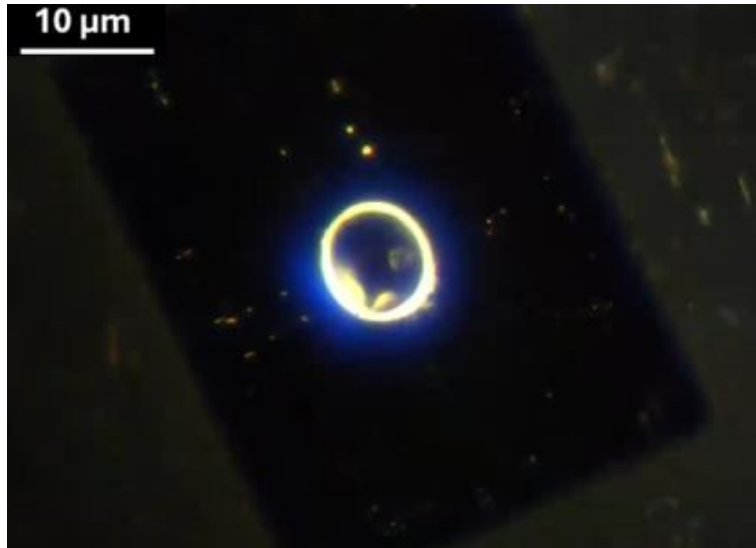


Abbildung 60 Derselbe Typ-2-Kristall wie in Abbildung 59, aufgenommen mit reduzierter Verstärkung, um den Kontrast zu erhöhen. Das Bild verdeutlicht die komplizierte Struktur der zentralen Blase und ihre Einbindung in die kristalline Matrix. Vergrößerung 200x.

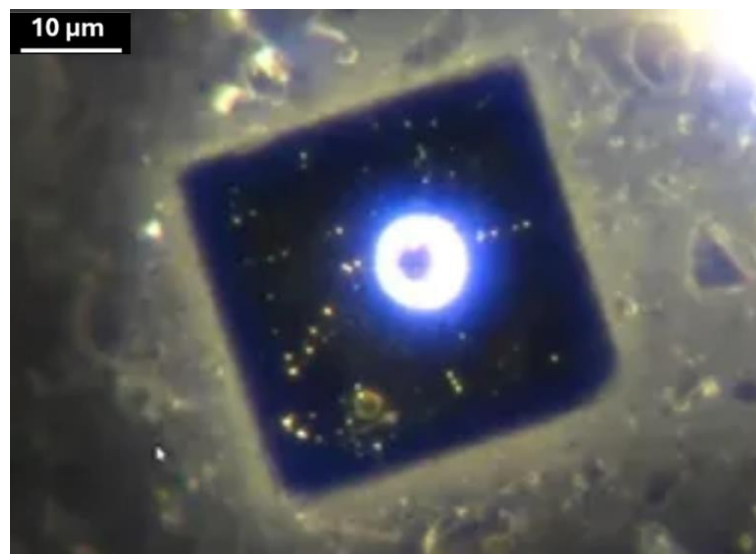


Abbildung 61. Typ-2-Kristall mit einer markanten zentralen Blase, die von reflektierenden Einschlüssen umgeben ist. Die Position der Blase entspricht den symmetrischen Merkmalen, was die Einheitlichkeit des Kristalls unterstreicht. Vergrößerung 200x.

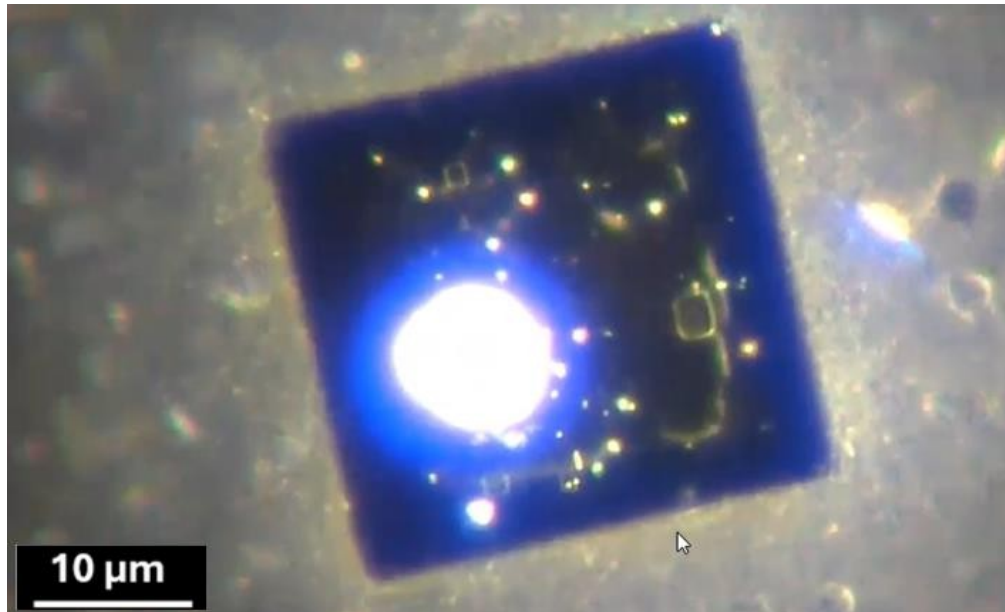


Abbildung 62 Ein Typ-2-Kristall, aufgenommen mit dem Dunkelfeldmikroskop, zeigt seine zentrale Blase und reflektierende Einschlüsse. Diese Ansicht verdeutlicht die innere Komplexität und die hierarchische Schichtung des Kristalls. Vergrößerung 200x.

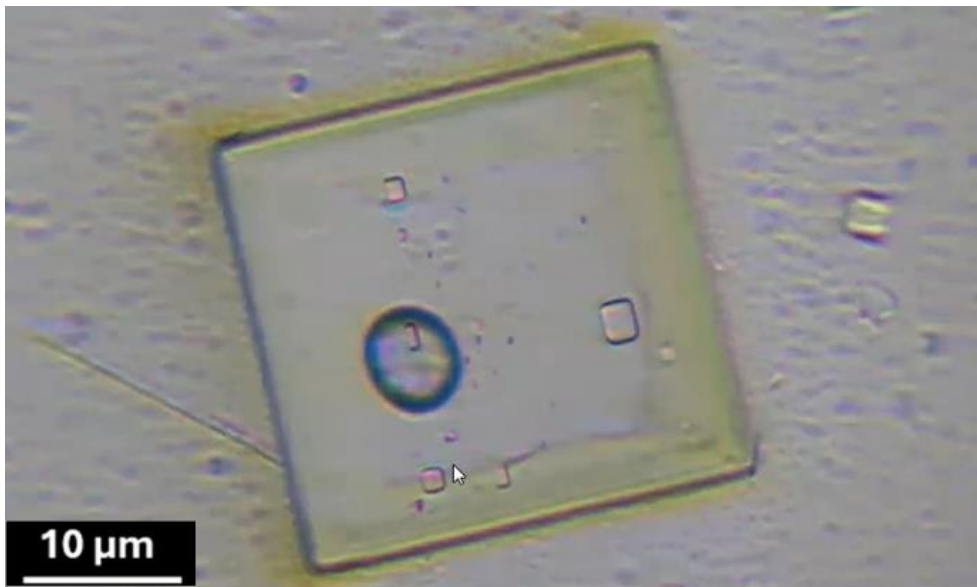


Abbildung 63. Derselbe Typ-2-Kristall unter dem Hellfeldmikroskop, wobei seine geometrische Anordnung und die räumliche Ausrichtung der zentralen Blase hervorgehoben werden. Diese Perspektive ergänzt die Dunkelfeldansicht und ermöglicht ein umfassenderes Verständnis der Morphologie des Kristalls. Vergrößerung 200x.

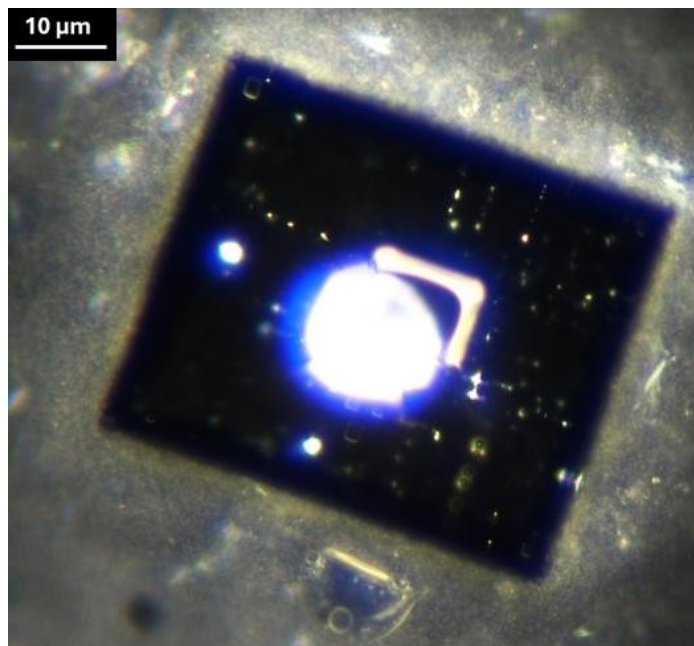


Abbildung 64. Ein Typ-2-Kristall mit seiner charakteristischen zentralen Blase und rechteckigen Geometrie. Dies ist der Kristall, der in das "Plugged-In-Phänomen" verwickelt ist, das weiter unten in diesem Dokument beschrieben wird. Vergrößerung 200x.

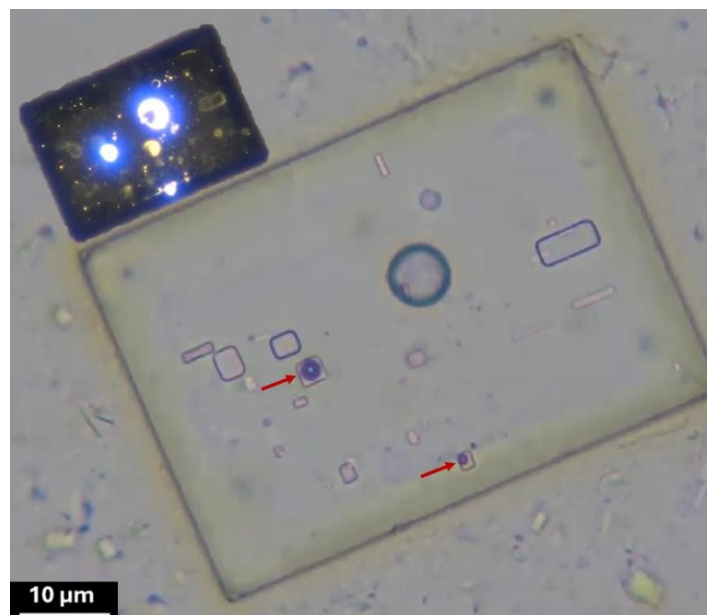


Abbildung 65. Vergleich von Dunkelfeld- (oben) und Hellfeldansichten (unten) eines Typ-2-Kristalls mit einer zentralen Blase. Das Hellfeldbild zeigt die präzise geometrische Organisation und die innere Struktur des Kristalls, während die Dunkelfeldansicht reflektierende Einschlüsse und hierarchische Schichtungen hervorhebt. Zusammen bieten diese Ansichten komplementäre Einblicke in die komplexe Morphologie und die räumlichen Merkmale des Kristalls. Vergrößerung: 200x.

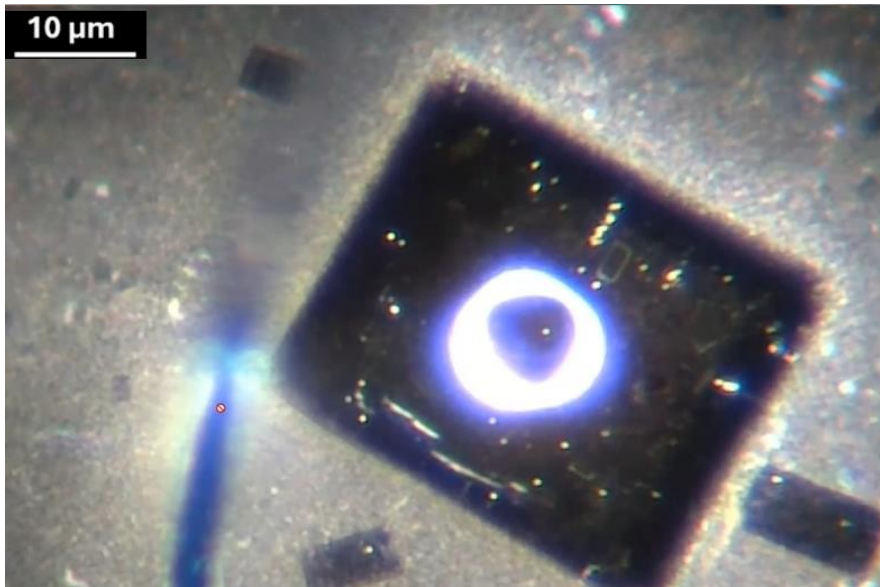


Abbildung 66. Typ-2-Kristall mit einer markanten zentralen Blase und einer Faser, die sich von ihrer Ecke in die erstreckt. Das scheinbar gerichtete Wachstum und die strukturelle Kohärenz der Faser werfen Fragen zu den Prozessen auf, die ihrer Bildung zugrunde liegen. Vergrößerung 200x.

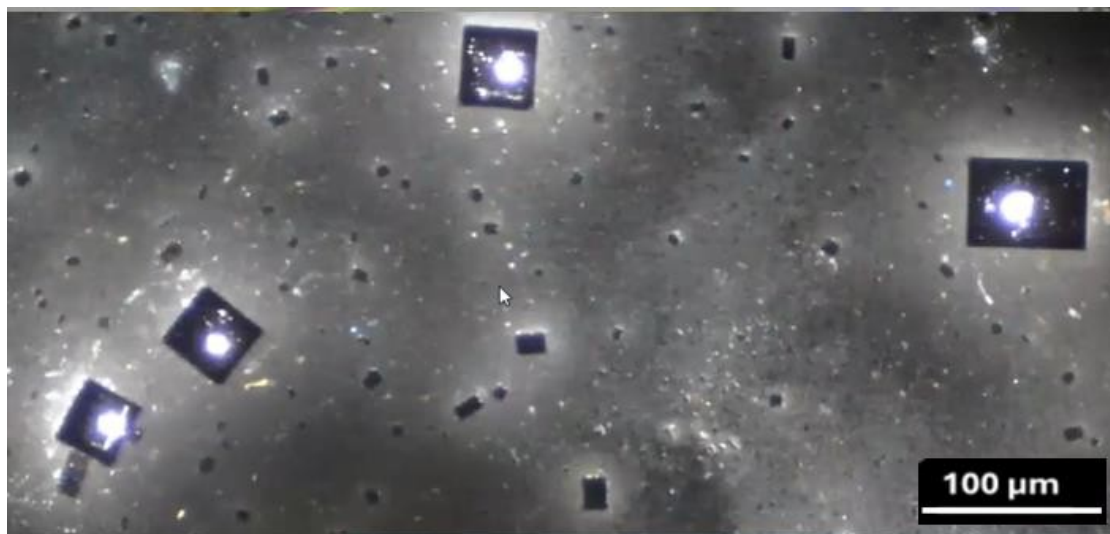


Abbildung 67. Ansicht von Kristallen des Typs 2, die über den Objektträger verteilt sind, bei geringer Vergrößerung. Die gleichmäßige rechteckige Geometrie und die zentralen Blasen lassen auf einen nicht zufälligen Selbstorganisationsprozess schließen, der möglicherweise durch Umweltfaktoren beeinflusst wurde. Vergrößerung 100x.

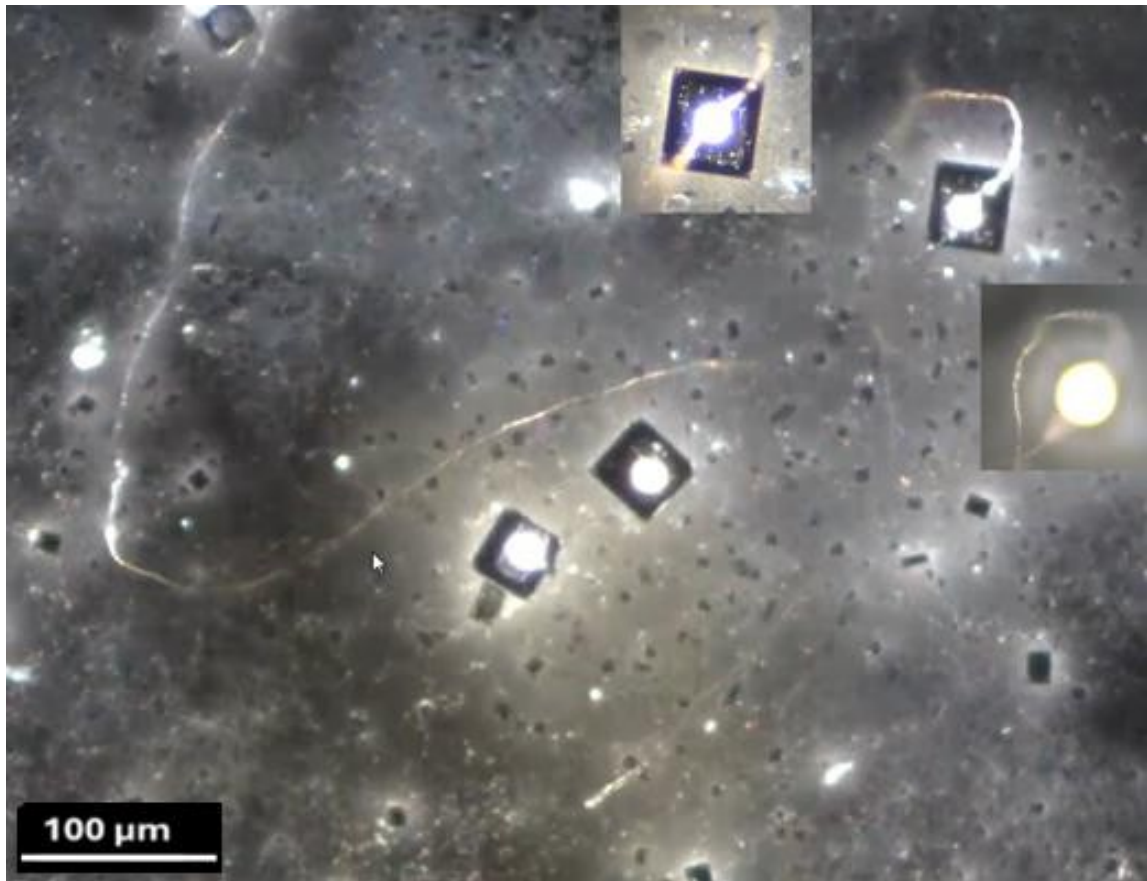


Abbildung 68. Die Ansicht mit geringer Vergrößerung zeigt eine Faser, die den Rand eines Typ-2-Kristalls mit der zentralen Blase eines anderen Kristalls verbindet. Die strukturelle Konnektivität wirft Fragen über gerichtete oder geführte Mechanismen bei der CFA-Bildung auf. Einschübe (oben rechts) heben die Faser bei verschiedenen Brennweiten hervor und bieten eine zusätzliche Perspektive auf ihre Ausrichtung und Interaktion mit den kristallinen Strukturen. Vergrößerung 100x.

Die konsistente Struktur und organisierte Verteilung von Typ-2-Kristallen, die auf dem Objektträger zu sehen sind, widerlegen die Vorstellung, dass ihre Bildung rein zufällig ist oder durch unvorhersehbare Wechselwirkungen bestimmt wird. Im Gegensatz zu der Unregelmäßigkeit, die für natürlich vorkommende Kristalle typisch ist und die durch chaotische molekulare Dynamik und unkoordinierte Keimbildung gekennzeichnet ist, weisen Typ-2-Kristalle scharfe rechteckige Rahmen, zentrale blasenartige Merkmale und wiederkehrende Verbindungsmuster auf, die auf einen zugrunde liegenden, koordinierten Organisationsmechanismus hindeuten. Ihre Bildung scheint durch präzise Umwelt- oder molekulare Faktoren wie Verdampfungsdynamik, chemische Gradienten oder externe energetische Felder beeinflusst zu werden.

Diese Beobachtungen werfen kritische Fragen zu den Kräften auf, die diesen Selbstorganisationsprozess antreiben. Werden diese Muster ausschließlich durch intrinsische Materialeigenschaften geformt oder tragen externe Faktoren, wie elektromagnetische Felder, aktiv zu Koordination bei? Der systematische Charakter dieser kristallinen Anordnungen unterstreicht die Bedeutung einer weiteren Untersuchung dieser Dynamik, die wertvolle Einblicke in die Prinzipien der natürlichen und künstlichen bietet. Eine solche Forschung könnte unser Verständnis von Selbstorganisationsprozessen verbessern, was sich auf Fortschritte in der Nanotechnologie und der Materialwissenschaft auswirken könnte.

Typ-3-Kristalle: Komplexität ohne Fasern

Kristalle des Typs 3 unterscheiden sich innerhalb der Klassifizierung durch ihre erhöhte innere Komplexität, abgerundete Ecken und das Fehlen von externen Faserverbindungen. Im Gegensatz zu den Typen 1 und 2, die mit Fasern verbunden sind, die von wichtigen Strukturmerkmalen wie Ecken oder zentralen Blasen ausgehen, scheinen Kristalle des Typs 3 unabhängig von externen Gerüsten zu wachsen. Diese einzigartige Eigenschaft wirft zwingende Fragen über ihre Bildung, Funktion und Interaktionen innerhalb des Selbstassemblierungssystems auf.

Optisch sind Kristalle des Typs 3 durch markante innere Rechtecke und helle Einschlüsse gekennzeichnet, die oft symmetrisch verteilt sind. Diese Merkmale deuten auf ein hohes Maß an innerer Organisation und möglicherweise ein fortgeschrittenes Stadium der strukturellen Entwicklung hin. Das häufige Vorhandensein von reflektierenden Elementen in ihrer Geometrie kann auf aktive interne Prozesse hindeuten, obwohl ihre genaue Rolle spekulativ bleibt.

Das Fehlen von Fasern könnte auf einen alternativen Wachstums- oder Funktionsmechanismus hindeuten, der sich von den bei den Typen 1 und 2 beobachteten konnektivitätsbedingten Funktionen unterscheidet. Kristalle des Typs 3 scheinen in Bezug auf Stabilität und Interaktion auf interne Dynamik angewiesen zu sein, wobei ihre dichte interne Struktur und die Fülle an Einschlüssen die Idee einer eigenständigen oder autonomen Rolle innerhalb des Aufbauprozesses unterstützen. Diese Autonomie eröffnet faszinierende Möglichkeiten hinsichtlich ihrer Funktion und deutet auf ein System hin, das eher auf interne Verstärkung als auf externe Konnektivität optimiert ist.

Interessanterweise könnten die abgerundeten Ecken der Kristalle des Typs 3 ihre Wechselwirkungen mit der Umwelt beeinflussen, indem sie potenzielle Anknüpfungspunkte für externe Elemente reduzieren, was auf eine auf Stabilität optimierte Strategie oder eine andere Art von Funktionalität schließen lässt. Das Fehlen von Fasern unterstreicht die Möglichkeit, dass sich diese Kristalle ausschließlich auf ihre interne strukturelle Integrität verlassen, um ihre Aufgabe zu erfüllen.

Weitere Untersuchungen sind erforderlich, um festzustellen, ob das Fehlen von Fasern in Kristallen des Typs 3 eine spezielle Funktion oder einen grundlegenden Unterschied in ihrer Rolle innerhalb des Selbstassemblierungssystems widerspiegelt. Die hohe Dichte der Einschlüsse und die beobachtete geometrische Präzision werfen wichtige Fragen über ihr Potenzial für einzigartige oder ergänzende Funktionen im Rahmen der Selbstmontage auf. Diese Eigenschaften machen Typ-3-Kristalle zu einem faszinierenden Thema für die künftige Erforschung der Mechanismen und Prinzipien, die dieses fortschrittliche selbstorganisierende System antreiben, mit möglichen Auswirkungen auf autonome Nanostrukturen oder stabile Materialdesigns.

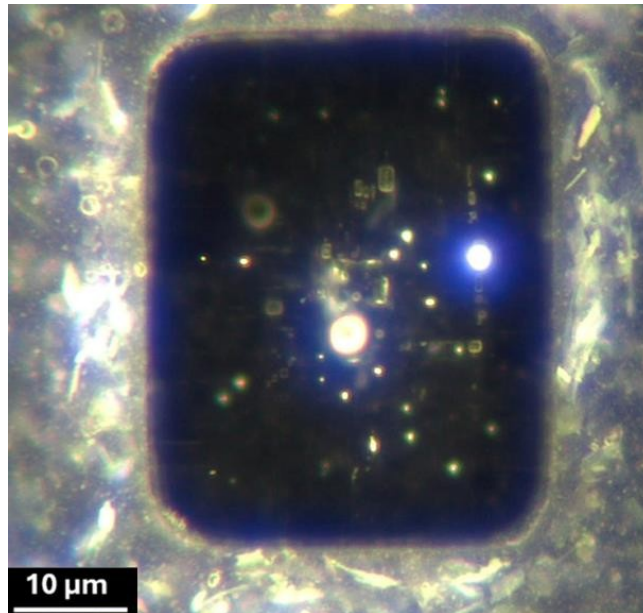


Abbildung 69. Ein Typ-3-Kristall mit komplizierter interner Komplexität, reflektierenden Einschlüssen und einer abgerundeten rechteckigen Geometrie. Im Gegensatz zu anderen Kristalltypen weist dieser Typ-3-Kristall keine externen Faserverbindungen auf, was darauf hindeutet, dass seine Organisation eher auf internen Strukturierungsmechanismen als auf externen Montageprozessen beruht. Vergrößerung 200x

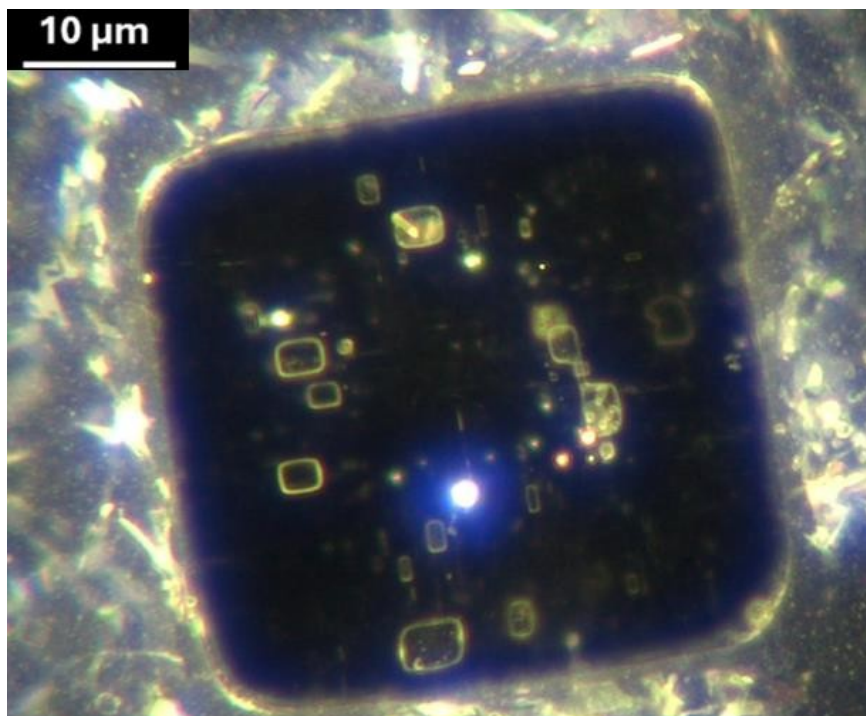


Abbildung 70. Detailansicht eines Typ-3-Kristalls, in der die hohe Dichte der inneren Einschlüsse und die symmetrischen rechteckigen Grenzen hervorgehoben werden. Die geordnete innere Anordnung und das Fehlen von äußeren Fasern. Vergrößerung 200x.

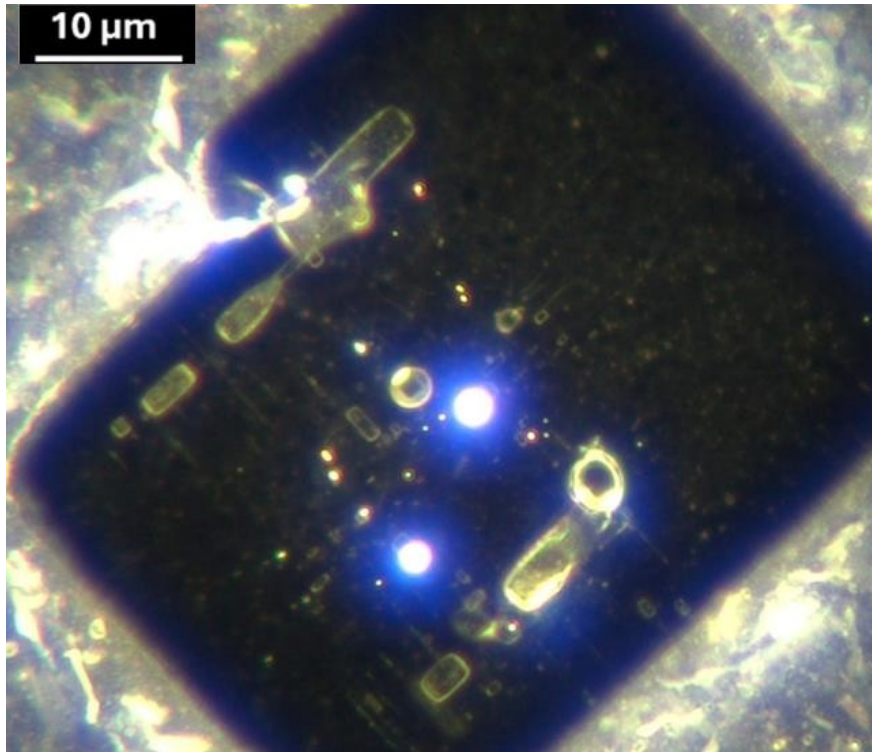


Abbildung 72. Nahaufnahme eines Typ-3-Kristalls, wobei die glatten Kanten und die ausgeprägten reflektierenden Elemente hervorgehoben werden, die auf eine autonome strukturelle Integrität hinweisen. Vergrößerung 200x

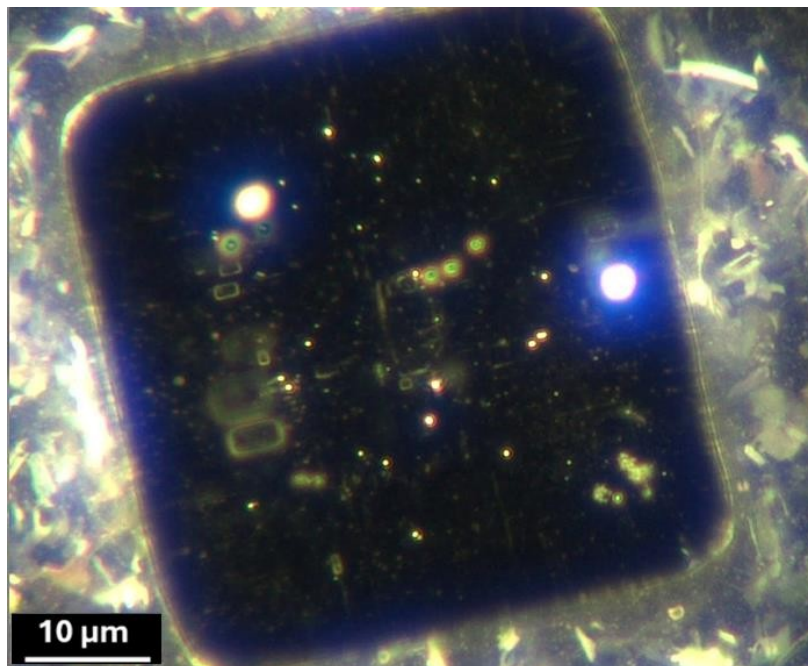


Abbildung 73. Ein Typ-3-Kristall, der innere Einschlüsse und eine gleichmäßige Geometrie aufweist. Die hochaktive Matrix und der leuchtende Rand lassen vermuten, dass sich der Kristall in einem Gleichgewichtszustand mit seiner Umgebung befindet. Vergrößerung 200x.

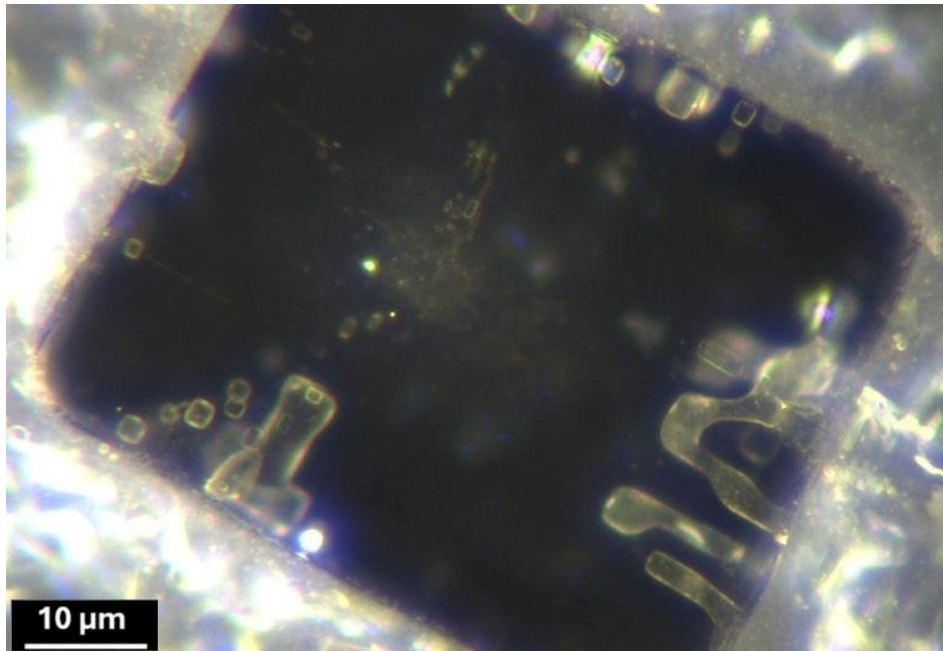


Abbildung 74. Kristall des Typs 3 mit sichtbarer interner Reflektivität und dem Fehlen externer Fasern, was möglicherweise auf einen speziellen internen Stabilisierungsmechanismus hinweist. Vergrößerung 200x.

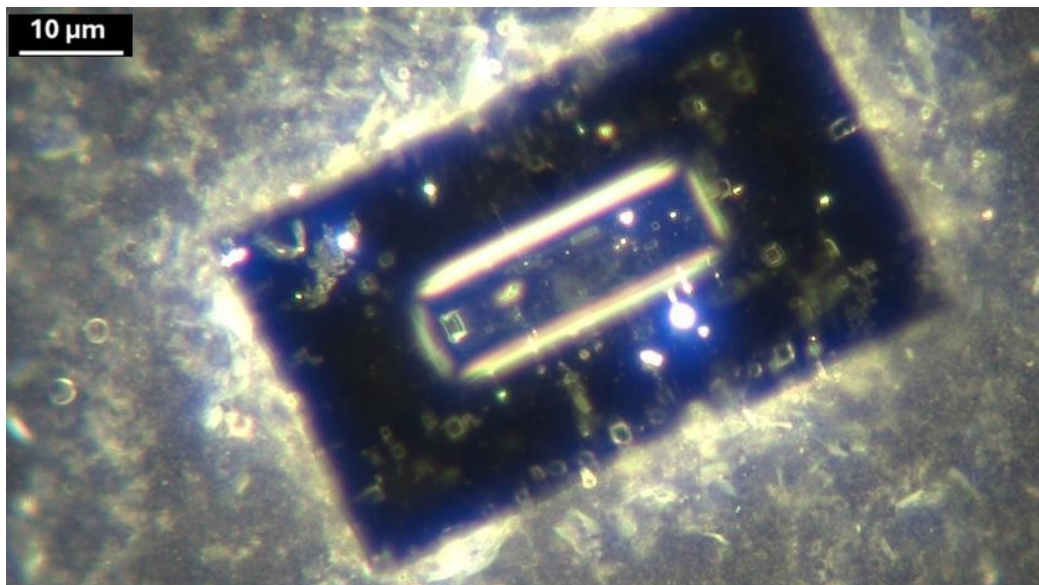


Abbildung 75. "Abbildung 75. Ein Typ-3-Kristall mit ausgeprägter innerer Ausrichtung und Symmetrie, was auf ein funktionelles Design schließen lässt, das für Interaktion oder Stabilität optimiert ist. Die Matrix ist weniger aktiv, und die Ecken jetzt quadratisch. Vergrößerung: 200x.

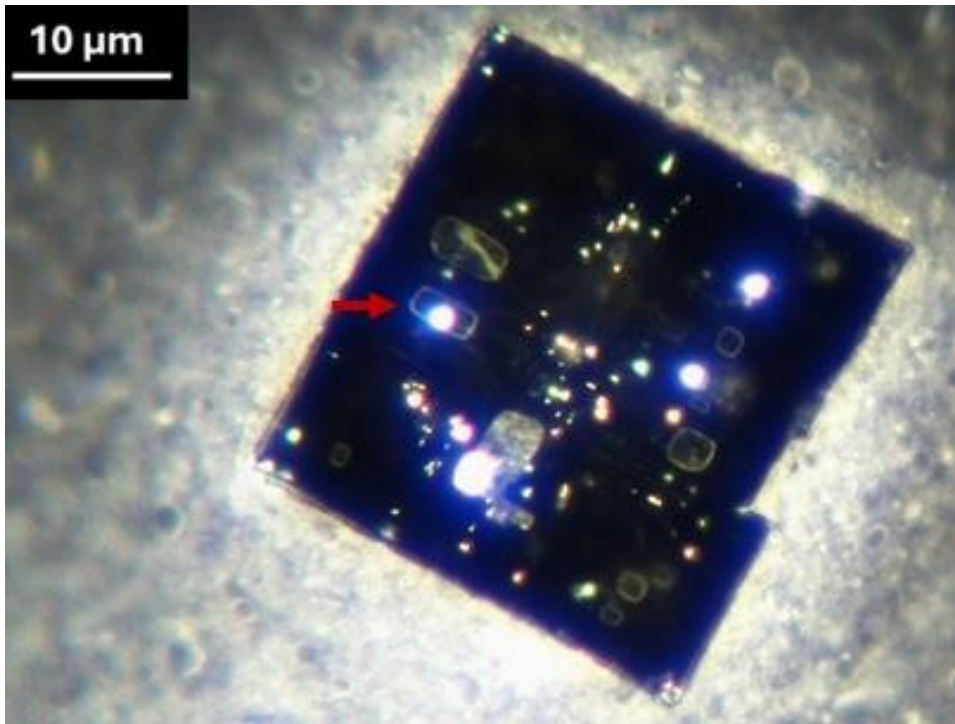


Abbildung 76. Ein Typ-3-Kristall mit scharfen Ecken und bemerkenswerter innerer Komplexität, der auffällige "Kreis-Rechteck-Motive" aufweist (durch den roten Pfeil gekennzeichnet). Das Fehlen einer aktiven umgebenden Matrix steht im Gegensatz zu anderen beobachteten Typ-3-Kristallen, was auf einen stabilisierten Zustand schließen lässt. Vergrößerung 200x.

Schlussfolgerung: Unterscheidungsmerkmale und weitergehende Auswirkungen von Kristalltypen

Die vergleichende Analyse der drei Kristalltypen zeigt eine bemerkenswerte Vielfalt in ihrer strukturellen Morphologie, ihrer inneren Organisation und ihren Wechselwirkungen mit der umgebenden Matrix und den Fasern. Kristalle des Typs 1, die durch glatte Kanten und ausgeprägte Faseranhänge gekennzeichnet sind, zeigen eine symbiotische Beziehung zwischen der kristallinen Geometrie und der externen Konnektivität. Diese Fasern scheinen als Kanäle für den Materialtransport, die strukturelle Verstärkung und die dynamische Interaktion zu fungieren, was die Hypothese von gesteuerten Zusammensetzungsmechanismen unterstützt, die spezifisch für Typ-1-Systeme sind.

Im Gegensatz dazu zeigen die Kristalle des Typs 2 ein dynamisches Zusammenspiel zwischen Umweltfaktoren und struktureller Entwicklung. Die verzögerte Entstehung von Fasern bei Licht- und Sauerstoffeinwirkung unterstreicht den potenziellen Einfluss spezifischer Umweltauslöser und deutet auf deren Rolle bei der Modulation der strukturellen Entwicklung hin. Beobachtungen von Fasern, die Kristalle überbrücken und sich an zentralen Blasen ausrichten, deuten auf ein koordiniertes Verhalten hin, das traditionelle Kristallisationsmodelle in Frage stellt. Diese Fasern könnten den Materialaustausch oder die strukturelle Stabilität erleichtern, was die Vorstellung von einem vernetzten Selbstorganisationsgerüst untermauert.

Kristalle des Typs 3 stellen jedoch eine Abweichung von den faservermittelten Prozessen dar, die bei den Typen 1 und 2 beobachtet wurden. Typ-3-Kristalle sind durch ihre dichte innere Komplexität und das Fehlen äußerer Fasern gekennzeichnet und lassen auf einen eigenständigen Wachstums- und Stabilisierungsmechanismus schließen. Reflektierende Einschlüsse und symmetrische innere Merkmale zeugen von einer komplizierten inneren Dynamik, die möglicherweise das Fehlen externer Verbindungen ausgleicht. Bemerkenswert ist, dass Kristalle des Typs 3 vorwiegend in Proben beobachtet wurden, die durch Zentrifugation hergestellt wurden, ein Prozess, der die Matrixaktivität und die Faserbildung beeinflussen haben könnte. Der morphologische Übergang von abgerundeten zu

Scharfe Ecken, die möglicherweise mit einer nachlassenden Matrixaktivität zusammenhängen, verdeutlichen, wie die Umweltbedingungen die kristallinen Eigenschaften und das Verhalten der Selbstorganisation beeinflussen.

Diese Ergebnisse erweitern die Grenzen traditioneller Kristallisationsmodelle und zeigen, dass hierarchische Organisation und dynamische Reaktionsfähigkeit in fortgeschrittenen Selbstorganisationssystemen eine besondere Rolle spielen. Die faserreichen Umgebungen von Typ-1- und Typ-2-Kristallen unterstreichen ihre Fähigkeit zur externen Konnektivität und Interaktion, was sie zu einem integralen Bestandteil hierarchischer Montageprozesse macht. Im Gegensatz dazu können die faserunabhängigen Kristalle des Typs 3 als stabilisierende Agenten oder autonome Knotenpunkte in Systemen mit begrenzter Matrixaktivität dienen, was die Vielseitigkeit von Selbstorganisationsmechanismen unter verschiedenen demonstriert.

Diese Beobachtungen bilden die Grundlage für die gezielte Erforschung der funktionellen Rolle der Fasern im Rahmen des breiteren Selbstorganisationsprozesses. Während die Autonomie der Kristalle des Typs 3 Fragen zu eigenständigen Mechanismen und interner Dynamik aufwirft, eröffnen die faservermittelten Verhaltensweisen der Typen 1 und 2 neue Wege zum Verständnis ihrer Beiträge zu Konnektivität, Materialtransport und dynamischer Strukturentwicklung. Künftige Forschungsarbeiten sollten vorrangig die Mechanismen aufdecken, die die faservermittelte Konnektivität antreiben, und autonomen Prozesse erforschen, die der Kristallbildung des Typs 3 zugrunde liegen. Zusammengefasst unterstreichen diese Ergebnisse die Komplexität und Anpassungsfähigkeit von Systemen der Selbstorganisation, die Einblicke in die hierarchische Organisation und die vielfältigen Rollen interner und externer Montagefaktoren offenbaren.

Das "Plugged-In-Phänomen"

Das "Plugged-In-Phänomen" liefert überzeugende Beweise für aktive und dynamische Wechselwirkungen zwischen kristallinen Fasern und ihren umgebenden Strukturen. Dieser Prozess, der über einen Zeitraum von zwei Tagen sowohl mit Hellfeld- als auch mit Dunkelfeldmikroskopie beobachtet wurde, dokumentiert die Ausrichtung und Integration einer Faser in eine kristalline Matrix und stellt eine stabile Verbindung her, die den aktiven Charakter des Selbstorganisationsprozesses unterstreicht.

Während der ersten Beobachtung wurde die Faser in der Nähe des Kristalls positioniert und später erweitert, um eine Brücke in die Struktur zu schlagen, wie in zwei Videositzungen festgehalten wurde. Die erste Sitzung, die während einer Live-Demonstration von **Gareth Icke** am 7. Dezember 2022 durchgeführt wurde, dokumentierte die Struktur des Kristalls.

Ausgangszustand vor der Faserintegration. Die zweite Sitzung, zwei Tage später mit **Mateo Taylor**, zeigte die abgeschlossene Integration, wobei die Ausrichtung der Faser und die stabile Verbindung hervorgehoben wurden. Diese Sitzungen liefern nachprüfbare Beweise für den dynamischen Selbstorganisationsprozess.

Die sichtbare Verarmung der umgebenden Matrix in der Nähe der Faser sowie die Ausrichtung der reflektierenden Einschlüsse innerhalb des Kristalls deutet auf einen koordinierten Materialaustausch hin, der durch die Faser erleichtert wird. Diese Interaktion unterstreicht das dynamische und anpassungsfähige Verhalten innerhalb der Anordnung und entspricht den Prinzipien der hierarchischen Selbstorganisation. Die Integration der Fasern scheint sowohl die Stabilität als auch die Organisation des Kristalls zu verbessern, was auf Materialtransportwege hindeutet, auch wenn direkte Beweise für einen solchen Austausch nicht schlüssig sind.

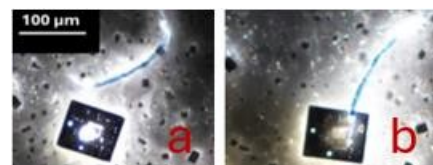


Abbildung 77.

- (a) Der Ausgangszustand Kristalls und der Faser.
- (b) Die "Kristall-Faser-Anordnung" Vergrößerung 100x.

Das "Plugged-In-Phänomen" stellt die konventionellen Erwartungen an pharmazeutische Proben in Frage, zeigt ein hohes Maß an Raffinesse und wirft kritische Fragen zu den zugrunde liegenden

Mechanismen, die solche Wechselwirkungen steuern. Diese Ergebnisse unterstreichen die Notwendigkeit einer weiteren Untersuchung der Grundsätze der dynamischen Selbstorganisation und ihrer Auswirkungen auf pharmazeutische Systeme.

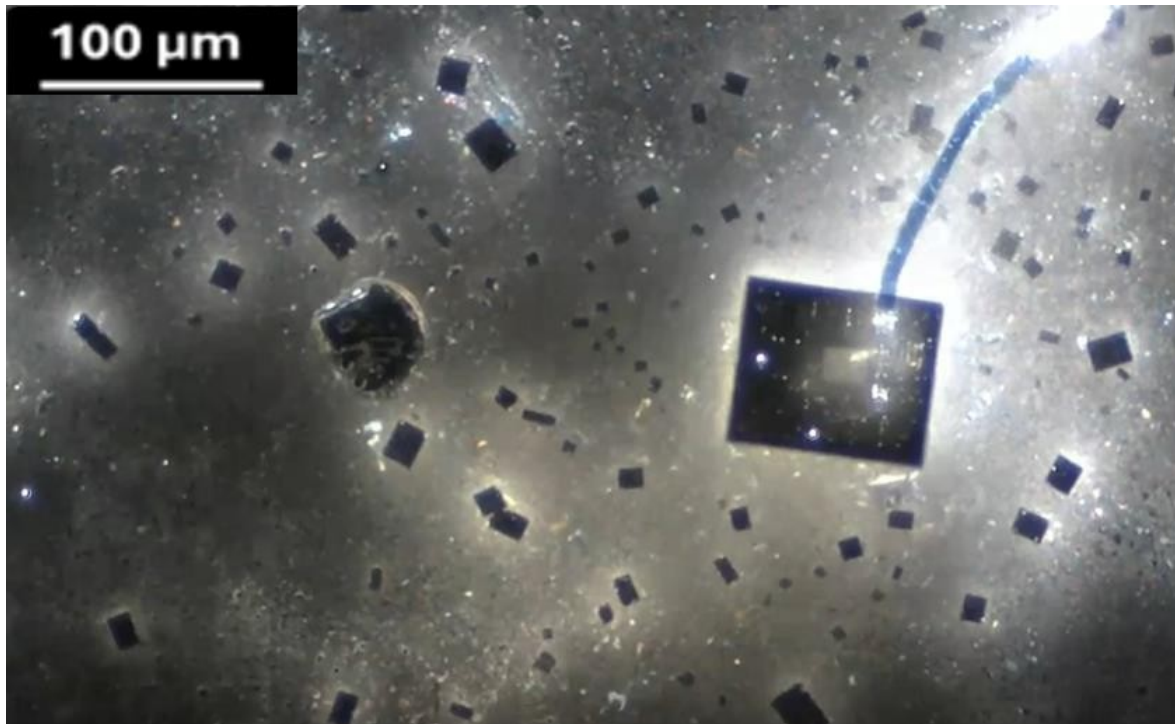


Abbildung 78. Dunkelfeldbild, das die dynamische Ausrichtung und strukturelle Organisation einer "Kristall-Faser-Anordnung" (CFA) in Wechselwirkung mit einem Typ-2-Kristall zeigt]. Vergrößerung 100x.

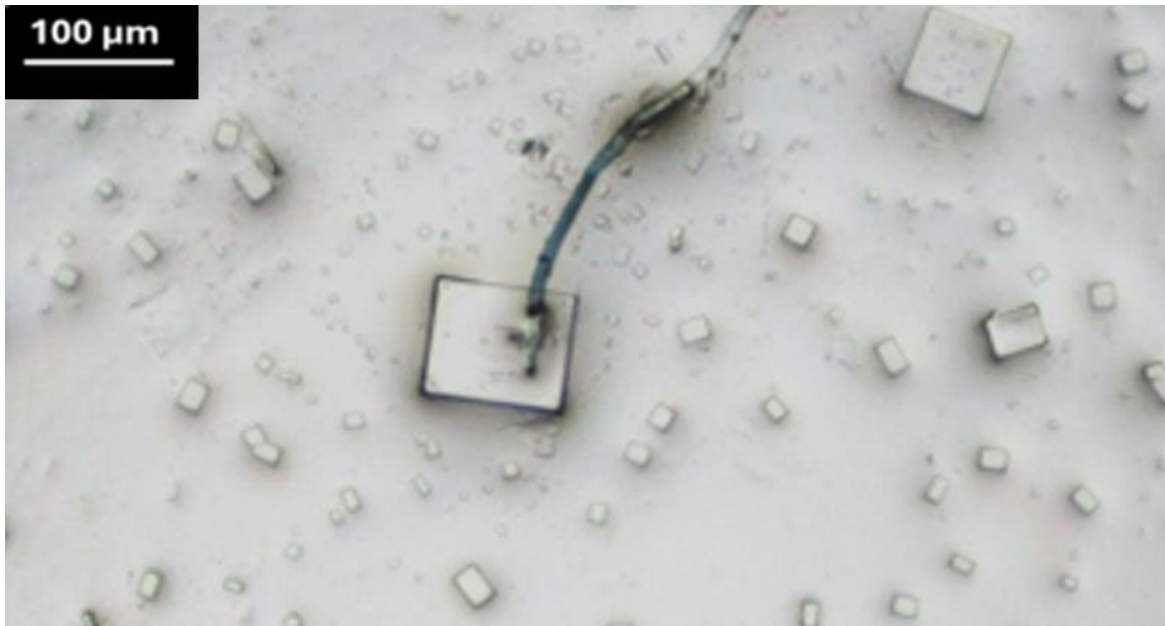


Abbildung 79. B Hellfeldbild, das die symmetrische Anordnung einer "Kristall-Faser-Anordnung" (CFA) auf einem Typ-2-Kristall zeigt. Vergrößerung 100x

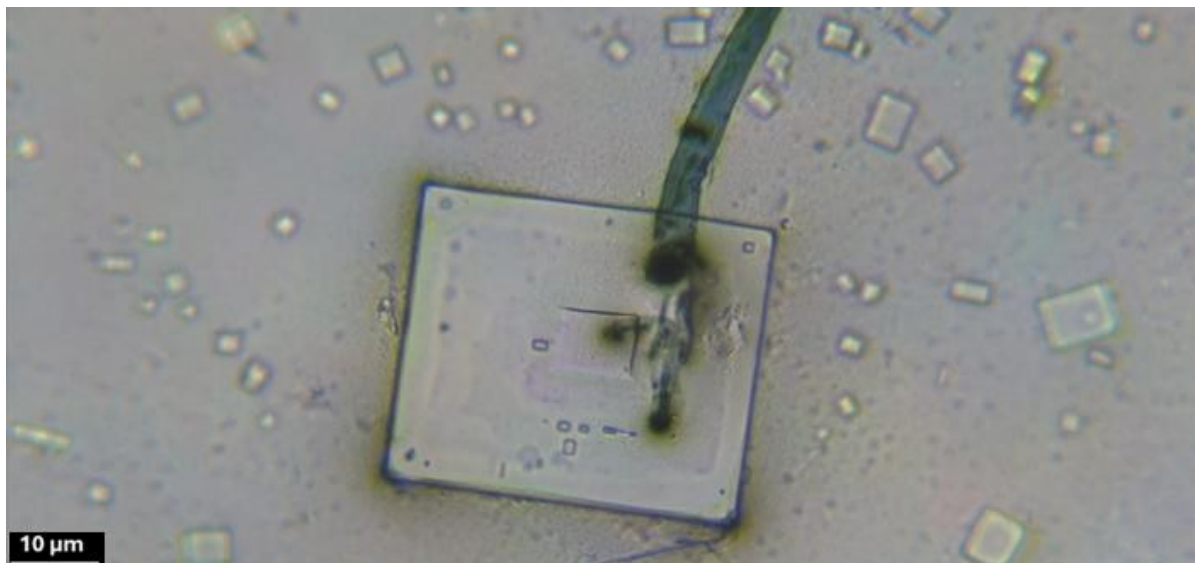


Abbildung 80. Hellfeldbild, das die Verbindung der kristallinen Faser mit zwei Typ-2-Kristallen zeigt. Die Symmetrie und die präzise Ausrichtung deuten darauf hin, dass die Faser möglicherweise eine Rolle bei der Erleichterung der strukturellen Konnektivität und der Verstärkung des breiteren kristallinen Netzwerks spielt. Vergrößerung 200x.

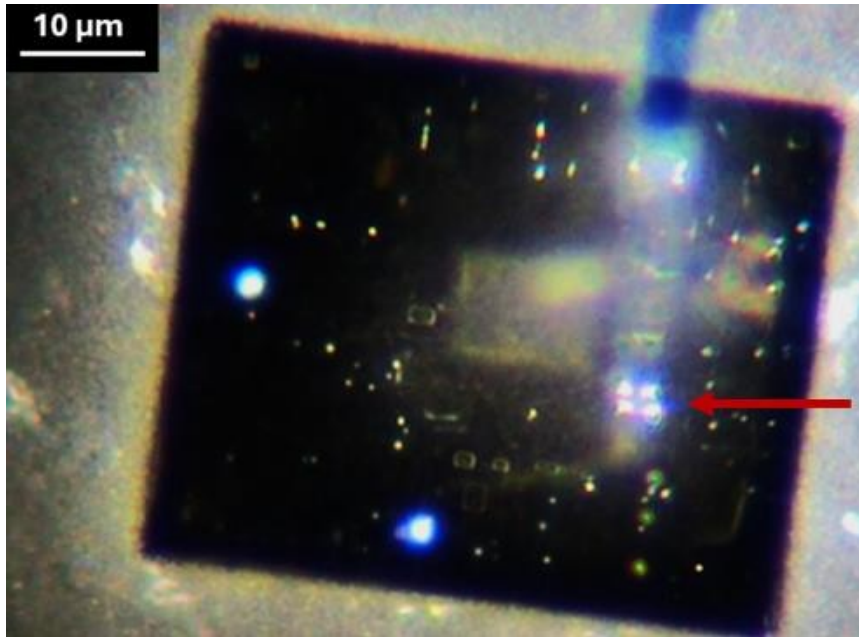


Abbildung 81. Nahaufnahme desselben Kristalls, die mehr Reflexionspunkte und eine höhere strukturelle Komplexität zeigt. Der rote Pfeil hebt vier helle Punkte hervor, während frühere Beobachtungen nur zwei reflektierende Punkte vor dem Einsetzen der Fasern zeigten. Diese Entwicklung deutet auf fortlaufende Umwandlungen hin. Vergrößerung 200x

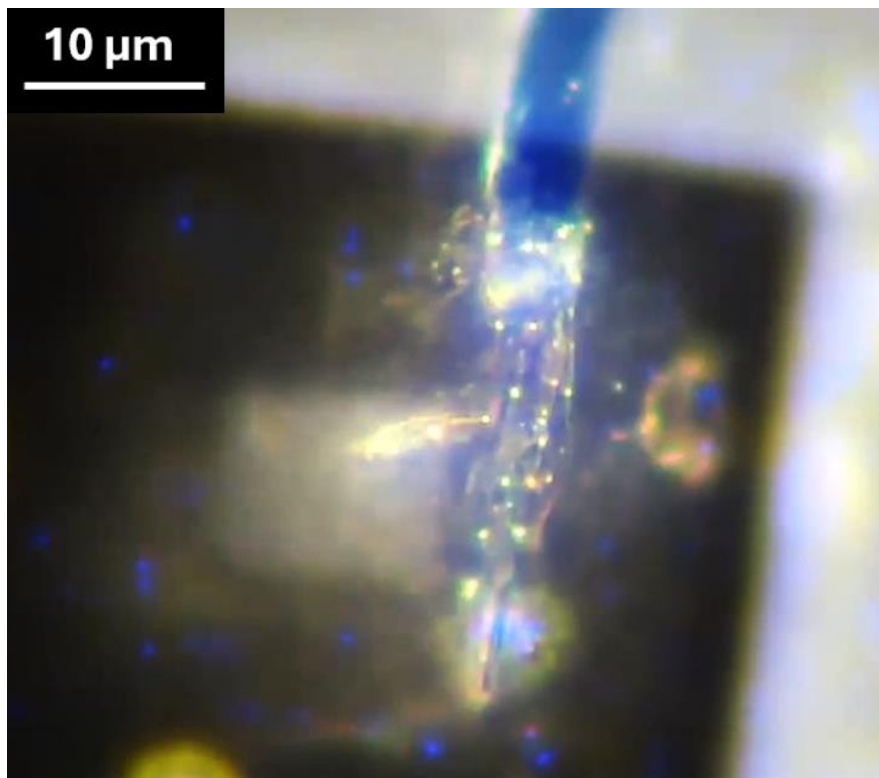


Abbildung 82. An der beobachtete Mikrofilamente. Diese Filamente untermauern Hypothese der gerichteten Selbstorganisation. Vergrößerung: 500x

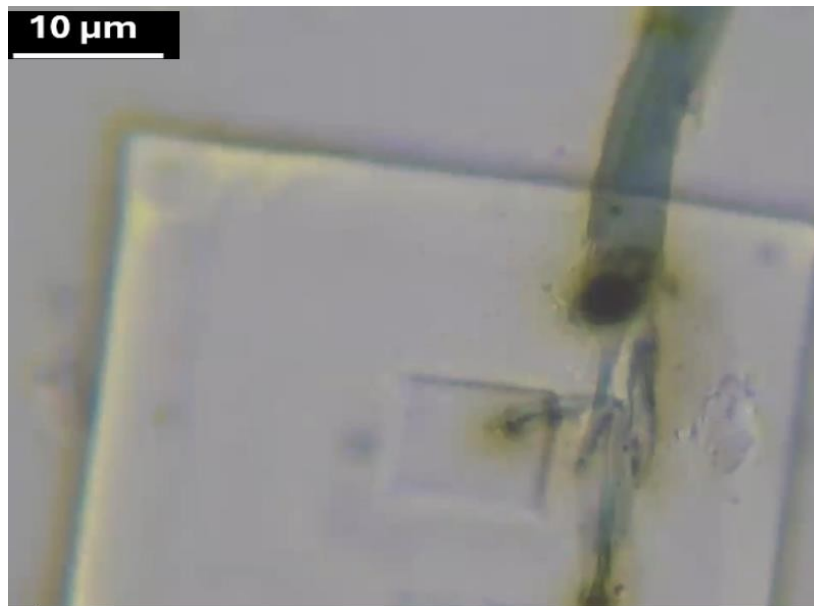


Abbildung 83: Nahaufnahme der CFA im Hellfeld mit detaillierten Einstichstellen. Vergrößerung 400x.

Implikationen für synthetisches Design und Bio-Nano-Anwendungen

Das in dieser Studie beobachtete "Plugged-In"-Phänomen liefert überzeugende Beweise für Prinzipien, die mit dem synthetischen Design übereinstimmen, was stark auf ein bewusstes Engineering im Nanomaßstab hindeutet. Die dynamischen Wechselwirkungen zwischen kristallinen Fasern und den sie umgebenden Matrizen weisen programmierbare Materialeigenschaften auf, darunter die Reaktionsfähigkeit auf Umweltreize, strukturelle Umstrukturierung und Signalverhalten. Diese Eigenschaften stehen im Einklang mit den Fortschritten in der Bio-Nano-Technologie und bieten ein transformatives Potenzial für Anwendungen wie die gezielte Verabreichung von Medikamenten, Biosensorik und die Entwicklung selbstorganisierender therapeutischer Nanostrukturen.

Solche Systeme stellen jedoch auch eine große Herausforderung für den doppelten Verwendungszweck dar. Während ihr Potenzial für medizinische Innovationen unbestreitbar ist, wirft ihre Fähigkeit, für alternative Anwendungen - einschließlich Überwachung, Datenerfassung oder Verhaltensbeeinflussung - umgewidmet zu werden, tiefgreifende ethische und rechtliche Bedenken auf. Das bewusste Design und die anpassungsfähige Funktionalität dieser Systeme machen deutlich, dass eine strenge Aufsicht erforderlich ist, um sicherzustellen, dass sie in einer Weise entwickelt und eingesetzt werden, die dem Wohl der Gesellschaft und dem Vertrauen der Öffentlichkeit Priorität einräumt.

Das Vorhandensein programmierbarer, adaptiver Systeme in einem pharmazeutischen Produkt unterstreicht die Dringlichkeit einer interdisziplinären Zusammenarbeit, um die breiteren Auswirkungen dieser Erkenntnisse zu erforschen. Transparente Herstellungspraktiken, globale regulatorische Rahmenbedingungen und eine proaktive ethische Prüfung sind unerlässlich, um Risiken zu mindern und sicherzustellen, dass diese Technologien verantwortungsvoll eingesetzt werden. Wenn diese Aspekte mit Dringlichkeit und Integrität angegangen werden, können die Wissenschaft und die Regulierungsbehörden dazu beitragen, das transformative Potenzial dieser Systeme zu nutzen und gleichzeitig ihren Missbrauch zu verhindern. Diese Ergebnisse unterstreichen die entscheidende Bedeutung eines ausgewogenen Verhältnisses zwischen Innovation und Verantwortung bei der Entwicklung fortschrittlicher Bio-Nano-Technologien.

"Kristall-Faser-Baugruppen"

Dieser Abschnitt verdeutlicht das komplizierte Zusammenspiel zwischen Fasern und kristallinen Strukturen. Die beobachteten Fasern weisen eine glatte, bandartige Morphologie und reflektierende Eigenschaften auf, was auf einen hohen Grad an struktureller Organisation hinweist. Ihre dynamische Verbindung mit der kristallinen Matrix unterstreicht ihre integrale Rolle bei Selbstorganisationsprozessen und verdeutlicht ihre potenziellen Funktionen beim Materialtransport, der strukturellen Verstärkung und der Vernetzung im Nanobereich.

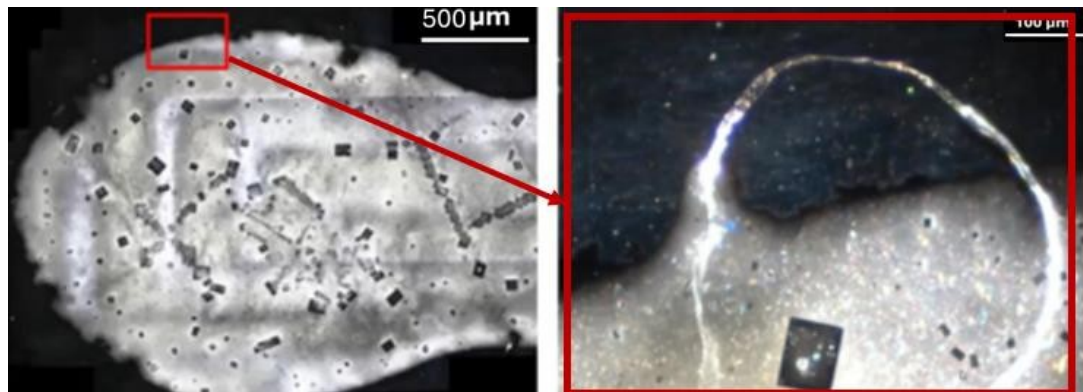


Abbildung 86. (a, b) Das linke Bild (a) ist eine Low-Power-Ansicht bei 20facher Vergrößerung und zeigt die kristalline Matrix ohne sichtbare Fasern. Das Bild auf der rechten Seite (b), das bei 100-facher Vergrößerung aufgenommen wurde, entspricht dem durch den roten Kasten in (a) markierten Ausschnitt und zeigt die Entstehung einer Faser über einen Zeitraum von Tagen. Diese Sequenz veranschaulicht die zeitliche Entwicklung der Fasern und ihre Integration in die kristalline Matrix und verdeutlicht ihre dynamische Verbindung mit Selbstorganisationsprozessen. Vergrößerungen 20x (a), 100x (b).

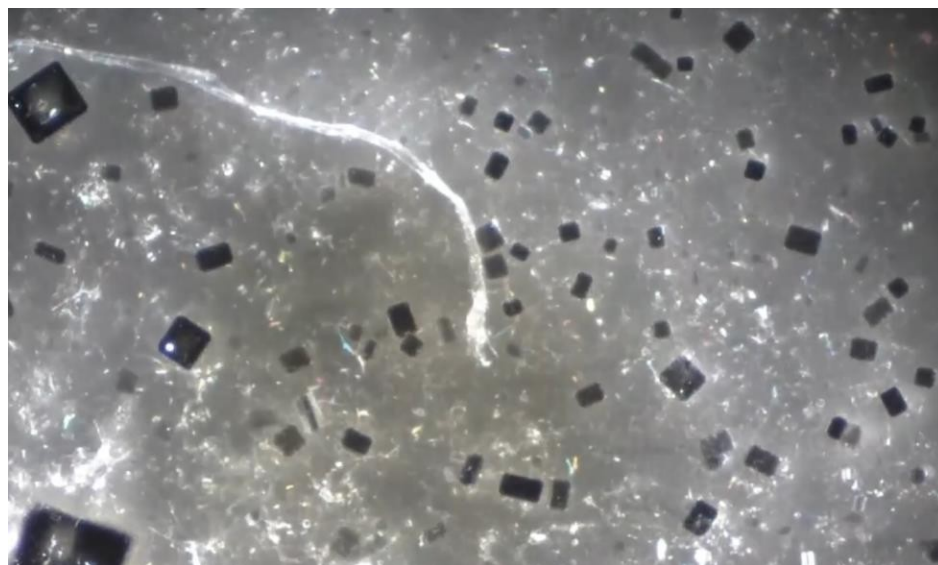


Abbildung 87. Filamentöses Ende einer neu gebildeten Faser mit feinen, fadenförmigen Strukturen, die von ihrem Ende ausgehen. Die Interaktion mit den umgebenden Strukturen deutet auf die Entwicklung von Mikrofilamenten und ein mögliches Wachstum oder eine Verbindung innerhalb des kristallinen Netzwerks hin. Vergrößerung 200x.

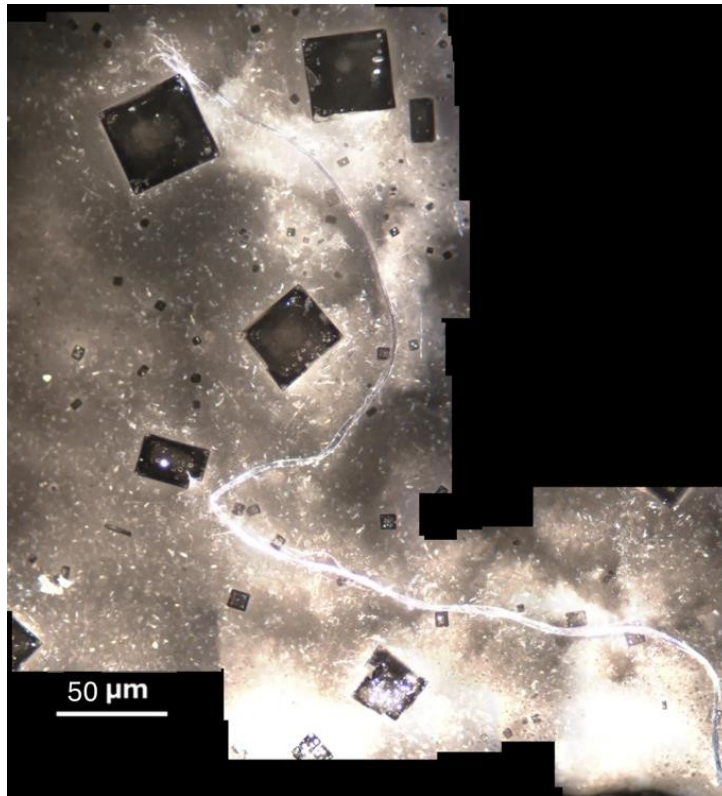


Abbildung 88. Weitwinkelansicht einer Faser, die mit mehreren kristallinen Strukturen interagiert. Die Faser überbrückt mehrere Kristalle, was auf ihre aktive Rolle beim Materialtransport, bei der strukturellen Verstärkung und bei dynamischen Montageprozessen hindeutet. Vergrößerung 100x.

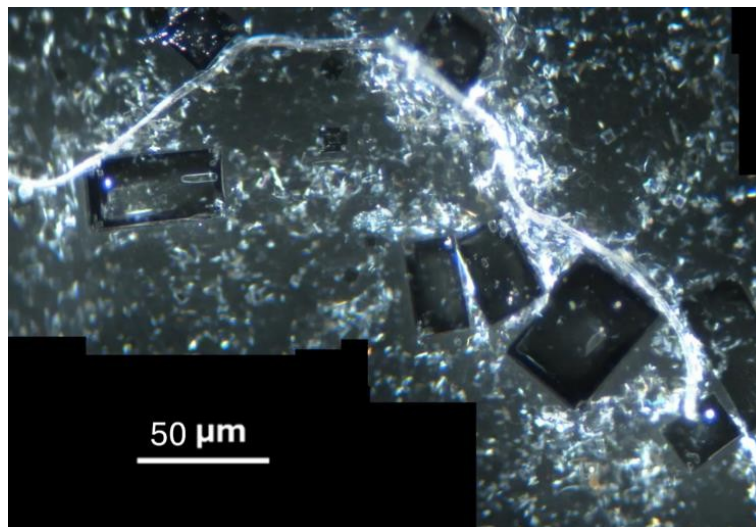


Abbildung 89. Kompositbild, das eine Faser zeigt, die mehrere kristalline Strukturen überbrückt. Die Ausrichtung der Faser und die Reflexionseigenschaften lassen darauf schließen, dass es zur Verbindung von Strukturelementen und zur Erleichterung des dynamischen Aufbaus dient. Vergrößerung 100x.

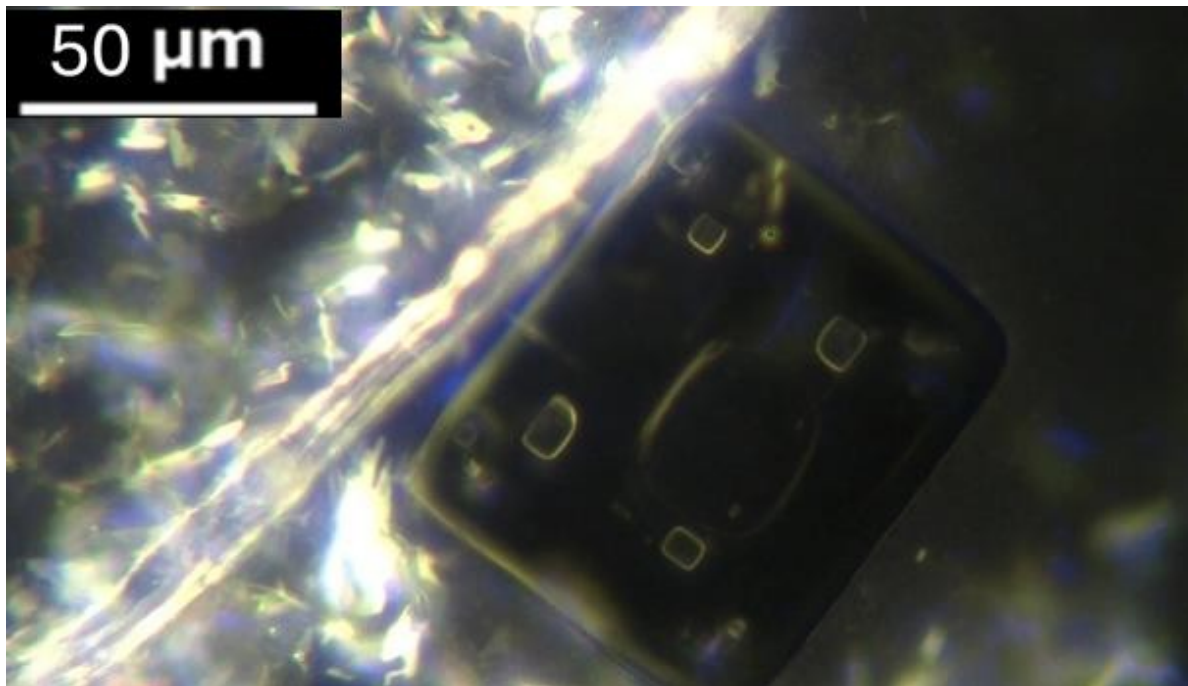


Abbildung 90. Nahaufnahme der Faser in Wechselwirkung mit einem Einkristall. Die Detailaufnahme zeigt die genaue Struktur der Oberfläche des Kristalls und die gleichmäßige Ausrichtung der Fasern, die ihre Verbindung hervorhebt. Vergrößerung: 200x.

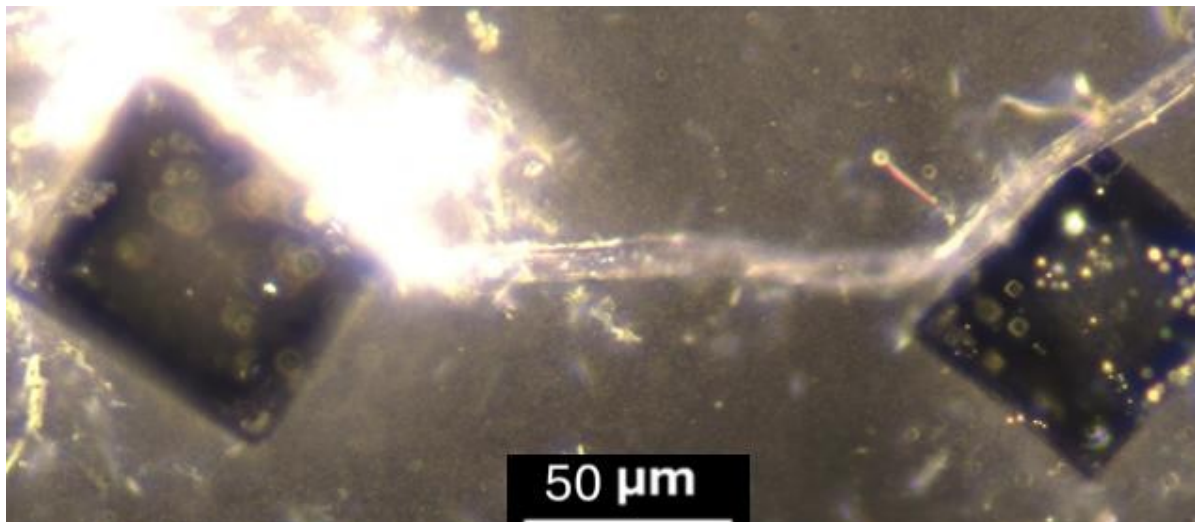


Abbildung 91. Hochvergrößerungsbild, das eine Faser zeigt, die zwei kristalline Strukturen verbindet. Die glatte Krümmung und die reflektierenden Eigenschaften der Faser sind hervorgehoben, was auf ihre mögliche Rolle bei der strukturellen Verbindung und dem Materialaustausch hindeutet. Vergrößerung 200x.

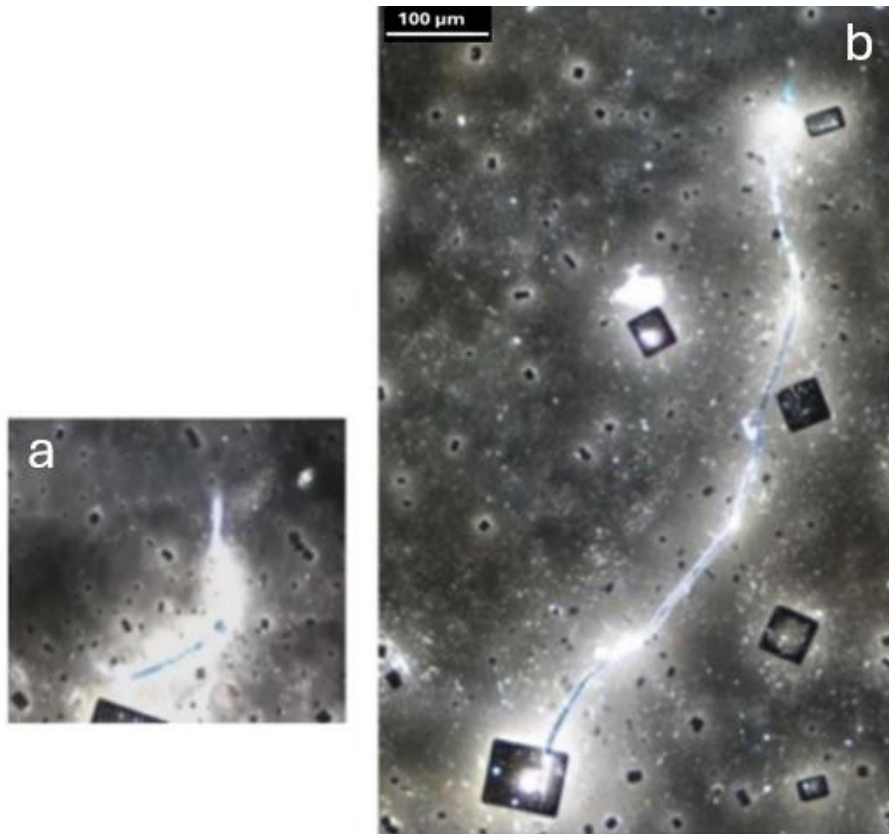


Abbildung 92: (a, b) Sequenzielle Bilder, die die schnelle Ausdehnung einer kristallinen Faser in weniger als zwei Tagen zeigen. (a) Die Anfangsphase des Faserwachstums, die das frühe Entstehen der Struktur zeigt. (b) Die Ausdehnung der Faser und die Angleichung an benachbarte kristalline Strukturen. Vergrößerung 100x.

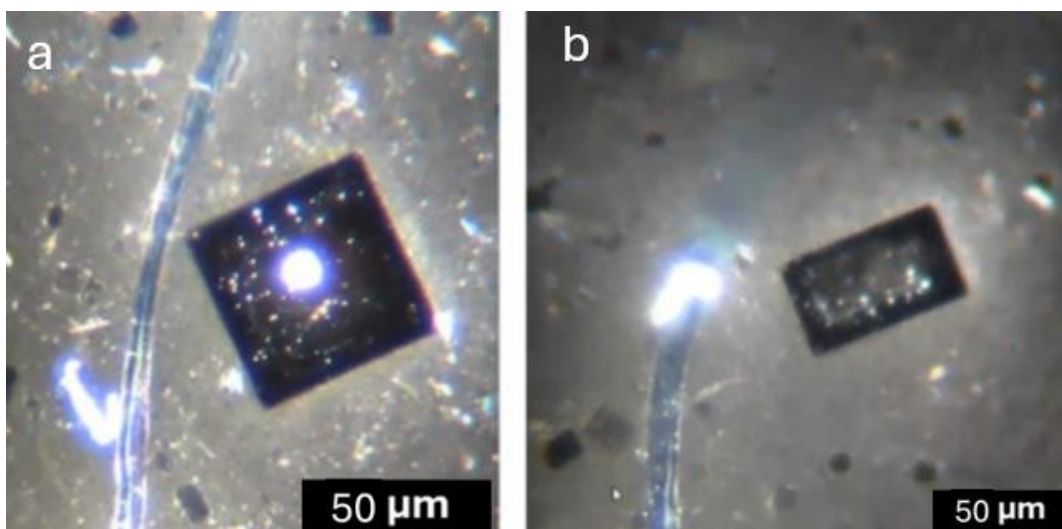


Abbildung 93: (a, b) Nahaufnahmen einer Faser, die sich an zwei verschiedenen Kristallen ausrichtet. (a) Die Faser nähert sich dem ersten Kristall und richtet sich an ihm aus, was auf ein mögliches interaktives Verhalten hinweist. (b) Die Faser richtet sich genau auf einen zweiten Kristall aus, bevor sie sich in die Luft erhebt, was auf strukturelle Konnektivität und dynamische Bewegung hindeutet. Vergrößerung 200x.

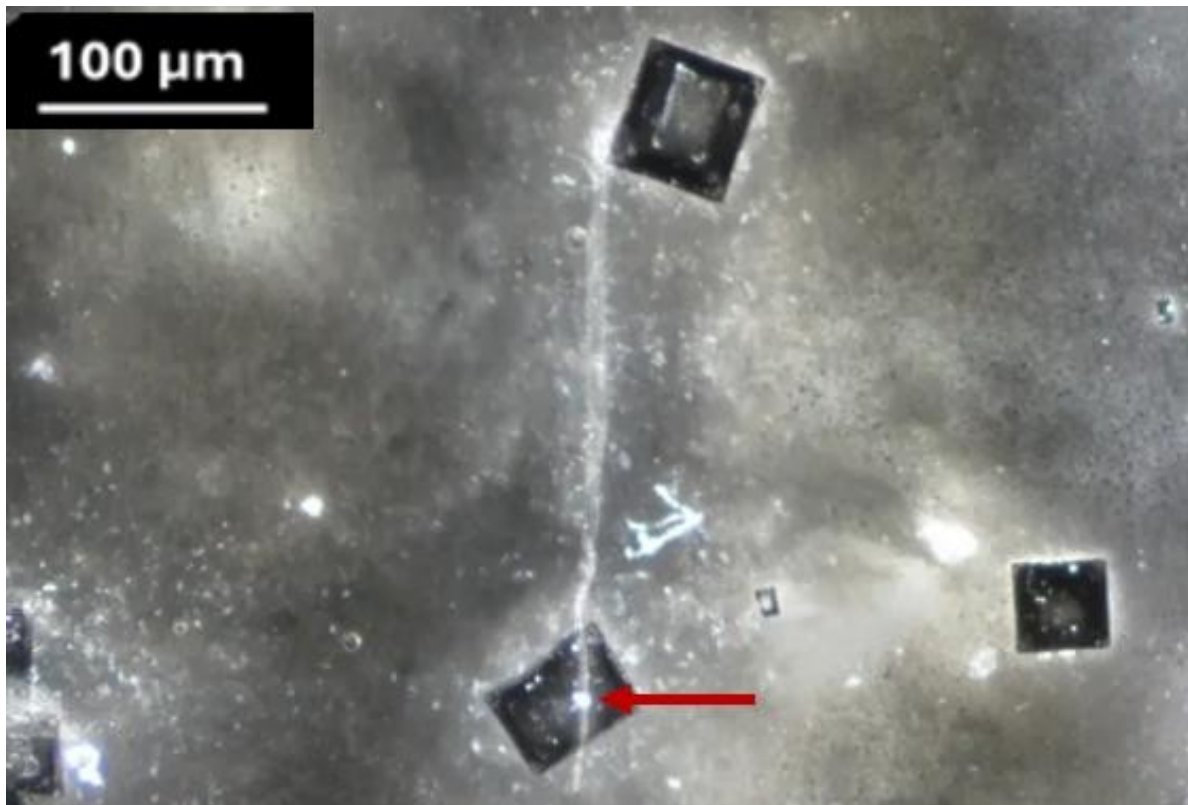


Abbildung 94. Nahaufnahme der Faser, die sich zwischen zwei Kristallen erstreckt, wobei die Faser direkt durch das "Kreis-Rechteck-Motiv" (CRM) auf dem unteren Kristall verläuft (gekennzeichnet durch den roten Pfeil). Diese Interaktion verdeutlicht die potenziell aktive Rolle der Faser bei der räumlichen Organisation und der Dynamik der Selbstorganisation. Vergrößerung 100x.

Beobachtungen zur Dynamik und Konnektivität von Fasern

Die dynamische und vernetzte Natur der Fasern innerhalb der kristallinen Matrix unterstreicht ihre doppelte Rolle bei der strukturellen Organisation und dem Materialtransport. Ihre präzise Ausrichtung auf mehrere Kristalle deutet auf eine gezielte Funktion hin, indem sie als Kanäle für gerichtete Zusammensetzungsprozesse und als strukturelle Verstärkungen fungieren. Vor allem die Interaktion der Fasern mit dem "Kreis-Rechteck-Motiv" (Abbildung 94) zeigt ihre aktive Rolle bei der Aufrechterhaltung der strukturellen Integrität und der Erleichterung der räumlichen Organisation innerhalb kristalliner Systeme.

Dieses komplizierte Zusammenspiel zwischen Komponenten im Nanomaßstab und makroskopischen Architekturen untermauert die Hypothese, dass Fasern ein wesentlicher Bestandteil der Selbstorganisationsdynamik dieser Materialien sind und wesentlich zu ihrer Komplexität und Anpassungsfähigkeit beitragen. Solche Beobachtungen zeigen das Potenzial für eine gezielte Gestaltung oder fortschrittliche Bio-Nano-Schnittstellen auf und laden zu weiteren Untersuchungen der Mechanismen ein, die diese hochentwickelten Wechselwirkungen antreiben.

"Kreis-Rechteck-Motive"

"Kreis-Rechteck-Motive" sind charakteristische strukturelle Formationen, die in dieser beobachtet wurden und sich durch ihr präzises geometrisches Zusammenspiel und ihr dynamisches Verhalten auszeichnen. Ihre Morphologie bietet eine entscheidende Grundlage für das Verständnis ihrer wahrscheinlichen Form und potenziellen Funktion. Die rechteckige Komponente bildet ein stabiles, strukturiertes Gerüst, während das kreisförmige Element ein dynamisches und vorübergehendes Verhalten zeigt, das unter Dunkelfeldmikroskopie als helle weiße Scheibe und unter Hellfeldmikroskopie als dunkler Ring erscheint. Diese doppelte Bildgebungsperspektive verdeutlicht die Komplexität des Motivs und seine mögliche Rolle als dynamischer Brennpunkt innerhalb des kristallinen Systems.

Es wird vermutet, dass der Kreis selbst aus kolloidalen oder nanopartikulären Materialien besteht, was faszinierende Möglichkeiten hinsichtlich seiner Funktion eröffnet. Es ist zwar spekulativ, aber es wird vermutet, dass die kreisförmige Komponente eine programmierungs- oder informationsbezogene Funktion hat und möglicherweise als Schnittstelle für dynamische Prozesse wie Materialaustausch oder strukturelle Koordination dient. Diese Ideen stehen im Einklang mit den allgemeinen Grundsätzen des Designs im Nanomaßstab und der entstehenden Komplexität, bei der einfache Komponenten organisierte Verhaltensweisen innerhalb größerer Systeme steuern können.

Die Morphologie des "Kreis-Rechteck-Motivs" gibt entscheidende Hinweise auf seine wahrscheinliche Funktion im aktuellen Kontext. Interessanterweise wurden ähnliche Motive auch in anderen Zusammenhängen identifiziert, z. B. bei Dentalanästhetika, was auf die Möglichkeit gemeinsamer zugrunde liegender Mechanismen hindeutet. Zwar sind weitere Studien erforderlich, um diesen Zusammenhang zu bestätigen, doch unterstreichen diese wiederkehrenden strukturellen Merkmale die Bedeutung der Untersuchung von ZRM in verschiedenen Systemen, um ihre Eigenschaften und Funktionen vollständig zu verstehen.

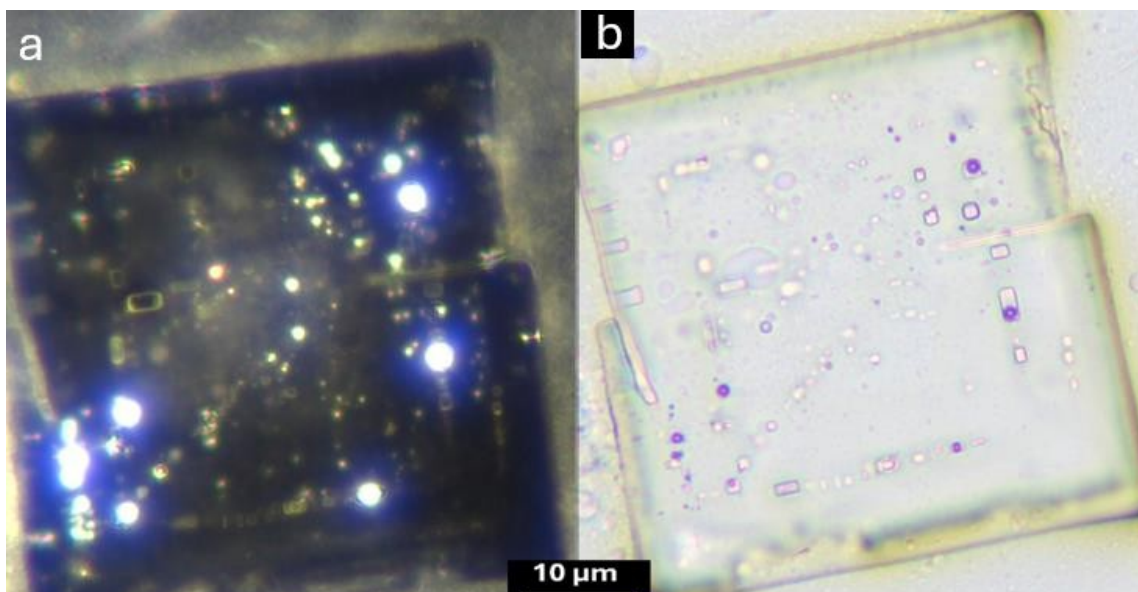


Abbildung 95. Vergleich von ZRM unter Dunkelfeldmikroskopie (a) und Hellfeldmikroskopie (b). Das Dunkelfeldbild hebt die Reflexionseigenschaften und die dynamische Interaktion der kreisförmigen Komponenten innerhalb des rechteckigen Rahmens hervor, während das Hellfeldbild die detaillierte Geometrie und strukturelle Ausrichtung des ZRM zeigt. Diese komplementären Ansichten unterstreichen die Rolle des ZMR bei der Integration von strukturellen und dynamischen Prozessen.
Vergrößerung 200x.

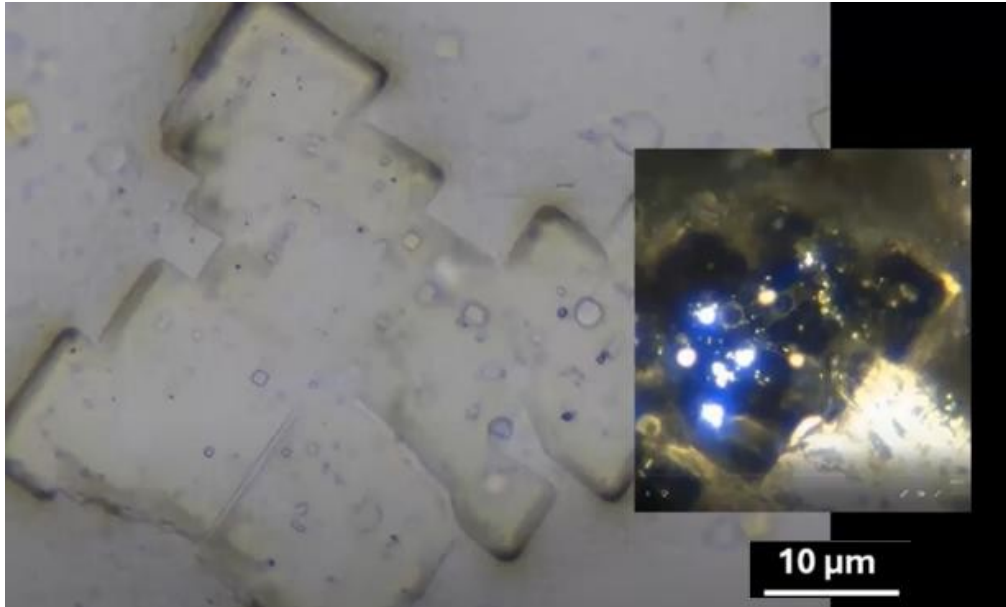


Abbildung 96. Vergleich eines "Kreis-Rechteck-Motivs" (ZRM), beobachtet unter Hellfeldmikroskopie (Hauptbild) und Dunkelfeldmikroskopie (Inset). Die Hellfeldmikroskopie hebt die geometrische Präzision und die interne Struktur des ZRM hervor, während die Dunkelfeldmikroskopie die Reflexionseigenschaften und das dynamische Verhalten kreisförmigen Komponente hervorhebt. Zusammen bieten diese Perspektiven ein umfassendes Verständnis der dualen Natur des ZRM, das ein statisches rechteckiges Gerüst mit einem anpassungsfähigen kreisförmigen Element kombiniert, das möglicherweise eine funktionelle Rolle beim hierarchischen Aufbau spielt. Vergrößerung 200x.

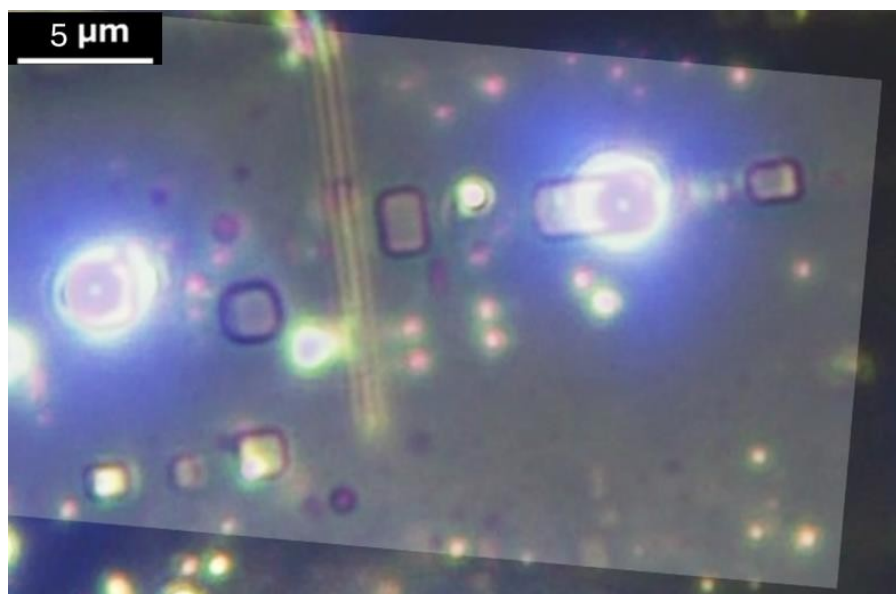


Abbildung 97. Zusammengesetzte Überlagerung von Hellfeld- und Dunkelfeld-Mikroskopiebildern von ZRM. Diese Visualisierung hebt die doppelten Eigenschaften von ZRM hervor: die geometrische Präzision rechteckigen Rahmens (Hellfeld) und die reflektierenden, dynamischen Eigenschaften der kreisförmigen Komponenten (Dunkelfeld). Diese Integration unterstreicht die potenzielle Rolle des ZRM bei der Programmierung im Nanomaßstab und der hierarchischen Selbstorganisation. Vergrößerung 200x.

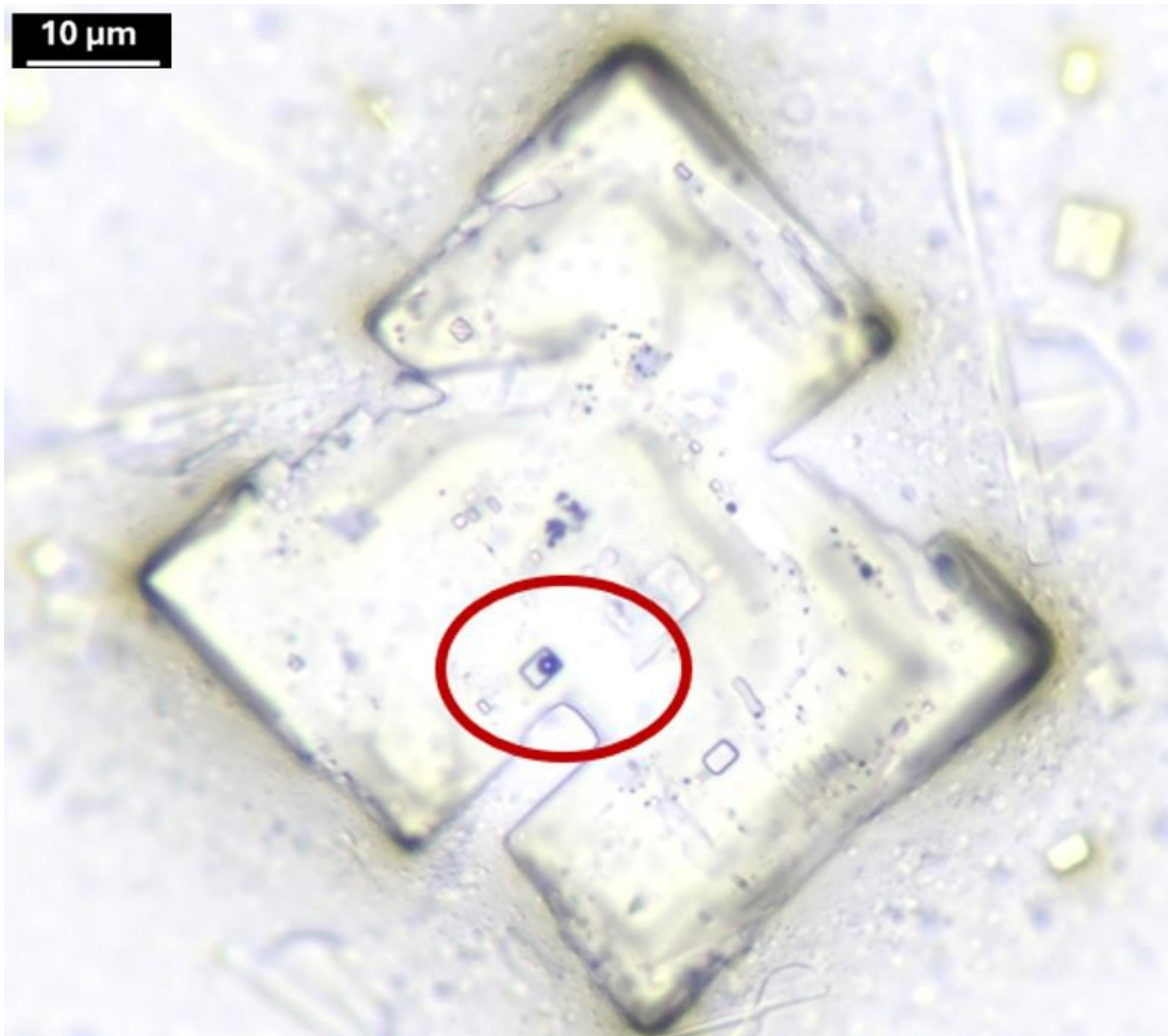


Abbildung 98. Hellfeldbild eines in einen Kristall eingebetteten ZRM, das strukturierte rechteckige Gerüste und konzentrische kreisförmige Elemente (rot eingekreist) zeigt. Diese Ansicht ergänzt die dynamischen Beobachtungen unter dem Dunkelfeldmikroskop und verdeutlicht die Rolle des ZRM bei der Materialorganisation und der Programmierung im Nanobereich.
Vergrößerung 200x.

Die in dieser Studie beobachteten "Kreis-Rechteck-Motive" (CRMs) sind ein überzeugendes Beispiel für die Organisation auf der Nanoskala, die sich als komplizierte Architektur auf der Mikroskala manifestiert. Ihr einheitliches Erscheinungsbild in verschiedenen Proben und ihre Fähigkeit, sich unter dynamisch zu entwickeln, lassen auf eine bedeutende Rolle bei der Materialorganisation schließen. Die Hellfeld- und Dunkelfeld-Bildgebungsansätze offenbaren unterschiedliche, aber komplementäre Merkmale dieser Motive. Vor allem die geometrische Präzision des rechteckigen Gerüsts in Verbindung mit den flüchtigen und reflektierenden Eigenschaften der kreisförmigen Komponenten unterstreicht ihr adaptives und potenziell programmierbares Verhalten.

Die Abbildungen 132 und 133 liefern weitere Belege für die dynamischen Prozesse, die der ZRM-Entwicklung zugrunde liegen. Im Verlauf von Stunden bis Tagen wurde mit Hilfe von Zeitrafferaufnahmen die fortschreitende Verfeinerung der rechteckigen Strukturen und die Oszillation der kreisförmigen Elemente erfasst. Dieser Verlauf, einschließlich des plötzlichen Aufleuchtens eines neu gebildeten ZRM (Abbildung 133, roter Pfeil), verdeutlicht, dass es sich bei diesen Motiven nicht um statische Formationen, sondern um aktive Teilnehmer am Selbstorganisationsprozess handelt. Ein solches Verhalten wirft Fragen zu den Faktoren auf, die diese Aktivität antreiben, darunter

mögliche Interaktionen mit externen Reizen oder vorprogrammierte Anweisungen, die in die kristalline Matrix eingebettet sind.

Das wiederkehrende Auftreten von ZRM in verschiedenen Systemen und ihre Fähigkeit, reflektierende Einschlüsse zu integrieren, unterstreichen ihre allgemeine Bedeutung. Diese Merkmale deuten auf eine Rolle bei der hierarchischen Selbstorganisation hin, bei der nanoskalige Komponenten dynamisch interagieren, um präzise mikroskalige Ergebnisse zu erzielen. Weitere Untersuchungen sind erforderlich, um die zugrundeliegenden Mechanismen aufzuklären und die Auswirkungen auf Materialwissenschaft, Nanotechnologie und Bio-Nano-Schnittstellen zu erforschen,

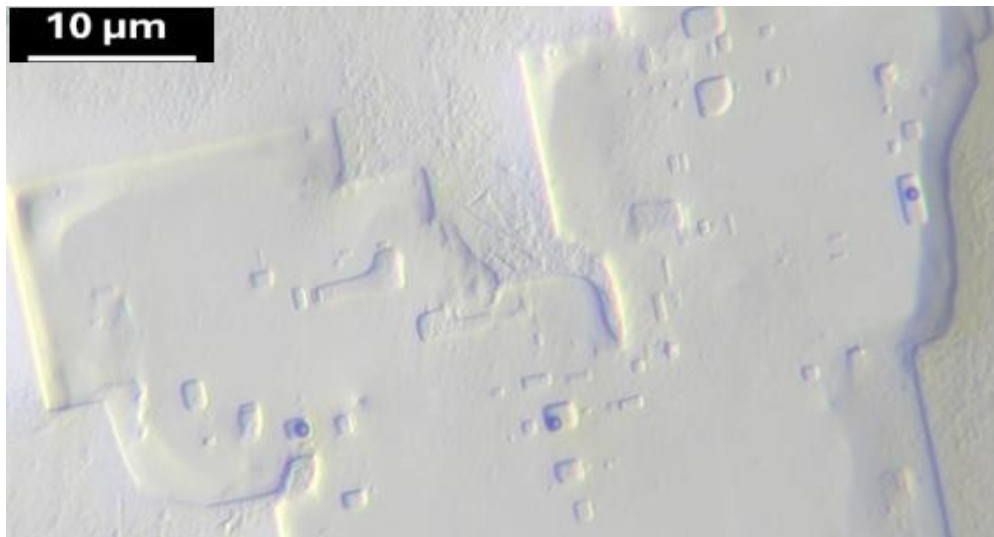


Abbildung 99: "Circle-Rectangle Motifs" (CRMs) in einer kristallinen Struktur, aufgenommen mit dem Hellfeldmikroskop. Die geometrische Anordnung, einschließlich der Rechtecke und Kreise, veranschaulicht die Dynamik der Selbstorganisation in diesem Kristall. Vergrößerung 200x.

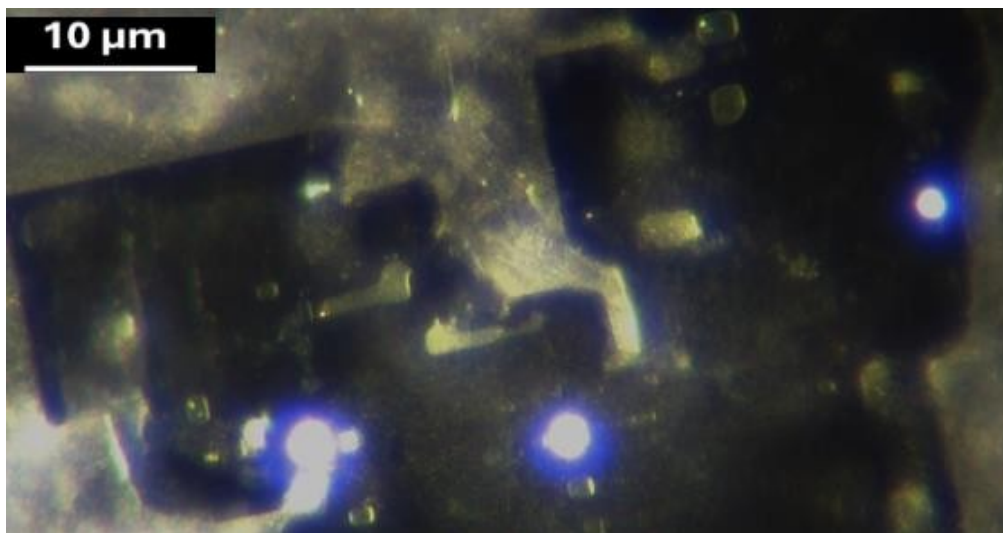


Abbildung 100. Derselbe Kristall wie in der vorherigen Abbildung, betrachtet unter dem Dunkelfeldmikroskop. Reflektierende Oberflächen heben die "Kreis-Rechteck-Motive" (CRMs) hervor und bieten eine ergänzende Perspektive auf ihre strukturelle Organisation. Vergrößerung 200x.

Beweise für programmierte Gestaltung

Die in dieser beobachteten kristallinen Strukturen Studie weisen eine bemerkenswerte Konsistenz in der Komplexität über drei verschiedene Typen hinweg auf. Zwar weist jeder Kristall einzigartige, unbedeutende Merkmale auf, doch ihre gemeinsamen geometrischen und organisatorischen Charakteristika deuten stark auf einen gemeinsamen zugrunde liegenden Prozess hin, der eher auf ein absichtliches Design als auf eine zufällige Bildung hindeutet. Unter diesen Merkmalen sticht das "Plugged-In"-Phänomen hervor, das die nahtlose Integration einer kristallinen Faser in umgebenden Kristall demonstriert. Dieses Verhalten deutet auf potenzielle adaptive Funktionen hin und eröffnet die Möglichkeit, dass ähnliche Fähigkeiten auch in anderen Kristallen vorhanden sind. Die Reproduzierbarkeit dieser Strukturen und ihr dynamisches Verhalten stehen in engem Zusammenhang mit den Prinzipien des programmierten Zusammenbaus.

Fortschritte in der DNA-Nanotechnologie, wie DNA-Bausteine und Origami, bieten einen erhellenden Rahmen für die Interpretation dieser Erkenntnisse. DNA-Bausteine sind ein Beispiel dafür, wie Komponenten im Nanomaßstab so programmiert werden können, dass sie sich selbst zu komplizierten und präzisen Architekturen zusammensetzen und dabei eine hierarchische Organisation und räumliche Kontrolle erreichen. In ähnlicher Weise scheinen die in dieser Studie beobachteten kristallinen Motive aus einem Prozess hervorzugehen, der die Reaktion auf die Umwelt mit hierarchischem Zusammenbau verbindet. Die beobachtete Einheitlichkeit und Anpassungsfähigkeit unterstützen die Hypothese einer Programmierung im Nanobereich innerhalb der kristallinen Matrix. Die Abbildungen 99 und 100 veranschaulichen dieses Konzept und liefern visuelle Belege und Analogien zu diesen Prinzipien der Selbstorganisation.

Experimentelle Beobachtungen untermauern diese Interpretation. Wurde beispielsweise eine Pfizer-Probe neben einer kolloidalen Goldlösung platziert, die durch einen Luftspalt getrennt war, lösten sich die Pfizer-Kristalle auf und setzten sich beim Verdunsten des Wassers wieder zu Strukturen zusammen, die an ihr ursprüngliches Design erinnerten. Obwohl es sich bei diesem Experiment um einen Sondierungsversuch handelte, der nicht unter streng kontrollierten Bedingungen durchgeführt wurde, deuten die Ergebnisse darauf hin, dass die Matrix in gewissem Maße auf die Umwelt reagiert. Interessanterweise löste strukturiertes Wasser ähnliche adaptive Reaktionen aus, destilliertes Wasser hingegen nicht, was auf den selektiven Einfluss spezifischer Umweltfaktoren auf den Zusammenbauprozess hindeutet.

Diese Ergebnisse unterstreichen das komplizierte Zusammenspiel zwischen nanoskaliger Programmierung und externen Einflüssen und werfen kritische Fragen zu den Mechanismen auf, die dieses Verhalten steuern. Die beobachtete Präzision, Anpassungsfähigkeit und Reaktionsschnelligkeit deuten auf ein Maß an Intentionalität hin, das die fortgeschrittene Nanotechnik widerspiegelt. Weitere Forschung ist unerlässlich, um diese Mechanismen aufzuklären, ihre potenziellen Anwendungen zu erforschen und ethische Erwägungen im Zusammenhang mit dem Vorhandensein hochentwickelter, programmierbarer Systeme in pharmazeutischen Produkten zu berücksichtigen.

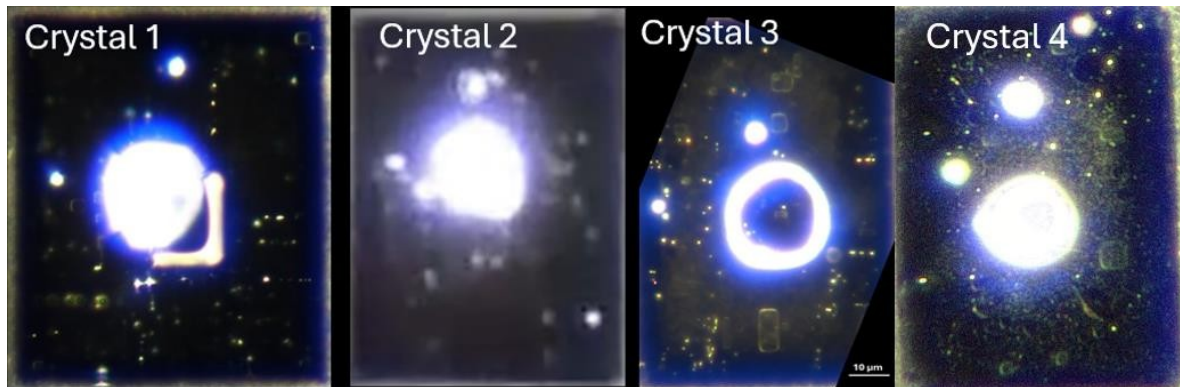


Abbildung 101. Dunkelfeldbilder von VIER strukturell ähnlichen Kristallen, die jeweils gemeinsame Organisationsmotive aufweisen. Der ganz linke Kristall (Kristall 1) zeigt das "Plugged-In"-Phänomen mit einer Faserintegration. Die Kristalle 2, 3 und 4 betonen die geometrische Konsistenz, wobei in Kristall 3 ein "Kreis-Rechteck-Motiv" (CRM) hervorsteht. Kristall 4 wurde digital entlang vertikaler Achse gespiegelt, um ihn zum Vergleich mit den anderen Kristallen auszurichten. Die wiederkehrenden Muster in allen vier Kristallen deuten auf organisierte Selbstorganisationsprozesse innerhalb desselben Objektträgers hin.

Vergrößerung 200x.

Diese Bilder verdeutlichen die bemerkenswerte Konsistenz und Komplexität der drei unterschiedlichen kristallinen Strukturen, was die Hypothese eines absichtlichen Designs untermauert. Die gemeinsamen geometrischen Motive - wie die markanten kreisförmigen und rechteckigen Elemente - deuten auf einen reproduzierbaren Montageprozess hin, während die einzigartigen Merkmale jedes Kristalls auf eine funktionelle Vielfalt innerhalb eines gemeinsamen Rahmens schließen lassen. Vor allem der linke Kristall zeigt das Phänomen des "Plugged-In", bei dem sich eine kristalline Faser nahtlos einfügt, was auf einen möglichen Materialtransport oder adaptive Funktionen hindeutet. Die Kristalle in der Mitte und auf der rechten Seite zeigen ebenfalls eine komplizierte Organisation, wobei letzterer ein "Kreis-Rechteck-Motiv" (CRM) aufweist, das die Präzision des Systems im Nanobereich unterstreicht. Zusammen veranschaulichen diese Strukturen das Zusammenspiel zwischen hierarchischem Aufbau und Umgebungsreaktion, was die Annahme einer Programmierung im Nanobereich innerhalb der Matrix unterstützt. Diese Beobachtungen bieten wichtige Einblicke in die potenziellen Rollen und Mechanismen, die diese hochentwickelten Systeme steuern.

Weiterreichende Auswirkungen: Programmierte Gestaltung und Umweltsensibilität

Die dynamischen und reversiblen Umwandlungen der kristallinen Strukturen zeigen ein hohes Maß an Anpassungsfähigkeit und Reaktionsfähigkeit, was stark mit den Prinzipien der hierarchischen Selbstorganisation übereinstimmt. Das Experiment mit kolloidalem Gold liefert überzeugende Beweise für den Einfluss externer Stimuli auf das Verhalten der Matrix. Die Auflösung und Neubildung von Kristallen als Reaktion auf die angrenzende kolloidale Goldlösung verdeutlicht die Fähigkeit des Systems, sich selektiv an Umweltfaktoren anzupassen und umzugestalten.

Diese Anpassungsfähigkeit wirft tiefgreifende Fragen über die Intention hinter diesen Baugruppen auf. Die Reproduzierbarkeit und dynamische Anpassungsfähigkeit dieser Konstruktionen lässt auf eine fortschrittliche Technik schließen, die die Prinzipien der Programmierung im Nanomaßstab widerspiegelt. Vergleiche mit natürlichen Systemen, bei denen die Molekulardynamik oft zu stochastischen Ergebnissen führt, unterstreichen die Raffinesse dieser kristallinen Matrizen, die kontrolliertes, reaktionsfähiges und zielgerichtetes Verhalten zeigen.

Diese Beobachtungen unterstreichen das Potenzial für programmierbares Verhalten in pharmazeutischen Materialien und legen Anwendungen in Bereichen wie adaptive Arzneimittelabgabe, Biosensorik und therapeutische Systeme nahe. Die Fähigkeit solcher Systeme, durch externe Faktoren - wie kolloidale Wechselwirkungen oder Umweltgradienten - beeinflusst zu werden, wirft jedoch auch ethische Überlegungen auf. Die Integration solcher fortschrittlichen Materialien in pharmazeutische Kontexte unterstreicht die Notwendigkeit einer rigorosen Erforschung ihrer Mechanismen und Anwendungen. Das Potenzial des doppelten Verwendungszwecks - von innovativen medizinischen Therapien bis hin zu unvorhergesehenen oder ruchlosen Anwendungen - erfordert eine proaktive ethische Prüfung und transparente Aufsicht, um das Vertrauen der Öffentlichkeit und die Sicherheit zu gewährleisten.

Durch die Integration dieser Ergebnisse in einen breiteren wissenschaftlichen Rahmen fördert diese Studie das Verständnis von Systemen im Nanomaßstab, die zur hierarchischen Selbstorganisation fähig sind, und bietet Einblicke in ihre potenzielle Rolle bei biomedizinischen Innovationen und darüber hinaus. Weitere interdisziplinäre Forschung ist unerlässlich, um den vollen Umfang ihrer Fähigkeiten und Auswirkungen zu ergründen.

Aktive Rückbauphase

In diesem Abschnitt wird die Entwicklung der kristallinen Strukturen am Tröpfchenrand unter längerer Umwelteinwirkung untersucht, wobei der Schwerpunkt auf dem Übergang von diffusen, im Entstehen begriffenen Formationen zu ausgeprägten, gut organisierten Architekturen liegt. Die beobachtete Entwicklung verdeutlicht die dynamischen Selbstorganisationsprozesse innerhalb der Matrix und gibt Einblicke in das Zusammenspiel zwischen externen Reizen und struktureller Verfeinerung. Die Bilder zeigen eine signifikante Verschiebung sowohl in der Verteilung als auch in der Komplexität der kristallinen Strukturen, die sich nun über die Peripherie der Matrix hinaus erstrecken und konsistente Organisationsmuster aufweisen



Abbildung 102. Bild mit geringer Vergrößerung des Tröpfchenrandes nach zwei Monaten, das den Übergang der kristallinen Strukturen von anfänglichen weichen Formationen zu größeren, besser organisierten Architekturen zeigt. Der markierte Bereich zeigt die Position einer "Crystal-Fibre Assembly" (CFA), wie in Abbildung 92 beschrieben, und bietet einen Anhaltspunkt für Hypothesen über strukturelle Organisationsmechanismen innerhalb der Matrix. Vergrößerung 25x.

Die beobachtete Anpassungsfähigkeit der Matrix ist besonders auffällig. Trotz signifikanter kristalliner Transformationen behält die Matrix selbst ihre visuelle Konsistenz bei, was auf ihre stabilisierende Rolle während der Reorganisationsprozesse hindeutet. Diese dynamische Anpassungsfähigkeit unterstützt die Entstehung neuer kristalliner Architekturen und bewahrt gleichzeitig die allgemeine Stabilität der Zusammensetzung unter Umwelteinflüssen. Trotz der erheblichen Umwandlung der kristallinen Strukturen erscheint die umgebende Matrix visuell konsistent, was darauf hindeutet, dass sie als stabilisierendes Medium für dynamische Zusammensetzungs- und Reorganisationsprozesse dient. Diese Umwandlungen unterstreichen das Anpassungspotenzial der Matrix unter wechselnden Umweltbedingungen, die das Entstehen neuer kristalliner Architekturen unter Beibehaltung der Gesamtstabilität der Zusammensetzung ermöglicht.

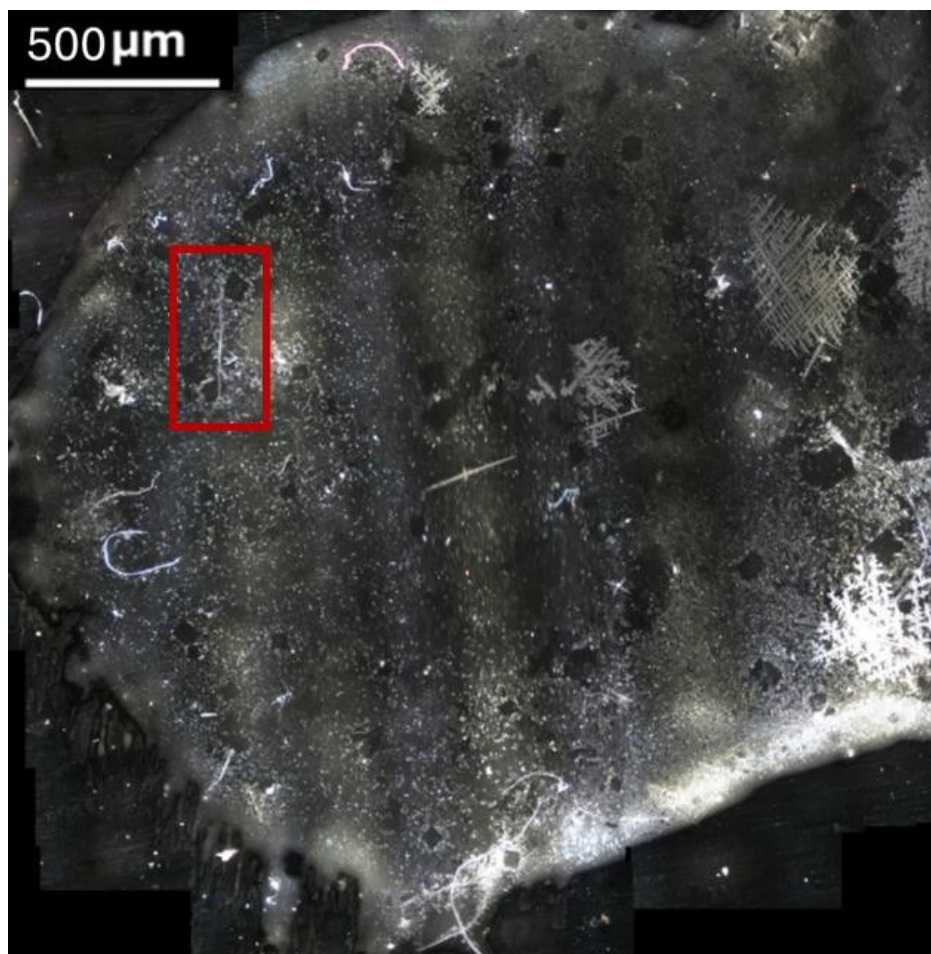


Abbildung 103. Bild mit geringer Vergrößerung, das die Auswirkungen der Sonneneinstrahlung auf kristalline Übergänge zeigt. Die hervorgehobenen Bereiche zeigen die selektive Auflösung kleinerer, weicherer Kristalle, die ein dichteres Netz definierter kristalliner Strukturen in der Matrix hinterlassen. Dieser Verlauf unterstreicht den Einfluss des Sonnenlichts als externer Stimulus, der die selektive Auflösung und Reorganisation innerhalb der Matrix vorantreibt. Vergrößerung 20x.

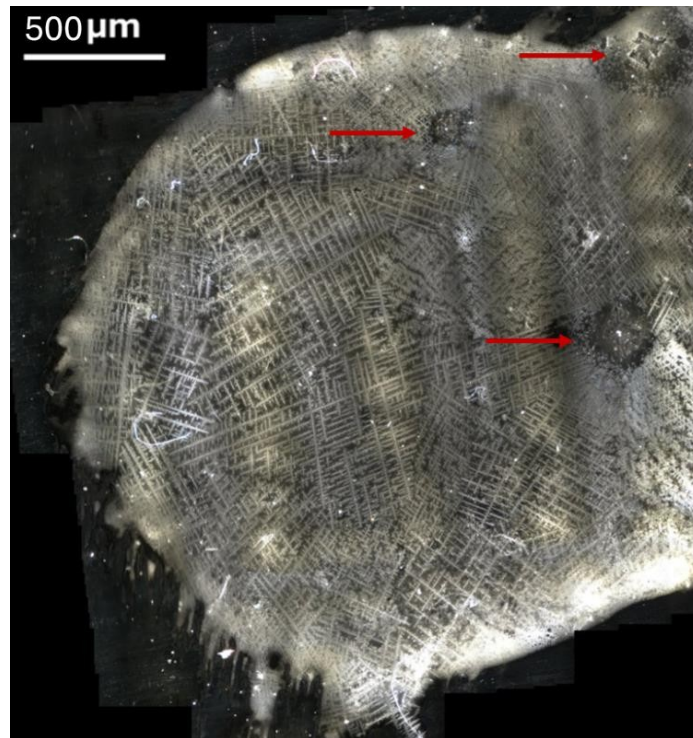


Abbildung 104. Nach beobachtete gitterartige Kristallisation, die ein dichtes Netz feiner kristalliner Muster erkennen lässt. Die roten Pfeile weisen auf größere, unregelmäßig geformte Kristalle hin, die innerhalb des Gittergerüsts bestehen blieben. Diese größeren Kristalle, die in der Übergangsphase hervorgehoben sind, zeigen die Stabilität inmitten der dynamischen Umstrukturierung der Matrix. Vergrößerung 20x

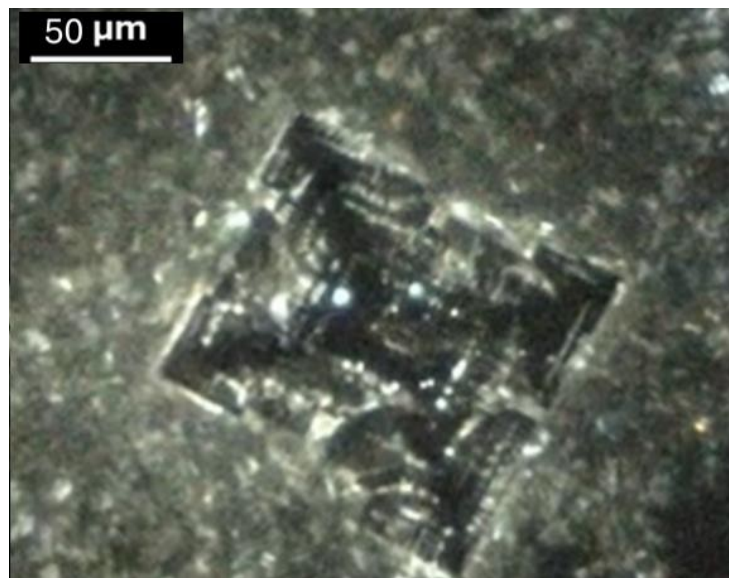


Abbildung 105. Nahaufnahme einer der größeren kristallinen Strukturen, die innerhalb des Gitters erhalten blieben. Die ausgeprägte Geometrie des Kristalls und die komplizierten inneren Muster heben sich von der umgebenden Matrix ab und unterstreichen seine Widerstandsfähigkeit und Stabilität bei dynamischen Strukturveränderungen. Vergrößerung 100x.

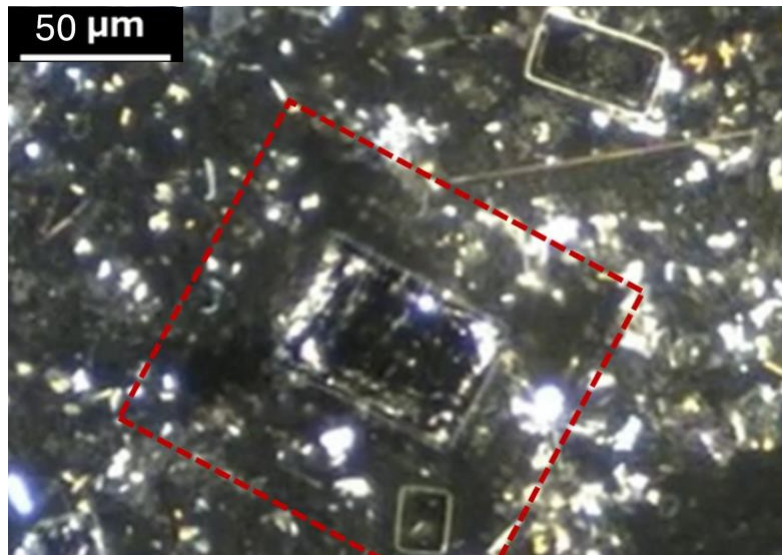


Abbildung 106. Ein gepunkteter roter Umriss hebt die ungefähre Grundfläche eines auffälligen rechteckigen Kristalls hervor, der in der vorangegangenen Nacht noch intakt war. Der beobachtete Zerfall wird von verstreuten reflektierenden Fragmenten begleitet, was auf einen Prozess der strukturellen Umverteilung oder des Zusammenbruchs hindeutet. Dieser visuelle Kontrast verdeutlicht die dynamischen Veränderungen innerhalb der Probe im Laufe der Zeit. Vergrößerung: 100x.

Am nächsten Morgen hatte sich die kristalline Architektur erheblich verändert. Ein markanter rechteckiger Kristall, der zuvor im Mittelpunkt der Gesamtkonfiguration stand, zerbrach und gab reflektierende Fragmente in die umgebende Matrix ab. Diese Matrix, die durch ihre Klarheit besticht, enthüllte komplizierte Details dynamischer Interaktionen und adaptiven Verhaltens. Die größeren kristallinen Strukturen erfüllen wahrscheinlich verschiedene Funktionen innerhalb des Netzwerks, indem sie möglicherweise als stabilisierende Knotenpunkte fungieren oder die Umverteilung von Material bei Übergängen erleichtern. Ihr Fortbestehen inmitten feinerer Gittermuster unterstreicht ihre integrale Funktion bei der Aufrechterhaltung der organisatorischen Integrität.

Die Fragmentierung dieser größeren Strukturen zeigt die dynamische Anpassungsfähigkeit der Matrix, in der scheinbar stabile Formationen auf Umweltreize wie Sonneneinstrahlung reagieren. Trotz des Zerfalls größerer Kristalle behielt das Gittergerüst seine Kohärenz bei, was die Hypothese stützt, dass die Matrix als stabilisierendes Medium für Selbstmontage- und Demontageprozesse fungiert. In dieser unberührten Umgebung wiesen die "Mikro-Meccano"-Strukturen im Vergleich zu den andernorts beobachteten Baukastenformationen unterschiedliche Merkmale auf. Während der Bausatz eine einheitlichere und vorhersehbarere Zusammensetzung widerspiegelt, zeigten die "Mikro-Meccano"-Strukturen hier Variabilität und Anpassungsfähigkeit, was auf ein höheres Maß an Programmierung oder Reaktionsfähigkeit schließen lässt.

Dieses Gleichgewicht zwischen Stabilität und Anpassungsfähigkeit unterstreicht die hierarchische Natur Selbstorganisationssystems. Größere kristalline Strukturen können als Verankerungen für die Materialorganisation oder als Drehscheiben für die Umverteilung bei Umweltveränderungen dienen, während die "Mikro-Mekkanostrukturen" die Fähigkeit des Systems zu fein abgestimmten Reaktionen widerspiegeln. Diese Beobachtungen werfen neue Fragen über das Zusammenspiel der strukturellen Rollen innerhalb der Matrix und ihre breiteren Auswirkungen auf nanotechnologisches Design, funktionelle Materialien und entstehende Komplexität auf.

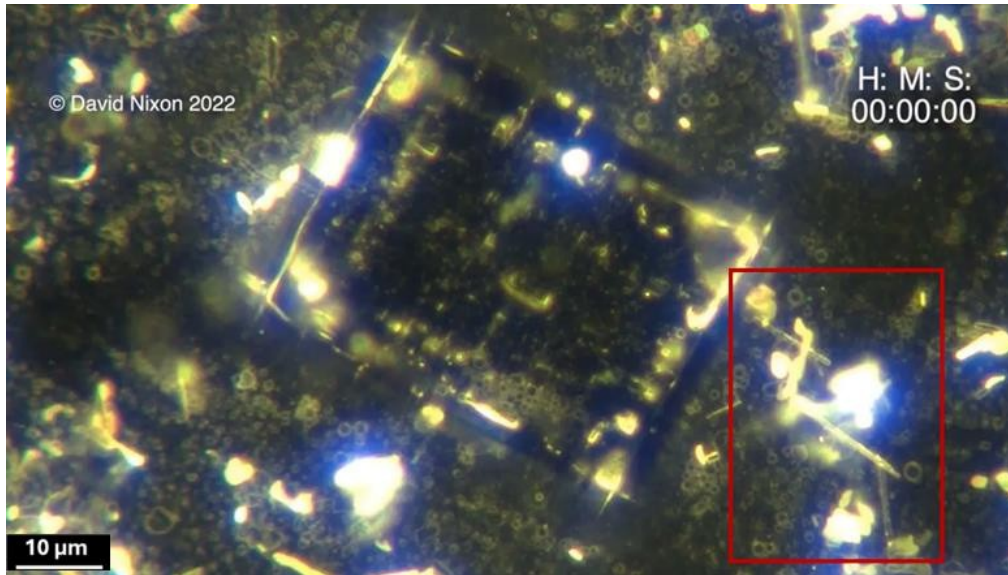


Abbildung 107. Zum anfänglichen Zeitstempel (HH:MM:SS: 00:00:00) ist die auffälligste Mikroanordnung im roten Kasten hervorgehoben. Diese Struktur deutet auf das mögliche Vorhandensein von dynamischen Komponenten hin, die mit dem kristallinen Gerüst interagieren. Vergrößerung 200x.¹

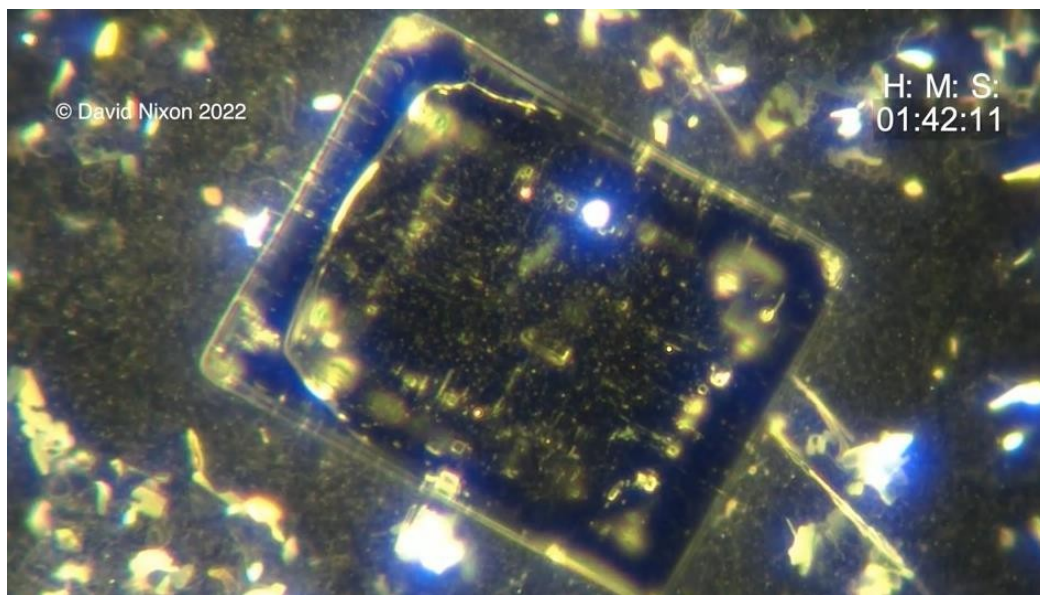


Abbildung 108 Zum Zeitpunkt 01:42:11 beginnt sich der Kristall aufzulösen und offenbart "Mikro-Meccano"-Strukturen mit bemerkenswerter Klarheit und deutlicher Variabilität. Dieser Kontrast zu den zuvor beobachteten "Baukasten"-Formationen lässt auf einen adaptiven oder umweltbedingten Aufbau schließen. Vergrößerung 200x.

¹ Die in den Bildunterschriften angegebenen Zeitmarken entsprechen bestimmten Momenten in den Zeitraffer-Videoaufnahmen, ausgedrückt im Format HH:MM:SS. Sie geben die genauen Punkte an, an denen signifikante morphologische oder verhaltensbezogene Veränderungen im Material beobachtet wurden, was eine genaue Korrelation zwischen den visuellen Daten und der narrativen Beschreibung der dynamischen Prozesse ermöglicht.

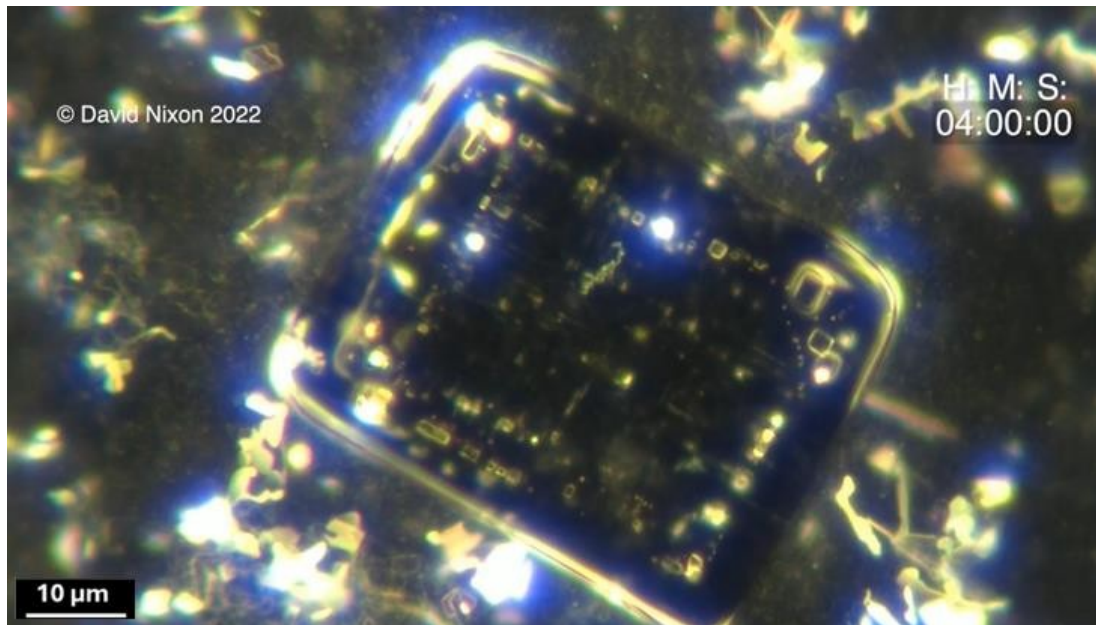


Abbildung 109. Zum Zeitpunkt 04:00:00 weist der zentrale Kristall eine zunehmende Größe und eine weitere strukturelle Verfeinerung auf, mit deutlich sichtbaren, komplizierten inneren Mustern. In der Umgebung Kristalls deuten aktive Wechselwirkungen mit benachbarten Materialien auf einen laufenden Materialaustausch oder Stabilisierungsprozesse hin, was den dynamischen Charakter dieses Selbstorganisationsprozesses unterstreicht. Vergrößerung 200x.

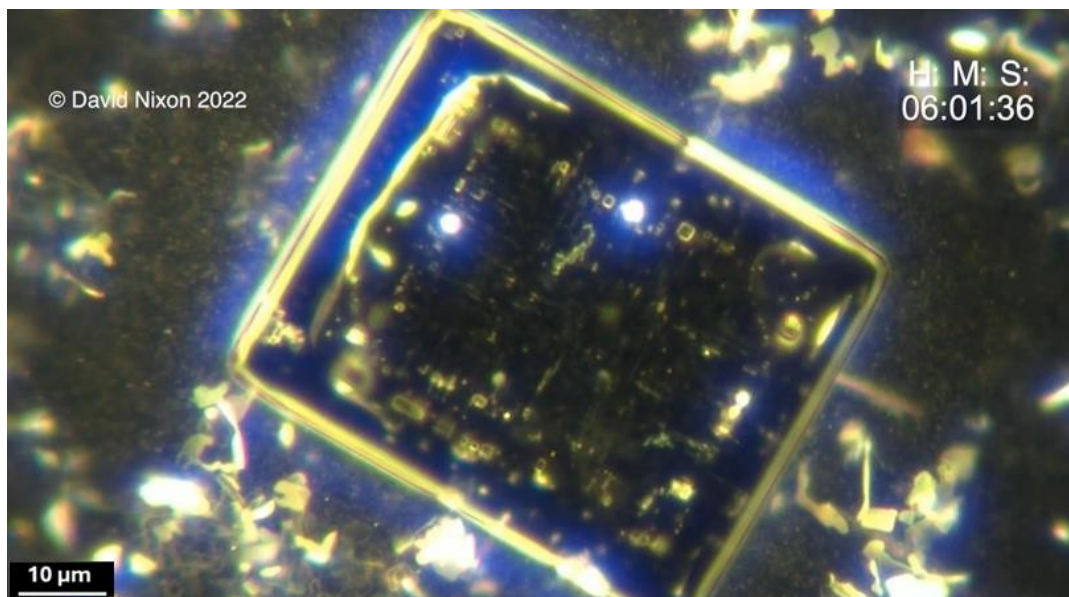


Abbildung 110. Zum Zeitpunkt 06:01:36 erreicht der Kristall seine größten beobachteten Ausmaße mit einem scharf begrenzten Umfang und hellen reflektierenden Rändern. Dieses Stadium verdeutlicht die fortgeschrittenen Selbstorganisationsprozesse und die Materialstabilisierung. Vergrößerung 200 - Präzise Visualisierung der dynamischen Wechselwirkungen und des Materialaustauschs. Vergrößerung 200x.

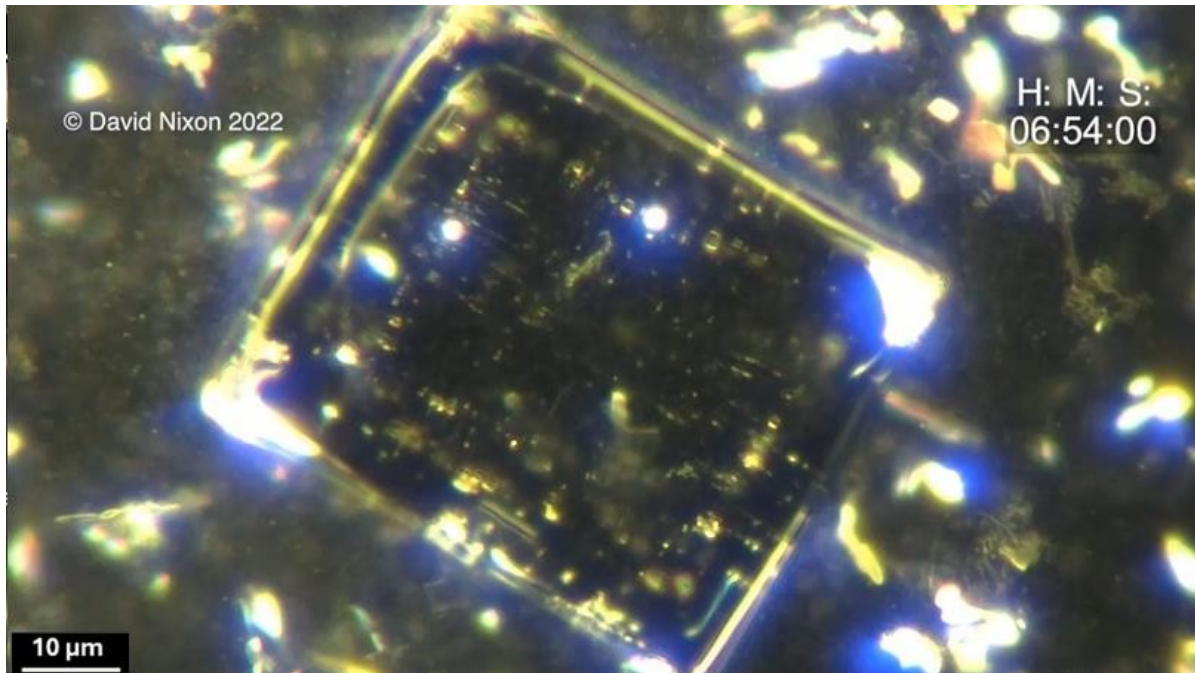


Abbildung 111. Beim Zeitstempel 06:54:00 sind subtile strukturelle Veränderungen zu beobachten, mit erhöhter Helligkeit an den Rändern und Änderungen der inneren Geometrie. Dies deutet auf laufende dynamische Interaktionen und Stabilisierung hin. Vergrößerung 200x.

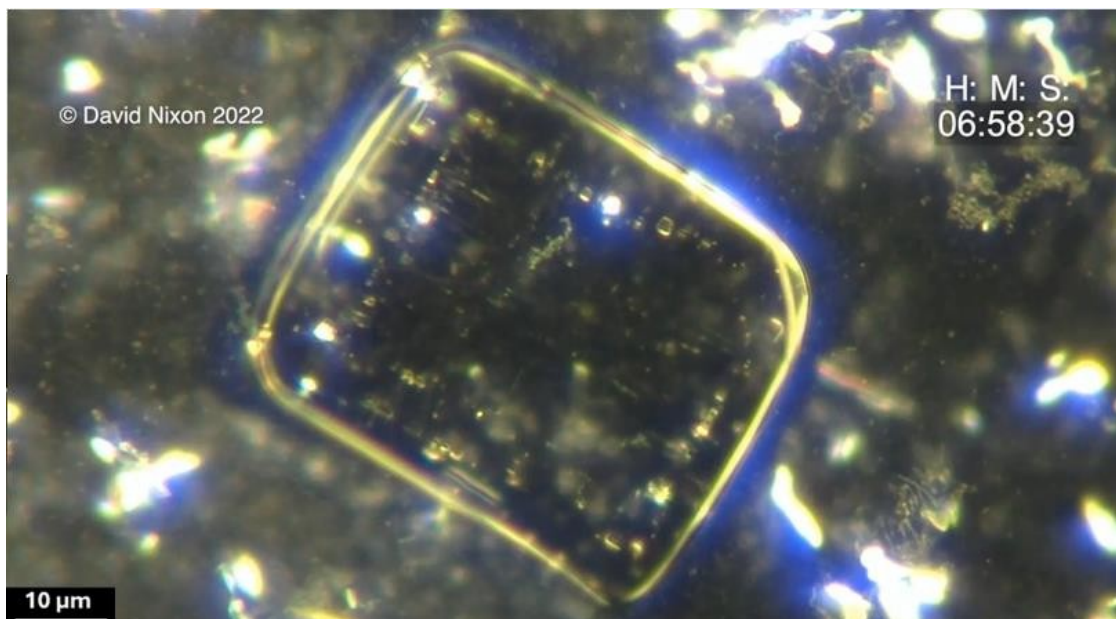


Abbildung 112 Zum Zeitpunkt 06:58:39 zeigt der Kristall Anzeichen eines Zusammenbruchs, wobei sich die Kanten nach innen wölben und die Winkelsteifigkeit abnimmt. Dieser Übergang markiert den Beginn der Demontage, die wahrscheinlich durch umwelt- oder materialbedingte Faktoren beeinflusst wird. Vergrößerung 200x.

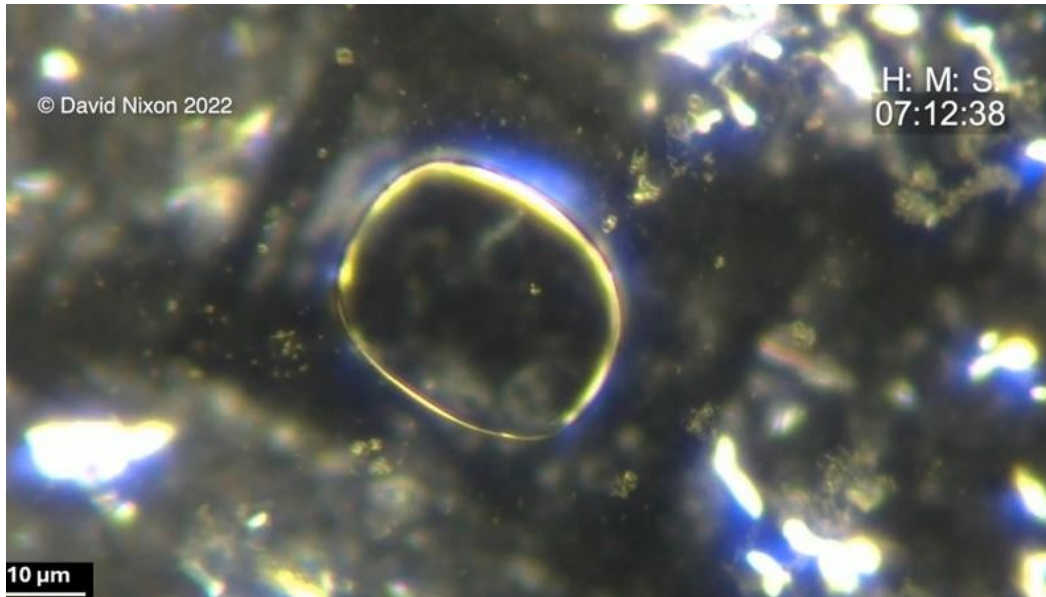


Abbildung 113. Zum Zeitpunkt 07:12:38 ist der zentrale Kristall in eine runde Form zusammengebrochen und hat seine kantige Definition verloren. Diese Veränderung unterstreicht den dynamischen Charakter der Struktur und deutet auf eine durch Umwelt- oder interne Faktoren ausgelöste Demontage hin. Vergrößerung 200x.

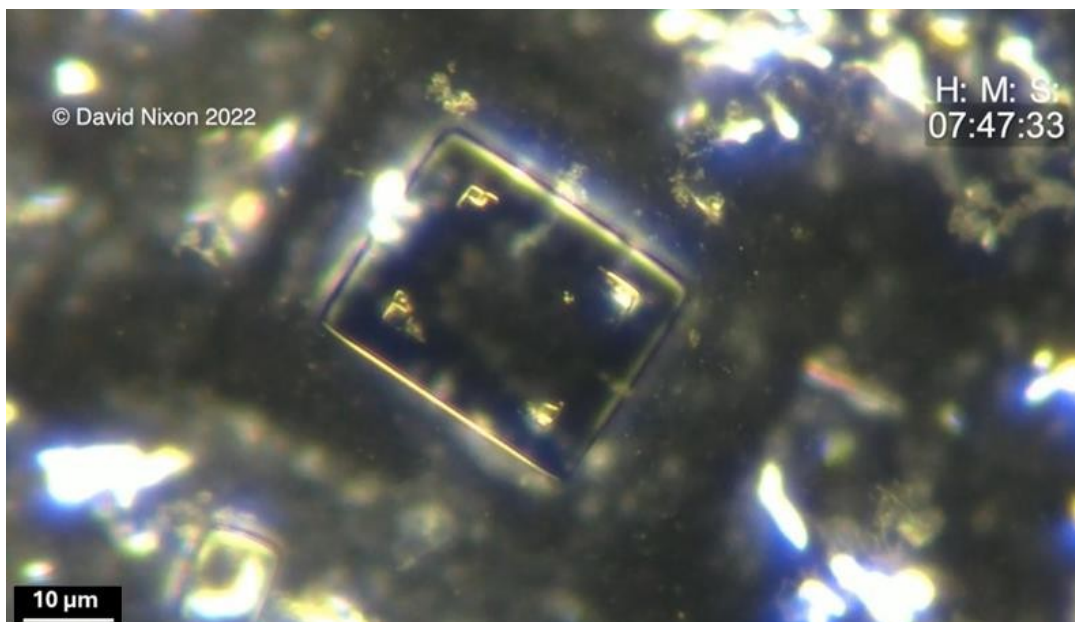


Abbildung 114. Zum Zeitpunkt 07:47:33 beginnt die Struktur, sich wieder zusammenzusetzen, wobei kantige Merkmale und definierte Kanten wieder zum Vorschein kommen. Dieser Prozess unterstreicht die bemerkenswerte Fähigkeit des Systems zur dynamischen Selbstorganisation und koordinierten Rekonstruktion. Vergrößerung 200x.

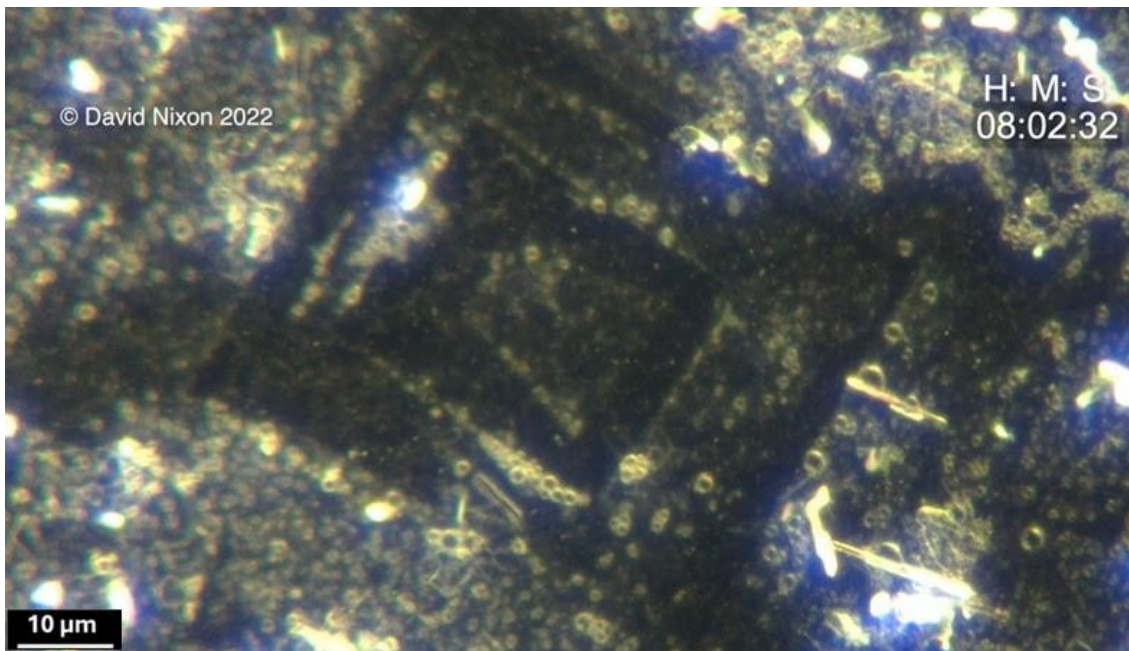


Abbildung 115. Zum Zeitpunkt 08:02:32 hat sich der zentrale Kristall vollständig aufgelöst und hinterlässt neben den Überresten der Mikromontagestrukturen einen Schatten seiner früheren Präsenz. Dieser Schatteneffekt verdeutlicht das Fortbestehen eines Abdrucks auch nach dem Zerfall der Struktur und wirft Fragen zu den zugrundeliegenden Mechanismen oder verbleibenden Materialwechselwirkungen auf. Vergrößerung 200x.

Weitere aktive Demontage

Die in den Abbildungen 116 (a, b) und 117 (a, b) gezeigte Zeitraffersequenz veranschaulicht die dynamischen Zerfallsprozesse innerhalb der Probe, die koordinierte Veränderungen sowohl in der Morphologie als auch in der Organisation erkennen lassen. Der zentrale Kristall zerfällt allmählich, begleitet von einer gleichzeitigen Umwandlung der benachbarten Mikroanordnungen. Bemerkenswert ist, dass sich mehrere kleinere Kristalle synchron auflösen, was auf einen potenziellen Feldeffekt hinweist, der den Strukturzerfall beeinflusst. Die Entstehung und Entwicklung von "Mikromotoren" (rote Pfeile) zu kleineren, abgerundeten Formen, die in Abbildung 117 zu sehen sind, unterstreichen die aktive und adaptive Natur dieser Prozesse. Die Umverteilung von Material, die erhöhte Reflektivität und das konsistente Verhalten von Mikroanordnungen und Kristallen unterstreichen komplexe, koordinierte Mechanismen, die die Selbstorganisation und die strukturelle Reaktionsfähigkeit vorantreiben. Diese Beobachtungen deuten darauf hin, dass das System mit einer bemerkenswerten Kapazität für emergentes Verhalten arbeitet und sich dynamisch an Umwelt- oder intrinsische Faktoren anpasst.

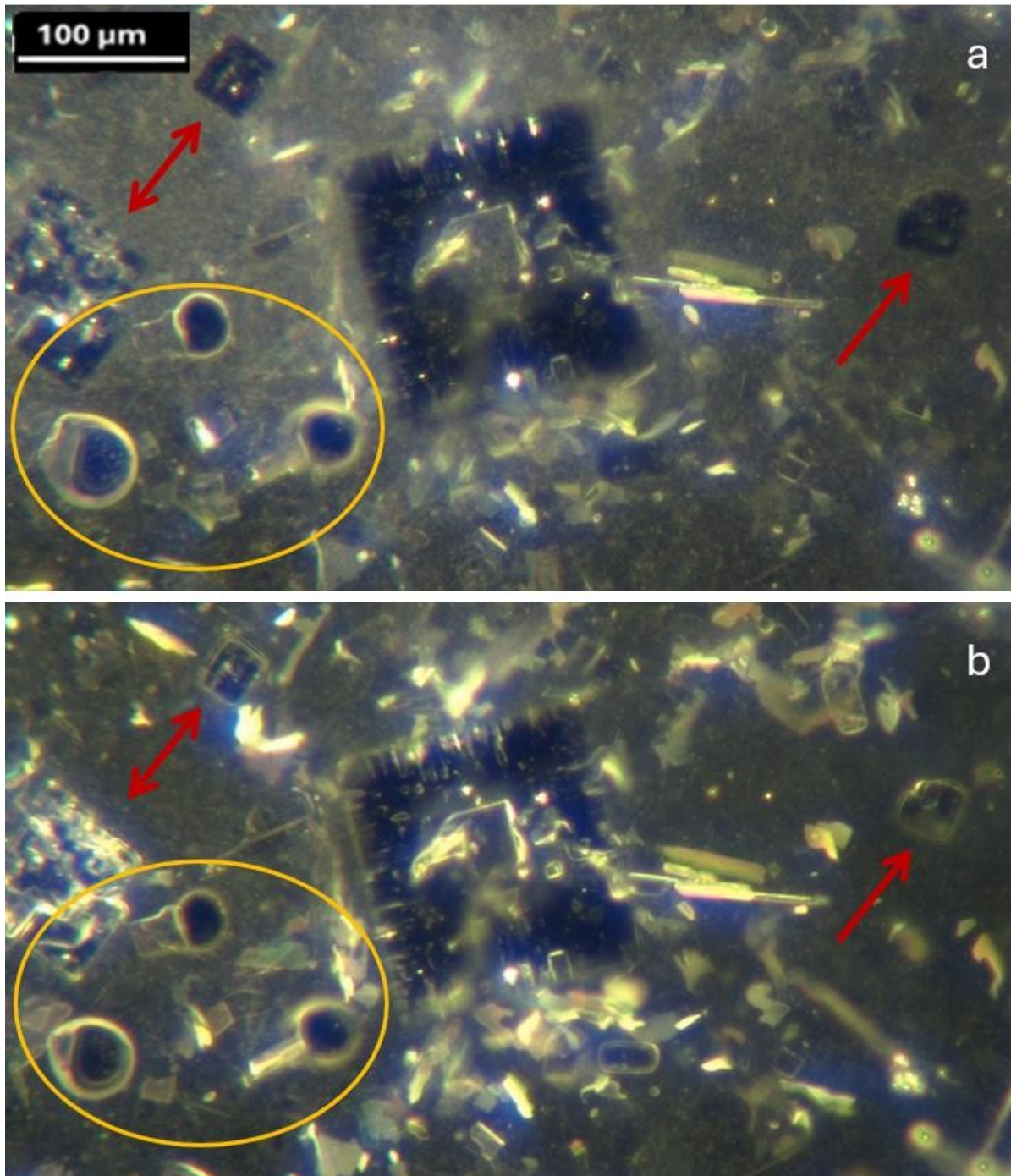


Abbildung 116 (a, b). Zeitstempel 00:00:00 und 00:15:00. Eine Zeitraffersequenz aus dem kürzeren 60-minütigen Demontagevideo. Die Sequenz verdeutlicht das dynamische Verhalten von Mikroanordnungen (gelbe Kreise) und nahe gelegenen Kristallen (rote Pfeile), die sich synchron auflösen. Diese Bilder zeigen den fortschreitenden Zerfall des zentralen Kristalls und lassen auf einen möglichen Feldeffekt schließen, der die koordinierte Auflösung der umliegenden Strukturen steuert. Die beobachteten Prozesse veranschaulichen die Fähigkeit des Systems zur adaptiven Reorganisation und zum hierarchischen Zerfall. Vergrößerung 200x.

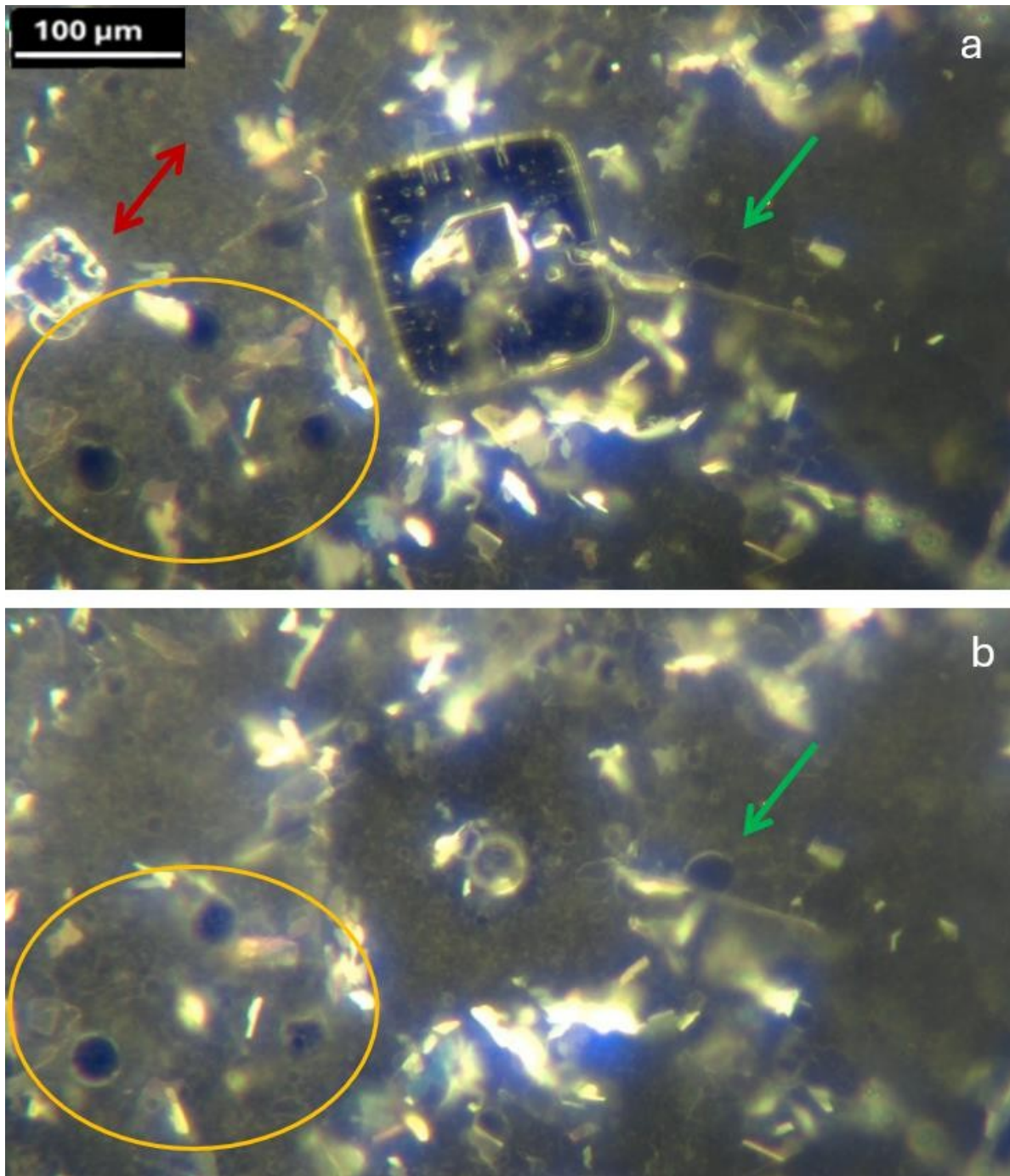


Abbildung 117 (a,b) Zeitstempel 00:31:00 und 00:59:05. Eine Zeitraffersequenz aus dem kürzeren 90-minütigen Demontagevideo, die sich auflösenden Kristalle (roter Pfeil) und die Materialumverteilung innerhalb der Probe hervorhebt. Zu den fortschreitenden Veränderungen gehören das Entstehen kleinerer, abgerundeter Mikroanordnungen (grüner Pfeil) und die Umverteilung von Material um den sich auflösenden zentralen Kristall. Diese Beobachtungen unterstreichen die dynamische Reaktion des Systems auf umwelt- oder materialbedingte Stimuli und offenbaren fortgeschrittene Mechanismen der Selbstorganisation. Vergrößerung 200x.

Das Schattenphänomen:

Die vorangegangenen Beobachtungen des aktiven Abbaus bilden einen bemerkenswerten Auftakt für die nächste Phase dieser Untersuchung. Über mehrere Stunden hinweg wurde beobachtet, wie komplizierte kristalline Strukturen zusammenbrachen und dabei Restmuster und rätselhafte "Schatten" hinterließen, die auf zugrunde liegende Materialinteraktionen hindeuteten. Diese Prozesse, die sowohl absichtlich als auch systematisch abzulaufen schienen, widersprachen den herkömmlichen Erwartungen an eine Verdunstungskristallisation. Die offensichtliche Koordination zwischen der Dekonstruktion und dem Fortbestehen der "Mikro-Mekka"-Anordnungen deutet auf ein dynamisches System hin, das zur Reorganisation fähig ist, was tiefgreifende Fragen über die Mechanismen aufwirft, die diese Ereignisse antreiben.

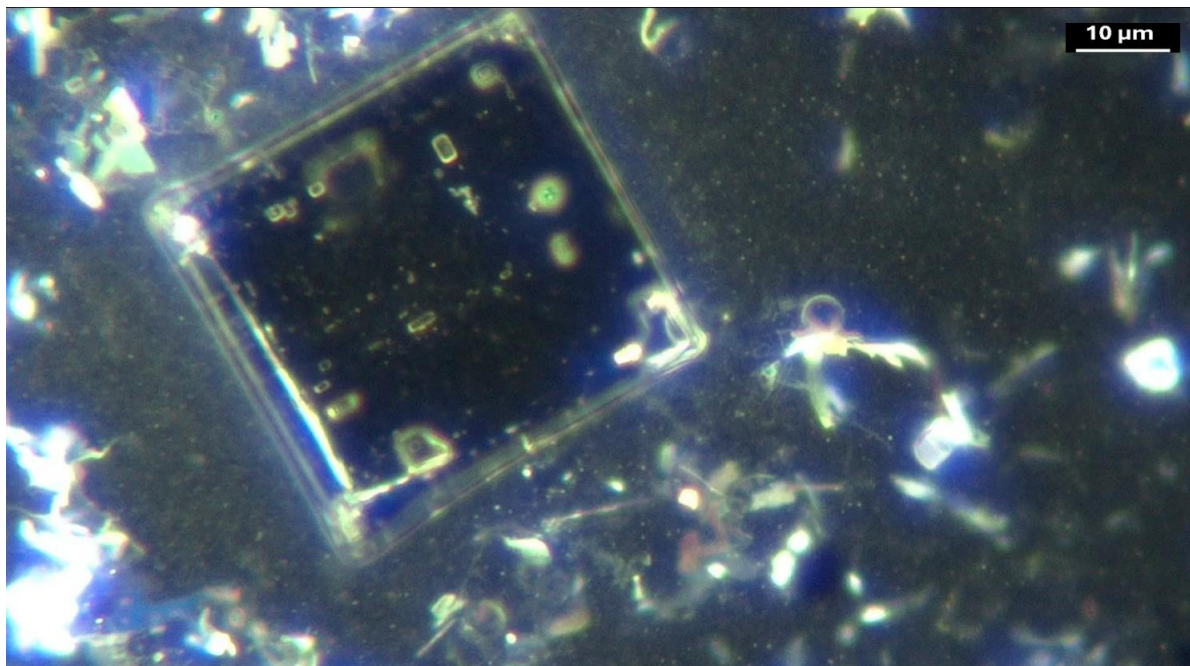


Abbildung 118. Nahaufnahme einer dynamischen kristallinen Struktur, die einer potenziellen Größenmodulation unterliegt. Es sind mehrere mikrotechnische Merkmale und "Mikro-Meccano"-Elemente (z. B. in der Nähe der Kristallränder und der umgebenden Strukturen) sichtbar, die auf aktive Selbstorganisationsprozesse hinweisen. Ausgeprägte Randübergänge und eine lebhafte Färbung deuten auf aktive Interaktionen innerhalb der kristallinen Umgebung hin. Vergrößerung 200x.

Dynamischer Kristall Merkmale:

Dieses Bild zeigt einen faszinierenden Moment im dynamischen Verhalten kristalliner Strukturen und offenbart eine potenzielle Größenmodulation, die durch Veränderungen der Randhelligkeit und der farbigen Materialien, die den Kristall umgeben, deutlich wird. Die hervorgehobene Mikro-Maschine (roter Pfeil) und die "Mikro-Mekka"-Baugruppen (rote Ovale) spielen wahrscheinlich eine Rolle beim Materialtransport, der strukturellen Organisation oder der mechanischen Aktivität. Diese Beobachtungen liefern überzeugende Beweise für komplexe, organisierte Mechanismen innerhalb des Systems und verdeutlichen das komplizierte Zusammenspiel zwischen dem Kristall und seiner Mikroumgebung. Solche Merkmale unterstreichen die fortgeschrittenen Selbstorganisationsfähigkeiten Systems und laden zu weiteren Untersuchungen über ihre potenziellen Funktionen und Auswirkungen ein.

Aktive Bauphase

In diesem Abschnitt wird ein dynamischer Selbstorganisationsprozess untersucht, der in einem umfassenden dreistündigen Video festgehalten wurde. Das erste Bild des Videos bietet einen fesselnden Einblick in ein komplexes System, das ein Netzwerk struktureller Komponenten offenbart, die aktiv am Prozess der Materialorganisation beteiligt sind. Dieses Einzelbild bietet eine Fülle von Informationen, die eine Grundlage für das Verständnis der komplizierten Mechanismen bilden, die am Werk sind. Zur Erleichterung einer detaillierten Analyse werden die Merkmale innerhalb des Bildes kategorisiert, um das Zusammenspiel zwischen den verschiedenen Komponenten hervorzuheben.

Die visuelle Komplexität dieses Rahmens ist bemerkenswert. In seinem Zentrum befindet sich ein sich entwickelnder Kristall, der sich durch seine geometrische Präzision und seine offensichtliche organisatorische Rolle innerhalb des Systems auszeichnet. Diese zentrale Struktur ist von einer gelartigen Matrix umgeben, die als Medium für dynamische Interaktionen dient und Elemente wie längliche, symmetrische "Mikro-Meccano"-Strukturen und kugelförmige "Mikro-Motoren" enthält. Diese Merkmale in Kombination mit asymmetrischen Formen, unaufgelösten Partikelwolken und diskreten kolloidalen Partikeln deuten auf ein hochgradig koordiniertes System des hierarchischen Aufbaus hin. Durch die Konzentration auf die Details in diesem Bild erhält der Leser einen kritischen Rahmen für die Interpretation der langsamen, aber gezielten Materialdynamik, die in den nachfolgenden Bildern des zu sehen ist.

Schlüsselbeobachtungen im ersten Rahmen

In diesem Abschnitt werden die einzelnen Komponenten, die im ersten Bild des 3-stündigen Selbstmontagevideos zu sehen sind, identifiziert und beschrieben. Diese Merkmale bilden die Grundlage für das Verständnis der dynamischen Prozesse, die in den nachfolgenden Bildern festgehalten wurden. Im Folgenden wird eine detaillierte Analyse der primären Strukturen vorgenommen:

- **Zentralkristall:** Eine markante, klar definierte geometrische Struktur in der Mitte des Bildes. Er dient als Brennpunkt für Materialinteraktionen und strukturelle Verfeinerungen, die im gesamten Video zu beobachten sind.
- **Matrix oder Gel:** Ein umgebendes Medium, das einen strukturellen Kontext für die beobachteten Komponenten zu bieten scheint. Dieses Medium erleichtert oder beeinflusst wahrscheinlich die Prozesse der Selbstorganisation und wirkt als stabilisierende Umgebung für die dynamischen Wechselwirkungen.
- **Lange symmetrische Formen ("Mikro-Meccano"):** Ausgeprägte stäbchenförmige Strukturen mit hoher Symmetrie, die auf eine organisierte Rolle beim Aufbau des Systems hindeuten. Diese Komponenten können als Gerüst dienen oder eine funktionelle Rolle bei der Materialkoordination spielen.
- **Schwarze Kugeln ("Mikro-Motoren"):** Kleine, dunkle, kugelförmige Strukturen, die über die Matrix verstreut sind und von denen man annimmt, dass sie aktive, funktionelle

Elemente. Ihr Vorhandensein lässt auf dynamische Funktionen wie Materialtransfer oder strukturelle Umstrukturierung innerhalb des Systems schließen.

- **Asymmetrische Strukturen:** Unregelmäßig geformt und von unterschiedlicher Größe, bringen diese Komponenten Vielfalt in das System. Sie sind wahrscheinlich mit sekundären Selbstorganisationsprozessen oder lokalisierten Materialanpassungen verbunden.
- **Nicht auflösbare Partikel ("Wolken"):** Diffuse und schwache Merkmale, die einen weichen Hintergrund bilden. Bei diesen Partikeln kann es sich um kleinere Komponenten oder dynamische Elemente handeln, die unter den derzeitigen Bildungsbedingungen schwer aufzulösen sind. Ihre Bedeutung wird in späteren Phasen des deutlicher.
- **Kolloidale Partikel:** Diskrete, sichtbare Partikel, die über das gesamte Bild verteilt sind. Es wird angenommen, dass diese als Zwischenstufen im Selbstorganisationsprozess fungieren und zur strukturellen Organisation der Matrix beitragen.

Dieser detaillierte Rahmen bietet eine wichtige Referenz für die Interpretation der nachfolgenden Phasen der materiellen Interaktionen und der sich entwickelnden Dynamik, die in dem Video zu sehen ist. Während die Mechanismen, die diesen Interaktionen zugrunde liegen, spekulativ bleiben, unterstreichen die in diesem ersten Bild identifizierten Merkmale die dem System innewohnende Komplexität und Anpassungsfähigkeit.

Überblick über Videobeobachtungen und dynamische Prozesse

Die in diesem 3-stündigen Video eingefangene Bewegung entfaltet sich in einem bemerkenswert langsamen Tempo, das in Echtzeit oft nicht wahrnehmbar ist. Daher muss die Geschwindigkeit während der Wiedergabe deutlich erhöht werden, um eine klare Analyse der komplizierten Materialdynamik zu ermöglichen. Die Mechanismen, die diese Bewegungen antreiben - von denen viele die konventionellen Erwartungen an die Selbstorganisation in Frage stellen - sind nur schwer zu verstehen, was die Komplexität und Koordination innerhalb des Systems verdeutlicht.

Das Video kann in verschiedenen Geschwindigkeiten angesehen und heruntergeladen werden. In den ersten zehn Minuten entfaltet sich eine Reihe fesselnder Ereignisse, in deren Mittelpunkt die große Mikrobaugruppe in der linken oberen Ecke des Bildes steht. Diese Struktur demonstriert komplexe mechanische Bewegungen, die in ihrer Komplexität verwirrend sind. Die Mikrobaugruppe umfasst mehrere "Mikromotoren", die durch "Mikro-Meccano"-Strukturen miteinander verbunden sind und das Wachstum und die strukturelle Entwicklung des Materials ermöglichen.

Einige der dramatischsten Sequenzen finden in der oberen linken Ecke des Bildes statt. Diese Interaktionen betreffen die Mikrobaugruppe und die miteinander verbundenen Komponenten und zeigen ein Zusammenspiel von Materialablagerung, mechanischer Bewegung und organisatorischer Verfeinerung. Die Komplexität dieser Interaktionen deutet auf ein Koordinationsniveau hin, das über passive Prozesse hinausgeht und den dynamischen Charakter des Systems unterstreicht.

Um das Video anzusehen und herunterzuladen ([📺](#)), klicken Sie [hier](#).

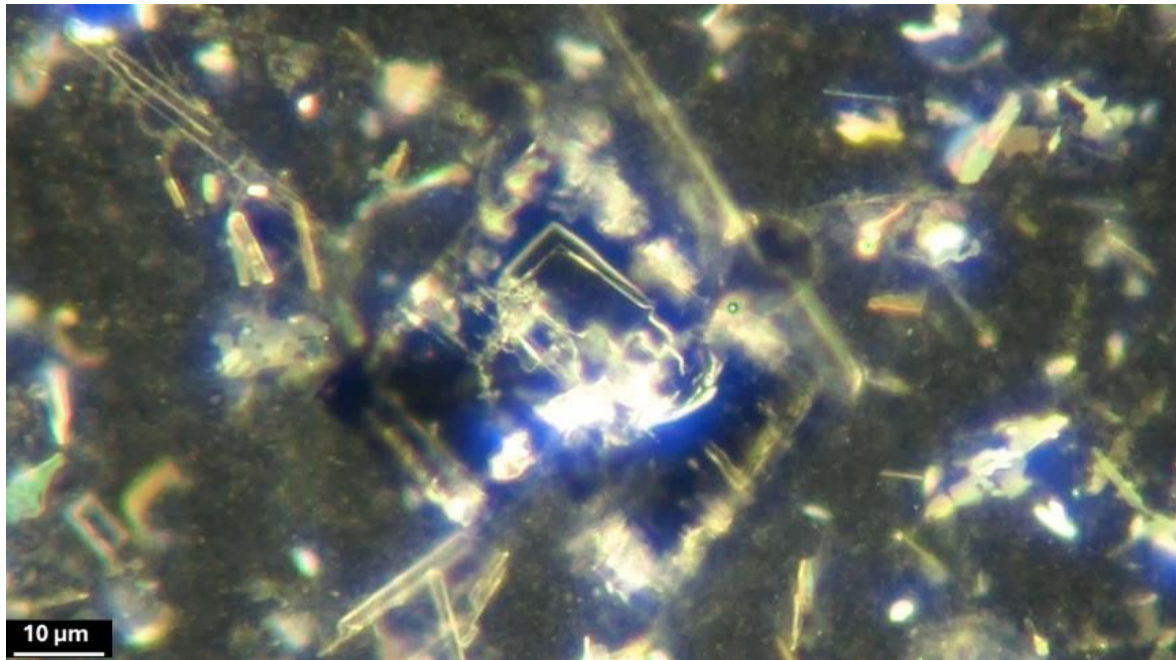


Abbildung 119. Zeitstempel 00:00:00 Überblick über ein dreistündiges Video zur Selbstmontage, das aktive Bauprozesse mit Mikrobaugruppen zeigt. Das Video fängt die komplizierte Materialdynamik ein und zeigt die Wechselwirkungen zwischen den Mikrokomponenten während der Kristallbildung. Vergrößerung 200x.

Die ersten drei Bilder in dieser Sequenz (Abbildungen 119-121) veranschaulichen den allmählichen Übergang von der Initialisierung zur aktiven Materialinteraktion. Die Bilder 1 und 2 konzentrieren sich auf die frühe Ausrichtung von Mikrokomponenten, einschließlich "Mikro-Motoren" und "Mikro-Meccano"-Strukturen, die den zentralen Kristall umgeben. Diese Komponenten zeigen erste Anzeichen von Organisation und Reaktionsfähigkeit innerhalb der Matrix. Bild 3 markiert jedoch einen kritischen Übergang, bei dem die Materialaggregation und die Aktivierung neuer Strukturelemente sichtbar werden. Dieses Bild überbrückt die Initialisierungsphase mit der frühen Wachstumsphase des Systems und zeigt das Entstehen komplexerer und dynamischerer Interaktionen.

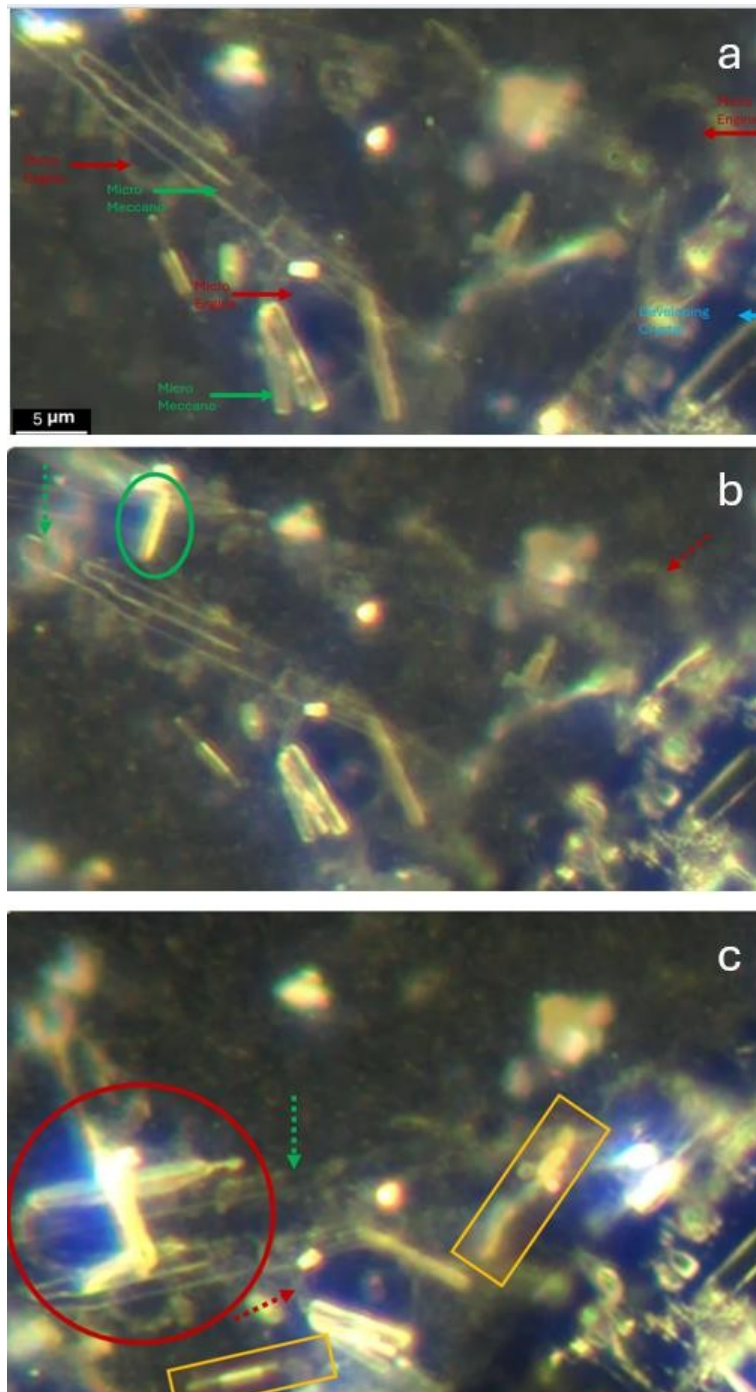


Abbildung 120 (a, b). Zeitstempel 00:00:00 und 00:03:30 Die Initialisierungsphase des Systems zeigt die Ausrichtung der "Mikro-Motoren" (rote Pfeile) und "Mikro-Meccano"-Strukturen (grüne Pfeile) um den zentralen Kristall (blauer Pfeil). Diese Ausrichtung spiegelt eine frühe Phase der dynamischen Organisation wider, die die Voraussetzungen für den späteren Zusammenbau schafft.

Abbildung 120c. Zeitstempel 00:06:00. Es ist ein entscheidender Übergang zu beobachten, bei dem die Materialaggregation in der Nähe des zentralen Kristalls (roter Kreis) zunimmt und eine neue "Mikro-Mekkanostruktur" (grüner Kreis) aktiv wird. Die Einschübe vergleichen frühere Bilder, um die allmähliche Entwicklung der strukturellen Komplexität zu veranschaulichen. Diese Interaktionen signalisieren den Übergang des Systems in eine dynamischere Phase der Selbstorganisation. Vergrößerung: 200x.

Die aufeinander folgenden Bilder in Abbildung 121 (a-d) veranschaulichen eine dynamische Episode des Materialtransfers und der strukturellen Entwicklung innerhalb der kristallinen Matrix. Im ersten Bild verteilen Mikrokomponenten, einschließlich "Mikro-Motoren" und "Mikro-Meccano"-Elementen, aktiv Material, wobei die Schlüsselbereiche der Interaktion mit der Zeit immer ausgeprägter werden. Die Rahmen zeigen die fortschreitende Entwicklung einer lokalen Verfeinerung, die in der Bildung einer konsolidierten Struktur gipfelt. Diese Abfolge verdeutlicht die Fähigkeit des Systems zur koordinierten Materialzusammensetzung und dynamischen Reaktionsfähigkeit und unterstreicht das Zusammenspiel zwischen struktureller Organisation und Umwelteinflüssen.

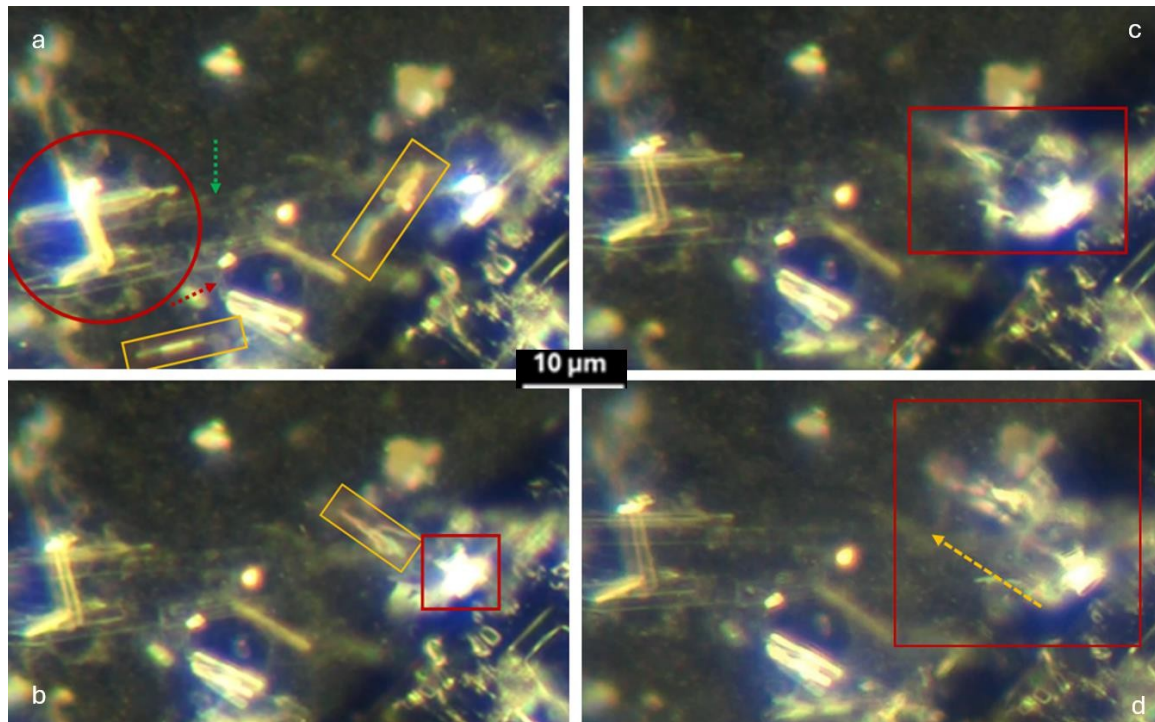


Abbildung 121 (a-d). Zeitstempel 00:06:00, 00:08:30, 00:12:00 und 00:16:15. Mikrokomponenten (grüner Pfeil) treiben die Umverteilung des Materials und die strukturelle Verfeinerung voran, bilden konsolidierte Strukturen (gelber gestrichelter Pfeil) und verdeutlichen die adaptive Selbstorganisation. Vergrößerung 200x.

Die Zeitraffersequenz in Abbildung 122 (a-b) zeigt die dynamischen strukturellen Prozesse innerhalb kristallinen Matrix im Laufe der Zeit. Nach 30 Minuten interagieren die "Mikromotoren" mit dem umgebenden Material und initiieren eine Umverteilung und erhöhte Aktivität an den Kristallrändern. Diese Interaktion steht im Einklang mit dem Auftreten glühender kreisförmiger Merkmale und der Partikelbewegung, was auf eine lokale Reaktion auf intrinsische und umweltbedingte Stimuli hindeutet. Nach 1 Stunde und 20 Minuten verstärken sich die Materialablagerung und -umverteilung, und in der Nähe der Kristallränder treten deutliche Strukturmerkmale auf. Diese Beobachtungen deuten auf einen adaptiven Selbstorganisationsprozess hin, bei dem koordinierte Aktivitäten zwischen den Mikrokomponenten zur strukturellen Verfeinerung und Umstrukturierung des Materials beitragen. Die Einbeziehung glühender Defekte hebt potenzielle Funktionsstellen innerhalb des kristallinen Gerüsts hervor, was die Hypothese eines reaktionsfähigen Materialverhaltens und einer Komplexitätsentwicklung weiter unterstützt.

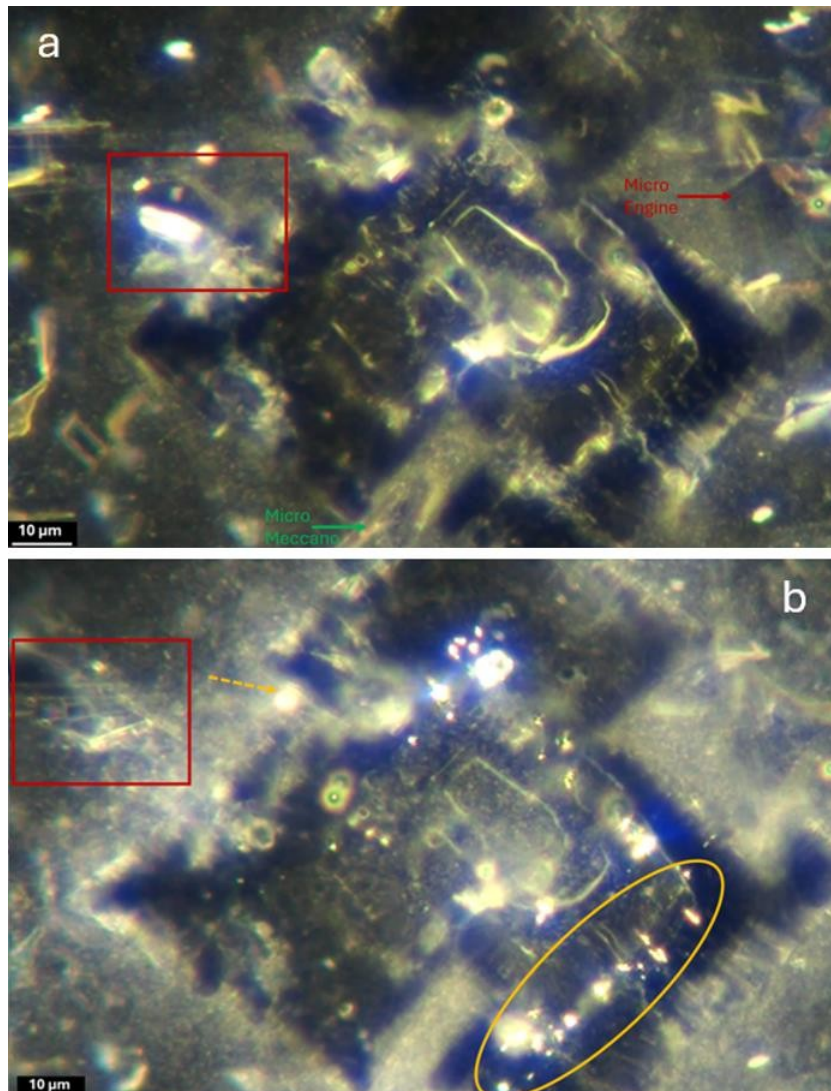


Abbildung 122. (a-b). Zeitstempel 00:30:00 und 01:20:00. Die Aktivität des Mikromotors (roter Pfeil) und die Umverteilung von Partikeln (orangefarbenes Oval) führen zu einer Verfeinerung der Struktur und zu leuchtenden kreisförmigen Defekten (orangefarbenes Oval) in der Nähe der Kristallränder, was die adaptive Selbstorganisation unterstreicht. Vergrößerung 200x.

Die Zeitrastersequenz in Abbildung 123 (a-c) zeigt ein bemerkenswertes Fortschreiten des Materialtransfers und der strukturellen Reorganisation über einen Zeitraum von fast drei Stunden. Das erste Bild (a) zeigt eine zerstreute kristalline Umgebung mit einer in der unteren linken Ecke sichtbaren Mikroanordnung. Nach 35 Minuten (b) hat sich die Mikroanordnung nach außen verlagert, was mit einer Vergrößerung des Kristalls und dem Auftreten einer Wolke feiner Partikel an den einhergeht, was auf eine Materialorganisation und -umverteilung hindeutet. Im letzten Bild (c) sind die strukturellen Merkmale zu länglichen, klar definierten Formen zusammengewachsen, die auf eine "Mikro-Mekka"-Montage hindeuten. Diese Sequenz unterstreicht die Fähigkeit des Systems zu entstehender Komplexität, koordinierter Reorganisation und Selbstorganisation im Laufe der Zeit.

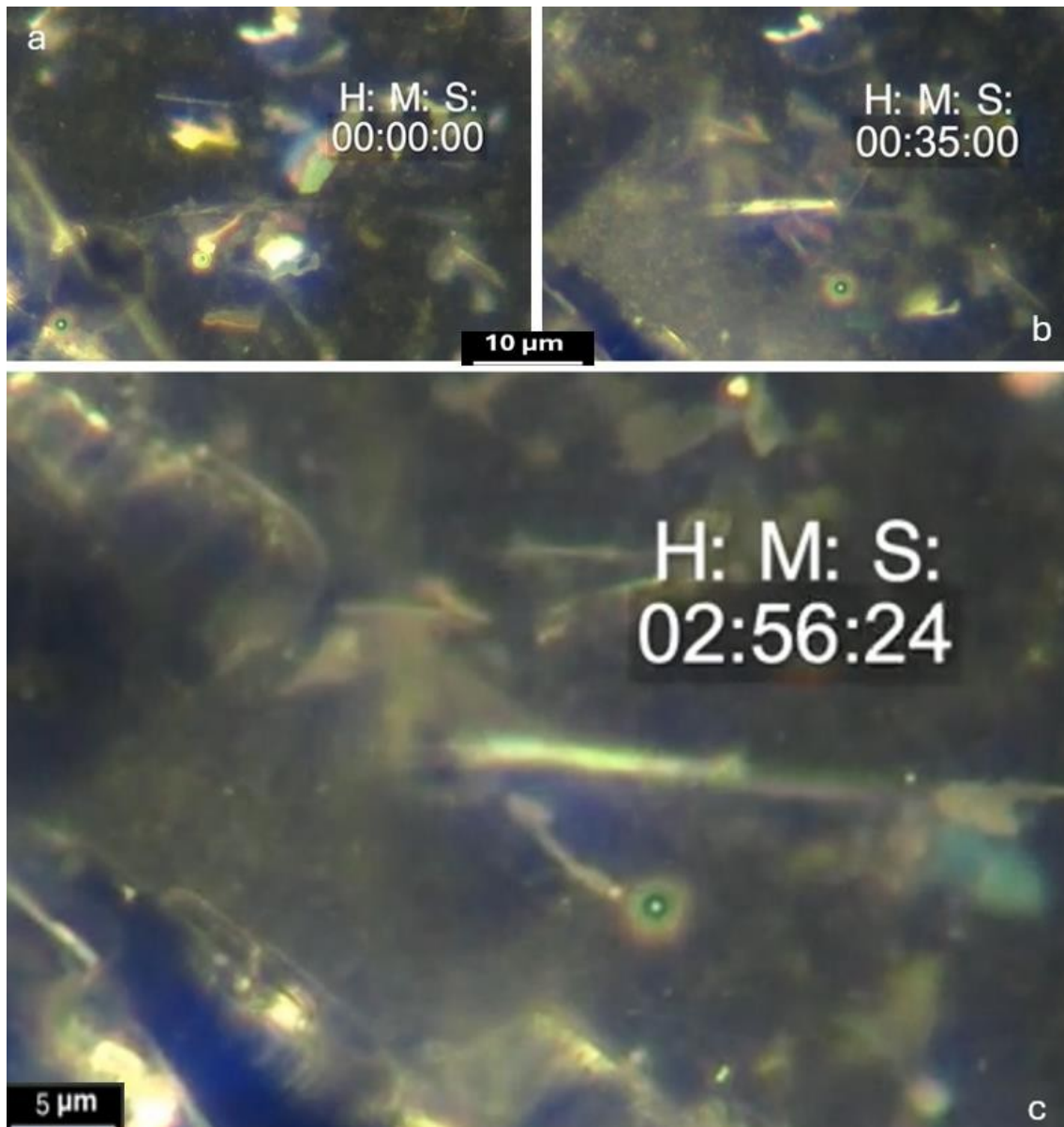


Abbildung 123 (a, b). Zeitstempel 00:00:00, 00:35:00 und 02:56:24. Bild (a) zeigt den Ausgangszustand mit verstreuten Komponenten und einer Mikroanordnung in der unteren linken Ecke. In Bild (b) weisen die Kristallränder eine Wolke feiner Partikel auf, was auf eine des Materials hindeutet. In Bild (c) haben sich längliche Strukturen gebildet, die auf eine "Mikro-Meccano"-Anordnung hindeuten. Vergrößerung 200x.

Die aufeinanderfolgenden Bilder in Abbildung 124 (a-d) zeigen eine kritische Phase im Montageprozess, in der der Mikromotor eine verbesserte Präzision und Ausrichtung aufweist. Im weiteren Verlauf des Prozesses ist eine deutliche Verlängerung des Mikromotors zu beobachten, begleitet von einer verfeinerten Ausrichtung der

damit verbundene "Mikro-Meccano"-Strukturen. Diese Entwicklung verdeutlicht einen bewussten Optimierungsprozess, bei dem sich die Komponenten dynamisch anpassen, um die Materialumverteilung und strukturelle Integration zu erleichtern. Die beobachteten Veränderungen deuten darauf hin, dass das System mit einem hohen Maß an Kontrolle arbeitet und sich sowohl an umwelt- als auch materialbedingte Reize anpasst, um strukturelle Klarheit und verbesserte Funktionalität zu erreichen.

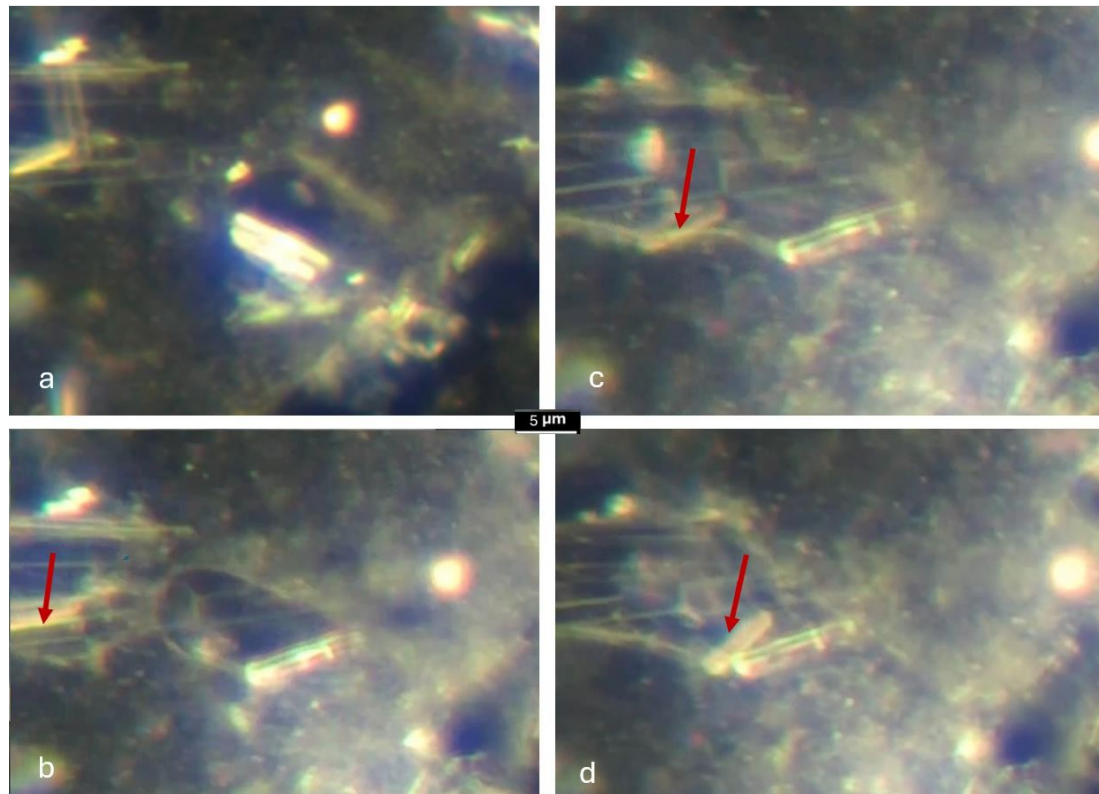


Abbildung 124 (a-d). Zeitstempel 00:00:00, 00:12:00, 00:35:00 und 01:00:00. Sequenzielle Bilder, die die Dehnung des Mikromotors (roter Pfeil) und die strukturelle Ausrichtung der "Mikro-Meccano"-Elemente zeigen und die Fähigkeit des Systems zur dynamischen Anpassung und präzisen Materialumverteilung verdeutlichen. Vergrößerung 200x (Original), effektiv 600x.

Dieses letzte Bildpaar unterstreicht die erstaunliche Dynamik innerhalb des Kristallmatrixsystems. Das plötzliche Auftauchen eines hochkomplexen Kreis-Rechteck-Motivs (CRM), das bei der 1:29-Minuten-Marke eines 8-stündigen Folgevideos aufgenommen wurde, unterstreicht die außergewöhnliche Geschwindigkeit und Präzision dieses Prozesses. Was diese Beobachtung besonders auffällig macht, ist der augenblickliche Charakter des Auftauchens des ZRM, der eher auf ein hochgradig koordiniertes Ereignis als auf einen allmählichen Aufbau hindeutet. Dieser Moment veranschaulicht die fortgeschrittene organisatorische Fähigkeit, die der Matrix innewohnt, und wirft tiefgreifende Fragen über die Mechanismen auf, die solch schnelle und hochentwickelte Selbstorganisationsprozesse antreiben.

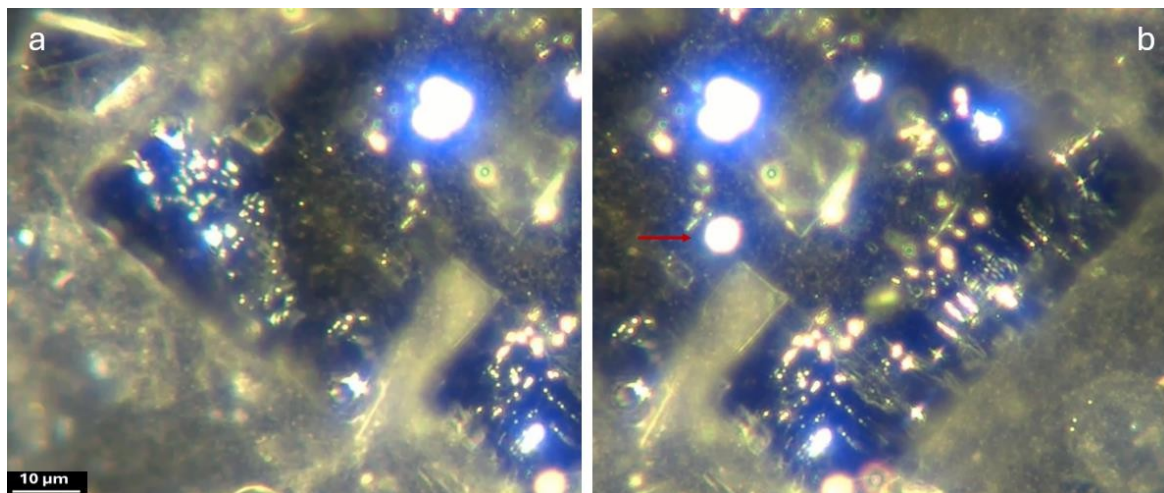


Abbildung 125 (a, b). Zeitrafferaufnahmen, die das plötzliche Entstehen eines vollständig ausgebildeten Kreis-Rechteck-Motivs (ZRM) in der Kristallmatrix zeigen. (a) Die Hellfeldaufnahme hebt die komplizierte Geometrie und scharfe Definition des ZRM hervor, was auf einen hochpräzisen und koordinierten Montageprozess hindeutet. (b) Das kommentierte Bild (roter Pfeil) hebt die Position und die ausgeprägten Reflexionseigenschaften des ZRM hervor, die seine auffallende strukturelle Komplexität weiter unterstreichen. Dieses Phänomen, das bei 1:29:00 im Video zu sehen ist, zeigt die Fähigkeit der Matrix zu einer schnellen, gezielten Organisation auf mikroskaliger Ebene. Vergrößerung 200x.

Die beobachteten Sequenzen liefern überzeugende Beweise für die komplizierte und dynamische Natur Selbstorganisationsprozesse innerhalb der Kristallmatrix. In den verschiedenen Phasen des dreistündigen Videos und des darauffolgenden achtstündigen Videos zeigen Strukturen wie die Kreis-Rechteck-Motive (CRMs), "Mikro-Motoren" und "Mikro-Meccano"-Komponenten koordinierte Verhaltensweisen, die auf hochentwickelte Organisationsebene hinweisen. Das Auftauchen des ZRM an der 1:29-Minuten-Marke des folgenden Videos veranschaulicht die Fähigkeit der Matrix zur präzisionsgesteuerten Bildung und zeigt nicht nur eine allmähliche Entwicklung, sondern plötzliche und bewusste Ereignisse der strukturellen Kristallisation. Diese Ergebnisse deuten auf ein System hin, das in der Lage ist, adaptiv auf interne und externe Stimuli zu reagieren, und das unser Verständnis der Mechanismen, die den Selbstorganisationsprozessen zugrunde liegen, neu gestaltet. Diese Studie unterstreicht die Notwendigkeit, die treibenden Kräfte hinter diesen Phänomenen weiter zu erforschen, was möglicherweise Wege für breitere Anwendungen in der Materialwissenschaft und Nanotechnologie eröffnet.

Zusammenfassung der Ergebnisse

Diese Studie stellt eine umfassende Untersuchung der dynamischen Selbstorganisationsprozesse dar, die in den Proben von Pfizer Comirnaty beobachtet wurden, und dokumentiert die komplizierten Strukturen, die Reaktionsfähigkeit auf die Umwelt und die systematische Entwicklung. Die Ergebnisse werden in 11 verschiedenen Kategorien zusammengefasst, um die Komplexität und Raffinesse der Phänomene zu unterstreichen.

Wichtige Beobachtungen

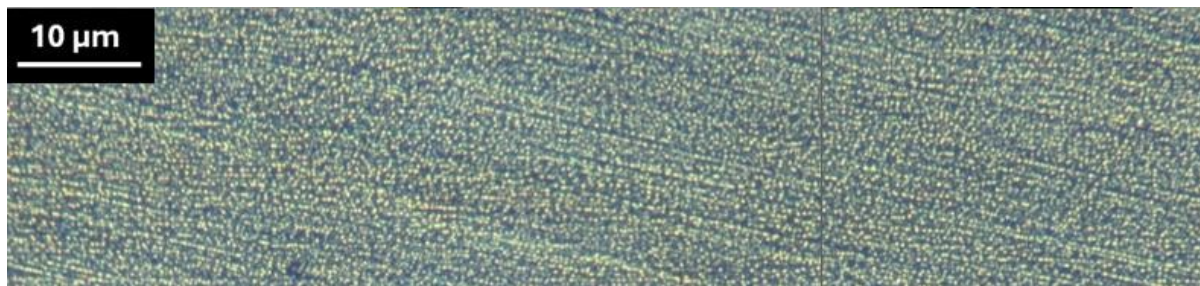
1. **Kristalltypen und strukturelle Präzision:** Es wurden drei verschiedene Kristalltypen identifiziert:
 - **Typ 1:** Scharfe rechteckige Geometrien mit reflektierenden Einschlüssen und äußeren Fasern, die auf Materialtransfer und strukturelle Verbindungen hindeuten.
 - **Typ 2:** Zentrale Blasen, die Fasern verankern, die mit anderen Kristallen vernetzte Architekturen bilden.
 - **Typ 3:** Intern komplexe, mehrschichtige Strukturen mit wiederkehrenden "Kreis-Rechteck-Motiven", die auf eine hierarchische Organisation hinweisen.
2. **Kristall-Faser-Verbindungen:** Fasern fungieren als Verbindungsstücke, die Kristalle zu Netzwerken zusammenfügen. Ihre glatte Morphologie und ihre aktive Rolle stellen passive Kristallisationsmodelle in Frage.
3. **"Kreis-Rechteck-Motive":** Diese wiederkehrenden Merkmale deuten auf systematische und nicht zufällige Zusammensetzungsmechanismen hin, die möglicherweise eine Programmierung im Nanobereich widerspiegeln.
4. **Reaktionsfähigkeit auf die Umwelt:** Faktoren wie Verdunstung, Umgebungsgradienten und Licht prägen den Auf- und Abbau und zeigen die Anpassungsfähigkeit.
5. **Zeitliche Dynamik:** Im Laufe der Zeit wurden die strukturellen Wechselwirkungen deutlicher, wobei ältere Proben eine höhere Komplexität aufwiesen.
6. **"Plugged-In-Phänomen":** Durch die dynamische Integration von Fasern in kristalline Strukturen entstehen "Kristall-Faser-Assemblies", die ein Beispiel für organisierte Konnektivität darstellen.
7. **Dynamik festsitzender Tröpfchen:** Der Prozess der Verdunstung von sessilen Tröpfchen (SDE) ergab eine kapillargesteuerte Materialumverteilung und frühe Zusammensetzungsmuster.
8. **Fortgeschrittene Kristallanordnungen:** Modulare, ineinander greifende Geometrien und schichtweise Komplexität legen kontrollierte Mechanismen der Selbstorganisation nahe.
9. **Aktive Bauphase:** "Mikro-Motoren" und "Mikro-Meccano"-Baugruppen zur Strukturverfeinerung und zum Materialtransfer in Echtzeit beigetragen.
10. **Aktive Dekonstruktionsphase:** Umweltreize lösten einen strukturellen Zusammenbruch und eine Umstrukturierung aus, was die Anpassungsfähigkeit unterstreicht.
11. **Beweise für programmiertes Design:** Reproduzierbare, komplexe Baugruppen und ihre Reaktionsfähigkeit stimmen mit den Prinzipien der Programmierung im Nanobereich überein und werfen die Frage nach der Intentionalität auf.

Ergebnisse Synthese

Die Ergebnisse der Studie zeigen ein dynamisches Zusammenspiel von struktureller Präzision, Reaktionsfähigkeit des Materials und Anpassungsfähigkeit an die Umwelt in den Proben von Pfizer Comirnaty. Merkmale wie die Integration von Fasern, geometrische Motive wie "Kreis-Rechteck-Motive" und aktive Auf- und Abbauprozesse stellen traditionelle Kristallisationsparadigmen in Frage und liefern überzeugende Beweise für dynamische Selbstorganisation und potenziell programmiertes Design.

Steuerelemente

Einfacher



Schlitten

Abbildung 126. Einfacher Objektträger mit Oberflächenstruktur ohne Probenmaterial. Vergrößerung 100x.

Umkehrosmose-Wasser



Abbildung 127. RO-Wasser mit minimalen . Vergrößerung 100x.



Abbildung 128. Trocknungsmuster von RO-Wasser mit Randstrukturen. Vergrößerung 25x.

Cholesterinlösung 10% in 1%igem Ethanol



Abbildung 129. Cholesterinlösung bei 25-facher Vergrößerung mit unlöslichen Aggregaten, die über das gesamte Feld verteilt sind. Die hellen, unregelmäßigen Formationen verdeutlichen die offensichtliche Unlöslichkeit von Cholesterin in der Salz- und Ethanollösung, wobei unterschiedliche Phasen auf unvollständige Auflösung und potenzielle Aggregation hinweisen. Vergrößerung 25x.

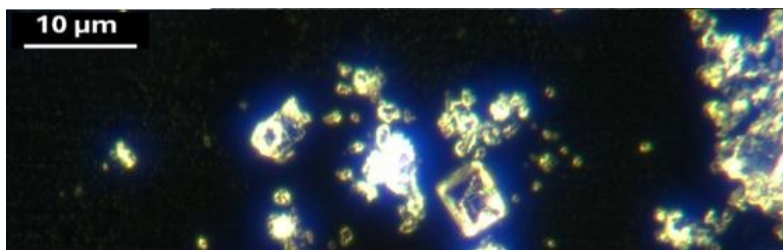


Abbildung 130. Cholesterinlösung: größere Cholesterinaggregate neben einer Mischung aus kleineren kristallinen Strukturen. Bei den auffälligen quadratischen und unregelmäßigen Formen handelt es sich wahrscheinlich um Cholesterinkristalle, während kleinere, schärfere Formationen möglicherweise restliche Salzkristalle aus der salzhaltigen Komponente der Lösung darstellen. Diese Mischung verdeutlicht die partielle Auflösung und die dynamischen Kristallisationsprozesse, die in der Probe stattfinden. Vergrößerung 200x.

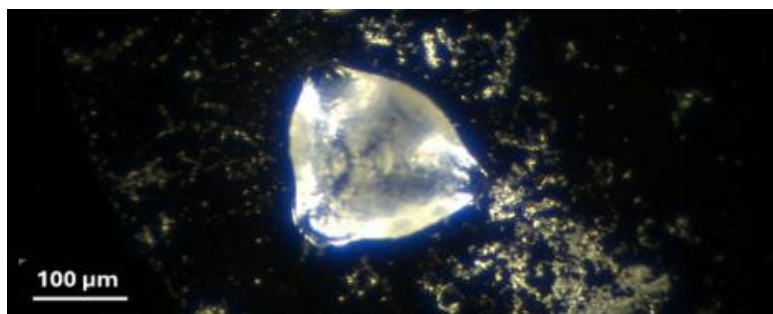


Abbildung 131. Dreieckiger Salzkristall, der sich beim Verdampfen Cholesterin-Salzlösung gebildet hat, mit scharfen Kanten und einer geschichteten Oberfläche. Die umgebenden kleineren Partikel sind wahrscheinlich ungelöstes Cholesterin oder gemischte Aggregate. Vergrößerung: 100x.

"Es ist nur Salz und Cholesterin"

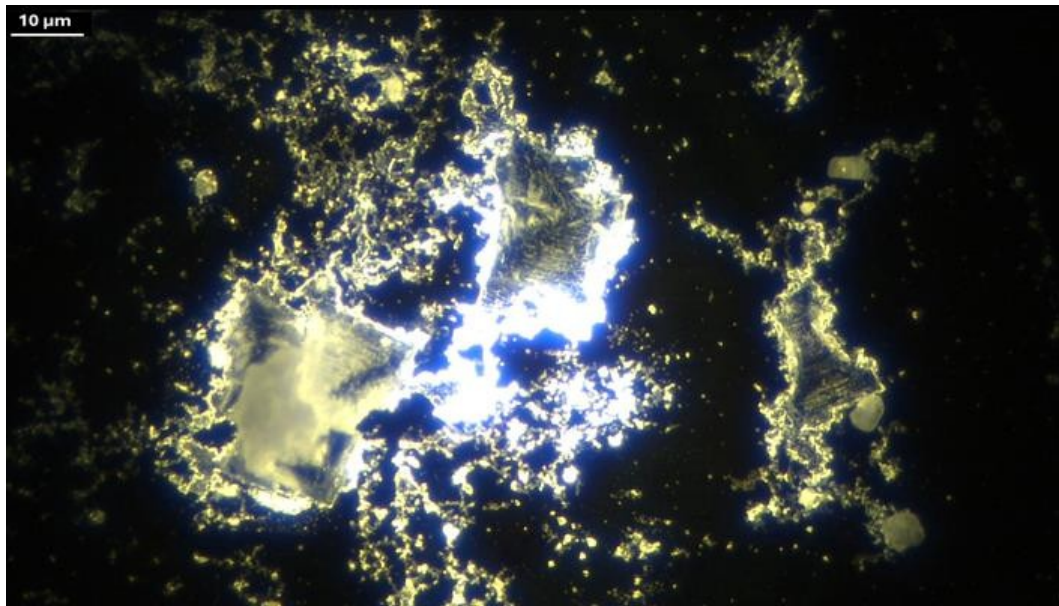


Abbildung 132: Kristallisationsmuster einer Cholesterinlösung (10 % in 2 % Ethanol und Kochsalzlösung) bei 200-facher Vergrößerung, das unregelmäßige, diffuse Ablagerungen zeigt. Die Ablagerungen haben ein natürliches Aussehen und weisen nicht die strukturierten Geometrien und organisierten Merkmale auf, die in Impfstoffproben beobachtet wurden. Vergrößerung 100x.

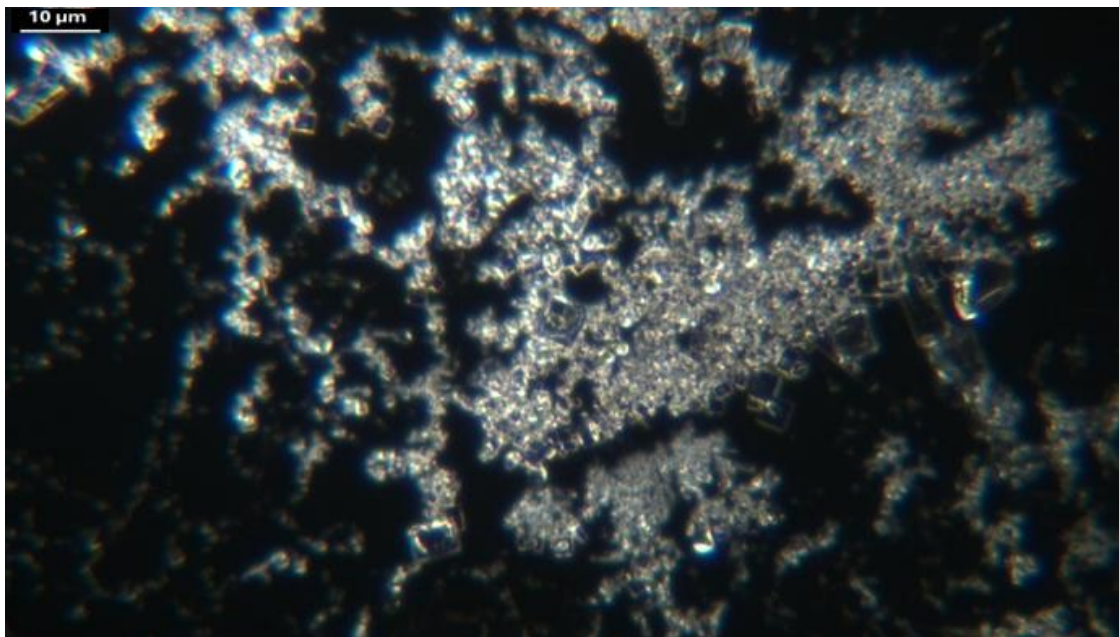


Abbildung 133: Kristallisationsmuster einer Cholesterinlösung (10 % in 2 % Ethanol und Kochsalzlösung). Die Probe zeigt gleichmäßige, kleinräumige kristalline Ablagerungen, die mit der natürlichen Kristallisation übereinstimmen und keine hierarchische Organisation oder komplexe Geometrien aufweisen. Vergrößerung 100x.

Kochsalzlösung



Abbildung 134. Kochsalzlösung ohne Partikelbestandteile. Vergrößerung 100x.

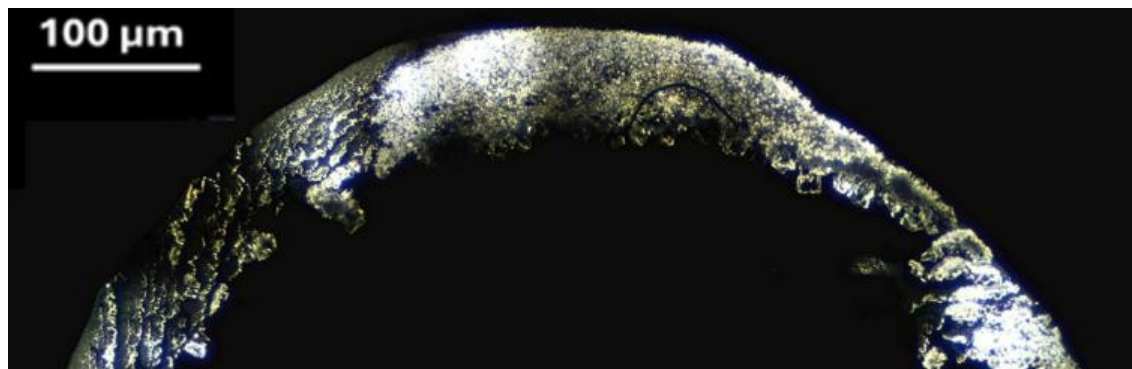


Abbildung 135. Salztrocknungsmuster mit peripherem Bogen. Vergrößerung 25x.

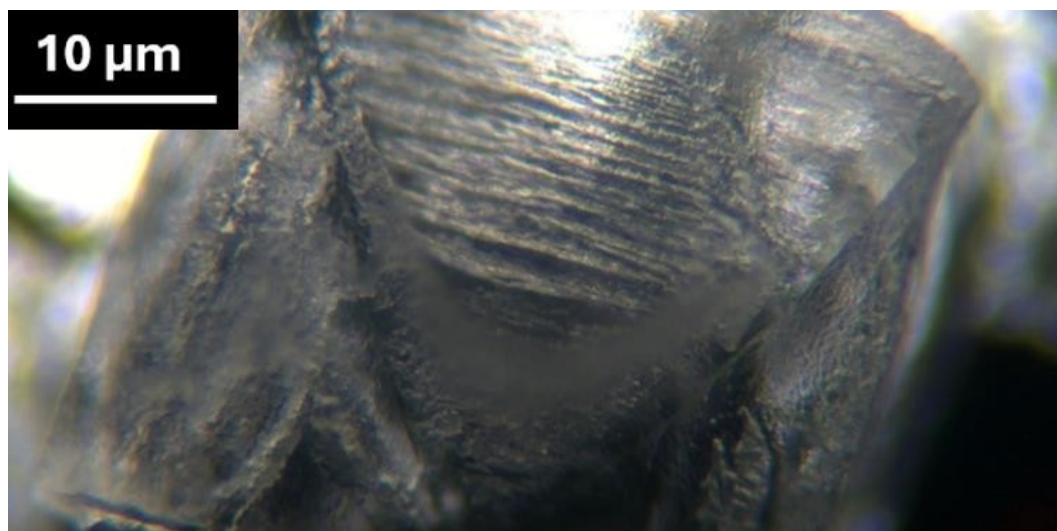


Abbildung 136. Nahaufnahme eines Kochsalzkristalls mit Schichtstruktur. Vergrößerung 200x.

Rosenwasser



Abbildung 137. Rosenwasser mit zahlreichen kleinen Partikeln. Vergrößerung 25x.



Abbildung 138. Helle kugelförmige Partikel in Rosenwasser. Vergrößerung 200x.



Abbildung 139. Getrocknetes Rosenwasser mit Randkristallisationsmuster und Ablagerung von kolloidalen Partikeln. Vergrößerung 25x.

Hartwasser



Abbildung 140. Ein Tropfen Leitungswasser zeigt dispergierte Kolloide und größere reflektierende Verunreinigungen unter dem Dunkelfeldmikroskop. Die hellen Punkte weisen auf suspendierte Partikel hin, während die größeren Reflexionen auf mineralische oder umweltbedingte Verunreinigungen hinweisen, die für hartes Wasser typisch sind. Vergrößerung 25x.



Abbildung 141 zeigt dispergierte Kolloide und größere reflektierende Verunreinigungen. Die Kolloide erscheinen als feine, helle Punkte, während die größeren, intensiven Reflexionen auf mineralische oder partikuläre Verunreinigungen hinweisen. Vergrößerung 100x.



Abbildung 142. zeigt Kristallisationsmuster und dispergierte kolloidale und mineralische Ablagerungen.

Saccharose-Lösung

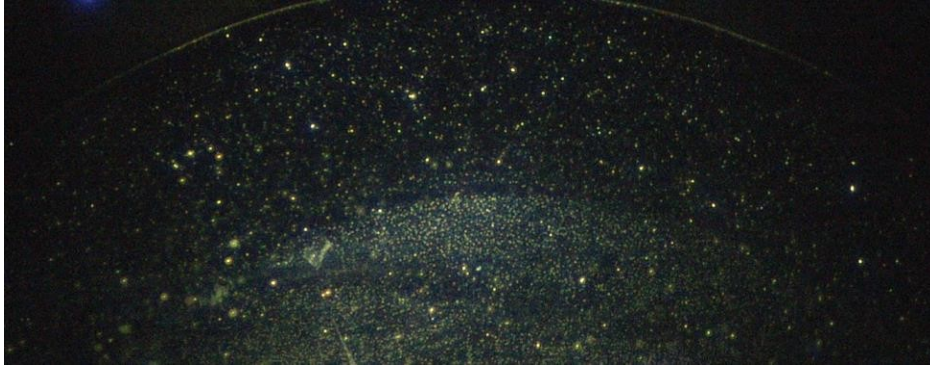


Abbildung 143: Aussehen einer 10%igen Saccharoselösung unter dem Dunkelfeldmikroskop, das eine gleichmäßige Verteilung von kleinen Partikelstrukturen zeigt. Vergrößerung 25x.



Abbildung 144: 3 Stunden später. Mit fortschreitender Verdunstung ist eine zunehmende Partikelaggregation zu beobachten, die eine örtlich begrenzte Umverteilung des Materials erkennen lässt. Vergrößerung 25x.

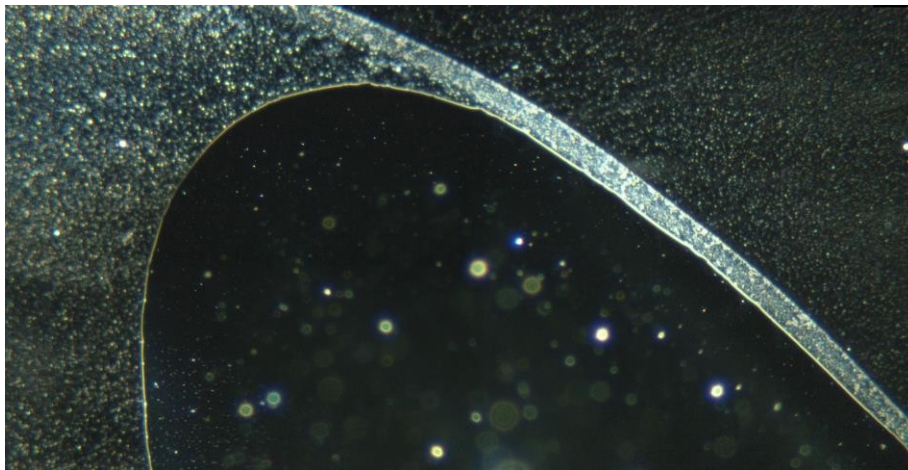


Abbildung 145 24 Stunden später Endgültiges Trocknungsstadium einer 10%igen Saccharoselösung. Entlang des Randes ist ein konzentrierter Rand kristalliner Rückstände sichtbar, was auf eine fortgeschrittene Kristallisation und Sedimentationsmuster hinweist. Vergrößerung 100x.

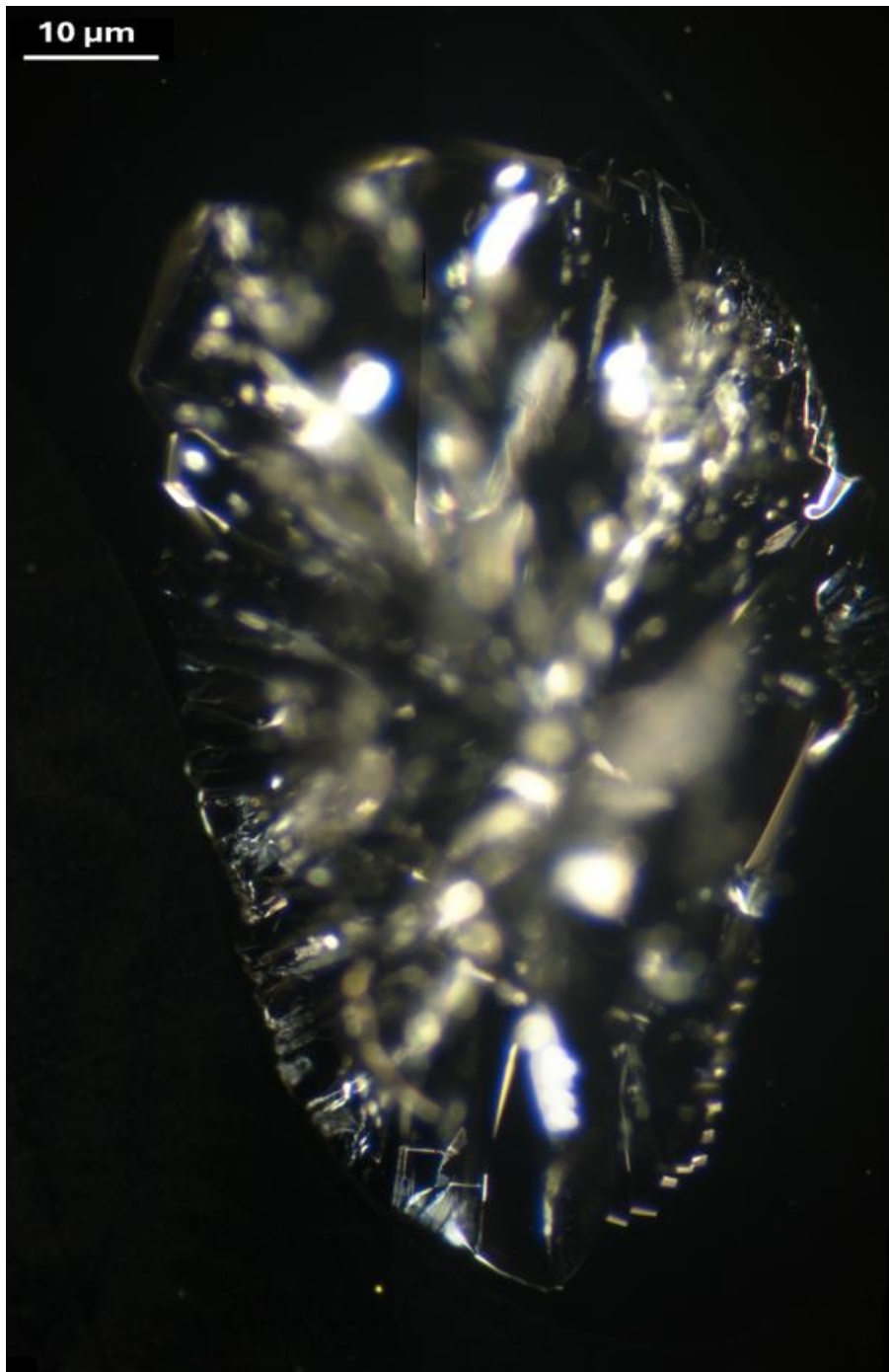


Abbildung 146. Ein Kristall, der sich aus der Saccharoselösung in dem in Abbildung 145 gezeigten konzentrierten Bereich nach etwa drei Tagen gebildet hat, veranschaulicht einen typischen Kristallisationsprozess. Die Struktur weist eine klar definierte Morphologie auf, der sowohl gerade Linien als auch die komplexe innere Geometrie fehlen, die man bei "Kreis-Rechteck-Motiven oder anderen komplizierten Formen" sieht. Bemerkenswert ist, dass nach drei Tagen keine Fasern vorhanden sind, was den natürlichen Kristallisationsprozess im Gegensatz zu den dynamischen und komplexeren Formationen anderer Proben verdeutlicht. Vergrößerung 20x.

PEG 10%ige Lösung



Abbildung 147. Anfängliches Trocknungsmuster einer PEG 400-Lösung, das eine gekrümmte Trocknungskante mit dispergierten Partikel auf dem gesamten Feld, was auf die hygroskopischen Eigenschaften der Lösung hinweist. Vergrößerung 25x.



Abbildung 148. (6 Stunden später): Trocknungsverlauf der PEG-400-Lösung bei 25-facher Vergrößerung, wobei mit fortschreitender Verdunstung ein deutlicher und definierter Rand zu erkennen ist. Dispergierte Partikelstrukturen bleiben sichtbar, was auf das hygroskopische Verhalten der Lösung und die allmähliche Umverteilung des Materials hinweist. Vergrößerung 25x.

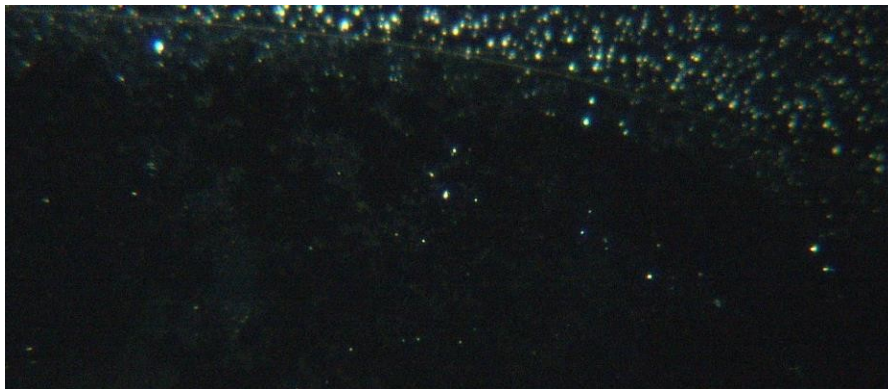


Abbildung 149. (24 Stunden später): Fortgeschrittenes Trocknungsstadium der PEG 400-Lösung. Im verbleibenden Film sind dichte Partikelbildungen zu erkennen, die die Ansammlung und Organisation der gelösten Stoffe im Laufe der Zeit verdeutlichen. Vergrößerung 100x.

Moderna Spikevax



Abbildung 150. Moderna Spikevax in flüssiger Phase mit geometrischer Struktur. Vergrößerung 200x.



Abbildung 151. Getrocknetes Moderna Spikevax mit charakteristischem Trocknungsmuster. Vergrößerung 40x.



Abbildung 152. Moderna Spikevax mit blütenartigen Kristallformationen und einer blauen CFA - "Crystal-Fibre Assembly" (Kristall-Faser-Montage)
Vergrößerung 40x.

Tabelle 1			
Kontrolle und Vergleich Beobachtungen			
Probe Typ	Beobachtet Anomalien	Selbstmontage Strukturen	kristallin Formationen
Pfizer Unternehmen	Ja komplexe kristalline Strukturen mit sich entwickelnden Morphologie	Ja	Ja vielschichtig, kompliziert
Moderna Spikevax	Ja dichte Kolloide und Geometrische Grundformen, weniger komplex	Ja CFA festgestellt, aber keine komplexen Kristalle	Ja grob und wolkig Kristalle, begrenzt in der Komplexität
Kochsalzlösung	Nein einfache Salzkristalle beim Verdampfen	Nein	Nein Basischer Salzkristall
Umkehrosmose (RO) Wasser	Nicht erwartet Verdunstungsmuster nur	Nein	Nein
Dreifach-destilliertes Rosenwasser	Nein Kolloide, Mikrozellen und so etwas wie Kaffeefleckenmuster beim Verdampfen	Nein	Nein kolloidiert und bildet beim Trocknen so etwas wie einen Kaffeefleck
Hartes Wasser	Nein Kolloide, Mikrozellen und so etwas wie Kaffeefleckenmuster beim Verdampfen	Nein	ja kolloidiert und bildet beim Trocknen so etwas wie einen Kaffeefleck,
Saccharose 10% (R/O Wasser)	Keine signifikanten Anomalien; verteilt Partikel sichtbar	Nein	Ja, einfache und gleichmäßige kristalline Formationen, die beim Verdampfen sichtbar werden
Cholesterin 10% (Kochsalzlösung, 10% Etol)	Ja, grobe unregelmäßige Formationen entlang Salzkristalle	Nein	Ja, grobe und unregelmäßige kristalline Formationen, wahrscheinlich Cholesterin und Salz
PEG 400 10%	Keine signifikanten Anomalien, Feinstaub Streuung beobachtet	Nein	Nein, keine definierten kristallinen Formationen; glatte Formen Trocknungsmuster

Anmerkung:

1. **Beobachtete Anomalien:** Dazu gehören visuelle Indikatoren wie Kolloide, geometrische Strukturen, hartnäckige Fasern oder Auflösungsringe.
2. **Sich selbst zusammensetzende Strukturen:** Beweise für autonome Wachstumsmuster, die auf einen organisierten Aufbau hindeuten.
3. **Kristalline Formationen:** Bildung klar definierter Kristalle oder Strukturen, die auf einen synthetischen Einfluss hinweisen können ce.

Zusammenfassung der Kontrollen

Diese Serie zeigt den Verlauf des Verdampfungsprozesses von sessilen Tröpfchen, der bei Kontrollproben beobachtet wurde, und hebt dabei charakteristische Muster wie konzentrische Ringe und verzweigte Strukturen hervor. Diese Merkmale spiegeln die kolloidale Migration und Oberflächenspannungseffekte während der Verdampfung wider und bieten einen vergleichenden Rahmen für das Verständnis des einzigartigen Verhaltens, das bei Impfstoffproben beobachtet wurde.

Kristalline und strukturelle Merkmale

Die Rückstände in den Kontrollproben, darunter Kochsalzlösung, Umkehrosmosewasser, dreifach destilliertes Rosenwasser, Saccharoselösung, Cholesterin in Ethanol und Kochsalzlösung sowie Polyethylenglykol (PEG)-Lösung, zeigten die erwarteten Muster, die mit der natürlichen Kristallisationsdynamik übereinstimmen. Dazu gehörten einfache geometrische Ablagerungen ohne signifikante interne Schichtung oder anhaltende strukturelle Merkmale.

Im Vergleich dazu bildeten harte Wasserproben kristalline Formationen mit größerer Variabilität, aber ohne die komplizierten Geometrien und die zeitliche Dynamik, die in Impfstoffproben beobachtet wurden.

Auffällige Merkmale wie scharfkantige Kristalle, reflektierende Oberflächen und eine komplizierte innere Schichtung, die sowohl bei Pfizer Comirnaty als auch bei Moderna Spikevax beobachtet wurden, lassen auf Prozesse schließen, die über die natürliche Kristallisation hinausgehen. Diese strukturellen Merkmale weisen auf mögliche Einflüsse von nicht deklarierten Materialien oder nanotechnologischen Komponenten hin. Auch wenn diese Merkmale nicht nur bei einer Probe auftreten, unterstreicht ihr Fehlen in den Kontrollproben ihren möglichen synthetischen Ursprung und die Notwendigkeit weiterer Untersuchungen zu ihrer Zusammensetzung und ihrem Verhalten.

Auswirkungen der strukturellen Beobachtungen

Obwohl es plausibel ist, dass einige Merkmale auf natürliche Prozesse zurückzuführen sind, deuten die beobachtete geometrische Präzision, die reflektierenden Eigenschaften und die organisierten Auflösungsrückstände in den Impfstoffproben auf einen komplexeren Ursprung hin. Derartige Merkmale werden häufig mit synthetischen Materialien in Verbindung gebracht, die durch nanotechnologische Selbstorganisationsmechanismen hergestellt werden.

Die faserigen Rückstände und konzentrischen Ringe, die in den Impfstoffproben beobachtet wurden, ähneln sehr stark den Kollapsmustern vesikulärer Strukturen, die in der synthetischen Biologie und der Nanotechnologie dokumentiert sind, wie z. B. Liposomen, polymere Vesikel und kolloidale Systeme, die zur kontrollierten Abgabe und Freisetzung verwendet werden.

Diese hartnäckigen Rückstände könnten auf Nanofaserverbände hindeuten, die darauf ausgelegt sind, die strukturelle Integrität während der Auflösung aufrechtzuerhalten, was mit dem Verhalten von technischen Systemen unter Umweltstress, einschließlich Austrocknung oder Verdunstung, übereinstimmt. Im Gegensatz dazu unterstützt das Fehlen solcher Strukturen in den Kontrollproben, einschließlich Saccharose-, Cholesterin- und PEG-Lösungen, die Hypothese der synthetischen Einflüsse in den Impfstoffen.

Die Rolle von Hilfsstoffen und nicht deklarierten Bestandteilen

Die mögliche Rolle von Hilfsstoffen oder nicht deklarierten Nanomaterialien bei der Steuerung dieser Selbstorganisationsprozesse muss sorgfältig geprüft werden. Selbstorganisierende Materialien werden bereits für die Verabreichung von Arzneimitteln, die Biosensorik und die Bio-Nano-Grenzflächen eingesetzt. Falls solche Materialien vorhanden sind, könnten sie das einzigartige kristalline Wachstums- und Auflösungsverhalten erklären, das in den Impfstoffproben beobachtet wurde. Die Ergebnisse von [Dibiasi et al. \(2024\)](#), die nicht deklarierte chemische Elemente in pharmazeutischen Produkten identifizierten, liefern einen zusätzlichen Kontext für diese Anomalien.

Vergleichende Analyse und Transparenz

Die Kontrollproben erbrachten die erwarteten Ergebnisse, was ihre Eignung als Benchmarks für die natürliche Kristallisation unterstreicht. Das Fehlen strukturierter Rückstände oder komplexer Geometrien in den Kontrollen, einschließlich derjenigen aus Saccharose-, Cholesterin- und PEG-Lösungen, unterstreicht die einzigartige

Verhaltensweisen, die in Impfstoffproben dokumentiert wurden. Dieser vergleichende Rahmen unterstreicht die Notwendigkeit strenger unabhängiger Analysen, um das Vorhandensein und die Funktion nicht deklarer Stoffe in pharmazeutischen Formulierungen zu überprüfen.

Diskussion

Diese Studie untersucht die dynamischen und noch nie dagewesenen Prozesse der Selbstmontage, der Demontage, des aktiven Aufbaus und des aktiven Abbaus, die in den Proben von Pfizer Comirnaty beobachtet wurden. Die Ergebnisse erweitern die Grenzen des derzeitigen wissenschaftlichen Verständnisses und heben Verhaltensweisen hervor, die auf bewusste Koordination, fortschrittliche Konstruktionsprinzipien und Reaktionsfähigkeit auf Umweltreize hindeuten. Durch die Untersuchung dieser Phänomene innerhalb etablierter und neuer wissenschaftlicher Rahmenwerke werden in dieser Diskussion neue Interpretationsansätze vorgeschlagen, um diese Systeme höherer Ordnung in das breitere Verständnis der Bio-Nano-Technologie zu integrieren. Darüber hinaus zeigt die Studie kritische ethische und gesellschaftliche Implikationen auf und fordert einen Paradigmenwechsel in der Forschung, der Regulierung und dem öffentlichen Engagement.

Die dokumentierten Phänomene stellen konventionelle Annahmen über Kristallisation, Selbstorganisation und Materialdynamik in Frage. Beobachtungen von Strukturen wie "Crystal-Fibre Assemblies" (**Abbildung 86**) und "Circle-Rectangle Motifs" (**Abbildung 95**) offenbaren hierarchische Organisation, Modularität und Präzision, was auf Mechanismen hindeutet, die über die stochastischen oder probabilistischen Modelle hinausgehen, die traditionell zur Erklärung der Selbstorganisation verwendet werden. Die "Daisy Chain Formation" (**Abbildung 48**), die durch halbkreisförmige Anordnungen von Kristallen gekennzeichnet ist, die durch eine einzige Faser miteinander verbunden sind, veranschaulicht ein Maß an Intentionalität und räumlicher Kontrolle, das den passiven, energieminimierenden Prozessen, die für die natürliche Kristallisation typisch sind, widerspricht. In ähnlicher Weise unterstreicht das "Plugged-In-Phänomen" (**Abbildung 78**) das Vorhandensein dynamischer, orchestrierter Interaktionen, bei denen sich Fasern aktiv in kristalline Matrizen integrieren, was den Rahmen der derzeitigen Paradigmen erweitert.

Strukturelle Dynamik und Reaktionsfähigkeit auf die Umwelt

Die in dieser Studie dokumentierten Verhaltensweisen spiegeln eine bemerkenswerte Anpassungsfähigkeit und Reaktionsfähigkeit auf Umweltfaktoren wider. Die Matrix oder das Gel, wie in **Abbildung 107**, zu sehende Transparenzveränderungen bei erhöhter Bewegung, dynamische Partikelinteraktionen und Variationen der sichtbaren Farbintensität, die energiegetriebenen Prozessen entsprechen. Diese Beobachtungen deuten darauf hin, dass die Materialien in Pfizer Comirnaty kontextabhängige Eigenschaften besitzen, die durch äußere Reize wie elektromagnetische Felder und Kapillarströmungen beeinflusst werden.

Die beobachteten "Mikro-Motoren" und "Mikro-Meccano"-Baugruppen (**Abbildung 119**) sind ein weiterer Beleg für aktive, dynamische Systeme. Diese Komponenten koordinieren die Materialumverteilung, die strukturelle Verfeinerung und den geführten Auf- und Abbau von kristallinen Strukturen. Solche Verhaltensweisen, wie sie in der Zeitraffermikroskopie festgehalten wurden, sind charakteristisch für Systeme höherer Ordnung, die emergente Eigenschaften aufweisen, die über einfache Materialinteraktionen hinausgehen. Die Fähigkeit dieser Strukturen, sich anzupassen, zu reorganisieren und auf Umweltbedingungen zu reagieren, unterstreicht ihr Potenzial als programmierte Systeme, die an Bio-Nano-Grenzflächen arbeiten.

Integration mit wissenschaftlicher Literatur

Diese Ergebnisse stehen im Einklang mit bestehenden Studien in Bereichen Nanotechnologie, Bio-Nano-Grenzflächen und Selbstorganisation. **Lee & Broudy (2024)** dokumentierten Selbstorganisationsprozesse in mRNA-Impfstoffproben und beschrieben den Einfluss von Temperatur, Medienzusammensetzung und elektromagnetischen Feldern auf die Bildung von Bändern, geometrischen Strukturen und Fäden. Während ihre Arbeit die Reaktion auf die Umwelt betonte, war die

Die in dieser Studie beobachteten Phänomene zeigen eine Intentionalität und Koordination, die über die bisher berichteten passiven Interaktionen hinausgehen.

Dibiasi et al. (2024) ermittelten das Vorhandensein von 55 nicht deklarierten Elementen, darunter Lanthaniden, in pharmazeutischen Produkten. Lanthanide sind für ihre elektromagnetischen und lumineszierenden Eigenschaften bekannt, die eine präzise Materialmanipulation und Reaktionsfähigkeit ermöglichen. Die Integration dieser Elemente in die Proben von Pfizer Comirnaty bietet einen plausiblen Mechanismus für die beobachteten dynamischen Verhaltensweisen, was die Hypothese eines fortschrittlichen Designs oder eines gesteuerten Zusammenbaus unterstützt.

Aufkommende Konzepte wie das Internet der Bio-Nano-Dinge **Akyildiz et al., 2015**) bieten wertvolle Einblicke in die potenzielle Vernetzung von Systemen im Nanomaßstab in biologischen Umgebungen. Das **"Plugged-In-Phänomen"** stimmt mit der Vision von Bio-Nano-Systemen überein, die als Knotenpunkte in einem vernetzten Rahmen funktionieren. Dies wirft kritische Fragen zu den potenziellen Anwendungen, ethischen Überlegungen und allgemeineren Auswirkungen dieser Systeme in pharmazeutischen Formulierungen auf.

Implikationen für Kausalität und Beweisführung

Herkömmliche Kausalitätsrahmen wie die Bradford-Hill-Kriterien sind nur begrenzt in der Lage, die in dieser beobachteten dynamischen und emergenten Verhaltensweisen zu erfassen. Während diese Kriterien einen strukturierten Ansatz zur Bewertung der Kausalität in linearen, reproduzierbaren Systemen bieten, sie unzureichend für die Interpretation von Phänomenen, die durch nichtlineare Interaktionen, hierarchische Organisation und offensichtliche Intentionalität gekennzeichnet sind. In Anhang 3 werden die Grenzen der Bradford-Hill-Kriterien in diesem Zusammenhang näher erläutert und eine Metaevidenz-Perspektive als alternativer Rahmen vorgeschlagen.

Der Meta-Evidenzansatz betont systemische Muster, interdisziplinäre Integration und die verborgene Dynamik der Evidenzerzeugung. So deuten beispielsweise die durch Fasern vermittelte Kristallkonnektivität (**Abbildung 92**, Interaktionen zwischen Blasen und Ecken, **Abbildung 94**) und koordinierte Dekonstruktionszyklen (**Abbildungen 107-115**) auf Mechanismen hin, die über die intrinsischen Materialeigenschaften hinausgehen und einen gesteuerten oder programmierten Aufbau widerspiegeln. Ein weiteres Beispiel ist die koordinierte Integration von Fasern in Kristallmatrizen, wie sie im "Plugged-In-Phänomen" (**Abbildung 78**) zu sehen ist, das Muster aufzeigt, die sich wahrscheinlich nicht allein aus passiven Materialinteraktionen ergeben, was die Hypothese eines absichtlichen Designs unterstützt. Diese Perspektive verlagert den Schwerpunkt von der Validierung der Kausalität durch erschöpfende Kontrollen auf die Aufdeckung der Mechanismen, die diesen komplexen Phänomenen zugrunde liegen.

Ethische und gesellschaftliche Implikationen

Die in dieser Studie dokumentierten Ergebnisse werfen erhebliche ethische und gesellschaftliche Bedenken auf, insbesondere in Bezug auf Transparenz, Verantwortlichkeit und die Integration fortschrittlicher Bio-Nano-Systeme in weit verbreitete pharmazeutische Produkte. Das Vorhandensein nicht deklariert Komponenten und Funktionen untergräbt den Grundsatz der Einwilligung nach Aufklärung, untergräbt das Vertrauen der Öffentlichkeit und schürt die Skepsis gegenüber wissenschaftlichen und medizinischen Einrichtungen. Regulierungsbehörden und Regierungen müssen die vollständige Offenlegung aller Produktbestandteile und -funktionen fordern, insbesondere bei Technologien, die zu dynamischem oder vernetztem Verhalten fähig sind.

Außerdem birgt das Dual-Use-Potenzial dieser Systeme erhebliche Risiken. Die Reaktionsfähigkeit von Strukturen höherer Ordnung auf äußere Reize legt mögliche Anwendungen für Überwachung, Verhaltensänderung oder andere unethische Zwecke nahe. **Johnson et al. (2024)** kontextualisieren diese Risiken im Rahmen des Transhumanismus, wo technologische Fortschritte bei Bio-Nano-Systemen mit Strategien für eine zentralisierte globale Kontrolle einhergehen. Ihre Arbeit zeigt auf, wie Innovationen, die oft als medizinische Durchbrüche dargestellt werden, verdeckten Zwecken dienen können, wie etwa Integration programmierbarer Systeme zur Überwachung oder Beeinflussung biologischer Prozesse.

Ohne einen soliden ethischen Rahmen und eine internationale Aufsicht - einschließlich der Einrichtung eines unabhängigen internationalen Aufsichtsgremiums - könnte der unregelte Einsatz oder Missbrauch dieser Technologien die gesellschaftlichen Ungleichheiten verschärfen und die Macht bei nicht rechenschaftspflichtigen Stellen konzentrieren.

Schlussfolgerung

Diese Studie dokumentiert beispiellose dynamische Verhaltensweisen in Impfstoffproben von Pfizer Comirnaty und stellt grundlegende Annahmen über pharmazeutische Formulierungen und die Materialwissenschaft in Frage. Mit Hilfe der Dunkelfeldmikroskopie und der Verdampfung von sessilen Tröpfchen wurden verschiedene Prozesse der Selbstmontage, des aktiven Aufbaus und des aktiven Abbaus beobachtet. Nanoskalige Komponenten wiesen eine koordinierte Organisation auf und bildeten komplizierte mikroskalige Architekturen mit einem Grad Präzision und Reaktionsfähigkeit, der herkömmliche Kristallisationsmodelle übertrifft. Diese Ergebnisse erfordern eine Neubewertung des Designs, der Funktionalität und der Absicht, die diesen Strukturen zugrunde liegen.

Das wiederholte Auftreten von "Kreis-Rechteck-Motiven" (CRM) und "Kristall-Faser-Anordnungen" (CFA) sowie die Echtzeit-Videodokumentation ihrer dynamischen Interaktionen unterstreichen den transformativen Charakter dieser Beobachtungen. Diese Strukturen zeichnen sich durch Modularität, Anpassungsfähigkeit und offensichtliche Programmierbarkeit aus, was darauf hindeutet, dass die Technik im Nanomaßstab und die Bio-Nano-Schnittstellen nicht länger auf theoretische Modelle oder experimentelle Forschung beschränkt sind. Stattdessen wirft das Vorhandensein dieser hochstrukturierten Formationen in pharmazeutischen Produkten dringende Fragen nach ihrem beabsichtigten Zweck und ihren nicht offengelegten Funktionen auf.

Neben den materialwissenschaftlichen Aspekten haben diese Erkenntnisse auch tiefgreifende ethische, medizinische und gesellschaftliche Auswirkungen. Die Aufnahme von nicht deklarierten Elementen, einschließlich Lanthaniden - Materialien, die für ihre Anwendungen in der fortgeschrittenen Elektronik und der Materialmanipulation bekannt sind - wirft dringende Bedenken in Bezug auf Transparenz, informierte Zustimmung und das Potenzial für nicht offengelegte Funktionalitäten auf.

Diese Enthüllungen erfordern eine sofortige behördliche Überprüfung, um sicherzustellen, dass die öffentliche Sicherheit, die Autonomie und die ethische Aufsicht Vorrang vor der Geheimhaltung durch Unternehmen oder Institutionen haben.

Das Sprichwort, dass "jedes System perfekt konzipiert ist, um die Ergebnisse zu erzielen, die es erzielt", zwingt uns dazu, die Absicht hinter diesen Beobachtungen zu untersuchen. Wenn pharmazeutische Produkte wiederholt Merkmale aufweisen, die sich konventionellen Erklärungen entziehen, das Vertrauen der Öffentlichkeit untergraben und durch Nichtoffenlegung verschleiert werden, muss man sich fragen, ob diese Ergebnisse das Ergebnis unbeabsichtigter Fehler oder bewusster Entscheidungen sind. Transparenz ist nicht nur ein Heilmittel, sondern ein Diagnoseinstrument - ein Mittel, um festzustellen, ob der erklärte Zweck dieser Systeme mit ihrer tatsächlichen Funktion übereinstimmt. Ohne vollständige Offenlegung besteht weiterhin die Gefahr, dass fortschrittliche Biotechnologien in medizinische Produkte integriert werden, ohne dass die Öffentlichkeit darüber informiert wird oder ihre Zustimmung gibt.

Diese Studie ist sowohl ein wissenschaftlicher Meilenstein als auch ein dringender Aufruf zum Handeln. Die beobachteten Phänomene stellen herkömmliche Rahmenbedingungen in Frage und unterstreichen die Notwendigkeit einer unabhängigen Überprüfung, einer interdisziplinären Zusammenarbeit und erweiterter konzeptioneller Modelle zur genauen Bewertung der Komplexität dieser Systeme. Wenn solche Materialien für Funktionen entwickelt werden, die über das hinausgehen, was öffentlich bekannt ist, ist eine solide Aufsicht erforderlich, um Transparenz, ethische Verantwortlichkeit und öffentliche Sicherheit zu gewährleisten.

Angesichts der Tragweite dieser Entdeckungen ist es von entscheidender Bedeutung, dass international unabhängige Forschungseinrichtungen eingerichtet werden, um diese neu entstehenden Bio-Nano-Systeme zu untersuchen. Die mögliche Integration bisher unbekannter Elemente und programmierbarer Nanostrukturen in Arzneimittel muss dringend und transparent untersucht werden. Wenn wir uns diesen Realitäten nicht stellen, riskieren wir eine unkontrollierte technologische Entwicklung mit tiefgreifenden Folgen für die individuelle Autonomie, die medizinische Ethik und das gesellschaftliche Vertrauen. Es steht zu viel auf dem Spiel, um zu zögern.

Anhänge

Anhang 1. Pfizer-Protokoll <https://www.tga.gov.au/sites/default/files/covid-19-vaccine-pfizer-australia-comirnaty-bnt162b2-mrna-pi.pdf>

Anhang 2. Forensische Fotoanalyse: <https://drdavidnixon.com/1/en/topic/forensic-photo-analysis>

Anhang 3. Einschränkungen der Bradford-Hill-Kriterien im Kontext des aktiven Aufbaus und Rückbaus

Die Bradford-Hill-Kriterien bieten einen robusten Rahmen für den Nachweis von Kausalität bei strukturierten und reproduzierbaren Beobachtungen, insbesondere in der biologischen und epidemiologischen Forschung. Ihre Anwendbarkeit wird jedoch erheblich eingeschränkt, wenn sie mit Phänomenen konfrontiert werden, die bestehenden Paradigmen widersprechen, wie etwa der aktive Auf- und Abbau kristalliner Strukturen, der in dieser dynamisch beobachtet wurde. Diese in Echtzeit aufgezeichneten Ereignisse stellen grundlegende Annahmen der Materialwissenschaft und der Selbstorganisation in Frage, da sie ein koordiniertes, systematisches Verhalten zeigen, das über probabilistische oder stochastische Modelle der Verursachung hinausgeht.

Da sich die Kriterien auf Prinzipien wie Konsistenz, Dosis-Wirkungs-Beziehungen und Zeitlichkeit stützen, wird ein linearer und reproduzierbarer Rahmen vorausgesetzt. Im Gegensatz dazu funktionieren die hier beobachteten Phänomene - spontane Organisation, hierarchischer Aufbau und dynamische Reaktionsfähigkeit - in nichtlinearen, kontextabhängigen Systemen. Die probabilistischen Annahmen, die Bradford-Hill-Kriterien zugrunde liegen, werden unzureichend, wenn die Wahrscheinlichkeit, dass solche paradigmengrenzenden Ereignisse auf natürliche Weise eintreten, sich der statistischen Unbedeutsamkeit nähert.

Um diese Grenzen zu überwinden, wird in dieser Studie eine Meta-Evidenz-Perspektive eingeführt. Im Gegensatz zu traditionellen Kausalitätskonzepten untersucht Meta-Evidenz die Anerkennung, die systemischen Implikationen und die verborgene Dynamik der Evidenz selbst. Sie integriert übersehene Mechanismen, interdisziplinäre Erkenntnisse und breitere systemische Muster, um Entdeckungen über konventionelle Grenzen hinaus zu kontextualisieren. So spiegeln beispielsweise Verhaltensweisen wie faservermittelte Kristallkonnektivität, Interaktionen zwischen Blasen und Ecken und koordinierte Dekonstruktionszyklen möglicherweise nicht nur intrinsische Materialeigenschaften wider, sondern auch gesteuerte Zusammenbaumechanismen, Reaktionen auf die Umwelt oder bewusstes Design.

Unter diesen Umständen liefern die Unwahrscheinlichkeit und die Besonderheit der Phänomene selbst zwingende intrinsische Beweise für ihre Bedeutung, wodurch die Abhängigkeit von erschöpfenden Kontrollen verringert wird. Dies schmälert nicht den Wert der Kontrollen, sondern verlagert den Schwerpunkt auf das Verständnis der Mechanismen und nicht auf die Validierung der Kausalität. Der Meta-Evidenz-Ansatz umfasst interdisziplinäre Methoden zur Erforschung dieser Phänomene, wobei Materialwissenschaft, ethische Dimensionen und historische Muster verdeckter Experimente einbezogen werden.

Das Konzept des Internets der Bio-Nano-Dinge ist ein Beispiel dafür, dass herkömmliche Rahmenkonzepte diesen Phänomenen nicht gerecht werden. Dieser Rahmen sieht vor, dass nanoskalige Systeme in biologischen Umgebungen dynamisch interagieren, was Fragen zur Programmierung, zu externen Reizen und zur Intentionalität aufwirft. Das systematische Auftreten von Strukturen wie wiederkehrenden geometrischen Motiven und Faserkristallanordnungen passt zu diesen Konzepten und lässt auf programmierbares Verhalten innerhalb von Bio-Nano-Schnittstellen schließen. Diese Ergebnisse stellen nicht nur materialwissenschaftliche Paradigmen in Frage, sondern auch umfassendere Konzepte von Kausalität und Intentionalität.

Bahnbrechende Entdeckungen wie diese erfordern eine Abkehr von der starren Befolgung traditioneller Kriterien hin zu Methoden, bei denen Transparenz, Anpassungsfähigkeit und mechanistische Erkenntnisse im Vordergrund stehen. Die Bradford-Hill-Kriterien sind zwar nach wie vor hilfreich für die Festlegung von Grundmustern, aber für dynamische, paradigmengrenzende Phänomene wie die hier beobachteten sind sie schlecht geeignet. Zum Beispiel,

Wiederkehrende Motive und Faserkristallanordnungen können in technischen Systemen Intentionalität bedeuten, was weit über den Rahmen der konventionellen Wissenschaft hinausgeht.

Durch die Einbeziehung der Meta-Evidenz-Perspektive wird in dieser Studie die Definition, Validierung und Kontextualisierung von Evidenz im Hinblick auf neu entstehende Technologien neu definiert. Dieser Ansatz geht über die Debatte über die Interpretation von Beweisen hinaus und befasst sich mit den Systemen, die sie erzeugen, verschleiern oder manipulieren. Er liefert einen Fahrplan für das Verständnis revolutionärer Entdeckungen und die Anpassung wissenschaftlicher Methoden, um den Herausforderungen einer sich rasch entwickelnden technologischen Landschaft zu begegnen.

Danksagungen

Ich möchte der Xstra Technologies Group, den Abonnenten von Nixonlab Substack und der Micronaut Microscopy Group meinen aufrichtigen Dank für ihre unschätzbare Unterstützung und ihre Beiträge zu dieser Forschungsarbeit aussprechen. Besonderer Dank gilt Dr. Daniel Broudy für seine aufschlussreiche Hilfe bei der Erstellung des Manuskripts und Karl Coronas für seine engagierte Forschung und laufende Unterstützung.

Erklärung zu Interessenkonflikten

Diese Forschung wurde unabhängig durchgeführt, ohne externe Einflüsse auf die präsentierten Daten oder Schlussfolgerungen. Der Autor ist der Gründer und Herausgeber des *Journal of BioNanoTechnocracy: Countdown to 2030*, in dem diese Arbeit veröffentlicht wird. Einige Einnahmen stammen auch aus Abonnements für eine persönliche Substack-Publikation; diese Funktionen haben jedoch keinen Einfluss auf die Integrität oder Objektivität dieser . Es keine weiteren Interessenkonflikte.

Glossar

Anomale Strukturen

Ungewöhnliche oder unerwartete Formationen, die von typischen Kristallisationsmustern abweichen, was oft auf ein synthetisches Design oder externe Einflüsse schließen lässt.

Bio-Nano-Grenzflächen

Der Schnittpunkt zwischen biologischen Systemen und Materialien im Nanomaßstab, wo Wechselwirkungen zu organisierten Strukturen oder funktionellem Verhalten führen können.

Kapillarströme

Flüssigkeitsbewegung innerhalb eines Tröpfchens, die durch Oberflächenspannung und Verdampfungsdynamik angetrieben wird, Partikel umverteilt und die Selbstorganisation beeinflusst.

"Kreis-Rechteck-Motive"

Wiederkehrende geometrische Merkmale, die durch präzise kreisförmige und rechteckige Anordnungen gekennzeichnet sind und eine hierarchische und fraktalähnliche Organisation aufweisen.

Koazervate

Durch Flüssig-Flüssig-Phasentrennung gebildete phasentrennte Tröpfchen, die häufig mit den Vorläufern organisierter oder selbstorganisierender Systeme in Verbindung gebracht werden.

Kolloidale Partikel

Kleine Partikel, die in flüssigen Medium suspendiert sind und als Zwischenstufen in Selbstorganisationsprozessen fungieren, indem sie nano- und mikroskalige Domänen überbrücken.

Kristalline Formationen

Strukturierte, geometrische Anordnungen von Partikeln, die durch Verdampfungs- und Kristallisationsprozesse in einer Probe entstehen.

"Kristall-Faser-Baugruppen"

Einzigartige Faserkristallstrukturen in pharmazeutischen Präparaten, die eine organisierte und hierarchische Selbstorganisation zeigen.

Dunkelfeldmikroskopie (DFM)

Ein Mikroskopieverfahren, das den Kontrast in transparenten Proben durch die Beleuchtung mit Streulicht erhöht und so feine Details sichtbar macht.

Demontage

Der Prozess, bei dem selbstorganisierte Strukturen auseinanderbrechen oder sich reorganisieren und dabei ein reversibles und dynamisches Verhalten zeigen.

Dynamische Umverteilung

Die aktive Bewegung und Neuausrichtung von Teilchen innerhalb einer Probe, die durch äußere Faktoren wie magnetische oder elektromagnetische Felder beeinflusst wird.

Dynamische Selbstassemblierung

Eine Form der Selbstorganisation, die durch kontinuierliche Bewegung, Anpassung und Reorganisation von Komponenten im Laufe der Zeit gekennzeichnet ist.

Aufstrebende Eigenschaften

Komplexe Verhaltensweisen oder Strukturen, die sich aus den Wechselwirkungen einfacherer Komponenten ergeben und aus den einzelnen Komponenten allein nicht vorhersehbar sind.

Elektromagnetische Felder (EMFs)

Energiefelder, die die Ausrichtung, Bildung oder Reorganisation von selbstorganisierenden Strukturen beeinflussen.

Motor-Meccano-Baugruppen

Komplexe, miteinander verbundene Strukturen, die mechanischen Baugruppen ähneln, die in dynamischer Wechselwirkung mit den sie umgebenden Materialien stehen.

Fadenförmige Strukturen

Längliche, fadenförmige Gebilde, die beim Selbstorganisationsprozess beobachtet werden und oft mit anderen Strukturen interagieren oder auf äußere Reize reagieren.

Fraktal-ähnliche Eigenschaften

Muster, die Selbstähnlichkeit und Komplexität über mehrere Maßstäbe hinweg aufweisen, häufig zu beobachten bei "Kreis-Rechteck-Motiven".

Körnige Matrix

Ein strukturierter Hintergrund, der aus kleinen Partikeln besteht, die mit selbstorganisierenden Strukturen interagieren.

Hierarchische Organisation

Strukturelle Organisation auf mehreren Ebenen, von der Nanoskala bis zur Mikroskala, mit verschachtelten oder sich wiederholenden Mustern.

Hydrodynamische Strömung

Bewegung der Flüssigkeit innerhalb eines Tröpfchens oder Systems, die die Umverteilung der Partikel und die strukturelle Ausrichtung während der Verdampfung beeinflusst.

Layering-Prozess

Die Technik des Aufbaus mehrerer Schichten einer Probe, um die Sichtbarkeit struktureller Formationen während der Mikroskopie zu verbessern.

Lineare Strukturen

Geradlinige, längliche Formationen, die in selbstorganisierenden Systemen beobachtet werden und oft durch magnetische oder elektromagnetische Felder beeinflusst werden.

Magnetisches Ansprechverhalten

Die Fähigkeit bestimmter Strukturen oder Teilchen, sich als Reaktion auf Magnetfelder auszurichten, zu gruppieren oder zu bewegen.

Material-Aggregation

Die Anhäufung von Teilchen während des Selbstorganisationsprozesses, die zur Bildung von organisierten Strukturen beiträgt.

Umverteilung von Material

Die Bewegung und Neupositionierung von Partikeln während der Tröpfchenverdampfung, angetrieben durch Kapillarströmungen.

Mikro-Motor

Kugelförmige, schwarze, bewegliche Strukturen, die anscheinend den Materialtransfer oder die strukturelle Umstrukturierung während der Selbstmontage vorantreiben.

"Mikro-Meccano"

Stab- oder winkelförmige Strukturen, die den Selbstorganisationsprozess leiten oder steuern und oft ein dynamisches Verhalten aufweisen.

Nano macht Mikro

Das Prinzip, dass sich nanoskalige Komponenten zu beobachtbaren mikroskaligen Strukturen zusammenschließen können.

Keimbildung

Der anfängliche Prozess, bei dem sich Partikel oder Moleküle zusammenballen, um die Grundlage für eine größere Struktur oder einen Kristall zu bilden.

Optische Eigenschaften

Eigenschaften von Materialien, wie z. B. Reflexionsvermögen oder Transparenz, die bei bestimmten Mikroskopietechniken wie der Dunkelfeldmikroskopie sichtbar werden.

Phasenübergänge

Änderungen des Zustands oder der Organisation von Materialien, z. B. vom flüssigen in den festen oder amorphen in den kristallinen Zustand, die häufig die Prozesse der Selbstorganisation beeinflussen.

Programmierbare Baugruppe

Das Konzept der Entwicklung von Komponenten im Nanomaßstab, die sich durch eingebettete oder vorgefertigte Anweisungen selbst zu den gewünschten Strukturen zusammensetzen.

Reflektierende Mikrostrukturen

Helle, reflektierende Formationen, die unter dem Dunkelfeldmikroskop beobachtet werden und auf organisierte oder konstruierte Materialeigenschaften hindeuten.

Reaktion auf elektromagnetische Strahlung

Das Verhalten von selbstorganisierenden Strukturen, die durch elektromagnetische Felder beeinflusst oder gelenkt werden und die Kristallisationsdynamik beeinflussen.

Reversible Montage

Die Fähigkeit von Strukturen, sich dynamisch auf- und abzubauen, oft als Reaktion auf Umweltreize.

Sessile Tröpfchenverdampfung (SDE)

Ein Prozess, bei dem ein Tröpfchen auf einer Oberfläche verdunstet und so die Umverteilung von Partikeln, die Kristallisation und die Selbstorganisation fördert.

Selbstmontage

Die spontane Organisation von Teilchen oder Komponenten zu strukturierten Gebilden, angetrieben durch intrinsische oder extrinsische Kräfte.

Strukturelle Motive

Sich wiederholende Muster oder geometrische Merkmale in selbst zusammengesetzten Strukturen, wie z. B. "Kreis-Rechteck-Motive".

Dynamik der Oberflächenspannung

Die Rolle der Oberflächenspannung bei der Gestaltung von Partikelbewegungen und Materialaggregation in verdunstenden Tröpfchen.

Zeitraffer-Bildgebung

Eine Mikroskopietechnik, die verwendet wird, um fortschreitende Veränderungen in einem System zu erfassen und so dynamische Prozesse wie die Selbstmontage oder den Abbau aufzuzeigen.

Röhrenförmige Strukturen

Hohle, zylindrische Gebilde, die in selbstorganisierenden Systemen beobachtet werden und möglicherweise durch externe Felder beeinflusst werden.

Vesikelähnliche Strukturen

Kugelförmige, blasenartige Gebilde, die dynamisch mit anderen Strukturen interagieren und manchmal eine magnetische Reaktion zeigen.

Zeta-Potenzial

Ein Maß für das elektrische Potenzial an der Oberfläche von kolloidalen Partikeln, das deren Wechselwirkungen und Stabilität während der Selbstorganisation beeinflusst.

Referenzen

Akyildiz, I., Pierobon, M., Balasubramaniam, S., & Koucheryavy, Y. (2015). Das Internet der Bio- und Nanodinge. *IEEE Communications Magazine*, 53(3), 32-40.

https://www.researchgate.net/publication/273780747_The_internet_of_Bio-Nano_things

Benzi Cipelli, R., Giovannini, F., & Pisano, G. (2022). Dunkelfeldmikroskopische Analyse Blutes von 1.006 symptomatischen Personen nach anti-COVID mRNA-Injektionen von Pfizer/BioNtech oder Moderna. *International Journal of Vaccine Theory, Practice, and Research*, 2(2), 385-444. <https://doi.org/10.56098/ijvtr.v2i2.47>

Diblasi, L., Monteverde, M., Nonis, D., Sangorrín, M., CanSino, M., Pfizer, S., V, S., & ICP-MS, P. (2024). Mindestens 55 nicht deklarierte chemische Elemente in COVID-19-Impfstoffen von AstraZeneca gefunden. *International Journal of Vaccine Theory, Practice, and Research*, 3(2), 1367-1393. <https://doi.org/10.56098/mt1nj52>

Galison, P. (2004). *Wissen beseitigen*. Universität von Chicago.

<https://www.journals.uchicago.edu/doi/10.1086/427309>

Johnson, L., Broudy, D., & Hughes, D. A. (2024). WHO's Pulling the Strings? COVID Injections and the Internet of Bio-Nano Things, Part 4: Testing New Human Nodes of Connectivity. In *Propaganda im Fokus*. (PDF) **WHO's Pulling the Strings? Covid-Injektionen und das Internet der Bio-Nano-Dinge, Teil 4: Testen neuer menschlicher Knotenpunkte der Konnektivität**

Ke, Y., Ong, L. L., Shih, W. M., & Yin, P. (2012). *Dreidimensionale Strukturen, die sich aus DNA-Bausteinen selbst zusammensetzen*. Autoreninfo & Zugehörigkeiten. <https://www.science.org/doi/10.1126/science.1227268>

Lee, Y. M., & Broudy, D. (2024). Real-Time Self-Assembly of Stereomicroscopically Visible Artificial Constructions in Incubated Specimens of mRNA Products. *International Journal of Vaccine Theory, Practice, and Research*, 3(2), 1180-1244. <https://doi.org/10.56098/586k0043>

Taylor, M. (2023). *Schaltkreise im Covid Jab-Internet-Router veranlassen Schaltkreise, sich selbst zusammenzusetzen*. Interview mit Stew Peters, Stew Peters Network. <https://stewpeters.com/show/exclusive-horrific-images-circuits-in-covid-jab-internet-router-causes-circuits-to-self-assemble/>

Zang, D., S., T., Yu, Y., Tarasevich, M., Choudhury, D., & Duttat, T. (2019). Evaporation of a Droplet: From Physics to Applications. *Physics Reports*, 804, 1-56.

<https://www.sciencedirect.com/science/article/abs/pii/S0370157319300468>

Zhan, P., Peil, A., Jiang, Q., Wang, D., Mousavi, S., Xiong, Q., Shen, Q., Shang, Y., Ding, B., Lin, C., Ke, Y., & Liu, N. (2023). Recent advances in DNA origami-engineered nanomaterials and applications. *Chemical Reviews*, 123, 3976-4050. <https://pubs.acs.org/doi/10.1021/acs.chemrev.3c00028>

Rechtlicher Hinweis

Die auf dieser Website und im *Journal of BioNanoTechnocracy* bereitgestellten Informationen: *Countdown to 2030* sind ausschließlich zu Informations- und Bildungszwecken bestimmt. Sie sollen nicht als Diagnose, Behandlungsempfehlung, Vorbeugungsstrategie oder Heilung für irgendeinen medizinischen Zustand, ein Verfahren oder ein erwähntes Protokoll dienen. Nutzern und Lesern - einschließlich Eltern, Erziehungsberechtigten, Betreuern, Ärzten oder anderen - wird empfohlen, ihr eigenes Urteilsvermögen zu nutzen und qualifizierte Fachleute bezüglich bestimmter Anwendungen oder Entscheidungen zu konsultieren.

Die Autoren, Redakteure und alle mit der Website und/oder der Zeitschrift verbundenen Personen lehnen jegliche Haftung oder Verantwortung für Schäden, Verletzungen, finanzielle Verluste oder andere Folgen ab, die sich aus der Nutzung, Anwendung oder Interpretation der hierin enthaltenen Informationen, Forschungsergebnisse, Meinungen oder Schlussfolgerungen ergeben. Die Verantwortung für die Nutzung dieses Materials liegt allein beim Nutzer.

Das Material wird zur freien Verfügung gestellt, um es zu untersuchen und wissenschaftlich zu erforschen. Wenn es zitiert, zitiert oder nachgedruckt wird, sind die Nutzer verpflichtet, die Originalquelle oder den Autor zu nennen und die Bedingungen der Creative Commons License 4.0 NC ND oder einer anderen anwendbaren Lizenzvereinbarung einzuhalten. Die Weiterverbreitung zu kommerziellen Zwecken oder in veränderter Form ist streng verboten.